

D 0256

# A TETEMBONTÁS ATLASZA

1505 NAGYRÉSZBEN SZINES FAMETSZETTEL  
ÉS 13 EREDETI RÖNTGENKÉPPEL

DALLA ROSA ALAJOS DR. TANÁR KÖZREMŰKÖDÉSÉVEL KIADTA

**TOLDT KÁROLY DR.**

CS. K. UDVARI TANÁCSOS, A BÉCSI EGYETEM V. NY. R. TANÁRA

A MAGYAR KIADÁST SAJTÓ ALÁ RENDEZTE

**TELLYESNICZKY KÁLMÁN DR.**

A BUDAPESTI EGYETEM NY. R. TANÁRA

ÖTÖDIK KÖTET

AZ ÉRTAN

933-1123 RAJZ

-0 JUN. 1932

Hermon 914-681



INST. MED. FARM. TG-MURES  
Orv. Tud. G. I. G. I. SZ. INT. MVH.  
Bibl. Centrala-Központi Könyvtár  
1935  
Lelt. sz. 45621/60



UNIVERSITAS

KÖNYVKIADÓ TÁRSASÁG

BUDAPEST, 1912

20 DEC 1960

R

## A TELJES MUNKA TARTALMA :

I. kötet. AZ EMBERI TEST TÁJÉKAI. A CSONTTAN.

1—377 rajz.

Füzve K 10.—.



II. kötet. A SZALLAGTAN.

378—489 rajz, 11 eredeti Röntgenkép.

Füzve K 6.—.

III. kötet. AZ IZOMTAN.

490—640 rajz.

Füzve K 9.—.

IV. kötet. A ZSIGERTAN.

641—932 rajz és 2 Röntgenkép.

Füzve K 10.—.

V. kötet. AZ ÉRTAN.

933—1123 rajz.

Füzve K 15.—.

VI. kötet. AZ IDEGTAN ÉS ÉRZÉKSZERVEK TANA.

1124—1505 rajz.

Füzve K 18.—.

ANGIOLOGIA.

AZ ÉRTAN.

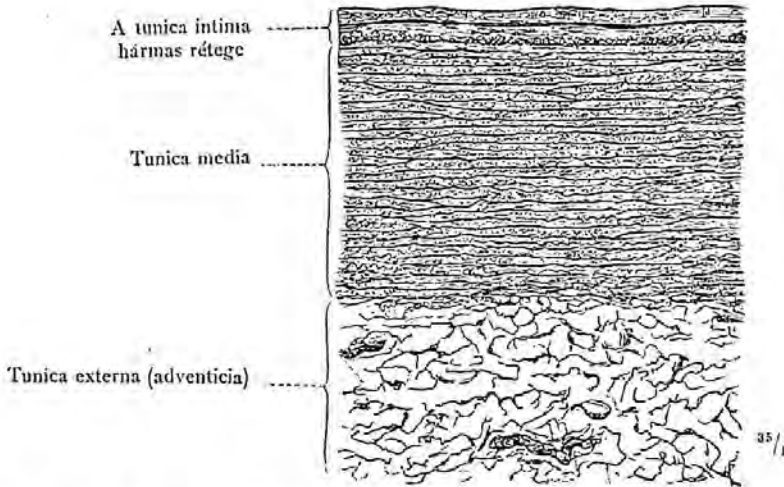




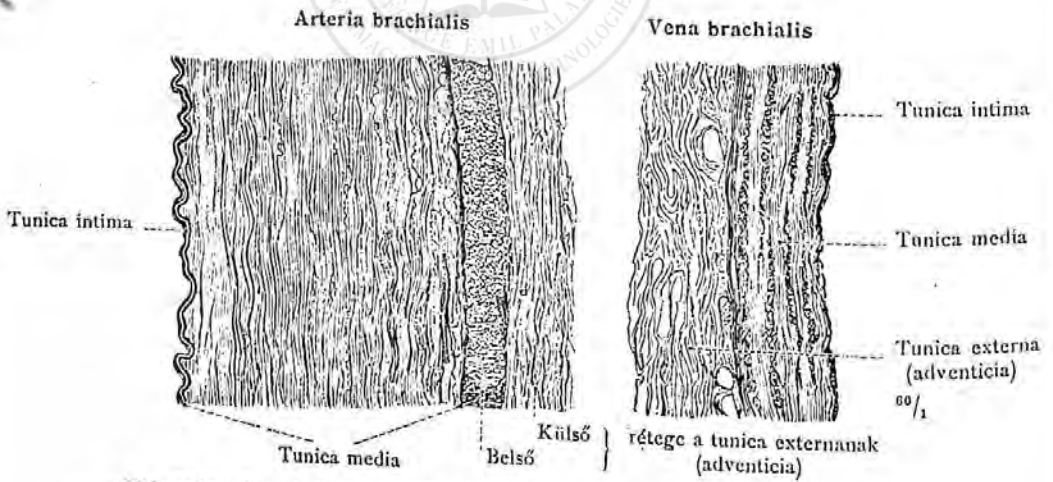


AZ EREKRŐL ÁLTALÁBAN.



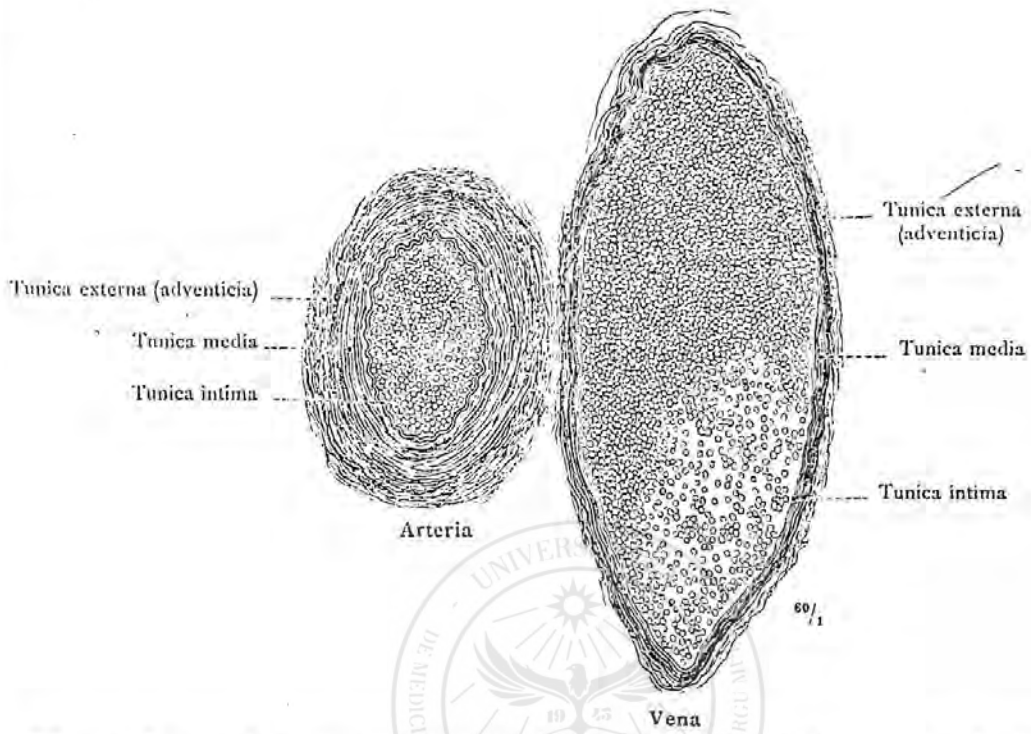


933. rajz. Az emberi aorta thoracalis falának harántmetszete; a belső, a középső és a külső érhártya, tunica intima, media és externa.

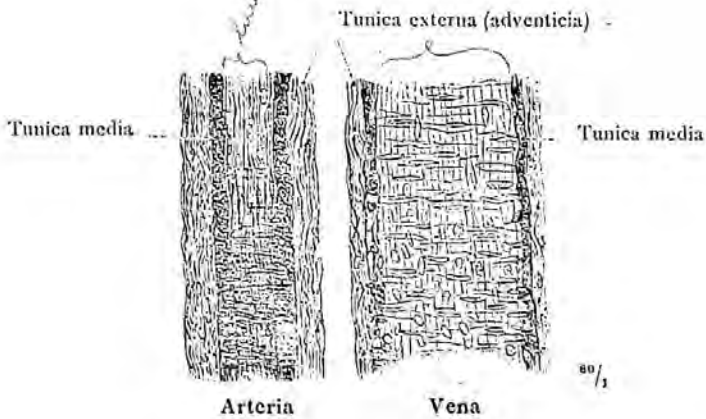


934. rajz. Az emberi arteria és vena brachialis harántmetszete.

A vérerek falának rétegei.

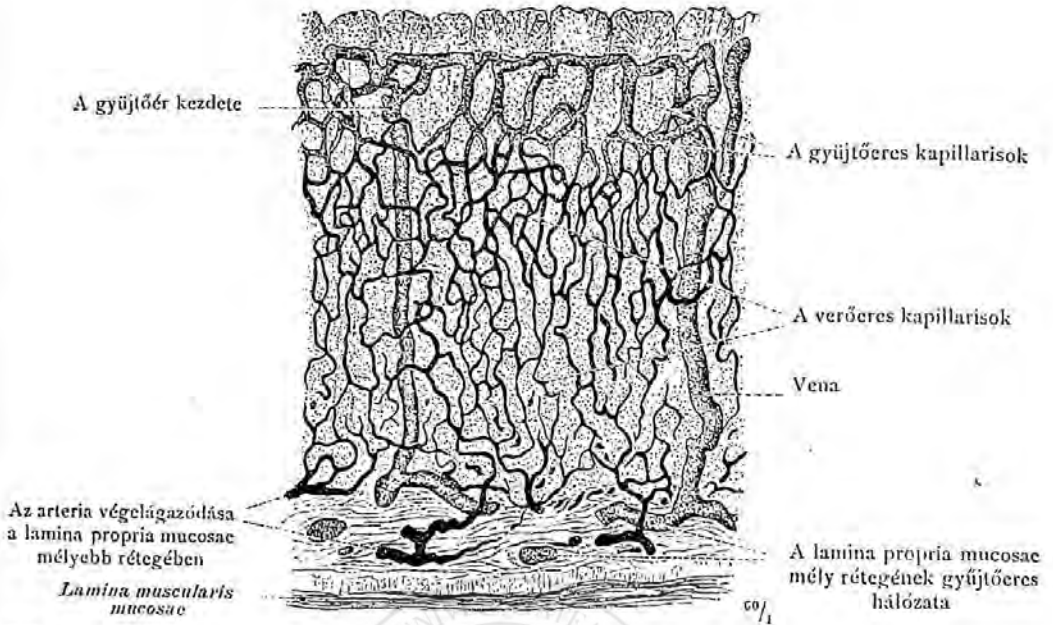


935. rajz. Arteria és a hozzátartozó vena harántmetszete, az ember mesenteriumából.

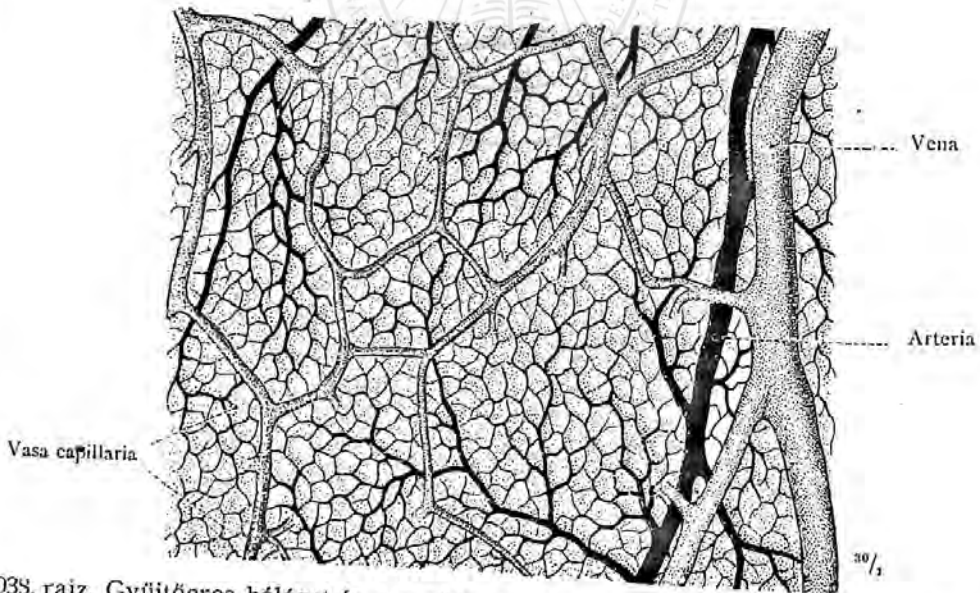


936. rajz. Kis arteria és kis vena a pancreasból.

A vérerek falának rétegei.

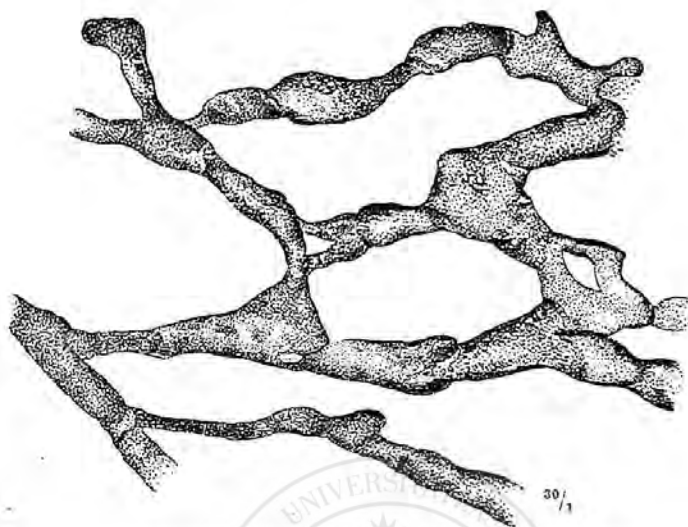


937. rajz. A gyomornyálkahártya érrendszere függőleges metszetben; vasa capillaria, hajszálerek és ezek összefüggése az arteriakkal és a venakkal.

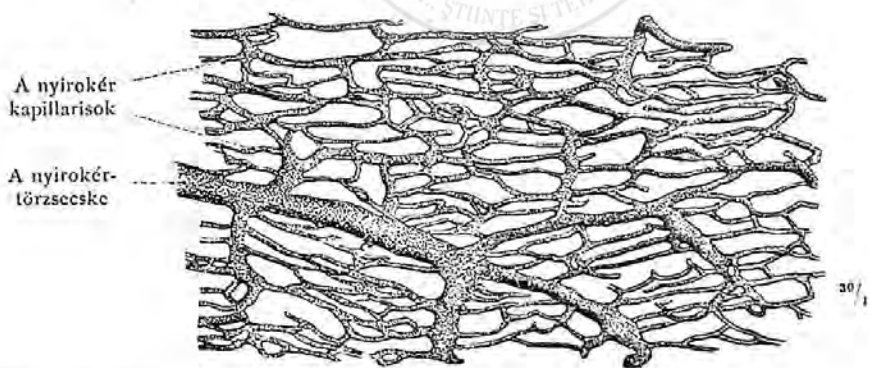


938. rajz. Gyűjtőeres hálózat és a verőér végelágazódása, a gyomornyálkahártya kötőszövetének legmélyebb rétegében.

A hajszálerek hálózata és a hálózat összefüggése a verőérrel és a gyűjtőérrel.

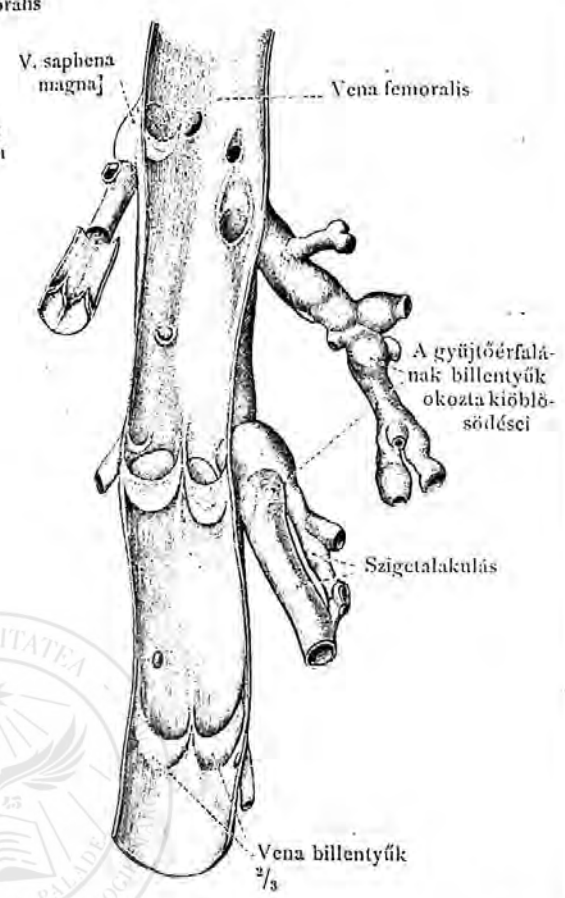
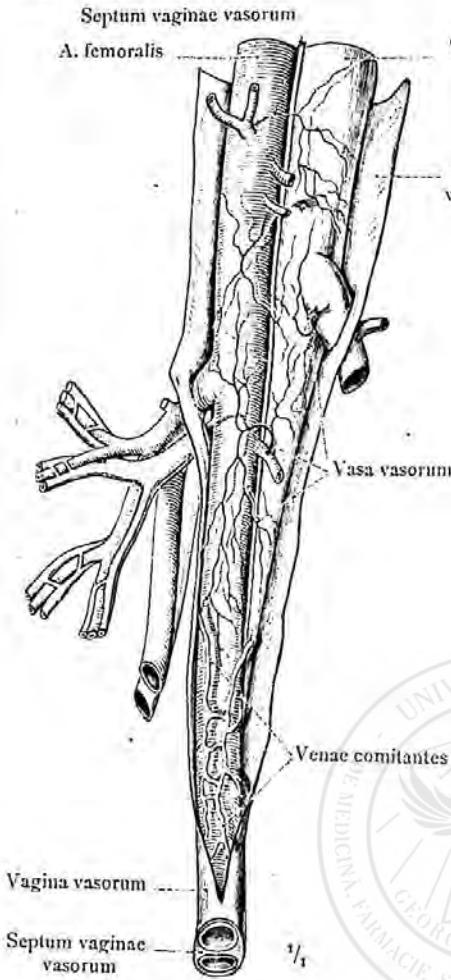


939. rajz. Billentyűs nyirok-praecapillarisok, az emberi conjunctiva bulbi nyálkahártya alatti nyirokérhálózatából, átlátszó ennyvel befecskendezve.



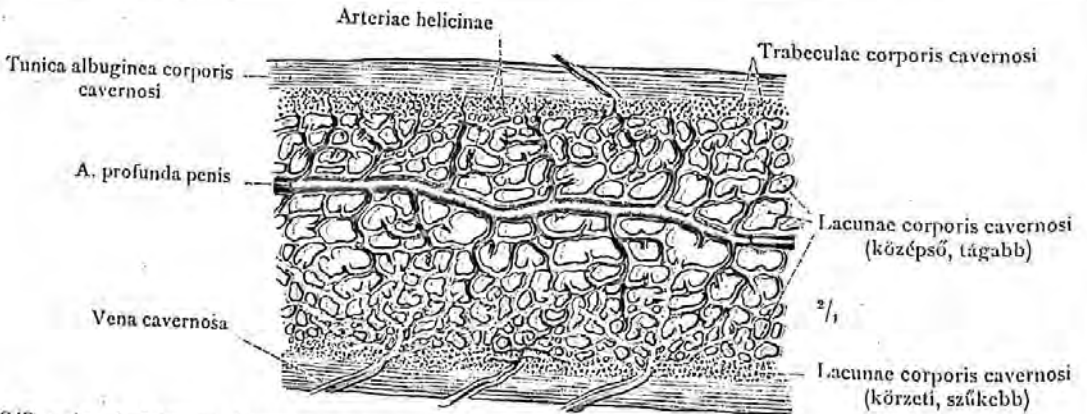
940. rajz. A békagyomor izomrétegének nyirokér-kapillarisai, sárga, áttetsző ennyvel befecskendezve.

A nyirokerek és a nyirokhajszálerek. Vasa lymphatica.



941. rajz. Az arteria és a vena femoralis felhasított érűvelye. Az arteria femoralis vasa vasorumai s az ezeket kísérő gyűjtőerek; félig sémásan.

942. rajz. A felvágott vena femoralisnak és oldalágainak billentyűi.



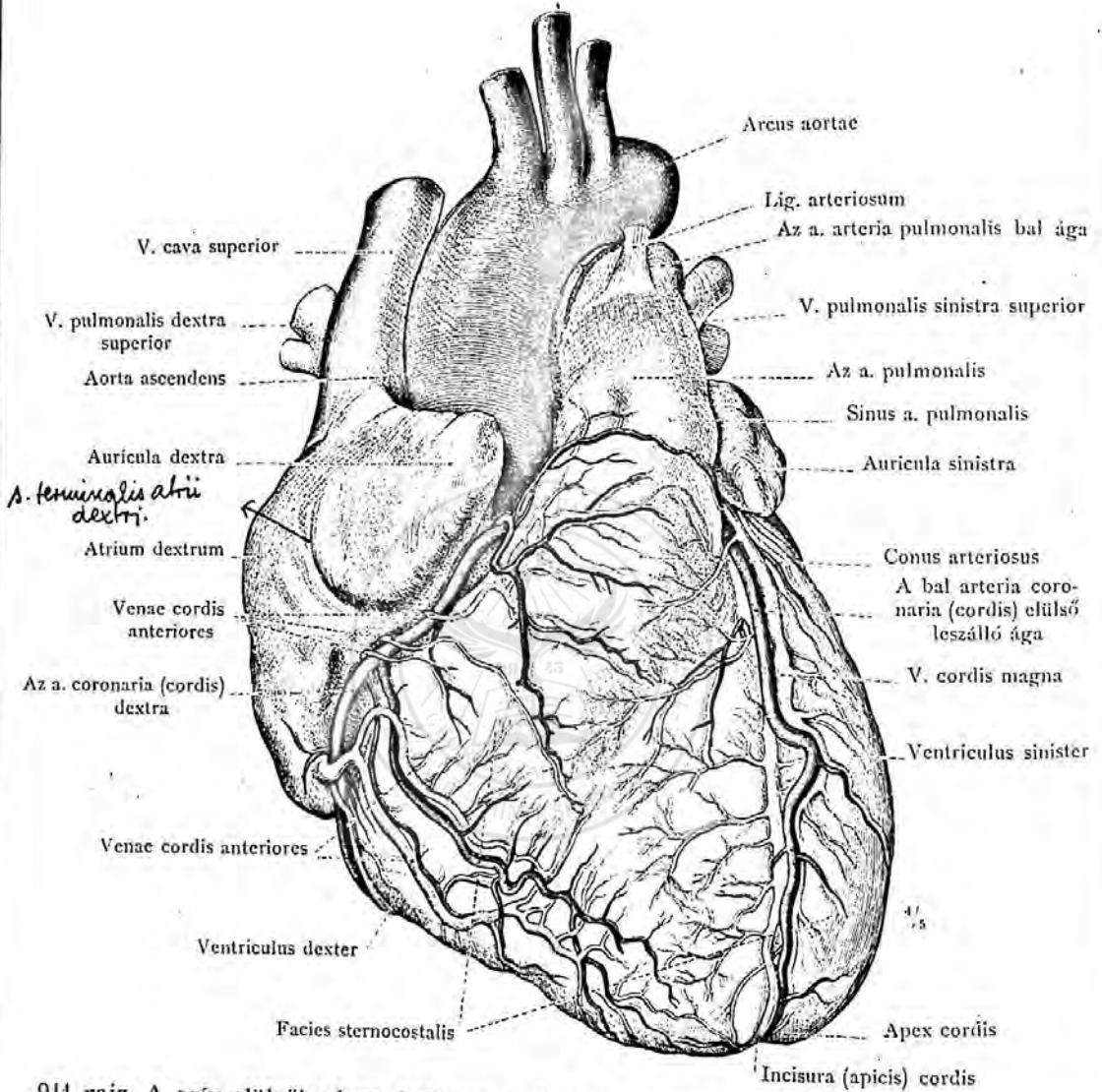
943. rajz. A hímtag kavernás testének hosszmettszete; az arteria profunda penis elágazódása, arteriae helicinae; vena cavernosae; a kötőszöveti tok és a kavernás test üregei; félig sémásan.

Vasa vasorum. Vagina vasorum, az érűvelye. A gyűjtőerek billentyűi. Corpus cavernosum.

COR.  
A SZÍV.

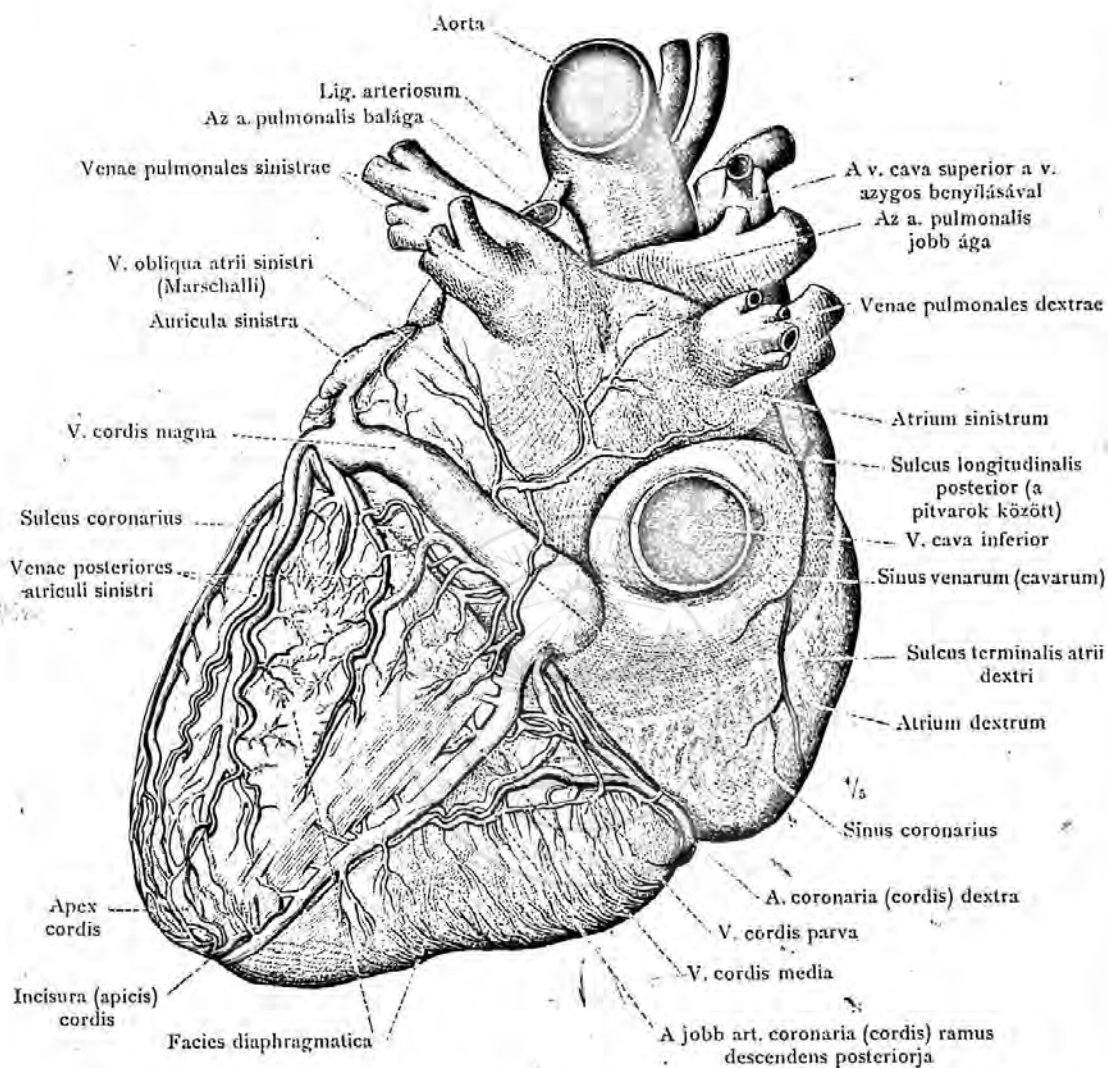






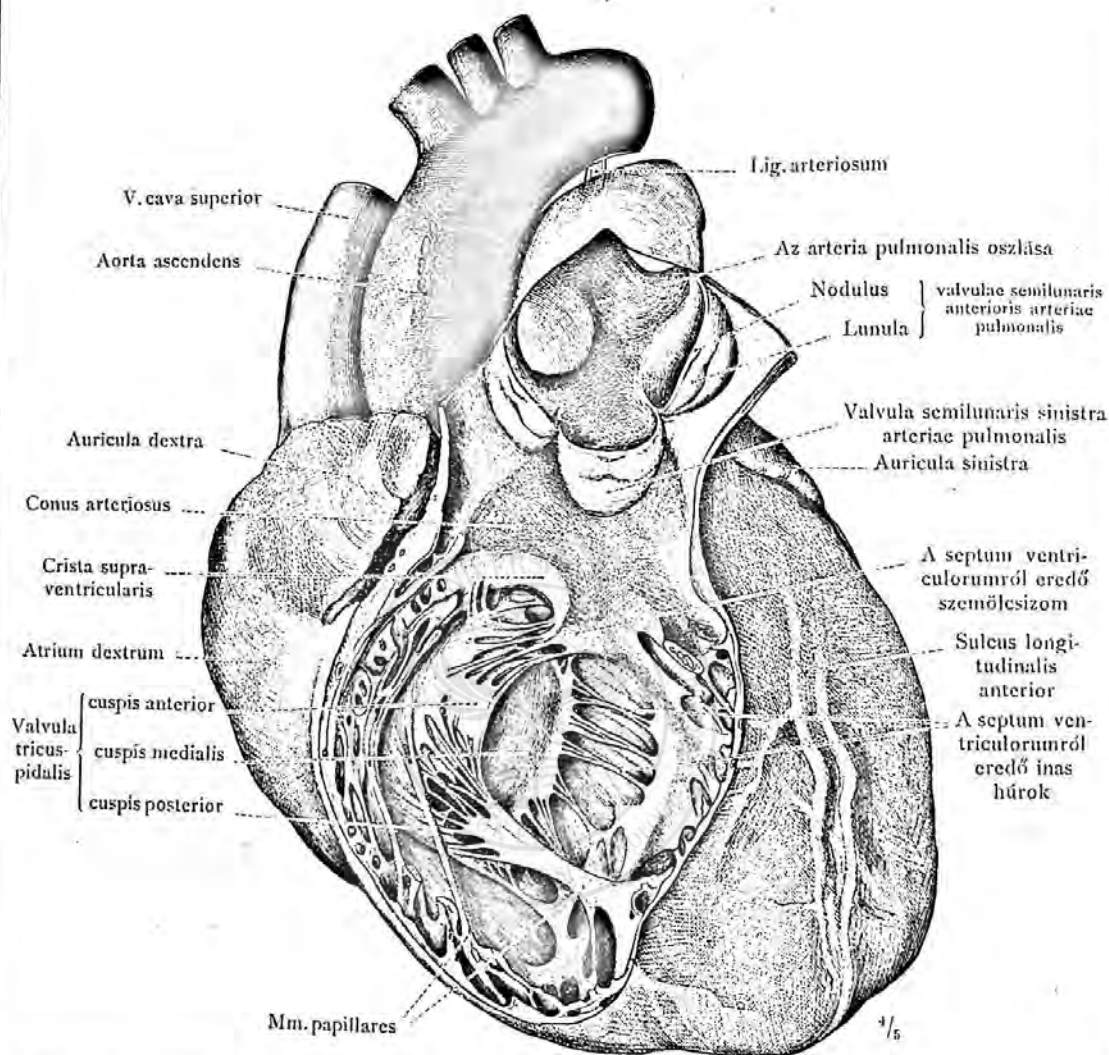
94. rajz. A szív elülről nézve, belövelt ereivel. Az arteria coronaria cordis dextra; az a. coronaria cordis sinistra elülső leszálló ága; a nagy szívgyűjtőér, vena cordis magna kezdeti része; az elülső gyűjtőerek, venae cordis anteriores; a Botall-szállag, ligamentum arteriosum; a. corona cordis és a szív sternocostalis oldala.  
A szív üregei viasszal befecskendezve.





945. rajz. A szív hátulról nézve, belővelt ereivel. A jobb a. coronaria cordis hátsó leszálló ágával, ramus descendens posterior; a bal art. coronaria cordis körülfutó ága, ramus circumflexus; a nagy szívgyűjtőér, v. cordis magna és átalakulása a sinus coronariussá; a középső és a kis szívgyűjtőér, venae cordis media és parva; a Marschall-gyűjtőér, a v. obliqua atrii sinistri. A jobbpitvar határbarázdája, sulcus terminalis atrii dextri, és a gyűjtőeres öböl, sinus venarum (cavarum). A szív alapja, basis cordis és a rekeszen nyugvó része, facies diaphragmatica.

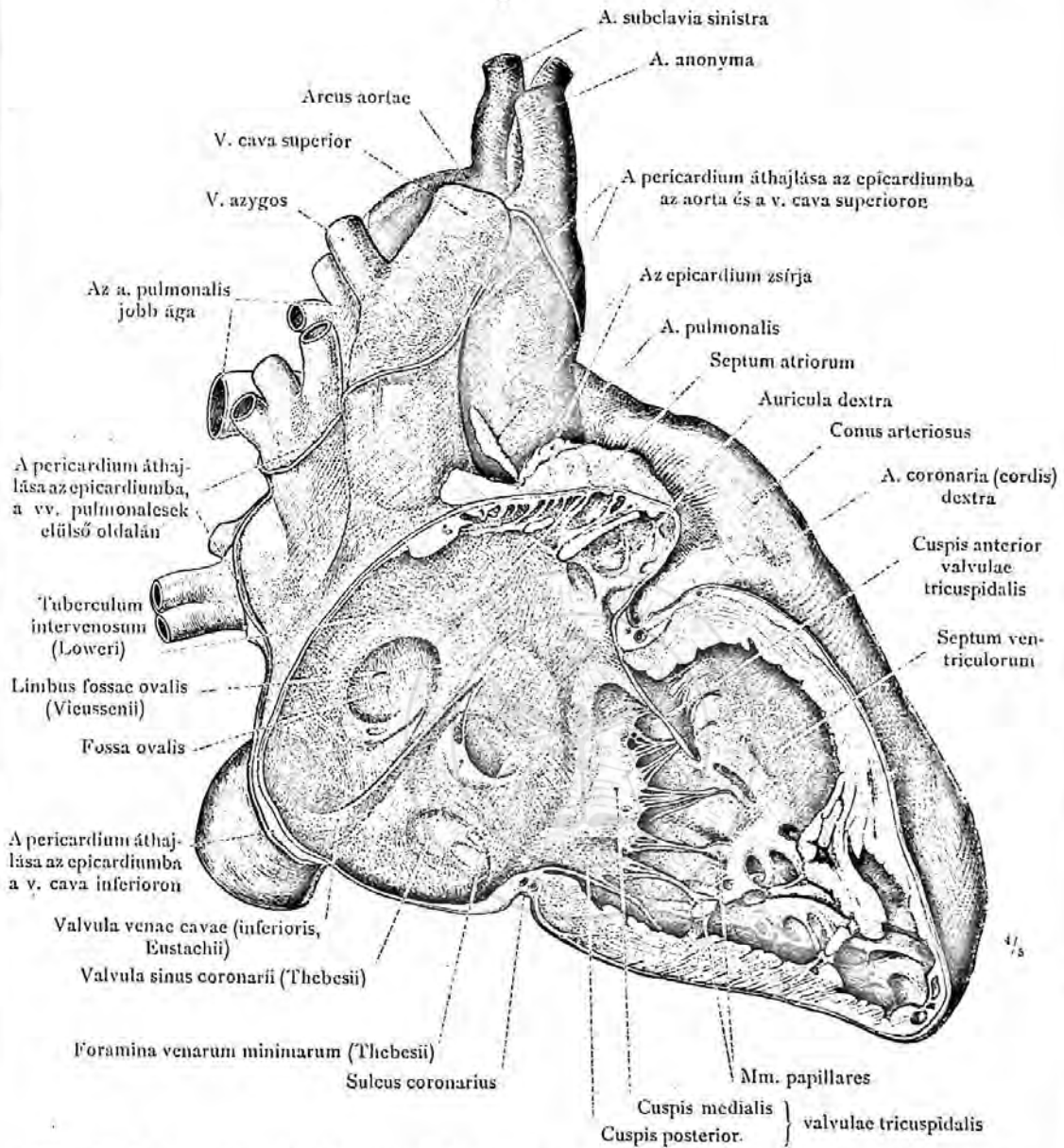
A 944. rajz készítménye hátulról nézve.



946. rajz. A szív elülről nézve. A jobb szívkamara elülső fala és a conus arteriosus eltávolítva. A tüdőverőér, a pulmonalis, az elülső és a jobb félholdalakú billentyűk között, oszlásáig fel van vágva és elülső fala oldalra hajtva: a háromhegyű billentyű, valvula tricuspidalis szemölcsizmaival, mm. papillares és inas húrjaival, chordae tendineae valamint a tüdőverőér félholdalakú billentyűi, valvulae semilunares, csomócskáikkal, noduli és szegélyükkel, lunulae, láthatók.

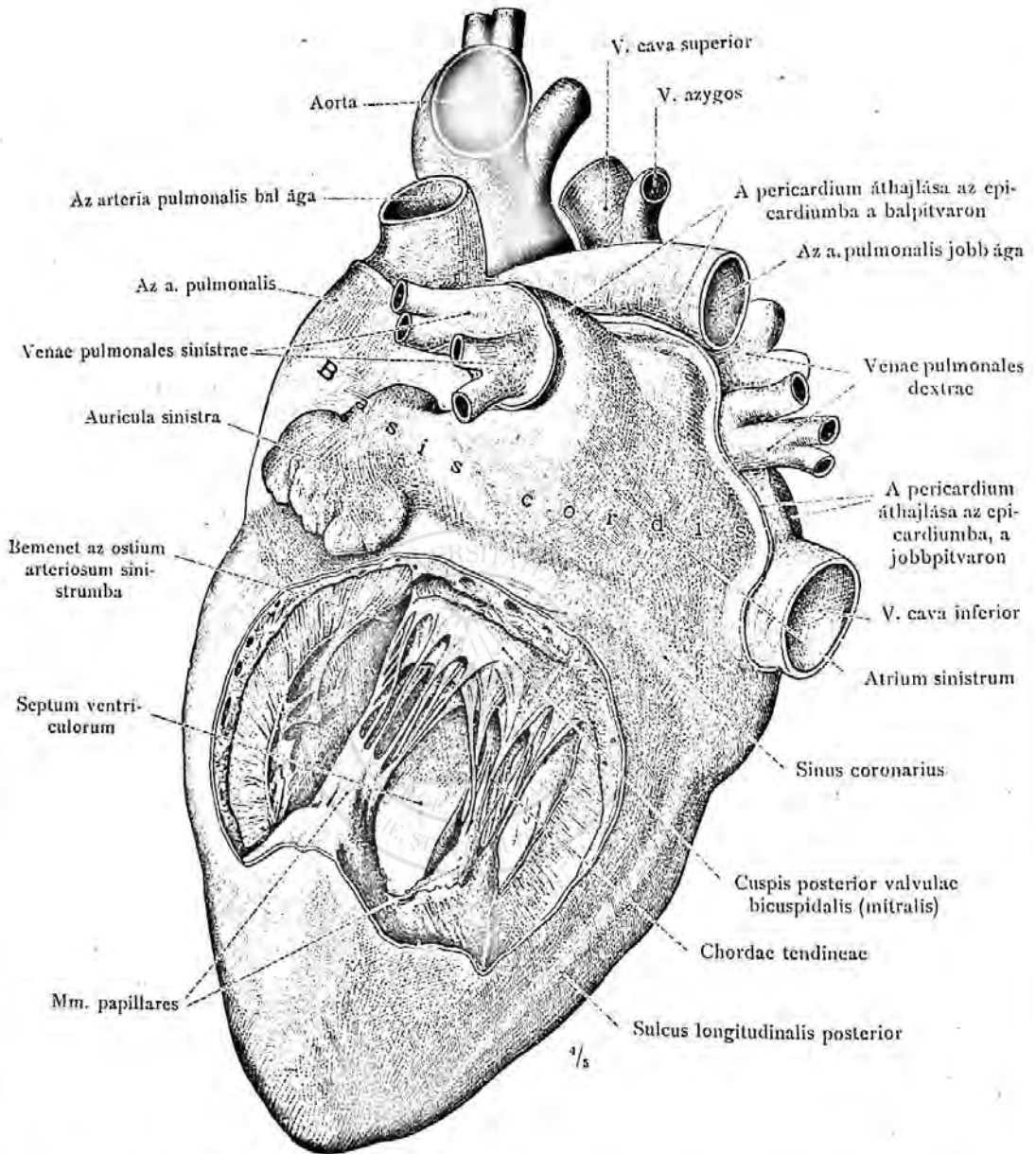
(A tágult szív, előzőleg chromsavval és alkohollal megkeményítve.)

A szív jobb kamarája.



947. rajz. A szív jobboldalról nézve. A formalinnal kitágított és megkeményített szív jobb-kamarájának és pitvarának jobb fala, a jobb kamara csúcsától, az alsó törzsöki gyűjtőér beszűjadzásának oldalához vezetett metszéssel el van távolítva. A jobb kamarában, ventriculus dexter: a háromhegyű billentyűnek elülső, hátsó és medialis vitorlája, cuspis anterior, posterior és medialis, láthatók; a szívkamaraik sövényéről, septum ventriculorum, eredő szemölcsizmok, mm. papillares és az inas húrok, chordae tendineae. A jobb pitvarban látható árok, a fossa ovalis, a Vieussens-szélel, limbus fossae ovalis; a Lower-gumó, tuberculum intervenosum, továbbá az alsó törzsöki gyűjtőér nyílása, az Eustach-billentyű, a sinus coronarius beszűjadzása a Thebesius-billentyűvel s végre a jobb szívfülecske ürege, auricula dextra. Az aortán, a vena cava superioron és a jobb tüdőverőéren a pericardium áthajlása az epicardiumba látható.

A szív jobb pitvara, atrium dextrum. A szív jobb kamarája, ventriculus dexter.

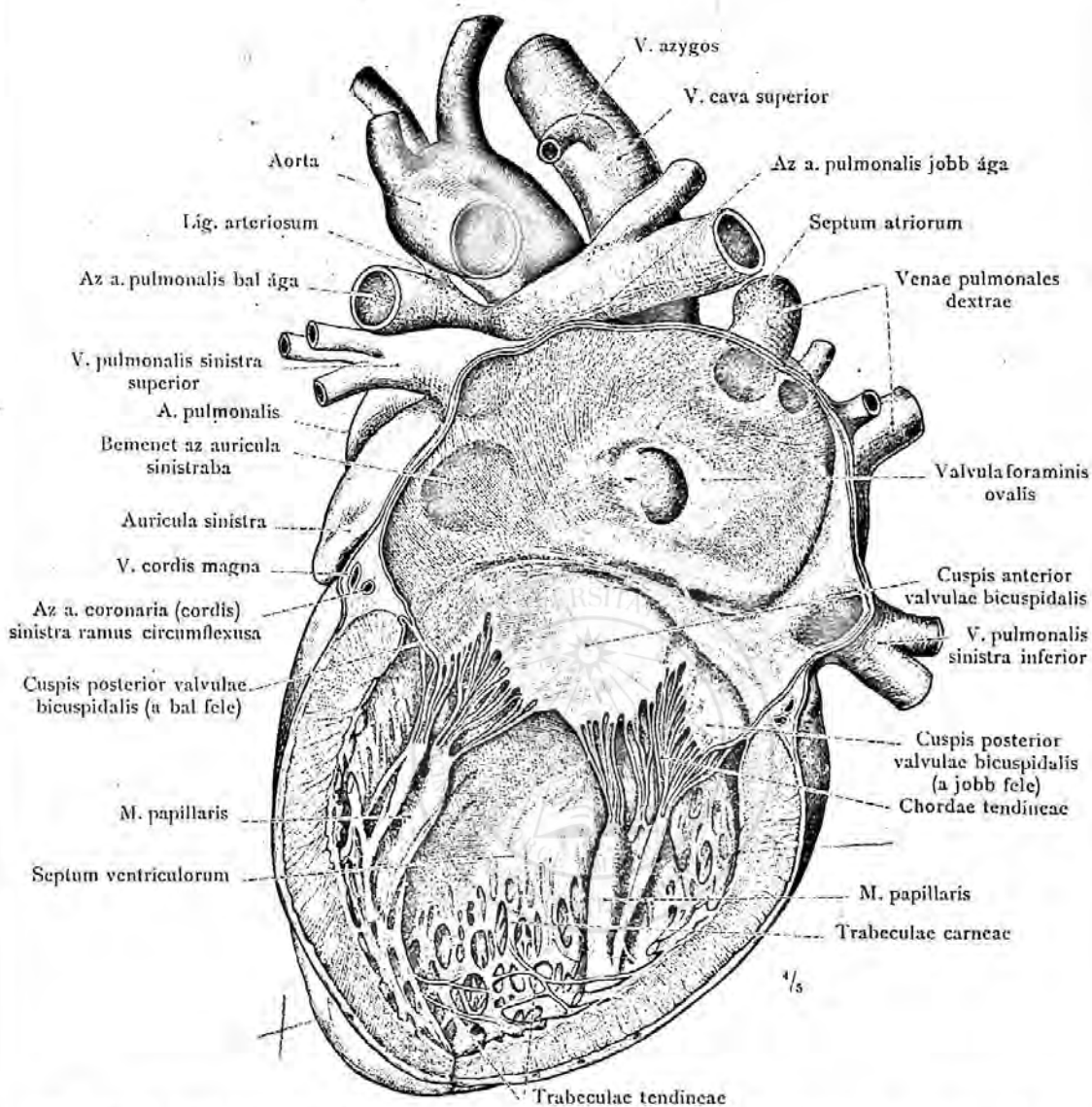


948. rajz. A szív balról és hátulról nézve. A bal kamarafal nagy részének eltávolításával a balkamara, ventriculus sinister, fel van tárva, úgy hogy a kéthegyű billentyű, valvula bicuspidalis (mitralis) és a két szemölcsizom, inas hurjaival együtt látható. A szív alapján a pericardium serosus lemezének áthajlása a jobb és a balpitvar epicardiumába látható.

(Ugyanaz a szív, mint a melyik a 946. rajzban látható.)

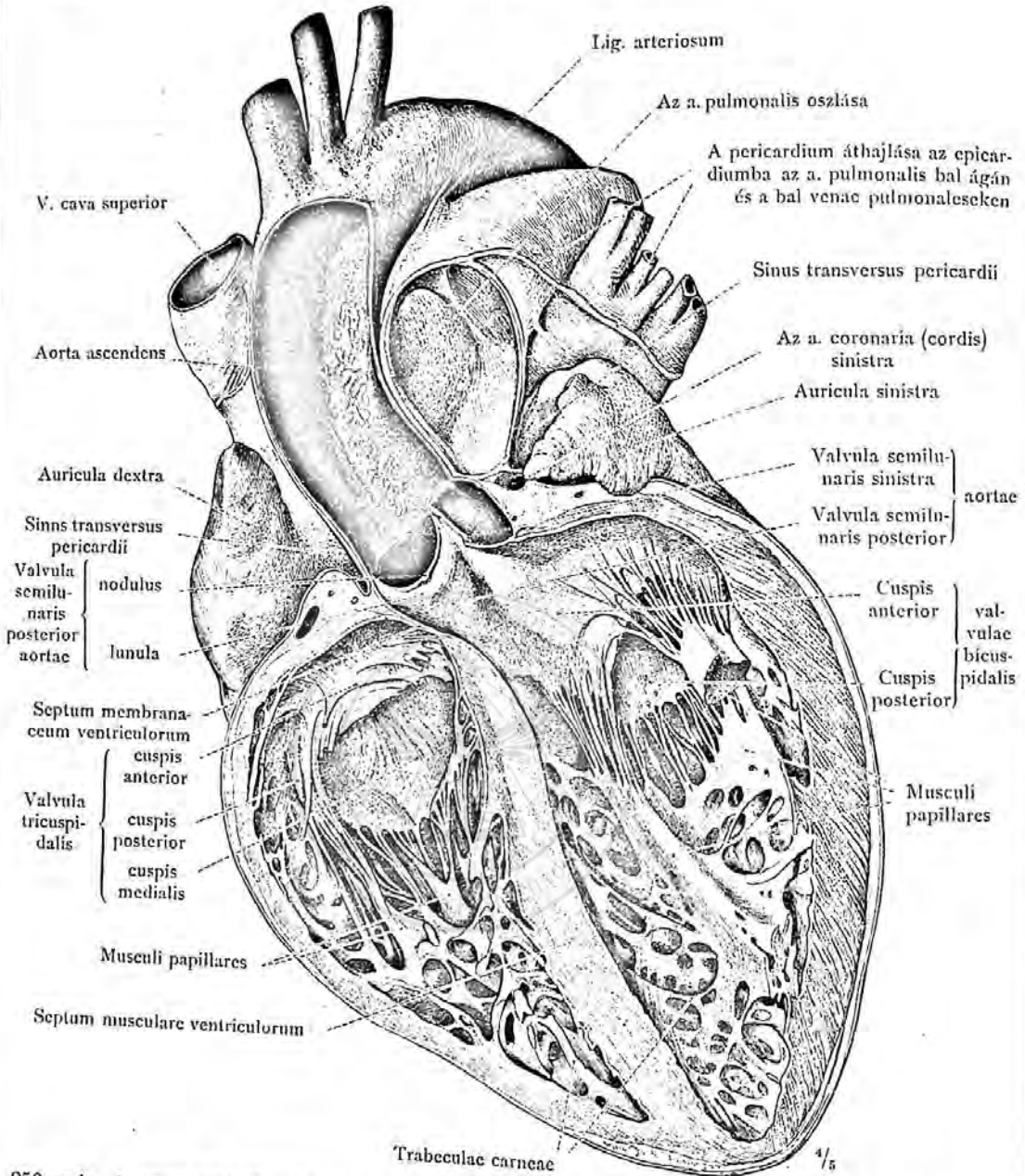
A szív bal kamarája.





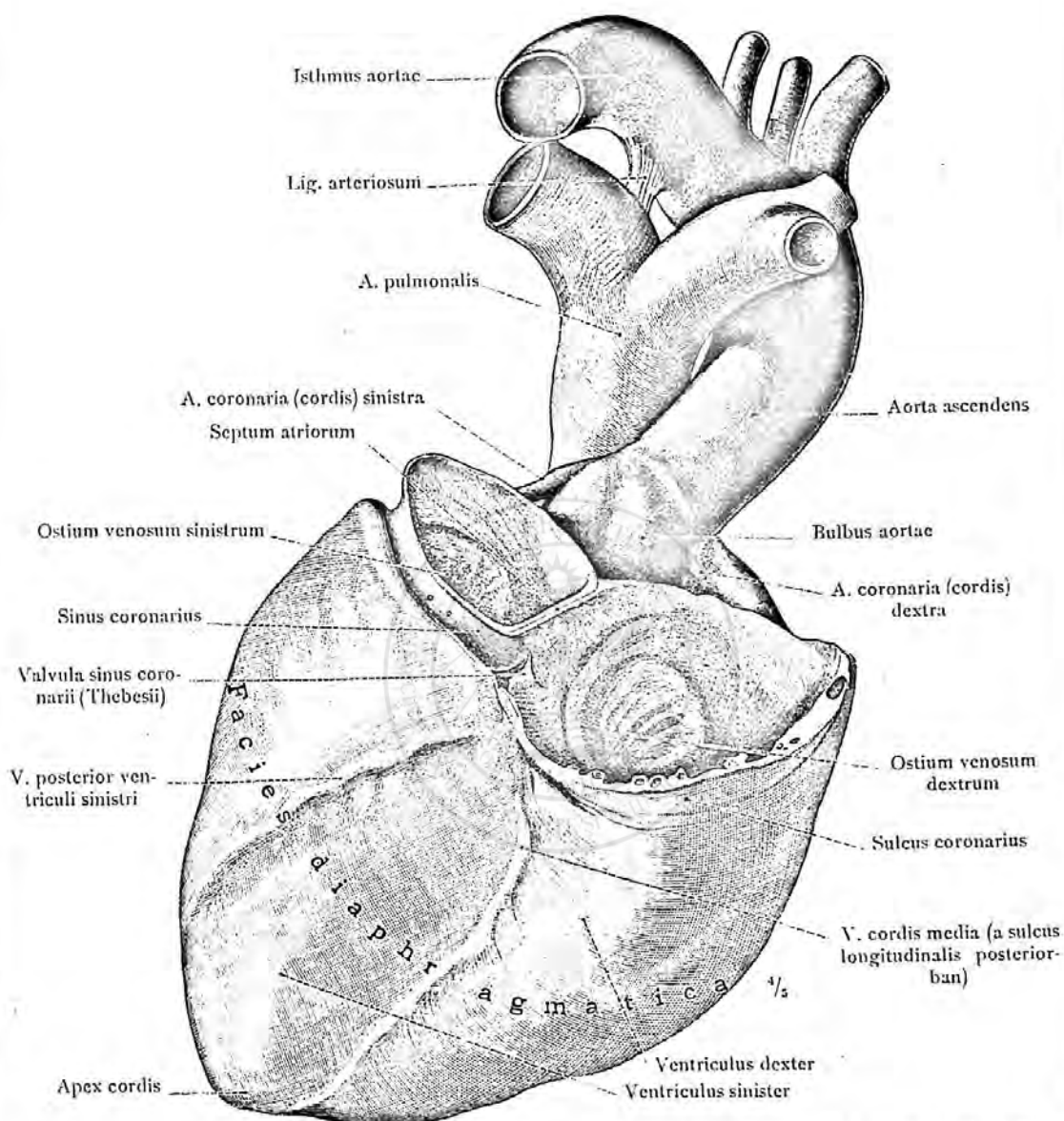
949. rajz. A szív baloldaltól nézve. A szív balkamarája és balpitvara megnyitva és a felvágott falak oldalra húzva. A szívcsúcstól kiinduló metszés fent a jobb és a bal venae pulmonalesek között végződik. A bal kamarában, ventriculus sinister, a kéthegyű billentyűnek kettévágott hátulsó billentyűje, cuspis posterior és a sértetlen elülső u. n. aorta-billentyűje, cuspis anterior látható; továbbá az elülső és hátulsó szemölcszokok az inas húrokkal, chordae tendineae; ezen kívül a kamarák sövénye, a septum ventriculorum, a húsos gerendák, trabeculae carneae és a szívcsúc közelében néhány szabadon kifeszített inas gerenda, trabeculae tendineae. A balpitvarban látható a négy tüdőgyűjtőér benyílása, venae pulmonales, a pitvarok sövénye, septum atriorum, a valvula foraminis ovalisnak megfelelő hártvás részével és a balfülecske bejárata.

A szív bal pitvara, atrium sinistrum. A szív bal kamarája, ventriculus sinister.



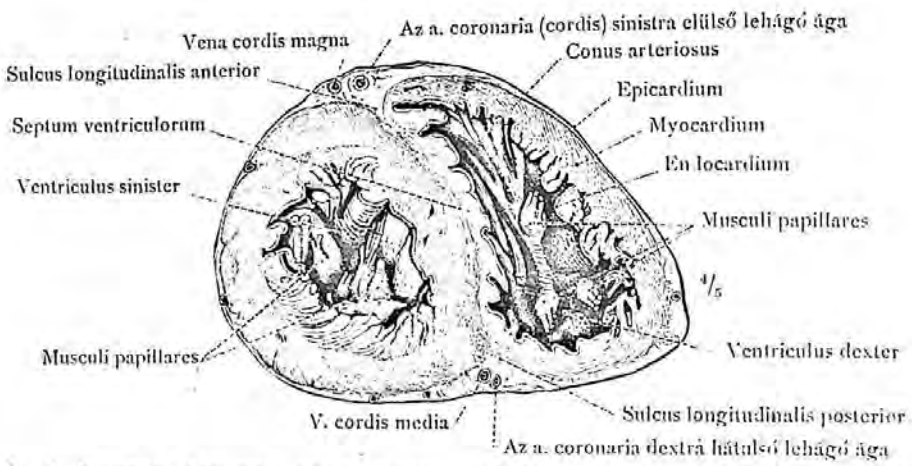
950. rajz. A szív elülről nézve. A formalinnal belövelt és megkeményített szív kamaráinak és a felszálló aortának úgyszintén a tüdőverőér törzsének elülső fala oszlásáig, homlokirányú metszéssel eltávolítva. A felnyitott kamarákban a kamarák sövényének húsos és hártás része, septum musculare és septum membranaceum ventriculorum; a két- és háromhegyű billentyű összes vitorláival, továbbá a szemölcsizmok inas húrjaikkal láthatók. A pitvarokból csak a jobb és bal szívfülecske látható; ezek között és a verőértörzsek között van a sinus transversus pericardii bemenete. Az ostium arteriosum sinistramban az aorta hátulsó félhordalaku billentyűje az Arantius csomócskával, nodulus és a billentyűszéllel, lunula, egészen megmaradt. A bal tüdőverőér bal ágán és a felső törzsöki gyűjtőeren, a pericardium savós rétegének áthajlása az epicardiumba látható.

A szívkamarák és a szívkamarák sövénye, septum ventriculorum.

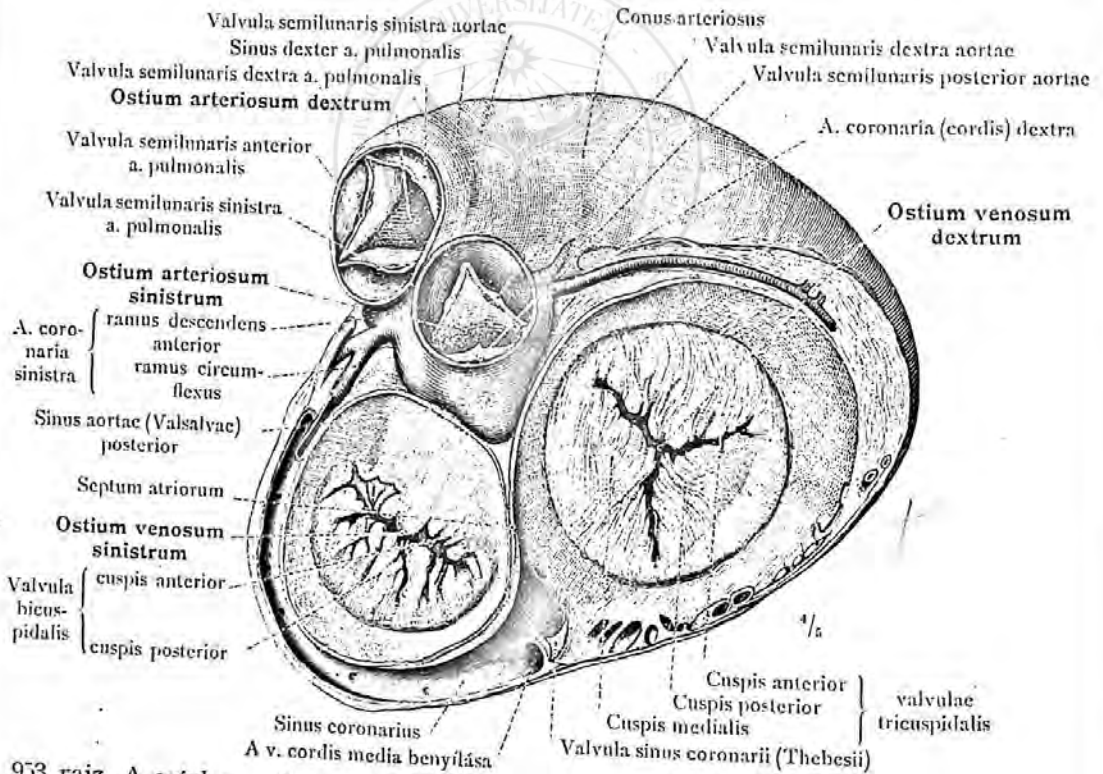


951. rajz. A szívkamarák rekeszizomi oldala, facies diaphragmatica, a belőlük kiinduló két verőértörzs: az arteria pulmonalis két ágával és az aorta. A bulbus aortae, a jobb és bal koszorús verőerek, a coronaria cordis dextra és sinistra eredése. A Botallszallag, ligamentum arteriosum és az aortaszoros, isthmus aortae. A kitégített és a megkeményített szív mind a két pitvara, a koszorús barázda, sulcus coronarius felett el van távolítva és a sinus coronarius egészen a jobb pitvarba nyílásáig fel van tárva.

A szívkamarák és a szívkamarákból eredő nagy erek.



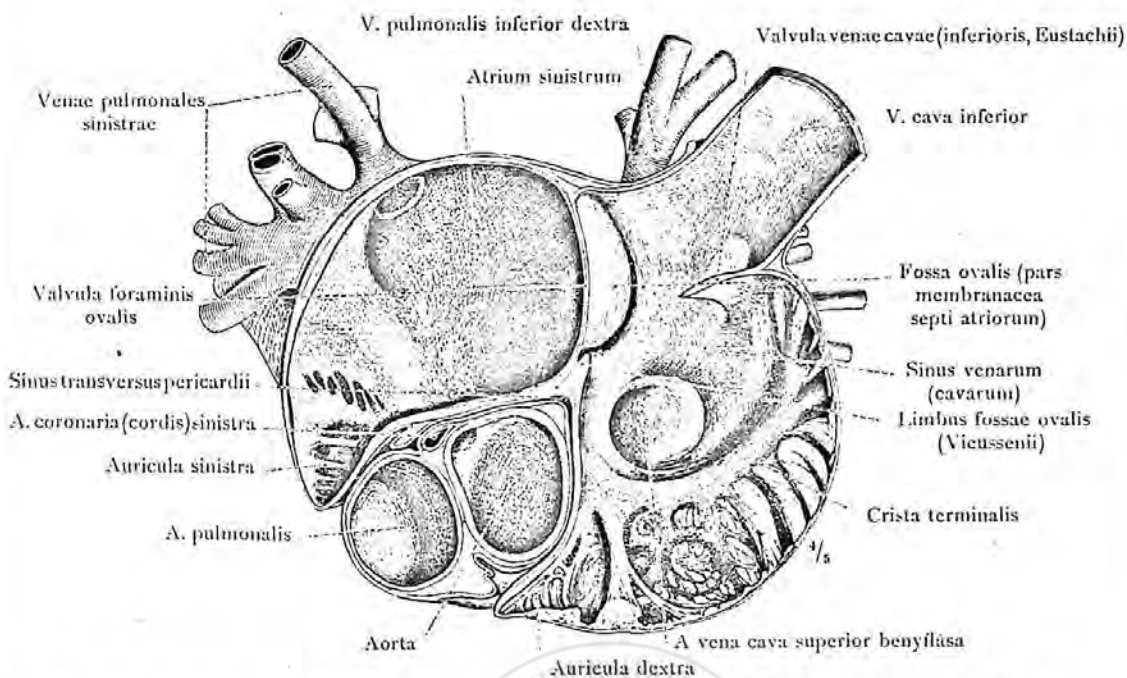
952. rajz. A harántul átvágott szívkamrák alsó fele. A metszés lapján a balkamara majdnem kör alakú kontúrja és a jobb kamranak sarló alakú metszete látható; továbbá látható a szívizom alkotta fal, a myocardium és a szív belső és külső burka, az endo- és az epicardium, végül feltűnő a bal szívkamara falának vastagsága.



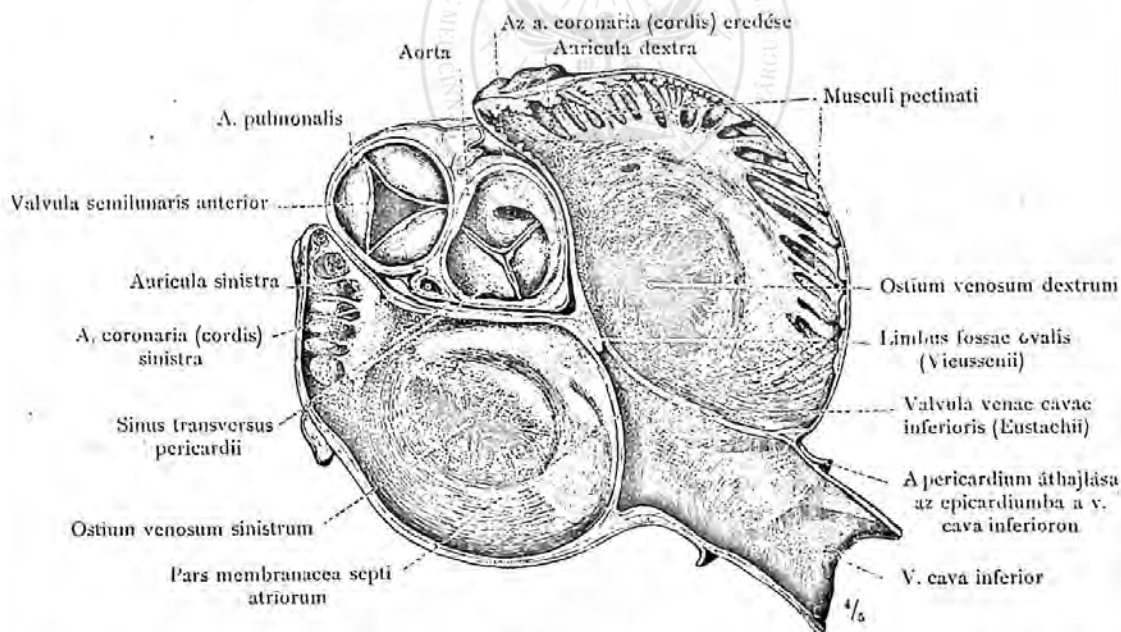
953. rajz. A szívkamrák nyílásainak kölsönös fekvése, mind a két pítvarnak valamint az aorta és az arteria pulmonalis félhordalaku billentyű feletti részének eltávolításával, látható. A metszés a sinus coronarius cordist, a Thebesius-billentyűvel, valvula sinus coronarii és a szív nagy gyűjtőerét, vena cordis magna, érte. A billentyűk állása megfelel a szív kamrák összehúzódásának, systolejának: a gyűjtőeres nyílások csukottak, a verőeres nyílások pedig nyitottak.

A szív kamrák és a szív kamrák nyílásainak kölsönös fekvése.





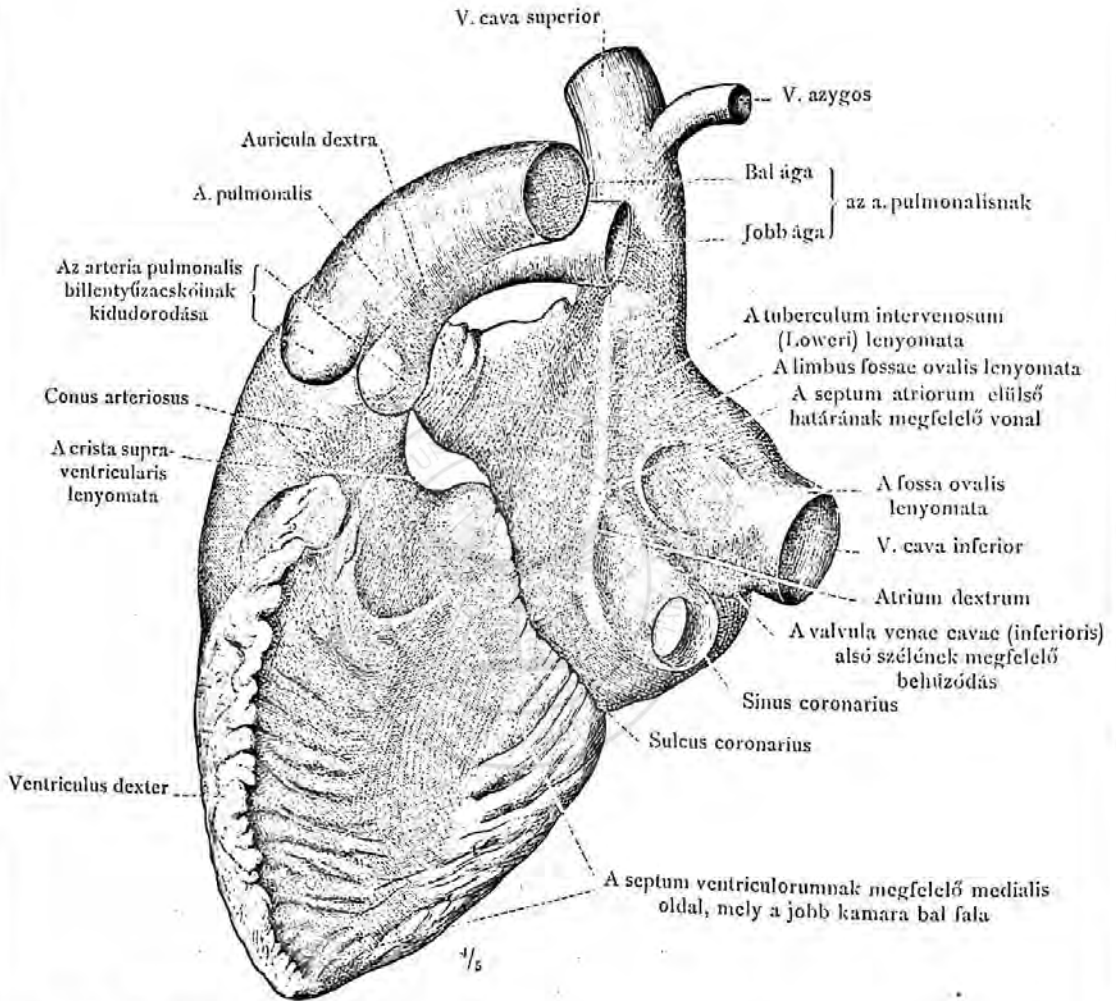
954. rajz. A sinus transversus pericardii. A jobb pitvar fésűs izmai és a határléc. Sinus venarum (cavarum). A pitvarsövény hártlys része.



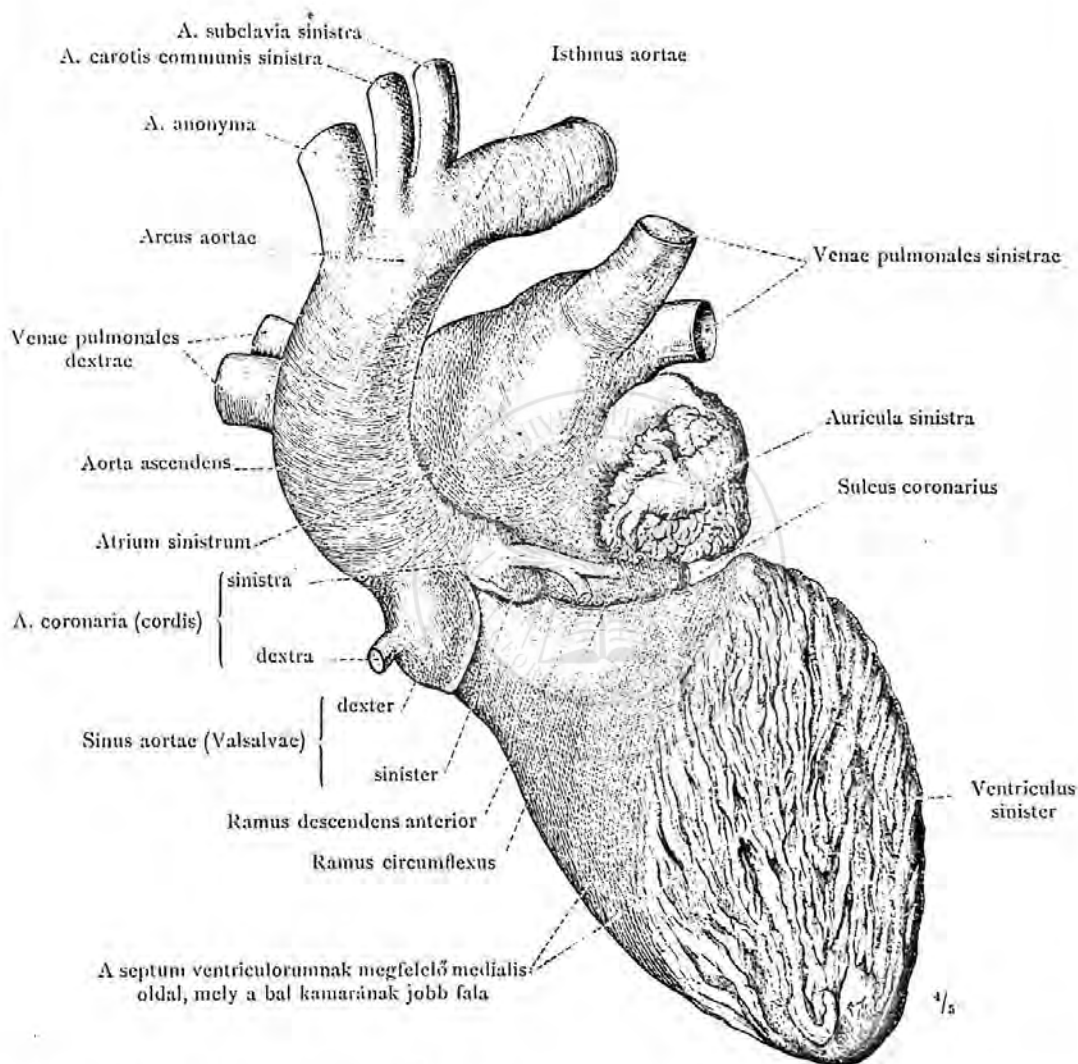
955. rajz. Az aorta és a tüdőverőér félholdalakú billentyűi, esomócskúikkal, noduli valvularum semilunarium. A pitvarsövény hártlys része és az Eustach-billentyű.

(A szívpitvarok a koszorús barázdával párhuzamos metszéssel meg vannak feleztve. A felező metszés a szívfülecskék közepén, az aorta gyökerén, az arteria pulmonalison és a vena cava inferior végdarabjának közepén halad át. A 954. rajz a metszet felső fele, a 955. rajz a metszet alsó fele.)

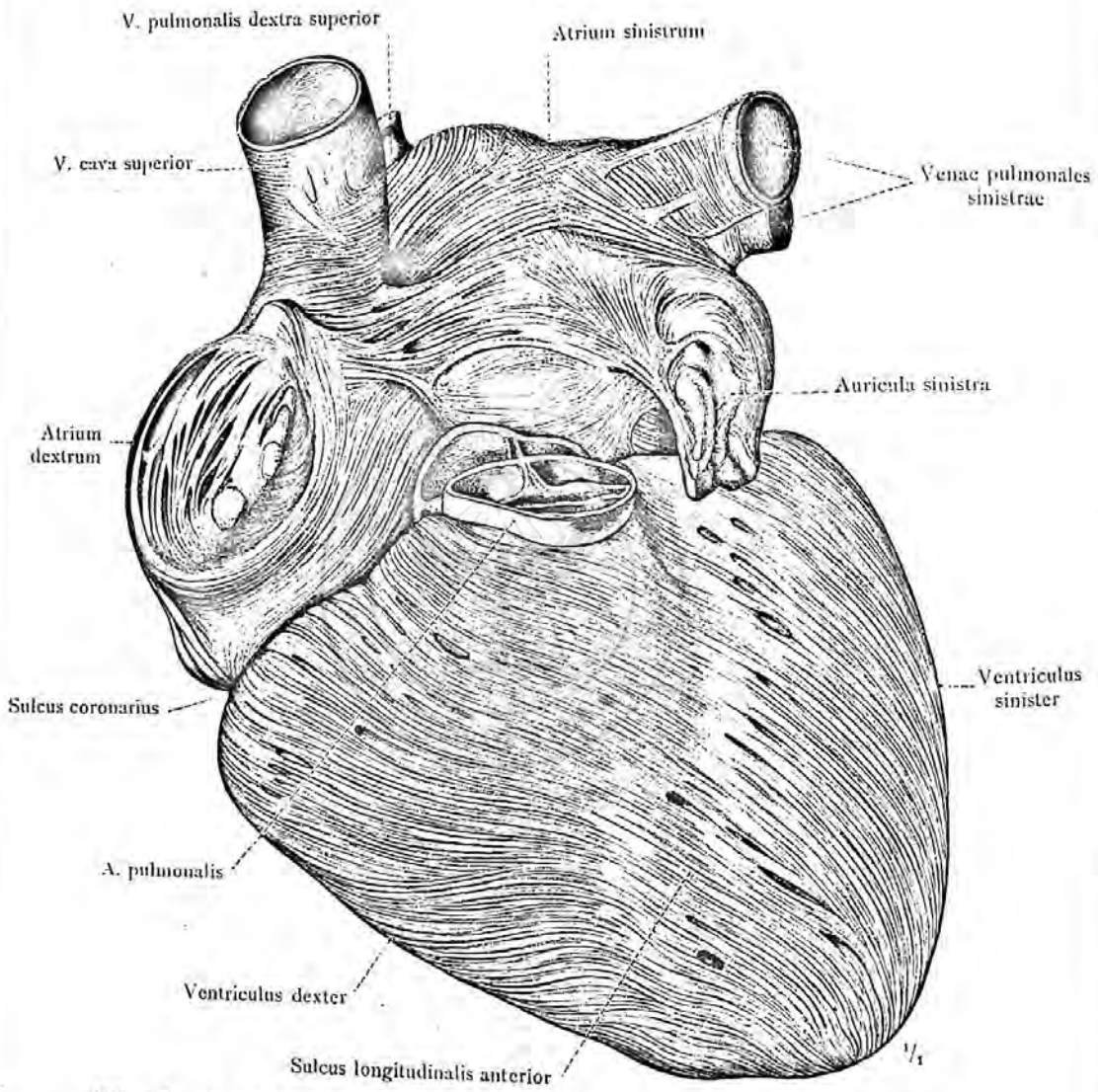
A szívpitvarok fekvése egymáshoz és a két nagy verőérhez.



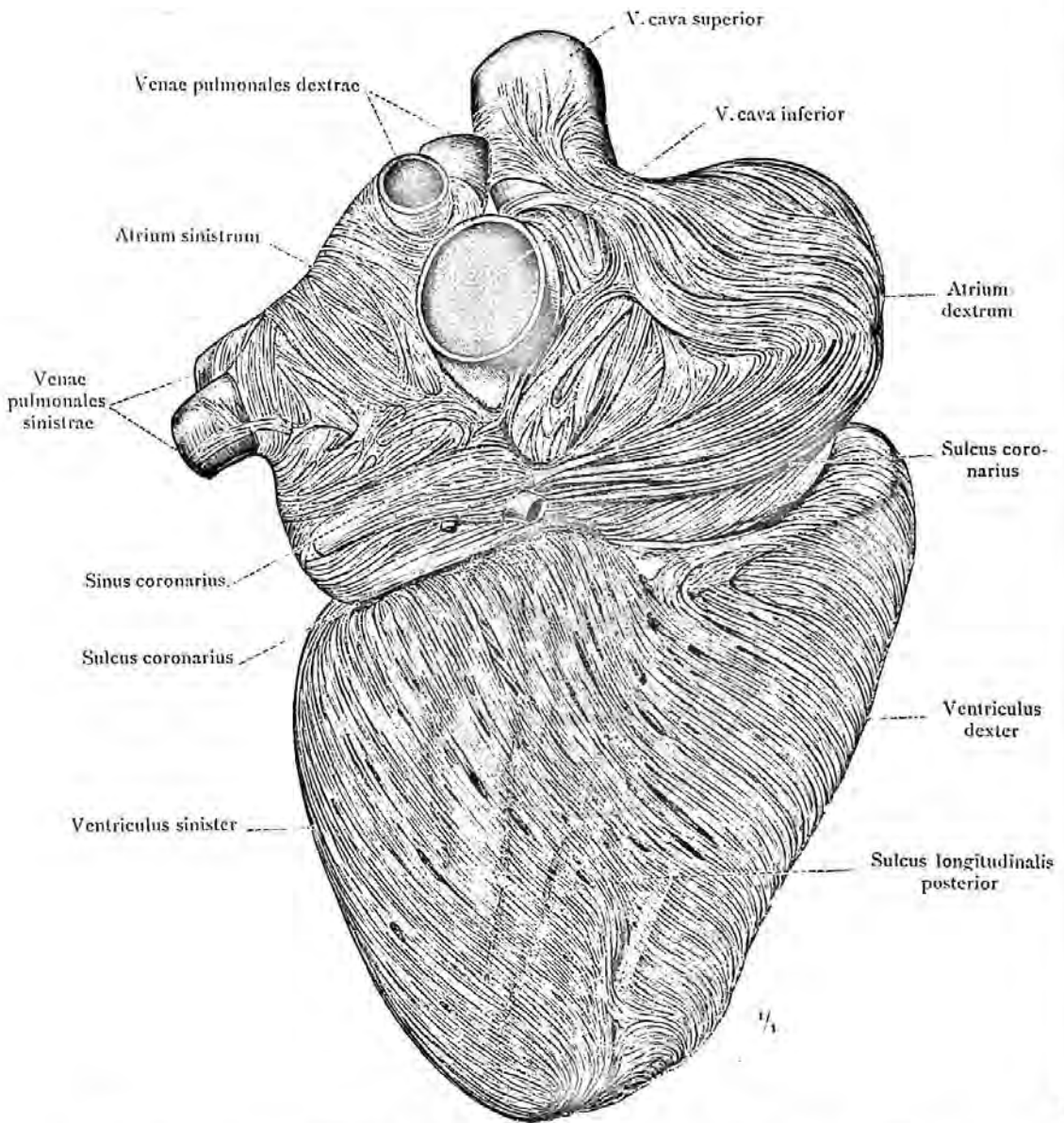
956. rajz. A befecskendett jobb szívfél korrosiós készítménye az a. pulmonalissal, a két vena cavával és a sinus coronarius végdarabjával, a medialis oldalról nézve.



957. rajz. A befecskendezett bal szívfél korrosziós készítménye az aortával, a koszorús verőerek eredésével és a gyűjtőerek végdarabjával, a medialis oldalról nézve.

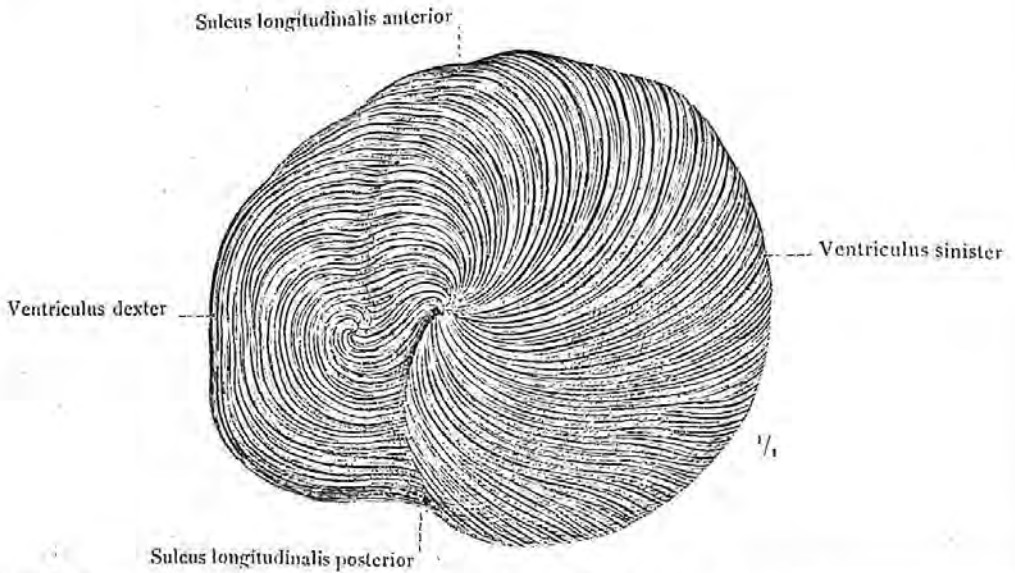


958. rajz. A szívkamarak és a pítvarok elülső oldalának felületes izomzata.  
 (A szív izomkészítménye, előzetes laggyúval való befecskendezés után.)

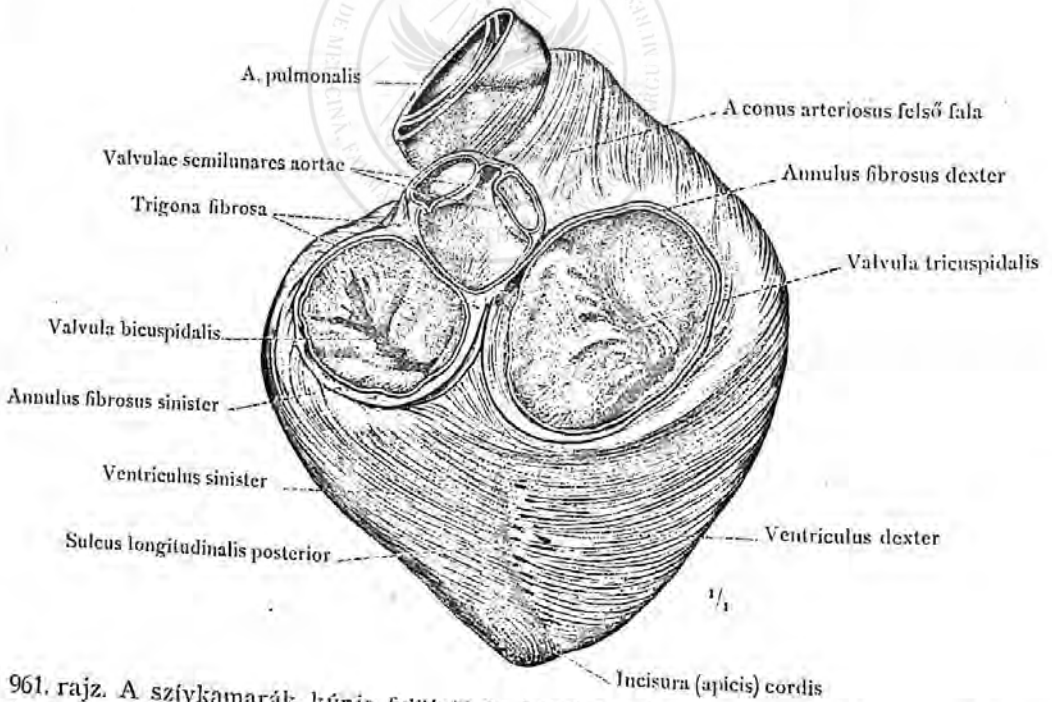


959. rajz. A szívkamrák és a pitvarok hátulsó oldalának felületes izomzata.  
(A 958. rajz készítménye, hátulról nézve.)



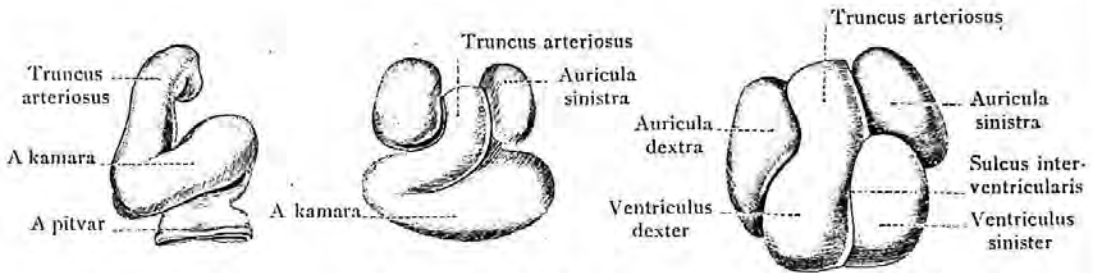


960. rajz. A szívörvény, a vortex cordis, a szívkamarak kúpjának csúcsán; alulról nézve.

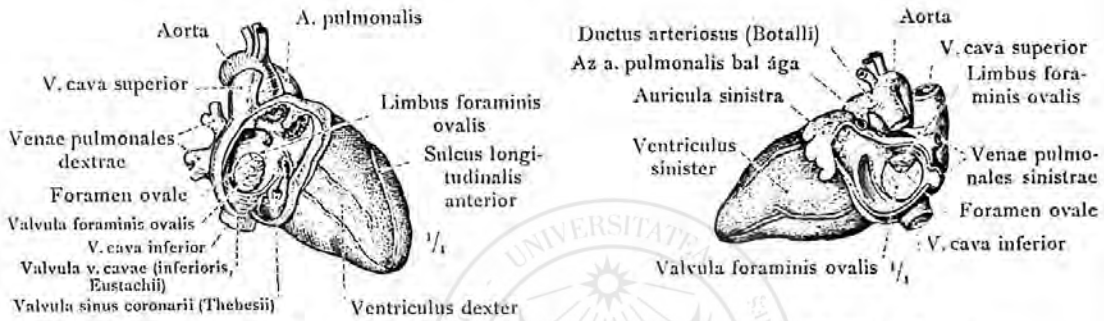


961. rajz. A szívkamarak kúpja felülről és hátulról nézve, a szív kidolgozott, felületes izomrétegével. A szívkamarak rostos gyűrűi, annuli fibrosi, és azoknak háromszögű rostos részei, a trigona fibrosa.

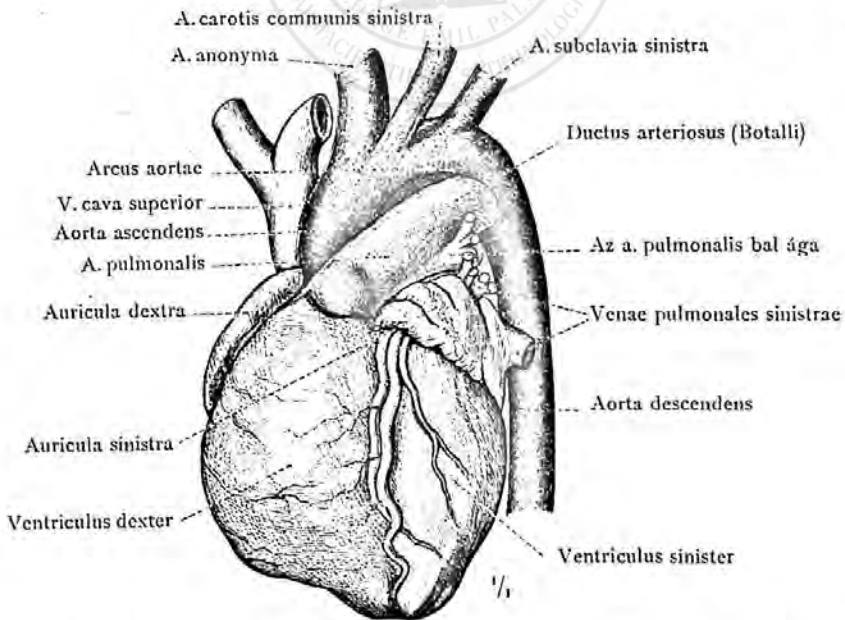
A szívkamarak izomzatának örvénye, vortex cordis. — A rostos gyűrűk, annuli fibrosi.



A harmadik hétben. A negyedik hétben. Az ötödik hétben.  
 962. rajz. Az emberi szív fejlődésének fokozatai, a magzat első heteiben. (Nagyítva, His W. szerint.)

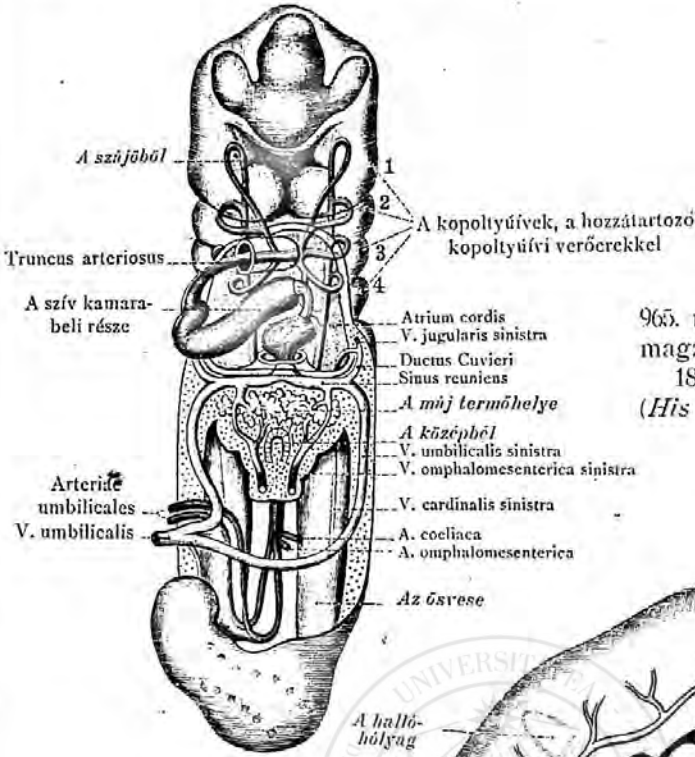


A jobb oldalról nézve. A bal oldalról nézve.  
 963. rajz. A pitvarok szabad falainak eltávolításával, a septum atriorumban a foramen ovale látható; 6 hónapos emberi magzatban.

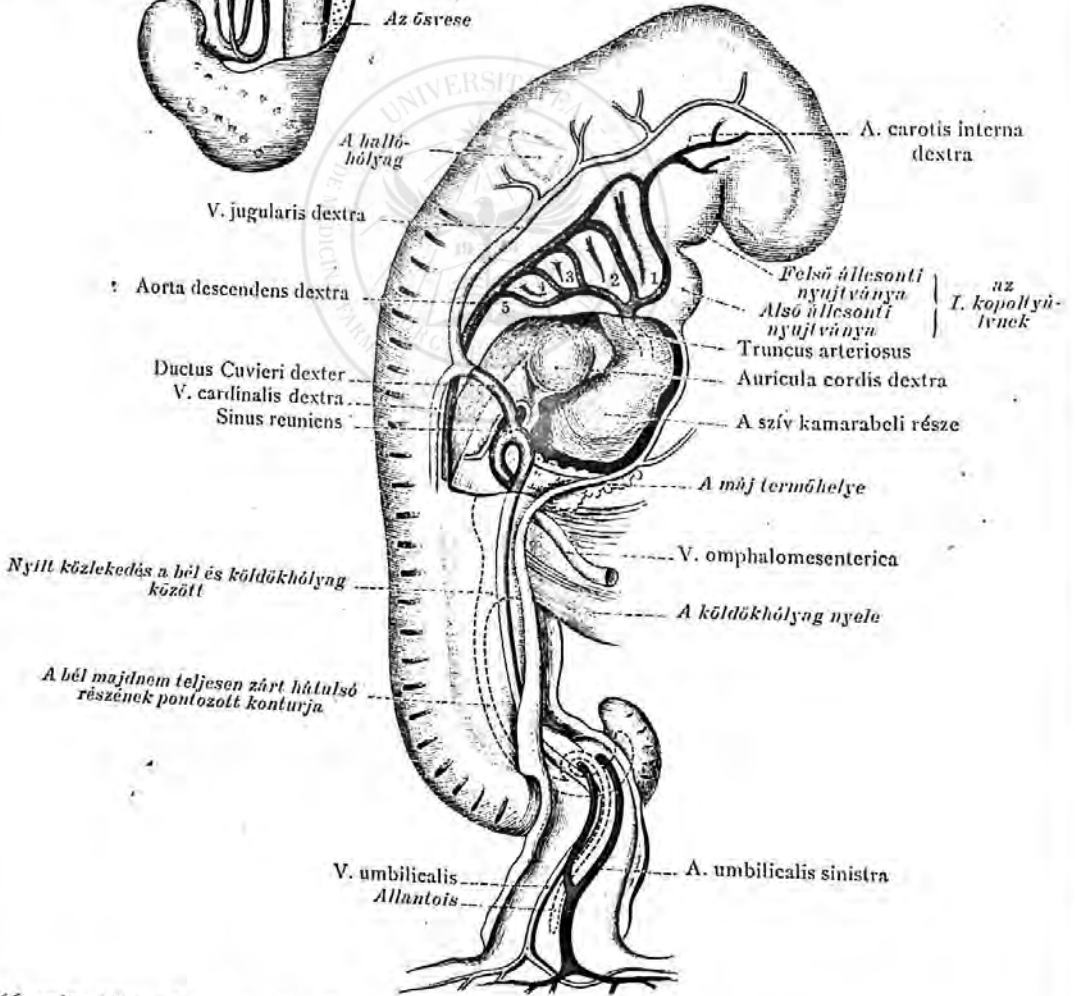


964. rajz. Érett újszülött gyermek befecskendezett szíve, balról és elülről nézve. A Botall-vezeték, mely egyenes folytatása a tüdőverőér törzsének.

A szív fejlődése.



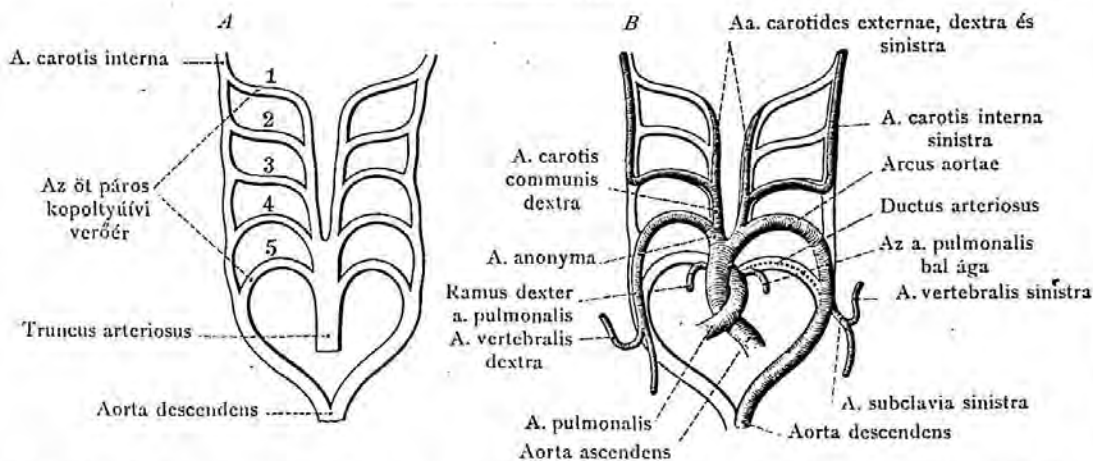
965. rajz. 2,6 cm hosszú emberi magzat érrendszere, a fejlődés 18.-20. napján, elülről nézve. (His W. két rajzából összeállítva.)



966. rajz. 4,2 cm hosszú, 22-23 napos emberi magzat szíve és érrendszere; a jobb oldalról nézve. (His W. szerint.)

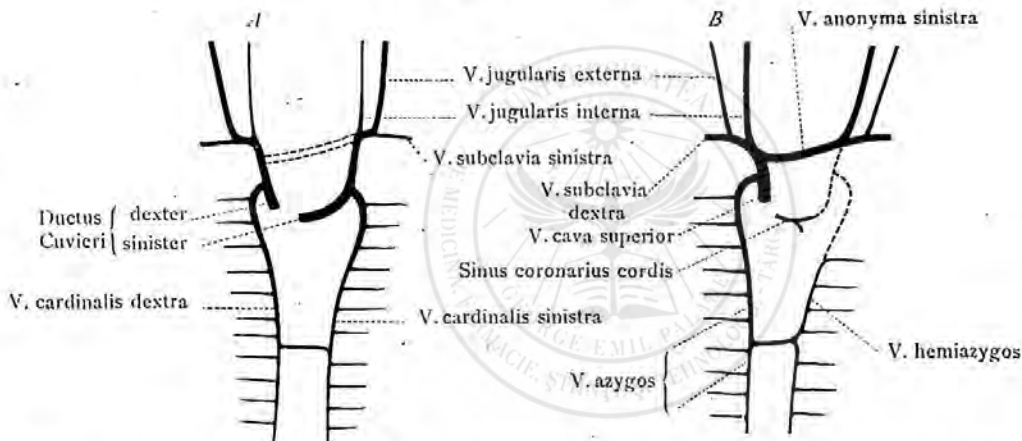
A magzat érrendszere a harmadik hét végén és a negyedik hét elején.





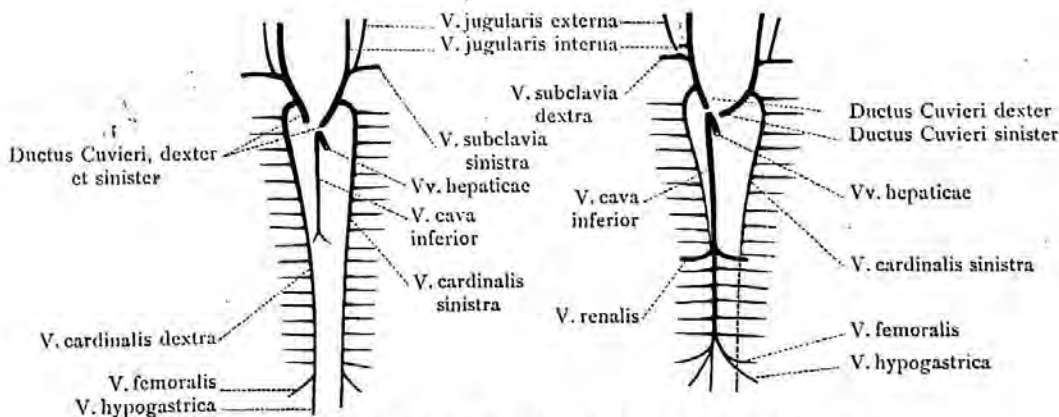
967. rajz. A kopolyútví verőerek átalakulásának sémája. *A* A még át nem alakult, kopolyútví verőerek eredeti berendezése. *B* Ezeknek átalakulása a maradandó verőértörzsekké.

(Rathke sémája, Hochstetter kevés változtatásával.)



968. rajz. A kezdetleges gyűjtőrendszer sémája (*A*) és a vena cava superior rendszerének kialakulása (*B*).

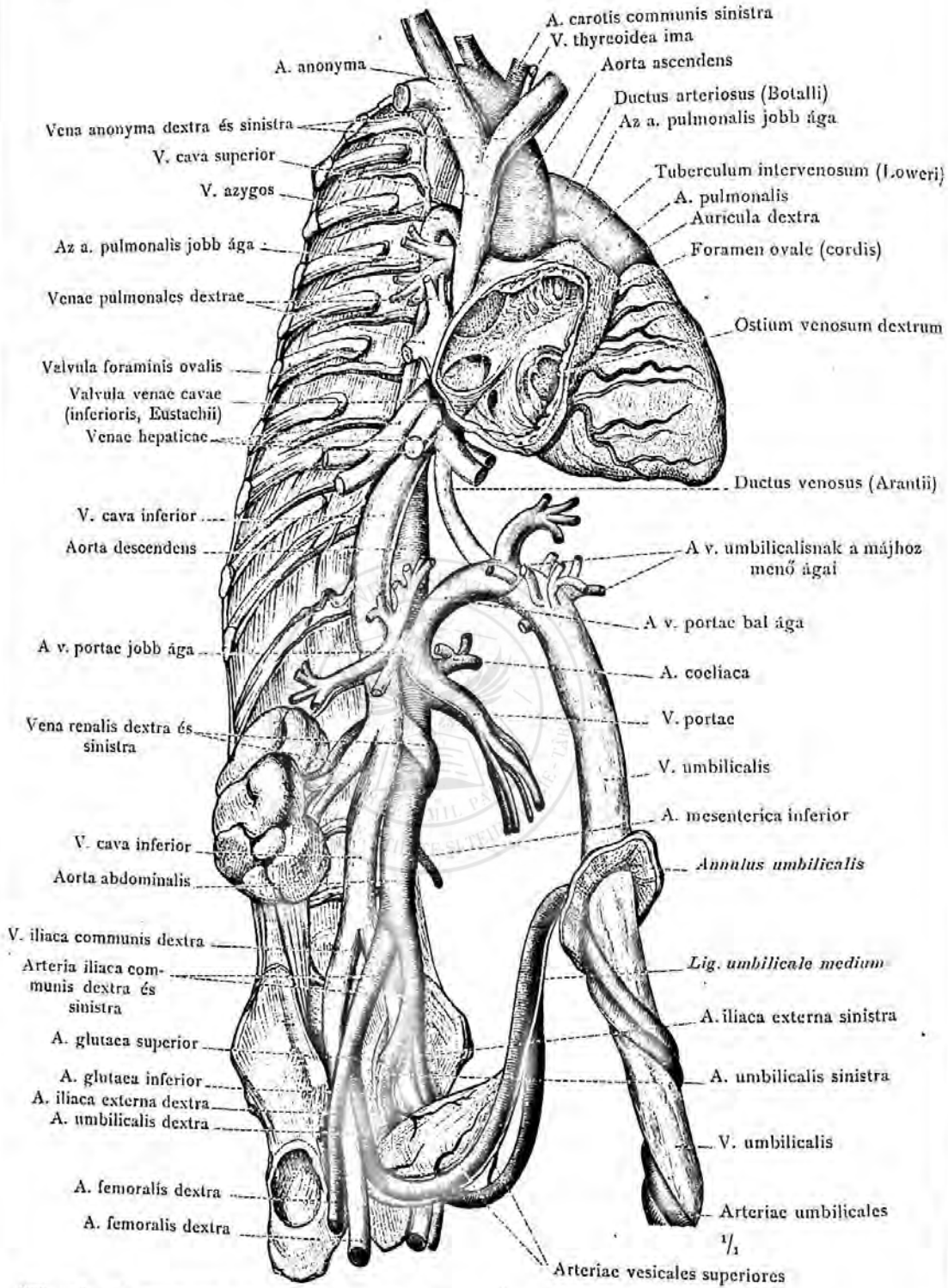
(Rathke sémája, Hochstetter F. változtatásával.)



969. rajz. A vena cava inferior fejlődésének sémája.

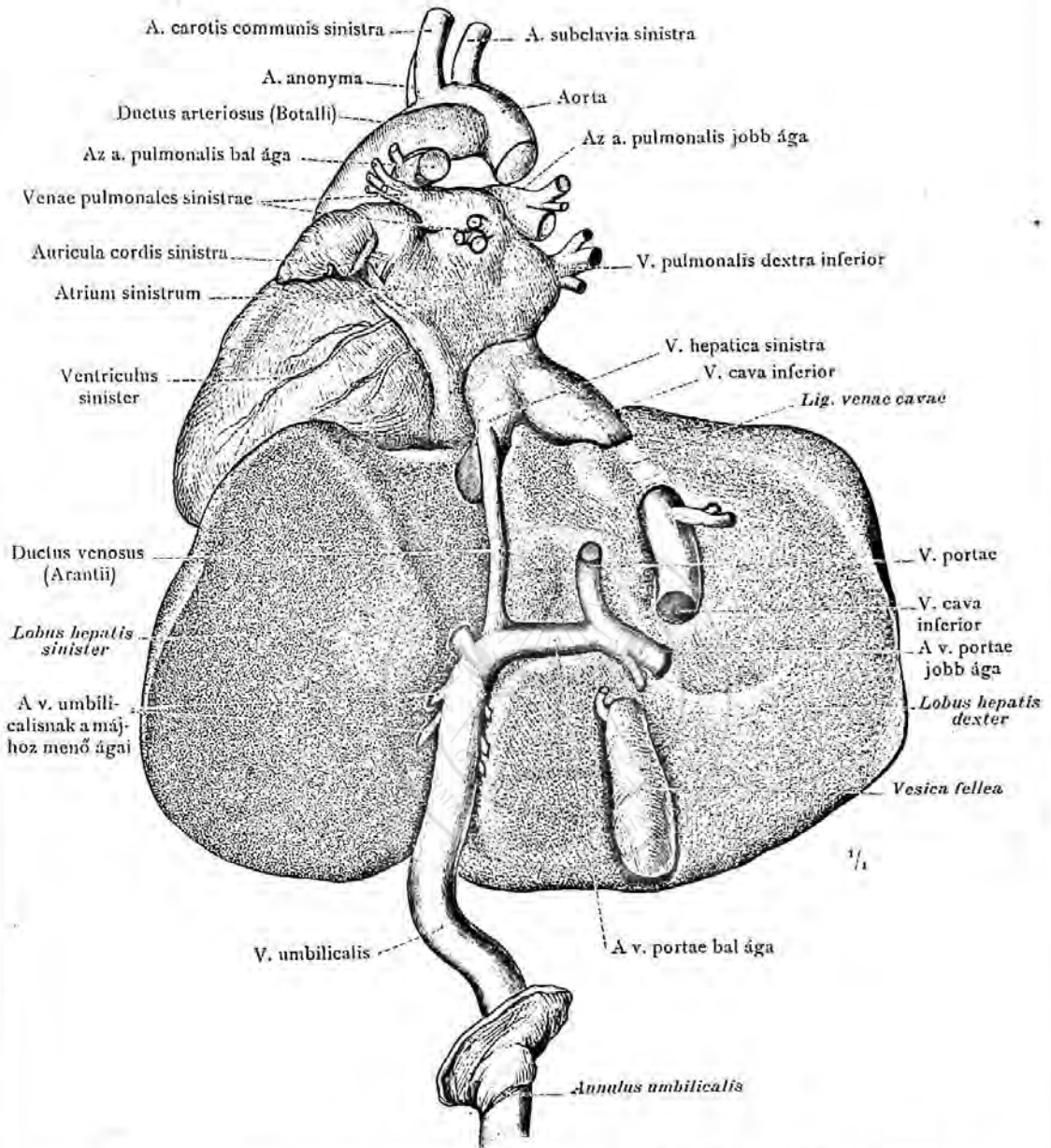
(Rathke sémája, Hochstetter F. javításával.)

A legelső verőerek és gyűjtőerek és azok későbbi átalakulásai.



970. rajz. A magzati vérkeringés útjai, halva született, érett csecsemőben kidolgozva. Jobboldalról nézve. (A jobb pitvar oldalsó falának eltávolításával, a foramen ovale billentyűjével, valamint az Eustach-billentyű is látható. A köldök-gyűjtőérnek a májhoz menő ágai és az Arantius-vezeték sárgák, a vena portae, a tüdőverőér és a Botall vezeték zöldek.)

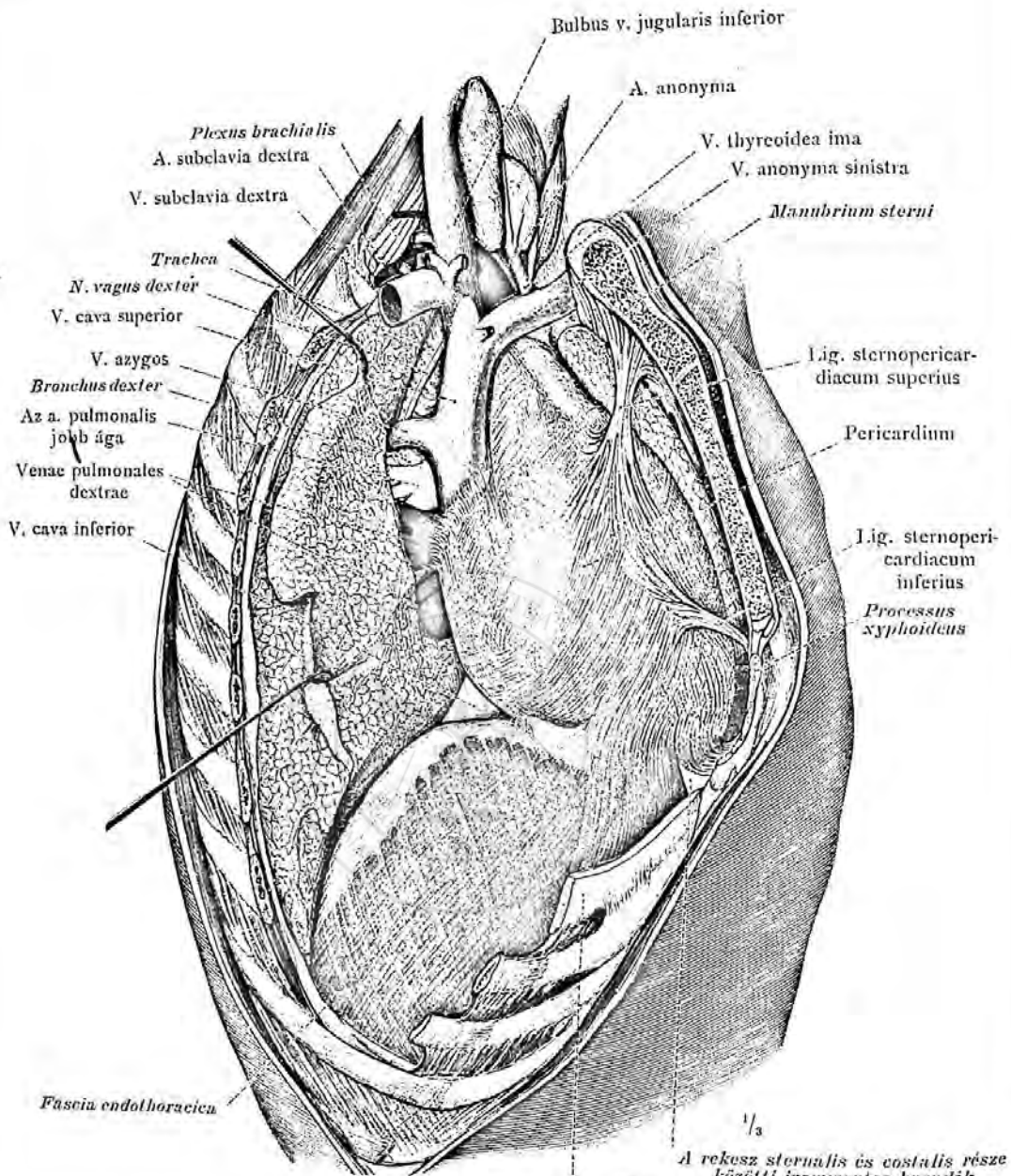
A magzati vérkeringés útjai.



971. rajz. Halva született érett magzat mája és szíve. A köldökgyűjtőér, a vena umbilicalis, lefutása a köldökgyűrűtől a vena portae bal ágába nyílásáig és a máj bal hosszanti barázdájában a májhoz menő ágai. A vena portae jobb és bal ágra oszlása. Az Arantius-vezeték eredése a vena portae bal ágából és ezen vezeték benyílása a máj bal gyűjtőérébe.

(A máj alulról és a szív hátulról nézve. A vena portae elvágott, rövid törzse felfelé van húzva.)

A magzati vérkeringés útjai a májban.

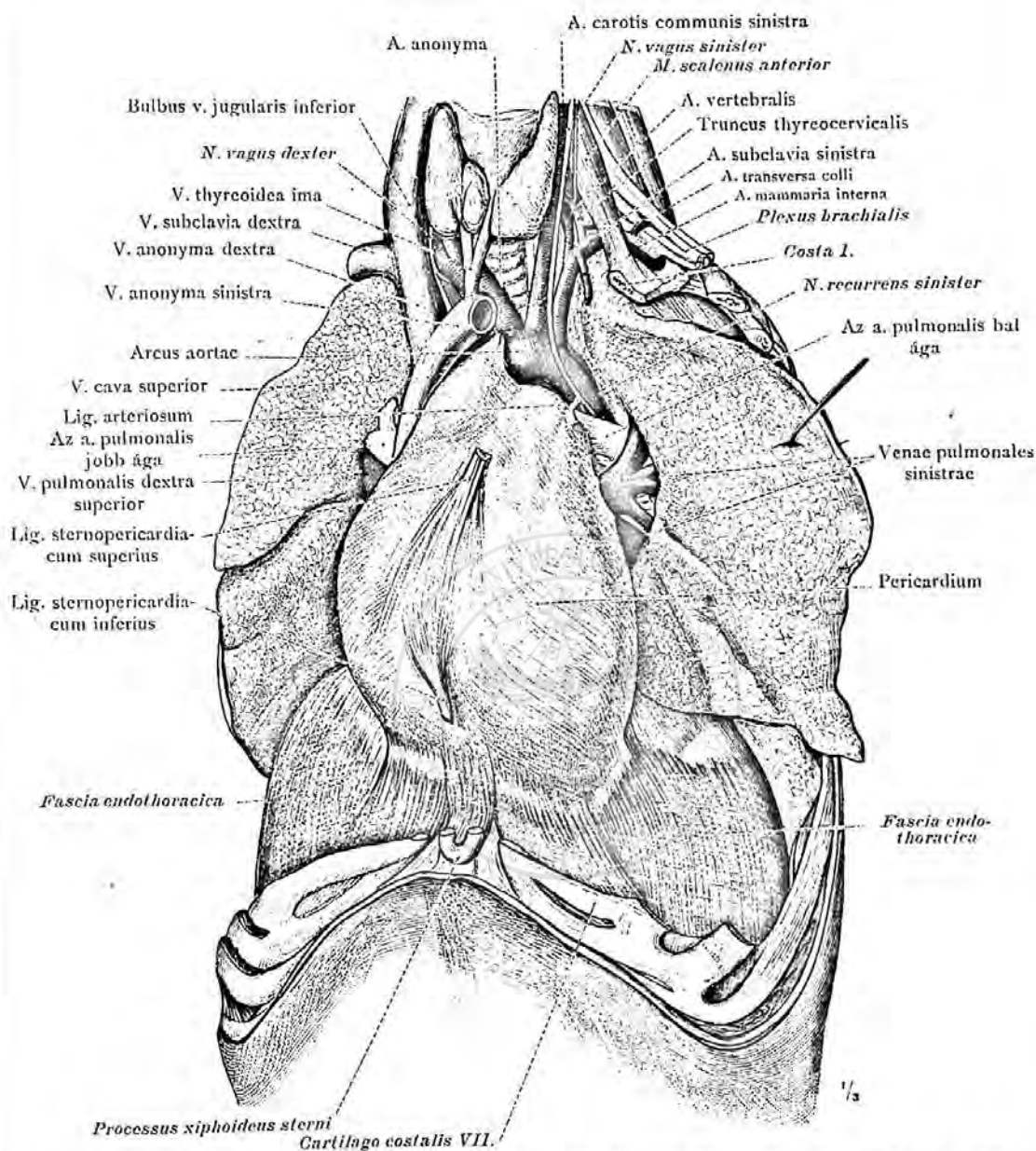


A rekesz sternalis és costalis része közötti izommentes hasadék  
Cartilago costalis VII.

972. rajz. A szívburok, a pericardium, fekvése valamint összefüggése a fascia endothoracicaival és a rekeszizmokkal; a szívburok rostos rétegének áthajlása az aorta falára, a vena cava superiorra és a jobb tüdőgyűjtőérre. A ligamentum sternopericardiacumok. Jobbról nézve.  
(A mellcsontot a középvonalban átvágva, a csont bal felét kissé előre húzva, a mellkas jobb falát a 10. bordáig eltávolítva és a jobb tüdőt erősen hátra húzva, a tüdőgyökér erei láthatók.)

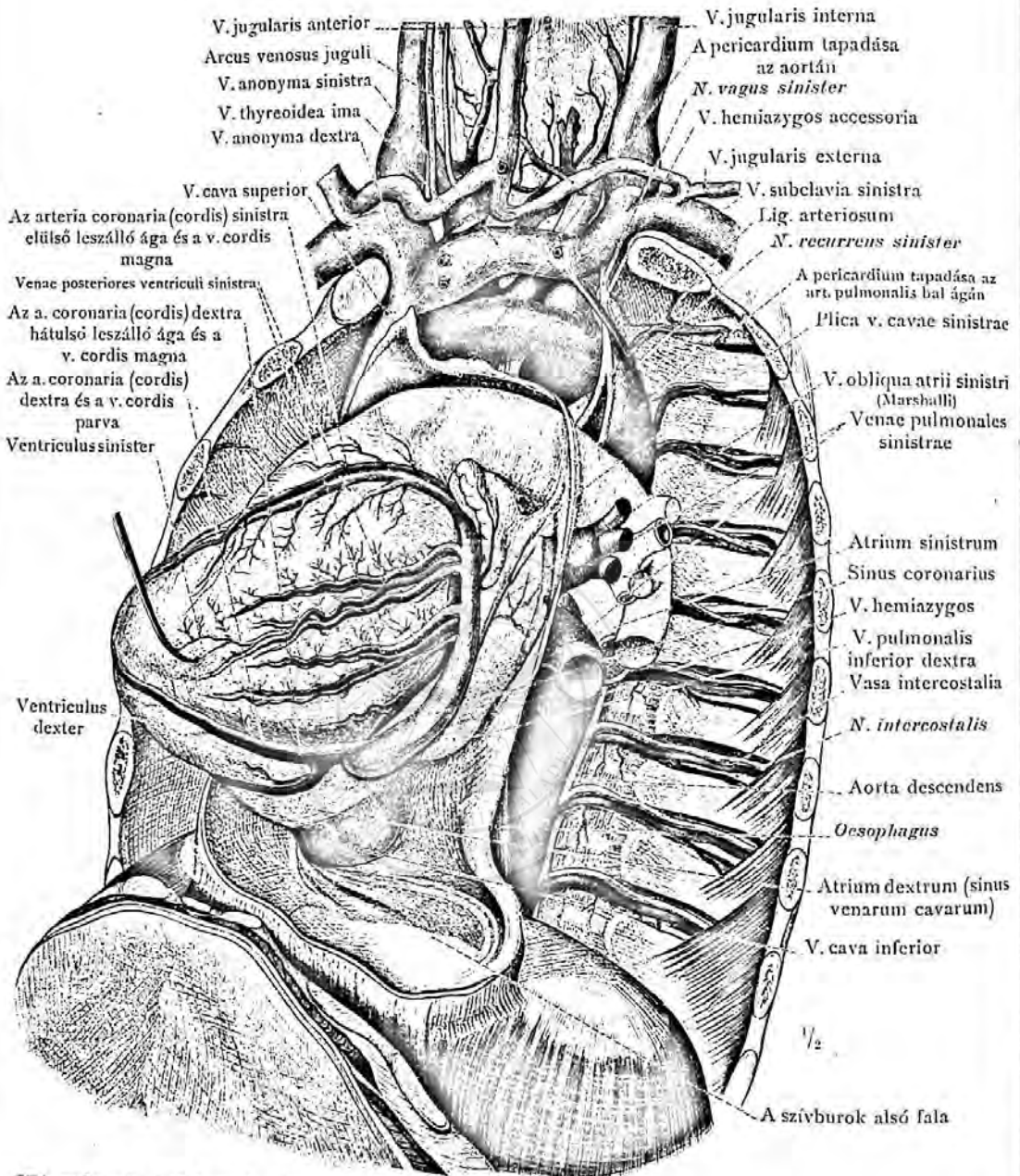
A szívburok, pericardium. — Ligamenta sternopericardiaca.





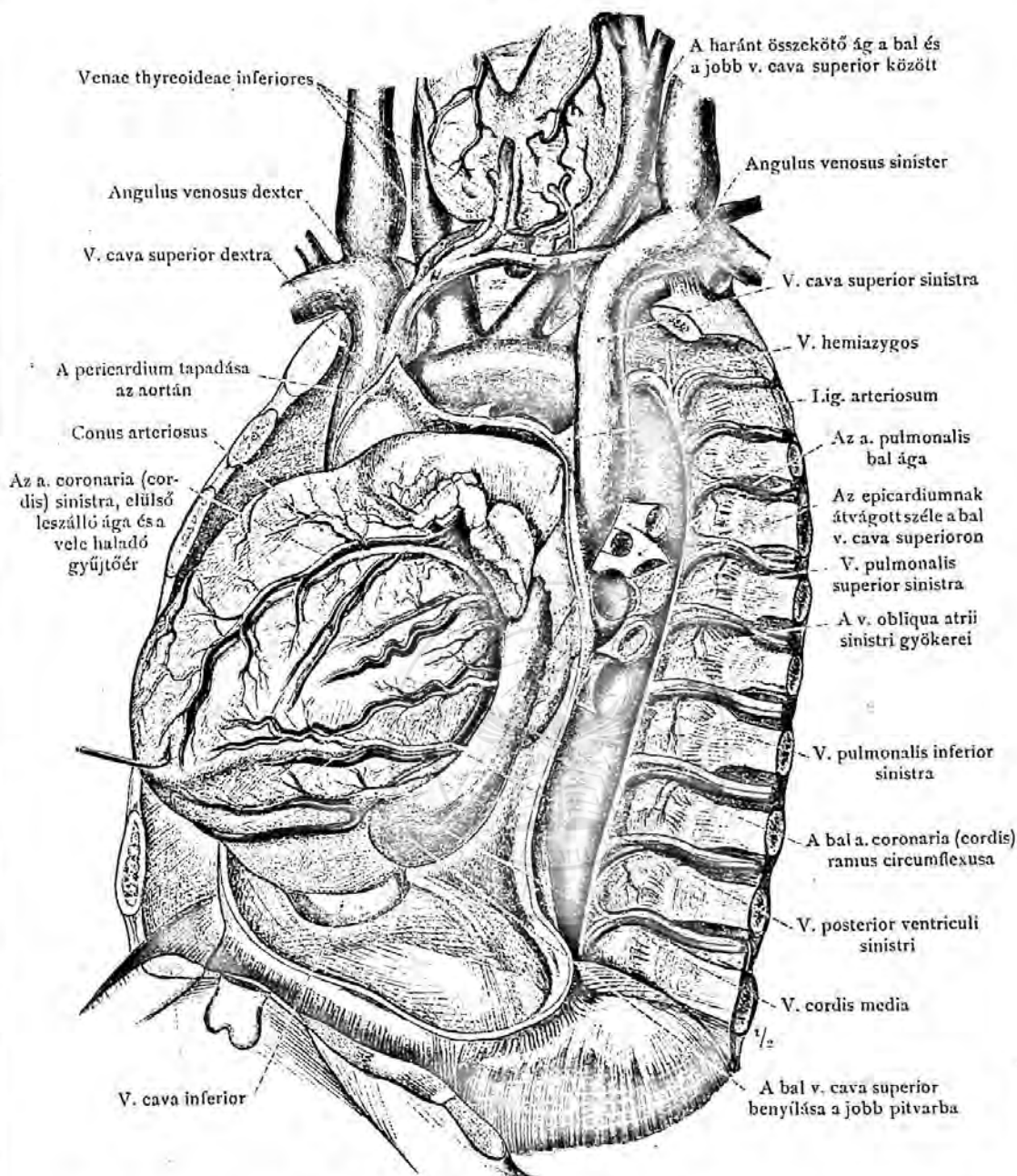
973. rajz. A szívburok, a pericardium, fekvése valamint összefüggése a fascia endothoracicaival és a rekeszizmokkal; a szívburok rostos rétegének áthajlása az aortára, a tüdőverőér bal ágára és a bal tüdőgyűjtőerek elülső falára. A szívburok elülső falán az átvágott ligamenta sternopericardiacum maradványai láthatók. Elülről nézve. (A 972. rajz készítményéről a mellkas bal fala is eltávolítva. Mindkét tüdő erős hátrahúzásával, a tüdőgyökér erei is láthatók.)

A szívburok, pericardium. — Ligamenta sternopericardiacum.



974. rajz. A szívburok plica venae cauae sinistraeje és a vena obliqua atrii sinistri (Marshall-vena). Balról és alulról nézve. (A mellcsont egészen, a bal mellkasfal nagy része eltávolítva; a szívburok elül és bal oldalt a nagy értörzseken és a rekeszszimon való tapadása mentén levágva és eltávolítva. A szívnek jobbra és felfelé húzásával a szívrekeszszimó oldala látható. Az epicardiumot részben eltávolítva a koszorúerek láthatók.)

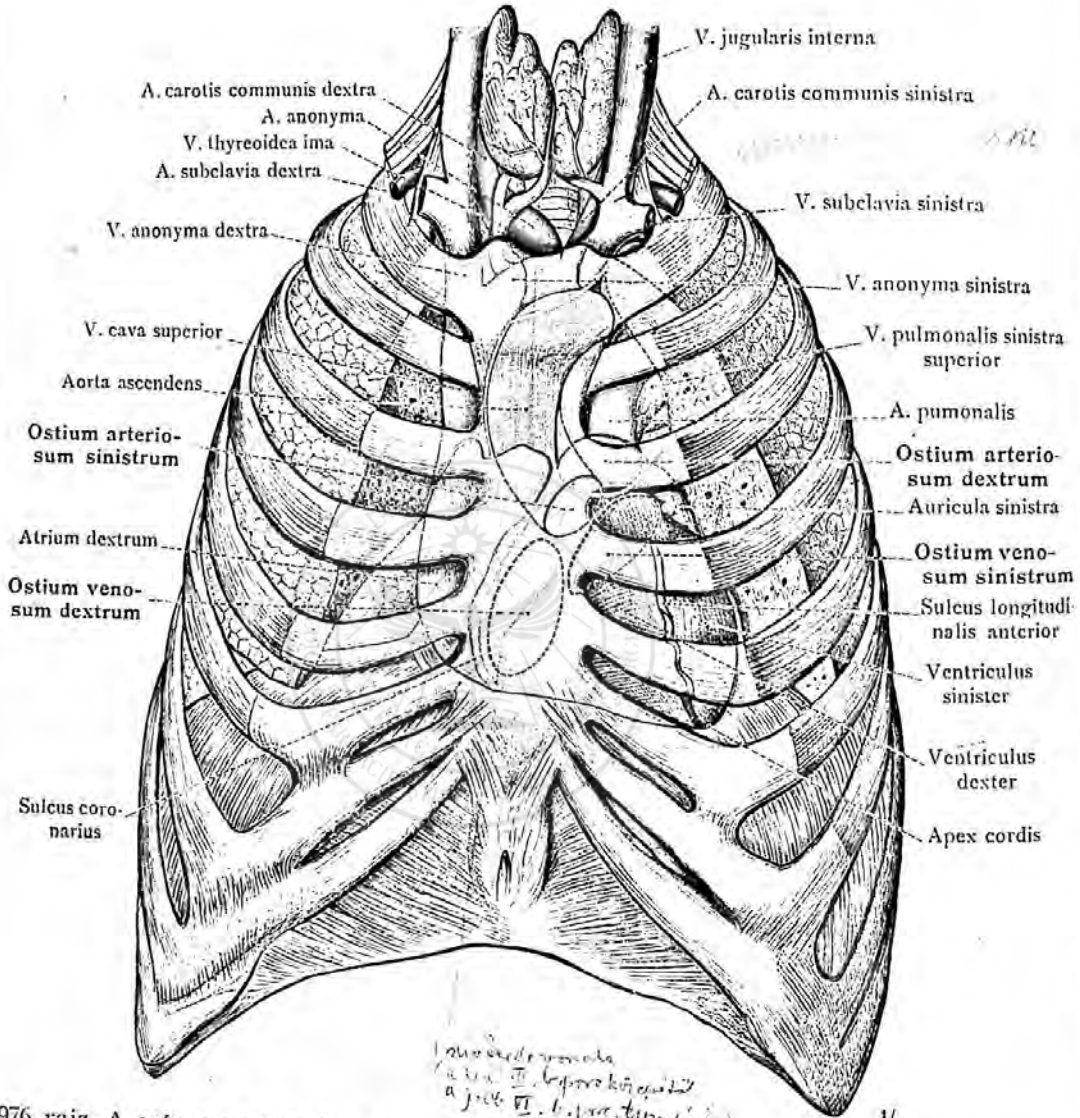
A pericardium, az epicardium, a plica venae cauae sinistrae és a szív gyűjtőerei.



975. rajz. A rendellenesen megmaradt bal v. cava superior és viszonya a szív többi gyűjtőteréhez. Balról nézve. A v. hemiazygos a IV. hátsigolya magasságában, hátulról, a bal v. cava superiorba ömlik. A bal és jobb v. cava superior között aránylag gyenge összekötő ág van, a melyből ha a bal v. cava superior alsó része visszafejlődik, a harántlekvésű bal v. anonyma keletkezik; az összekötő ág egyebekben kívül még más, így a pajzsmirigy gyűjtőereit is felveszi.

A mellkas és szívburok hasonló módon van megnyitva és a szív felfelé húzva, mint a 974. rajz készítményében. A szívburok nagy részének eltávolításával, a bal vena cava superior lefutása, a szívpitvar hátulso falán, a koszorús barázda felső részétől a sinus venarum cavarumba nyílásáig követhető; láthatók a belenyúló gyűjtőterek, továbbá a szív koszorús verőerei.

A felnőttben megmaradt v. cava superior sinistra.



976. rajz. A szív, az aorta és a szívnyílások fekvése és vetülete a mellkas elülső falán. A VIII. bordaporc ez esetben eléri a mellcsontot; az a. anonyma és a bal a. carotis communis közös ággal erednek.

A szívnek, a szív nyílásainak és a nagy ereknek fekvése és vetülete.



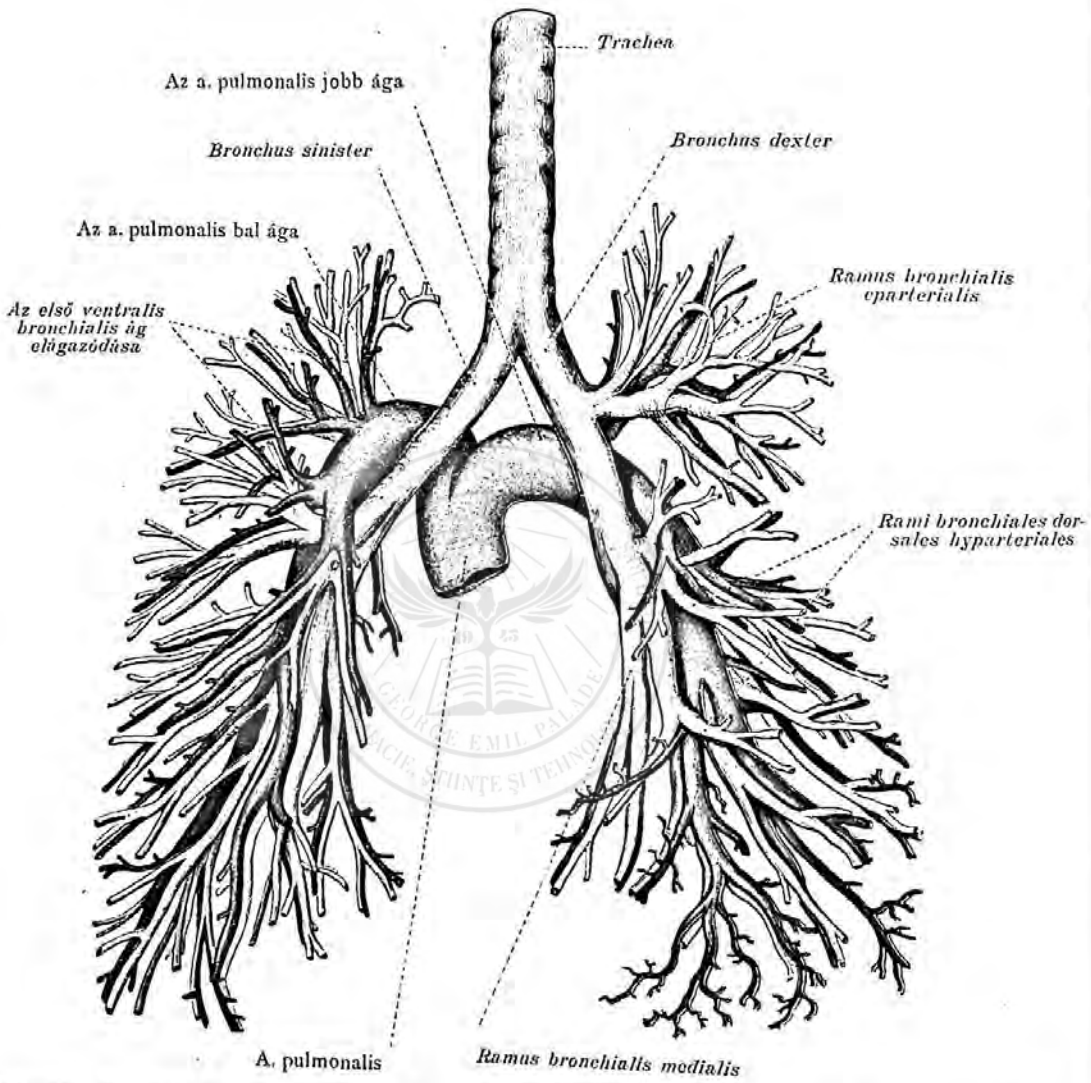
ARTERIA PULMONALIS.

A TÜDÖVERŐÉR.

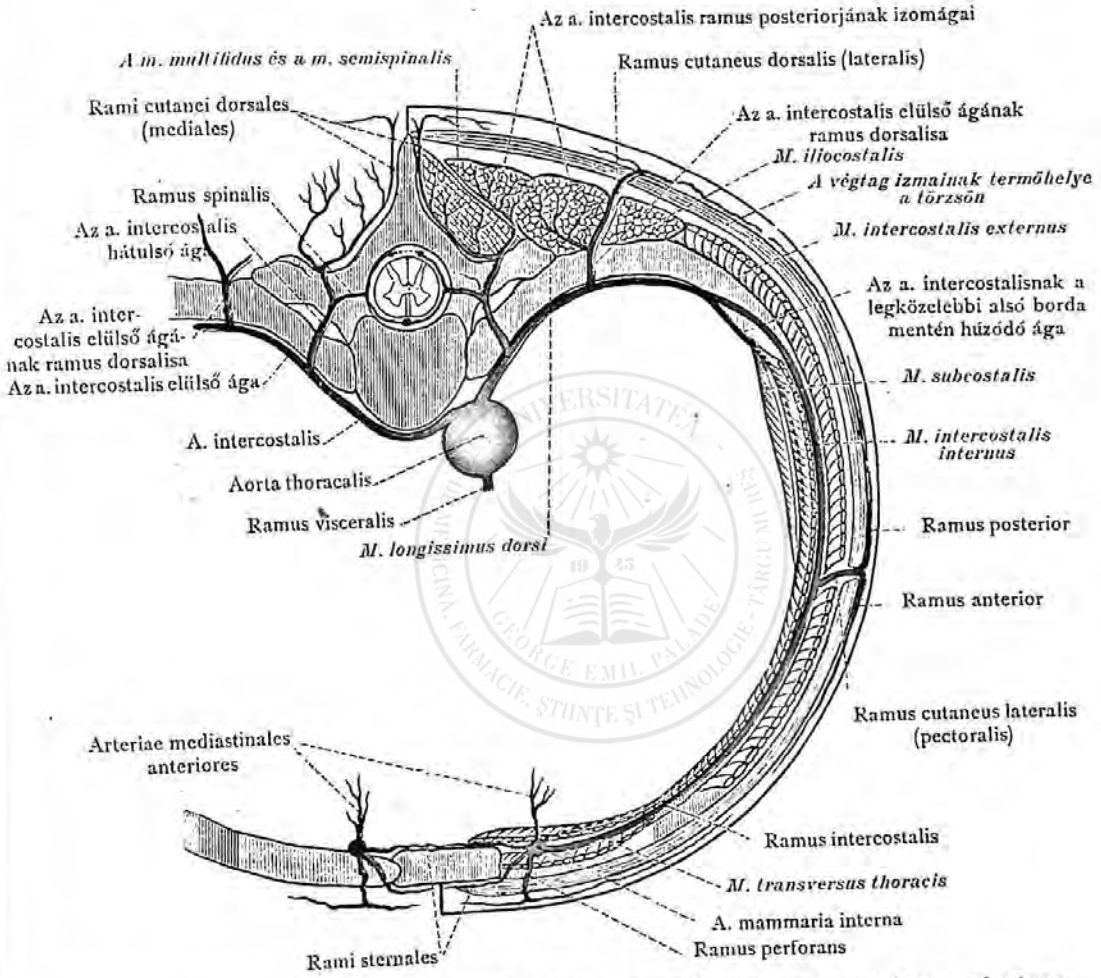
ARTERIAE TRUNCI.

A TÖRZS VERŐEREI.



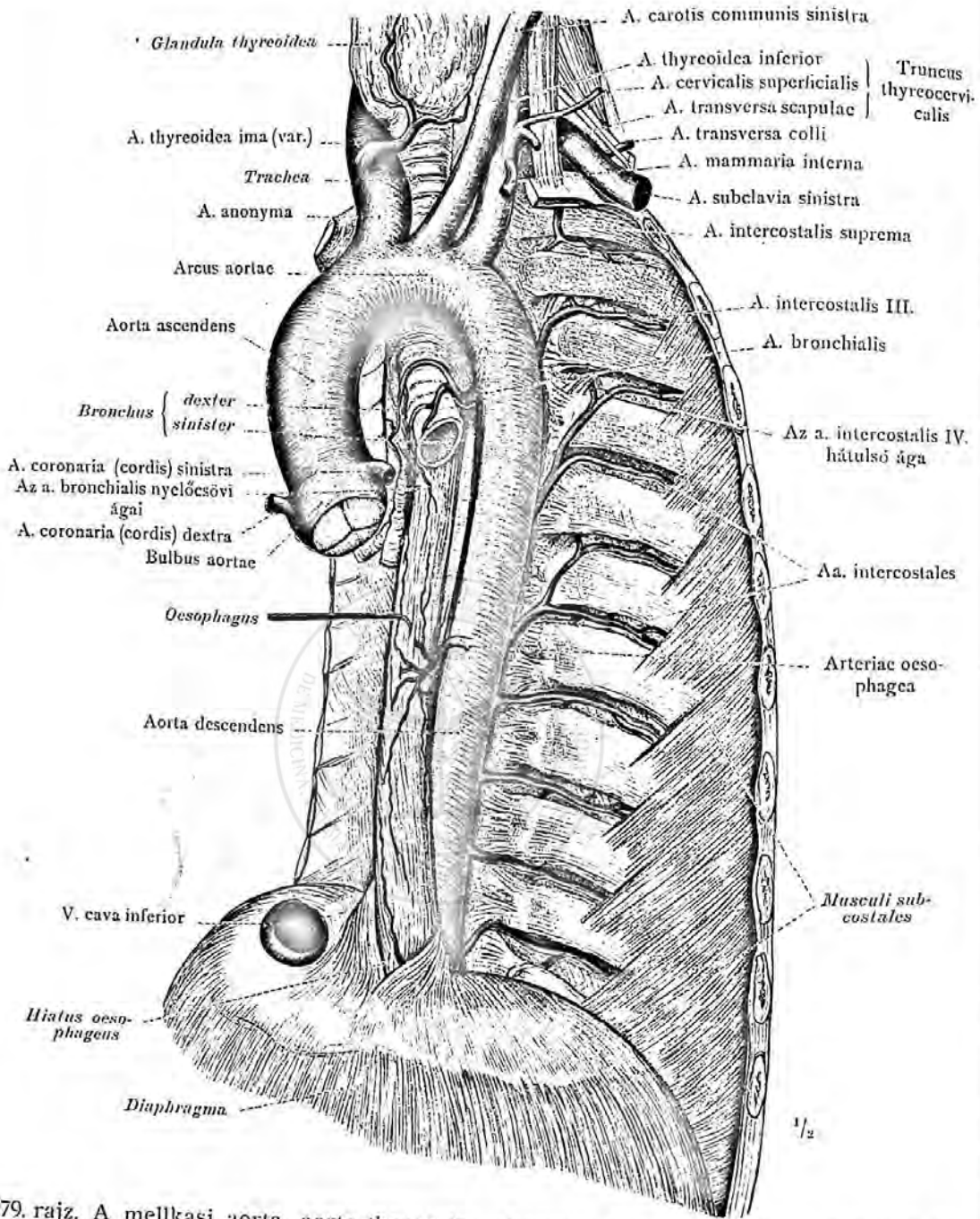


977. rajz. A tüdőverőér, a pulmonalis, oszlása bal és jobb ágra; ramus dexter és ramus sinister. Az erek elágazódása a tüdőkbén és ezek viszonya a tüdőcsövek ágaihoz. (Korrosziós készítmény, hátulról nézve.)



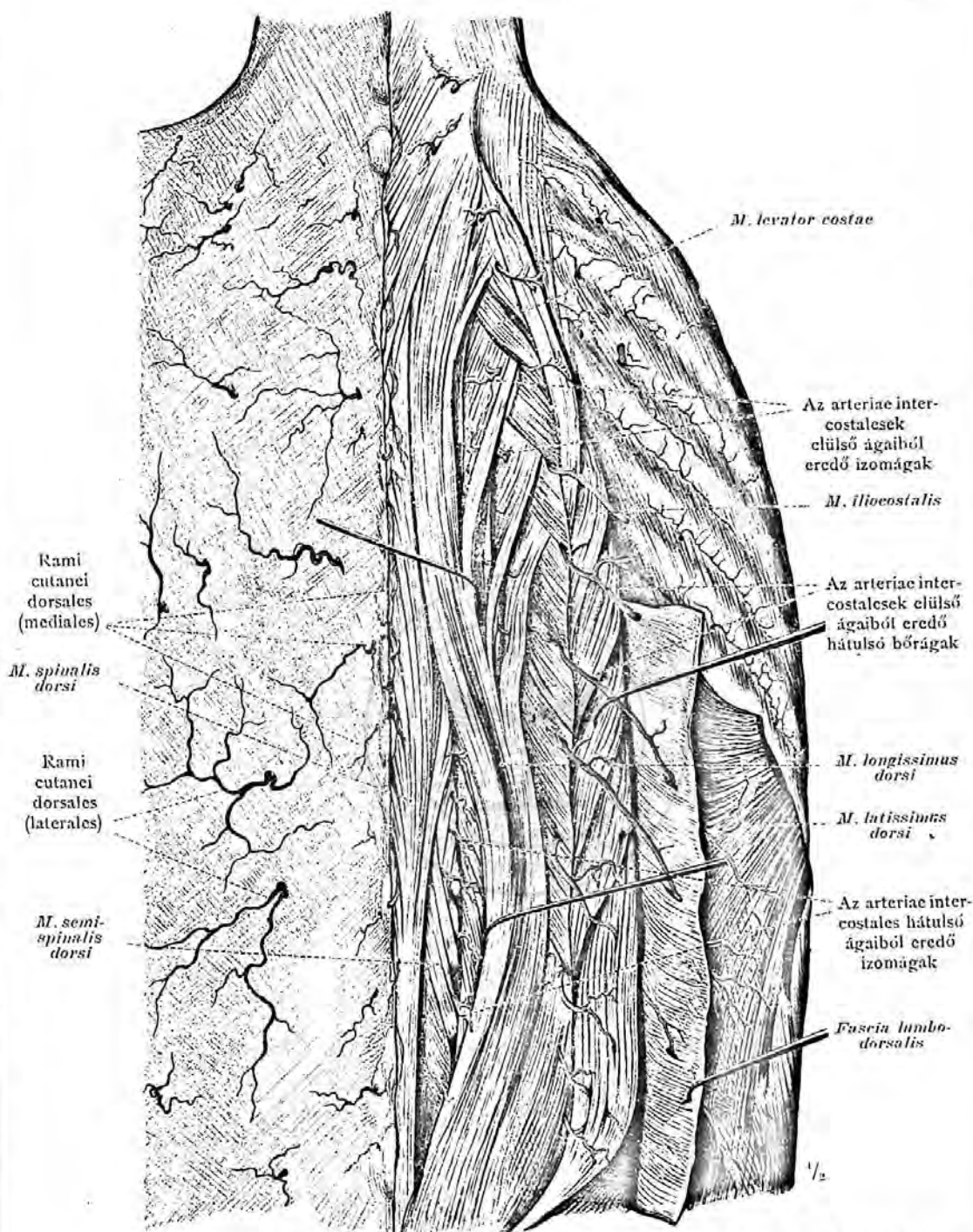
978. rajz. A törzsfal verőereinek elágazódása a mellkas segmentumában; sémásan.

A törzs falának verőerei sémásan.



979. rajz. A mellkasi aorta, aorta thoracalis, visceralis és parietalis ágjaival, balról és elülről nézve. Aa. bronchiales és aa. oesophageae; a baloldalon a borda közötti verőerek, a 3.—11. bordaközökben egészen a m. intercostalis internus és a m. subcostalisokig láthatók; oszlásaik a hátsó és az elülső ágakra, rami posteriores és rami anteriores és az utóbbiaktól eredő izomágak, rami musculares. Mint gyakori rendellenesség, a 4. és 5. valamint a 6. és 7. bordaközötti verőerek közös törzssel erednek. A 2. borda közötti verőér a truncus costocervicalistól eredő a. intercostalis supremának végága. Az a. anonymából ered a rendellenes a. thyroidea ima, a legelső pajzsmirigyverőér.

Aorta thoracalis, a mellkasi aorta. — Arteriae bronchiales. Arteriae oesophageae. — Arteriae intercostales, a borda közötti verőerek.

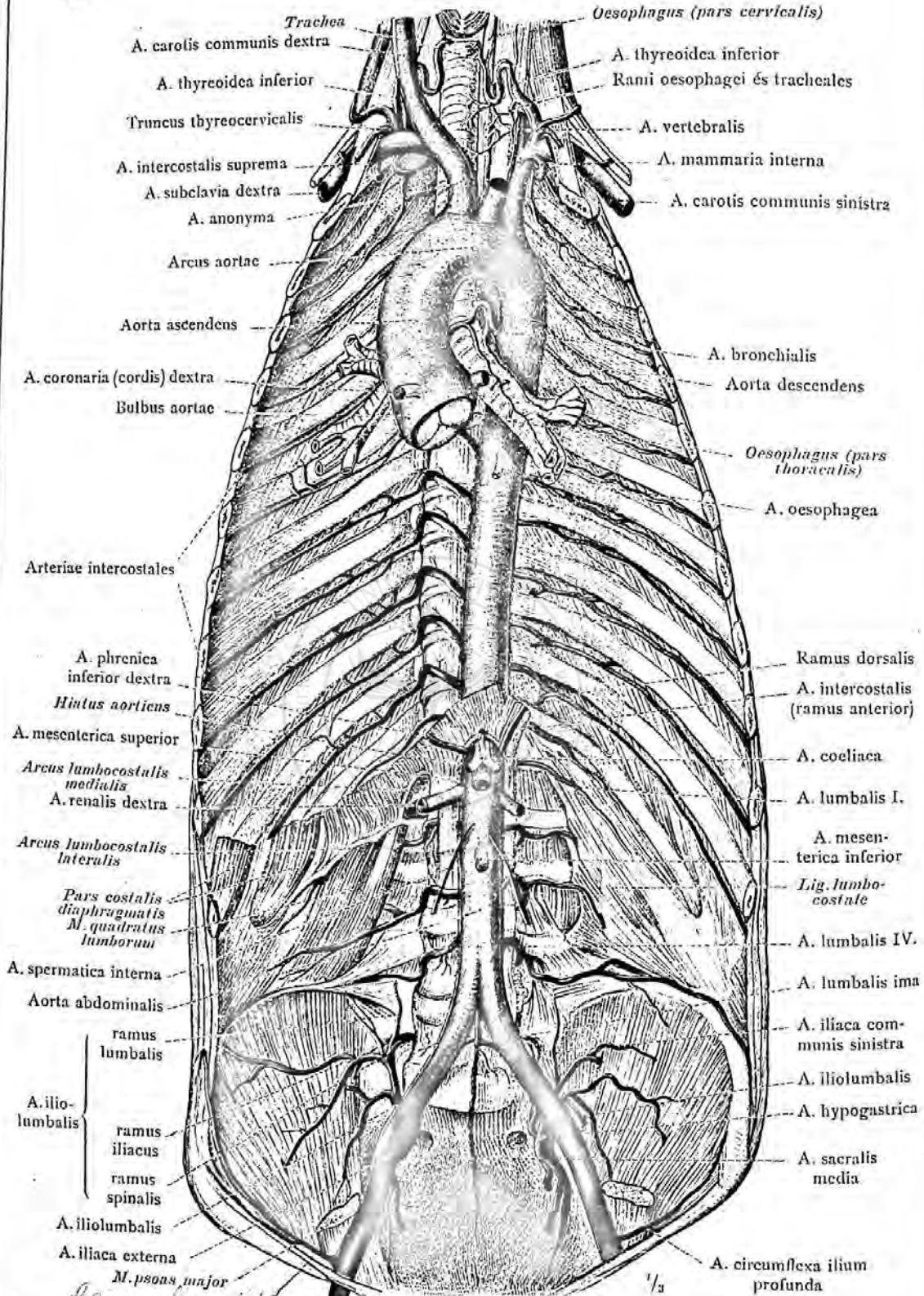


980. rajz. A bordaközötti verőerek hátsúlsó ágainak elágazódása a háton. A baloldalon a medialis és lateralis bőrágak, a jobboldalon főképen az izomágak láthatók. A jobboldalon a fascia lumbodorsalis a tövisnyújtványokról levágva és a m. iliocostalissal együtt oldal felé húzva; a m. longissimus dorsi alsó része oldal felé, felső része a medialis oldalra hajtva. Rami musculares és rami cutanei dorsales (mediales és laterales). A bordaközötti verőerek hátsúlsó ágai alkotta érágak oldalsó sora, melyek a m. longissimus dorsi és m. iliocostalis között lateralis és medialis ágakra oszlanak.

Rami posteriores, a borda közötti verőerek hátsúlsó ágai.



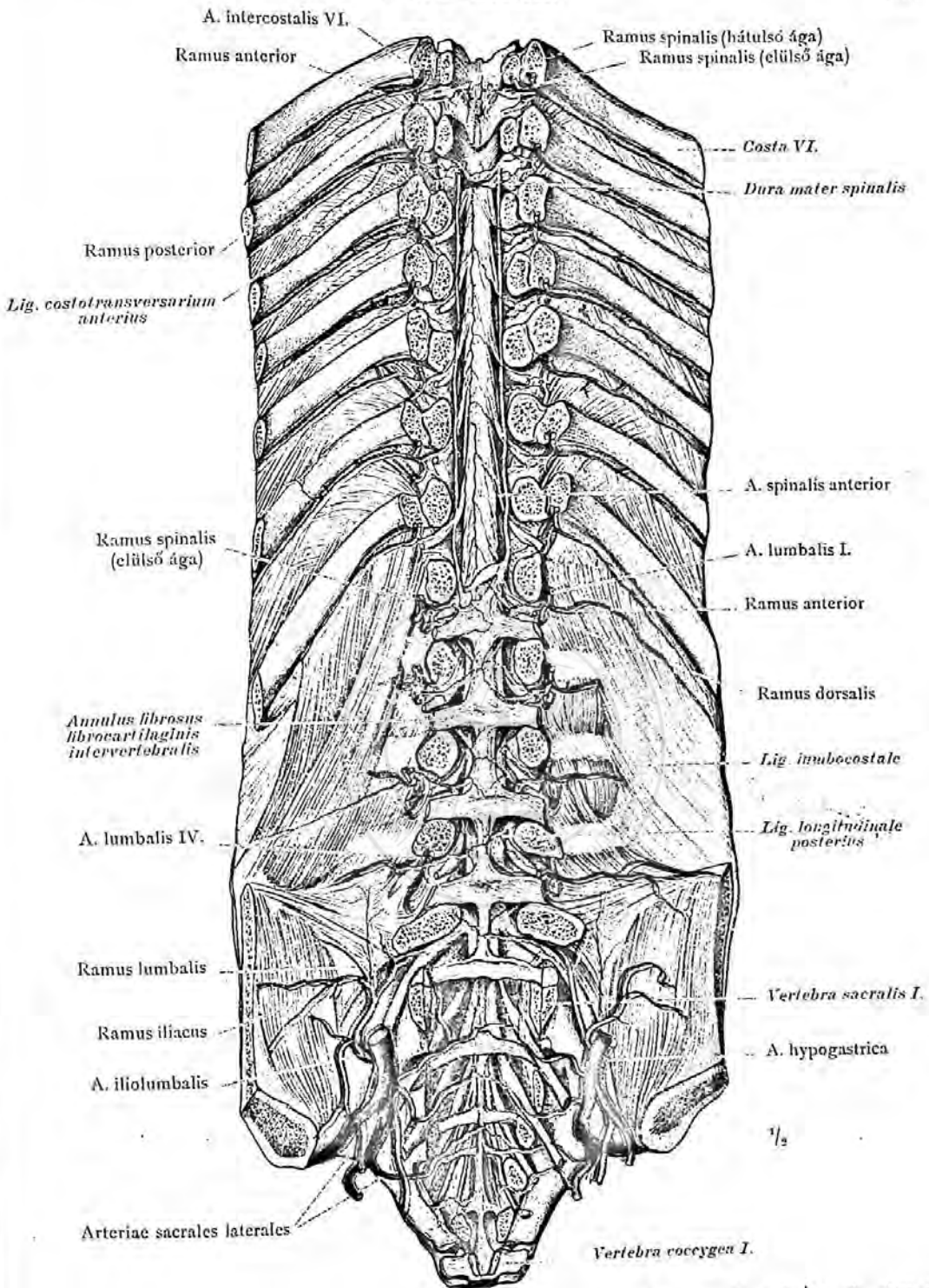
A törzs verőerei.



981. rajz. Az mellkasi és hasi aorta parietalis ágai: a borda közötti verőerek, az ágyéki verőerek és a középső keresztcsonti verőér. Az aorta visceralis ágai, az a. bronchialisokat kivéve, eredésüknél rövidebbre levágva.

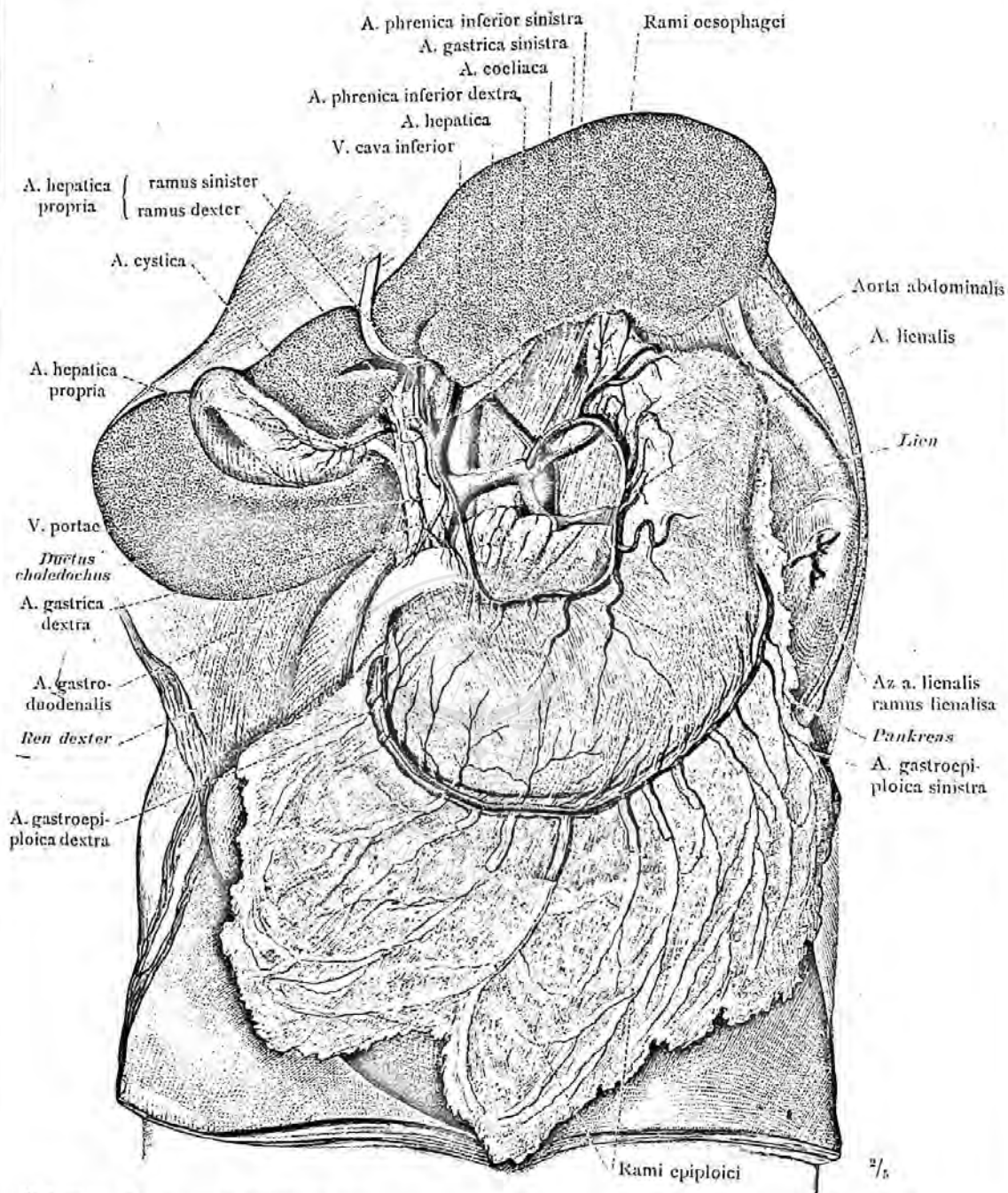
Az arteriae intercostales és az arteriae lumbales, a borda közötti és az ágyéki verőerek.





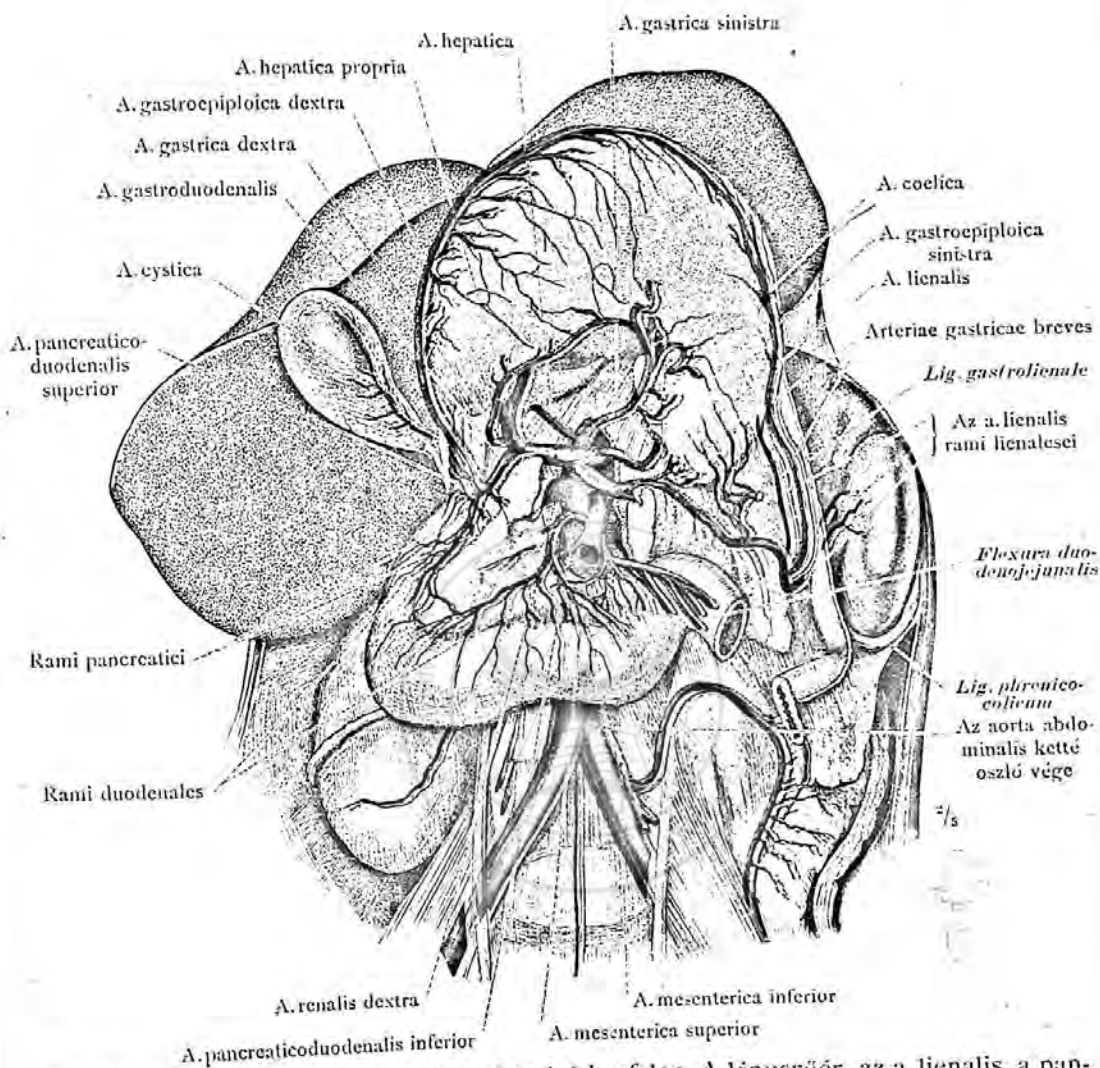
982. rajz. Az aa. intercostales, lumbales és sacrales laterales rami spinalesei, elülről nézve. A csigolyatestek eltávolításával, a csigolyaközötti lyukak és a gerincsesatorna megnyitva. A 8. hátesigolyáig a gerincevelő és a dura mater eltávolítva; a 8. hátesigolyától az 1. ágyékesigolyáig a dura mater eltávolításával a gerincevelő is látható. Az I. ágyékesigolyától lefelé a hátulso hosszanti gerincszallag és a csigolyaközötti korongok leghátulso része megtartva.

A gerincoszlop csatornájának verőerei.



983. rajz. Az arteria coeliaca, tripus coeliacus, (Halleri) három ága, az omentum minus eltávolításával: a bal gyomorverőér, a gastrica sinistra, a lépverőér, a lienalis és a májverőér, a hepatica. Az a. hepatica jobb és bal ága, ramus dexter és ramus sinister, az epehólyagverőér, a cystica, és az a. gastroduodenalis; a jobb gyomorverőér, a gastrica dextra; az a. gastroepiploica dextra és sinistra. Az igen kiterjedt nagy csepleszben az aa. gastroepiploicae lefelé tartó csepleszágai, rami epiploici, láthatók. Továbbá a ligamentum hepatoduodenaleban az a. hepatica, a v. portae és a ductus choledochus láthatók. Az alsó bal rekeszverőér, a phrenica inferior sinistra mint gyakori rendellenesség az a. coeliacából ered.

A hasi aorta páratlan, zsigeri ágai.

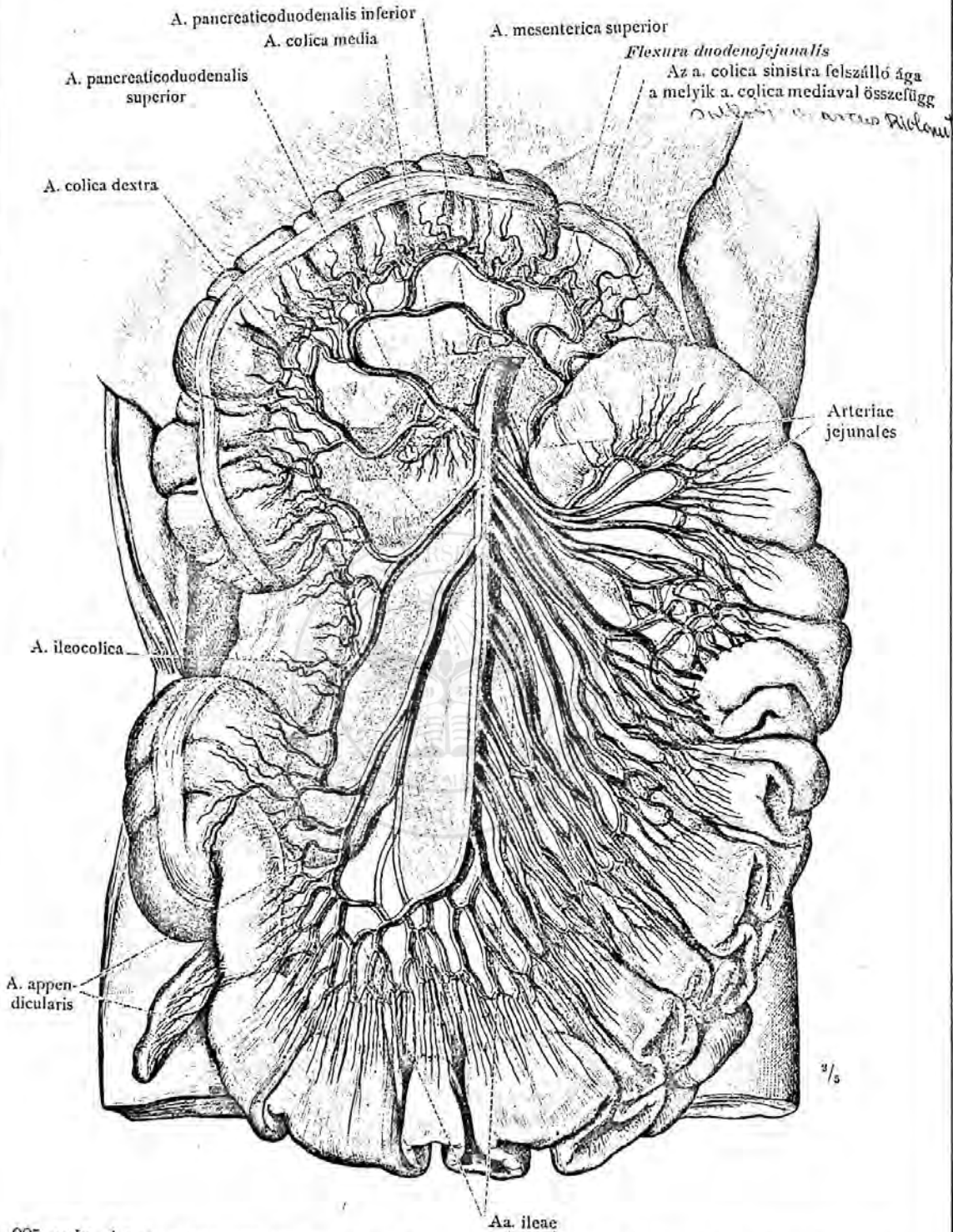


984. rajz. Az a. coeliaca elágazódása a hátulsó hasfalán. A lépverőér, az a. lienalis, a pancreashoz és a léphez menő ágai, rami lienalis és rami pancreatici; a rövid gyomorverőerek, aa. gastricae breves; az a. gastroepiploica sinistra és összeköttetése az a. gastroduodenalis dextrával; az a. gastroduodenalis elágazódása. Az a. pancreaticoduodenalis superiorinak és inferiorinak a pancreashoz és duodenumhoz menő ágai.

(A 983. rajz készítményében a máj és a gyomor erősen felfelé húzva. A duodenum és a pancreas szabadon fekszik. A pancreas testének egy része eltávolításával, a hasi aorta, a két veseverőér és a bélfodri verőerek eredései láthatók. A nagy cseplesz a ligamentum gastrolienaleig eltávolítva.)

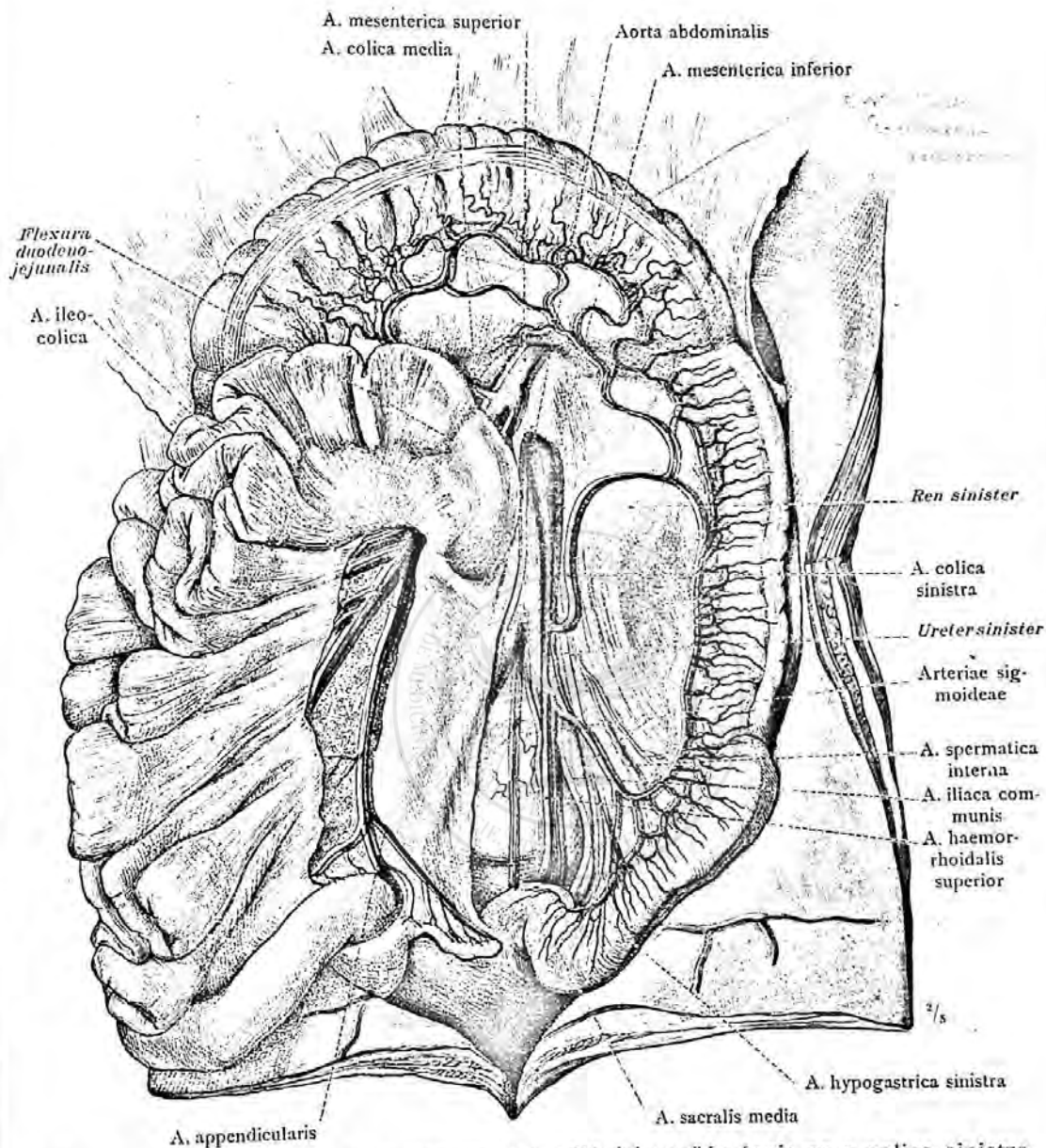
A hasi aorta páratlan, zsigeri ágai.





985. rajz. Az a. mesenterica superior, a felső bélsodri verőér ágai. A vékonybél verőerei, aa. intestinales: a pancreaticoduodenalis inferior, aa. jejunales, aa. ileae; a ileocolica és a appendicularis, a. colica dextra és a. colica media. (Az intestinum jejunum és az intestinum ileum bélsodrával együtt bal felé, a colon transversum és a mesocolon transversum fellelé hajtva.)

A hasi aorta páratlan, zsigeri ágai.

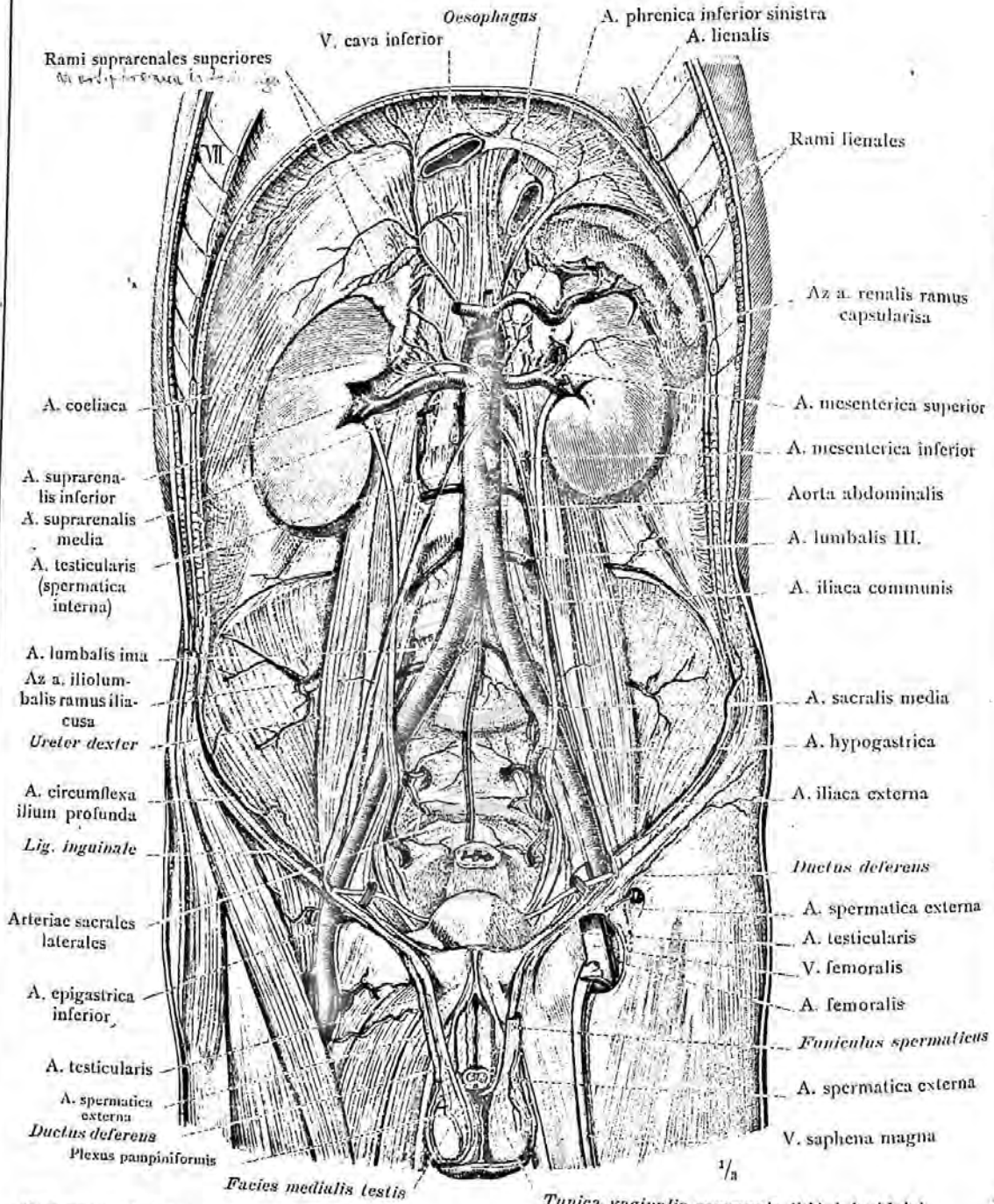


986. rajz. Az a. mesenterica inferior, az alsó bélfodri verőér ágai: az a. colica sinistra és anastomosisa az a. colica mediával; az aa. sigmoideae és az a. haemorrhoidalis superior. Az a. mesenterica superiorból eredő a. ileocolica és oldalága az a. appendicularis, a féregnyújtvány részére.

(A 985. rajz készítményében a colon transversum a mesocolon transversummal felfelé, az intestinum ileum és jejunum a bélfodorral együtt a jobboldalra hajtva. A vékonybélfordor bal parietalis lemezének bemetszésével, az a. ileocolica látható és a belőle eredő a. appendicularis a féregnyújtványig követhető.)

A hasi aorta páratlan, zsigeri ágai.

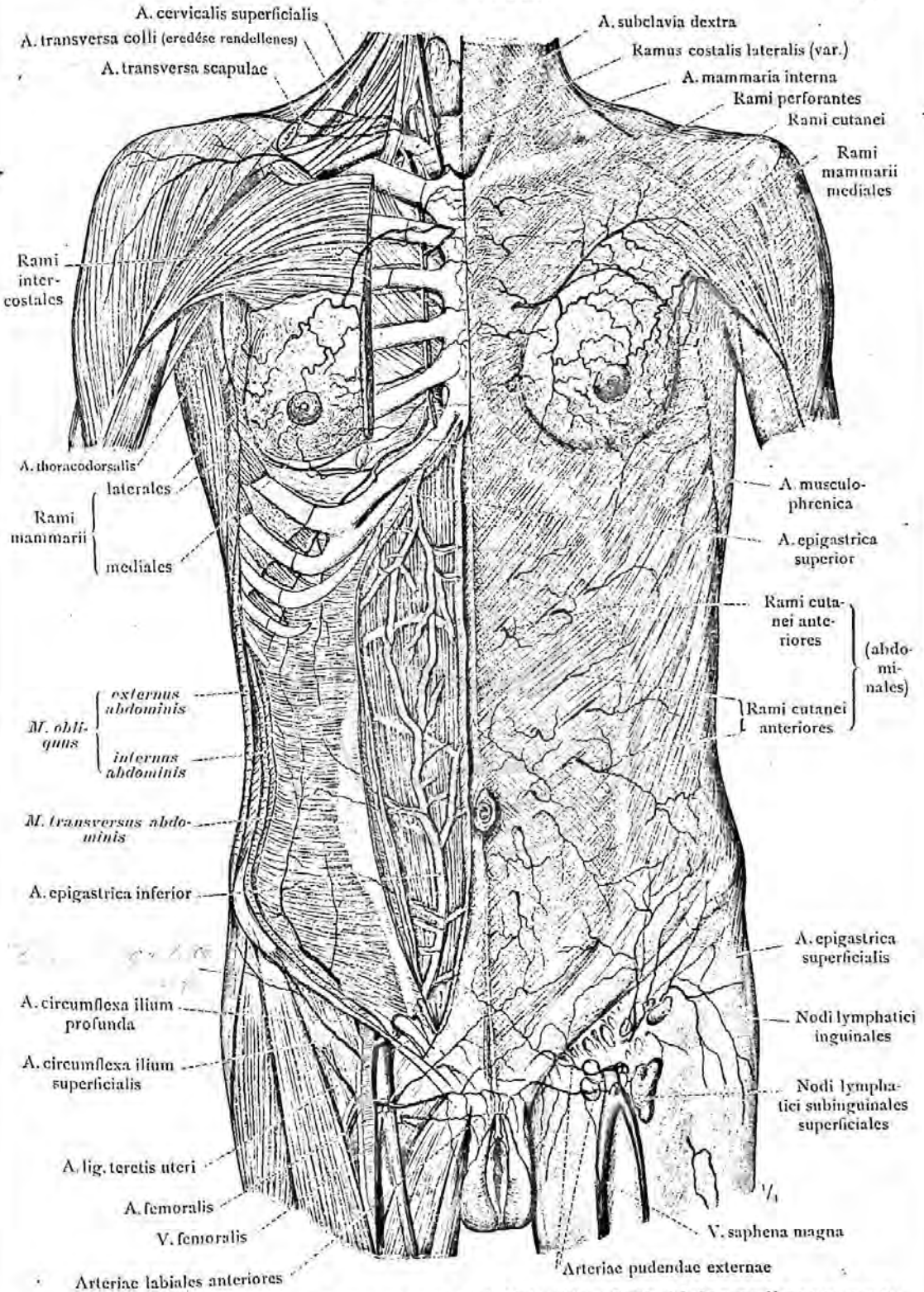




987. rajz. A hasi aorta párietalis és a páros visceralis ágai: az alsó rekeszverőér, az ágyéki verőerek, a középső és az oldalsó keresztcsonti verőerek, a lépverőér, a vese és a mellékvese verőerek; a here verőerek, a testicularis (spermatica interna) és az a. spermatica externa.

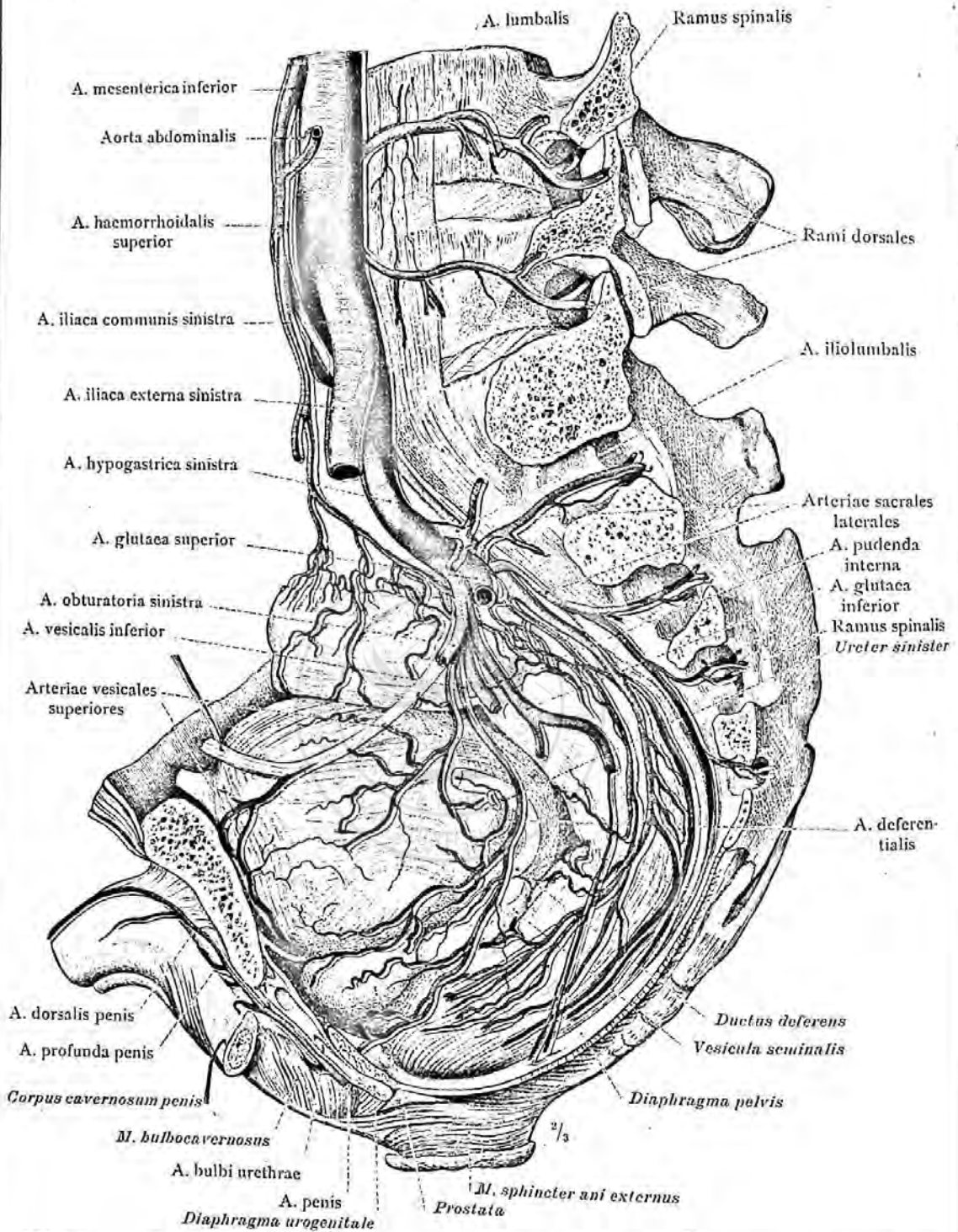
(A hasúri szervek, kivéve a lépét, a veséket és a mellékveséket, eltávolítva. A herezacskó bőrének elülső részét és a jobb here medialis oldalán a burkokat eltávolítva, az a. testicularis látható; a bal here medialis oldalra húzásával az a. spermatica externa elágazódása a tunica vaginalis communison és a m. cremaster rostjai között, látható.)

A hasi aorta fali és a páros zsigeri ágai.



938. rajz. A törzs baloldalán a felületes verőerek láthatók; a jobboldalon pedig az a. mammaria interna, a borda közötti verőerekkel és az a. musculophrenicával valamint az a. epigastrica superior és az a. epigastrica inferior szabadon láthatók.

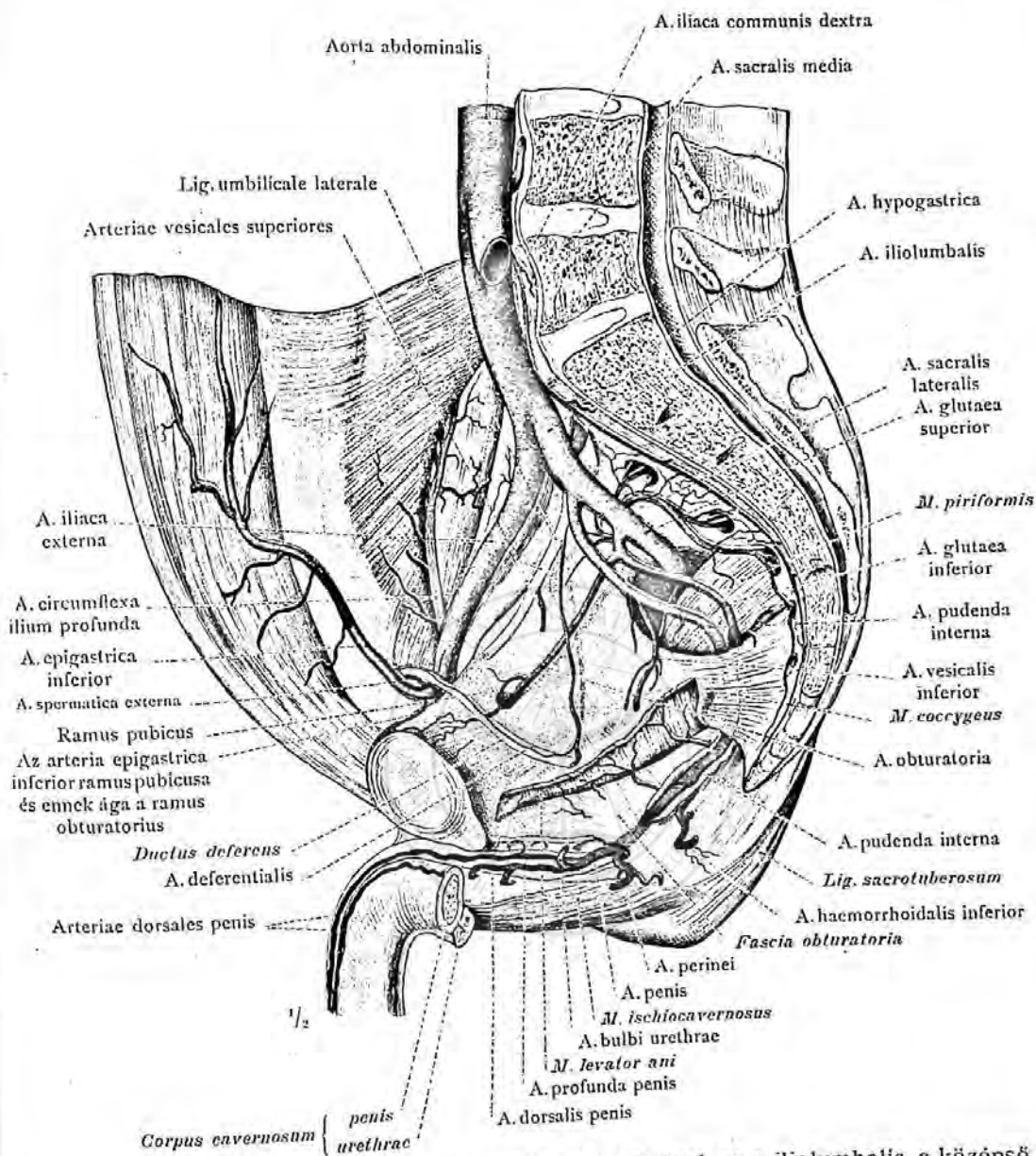
A törzs elülső falának verőerei.



989. rajz. Az a. hypogastrica visceralis ágai, rami viscerales, a férfi medence baloldalán. (A bal medencecsonti a symphysisben átvágva és a keresztcsont bal felével együtt eltávolítva; a diaphragma pelvis bal oldalának kis része megtartva és a gát felé hajtva. Ezenkívül, a két utolsó ágyéksigolya harántnyújtványának eltávolításával a két ágyéki verőér, az alsó keresztcsonti verőerek háti ágai és ezek rami spinaleseinek belépése a gerinccsatornába, láthatók).

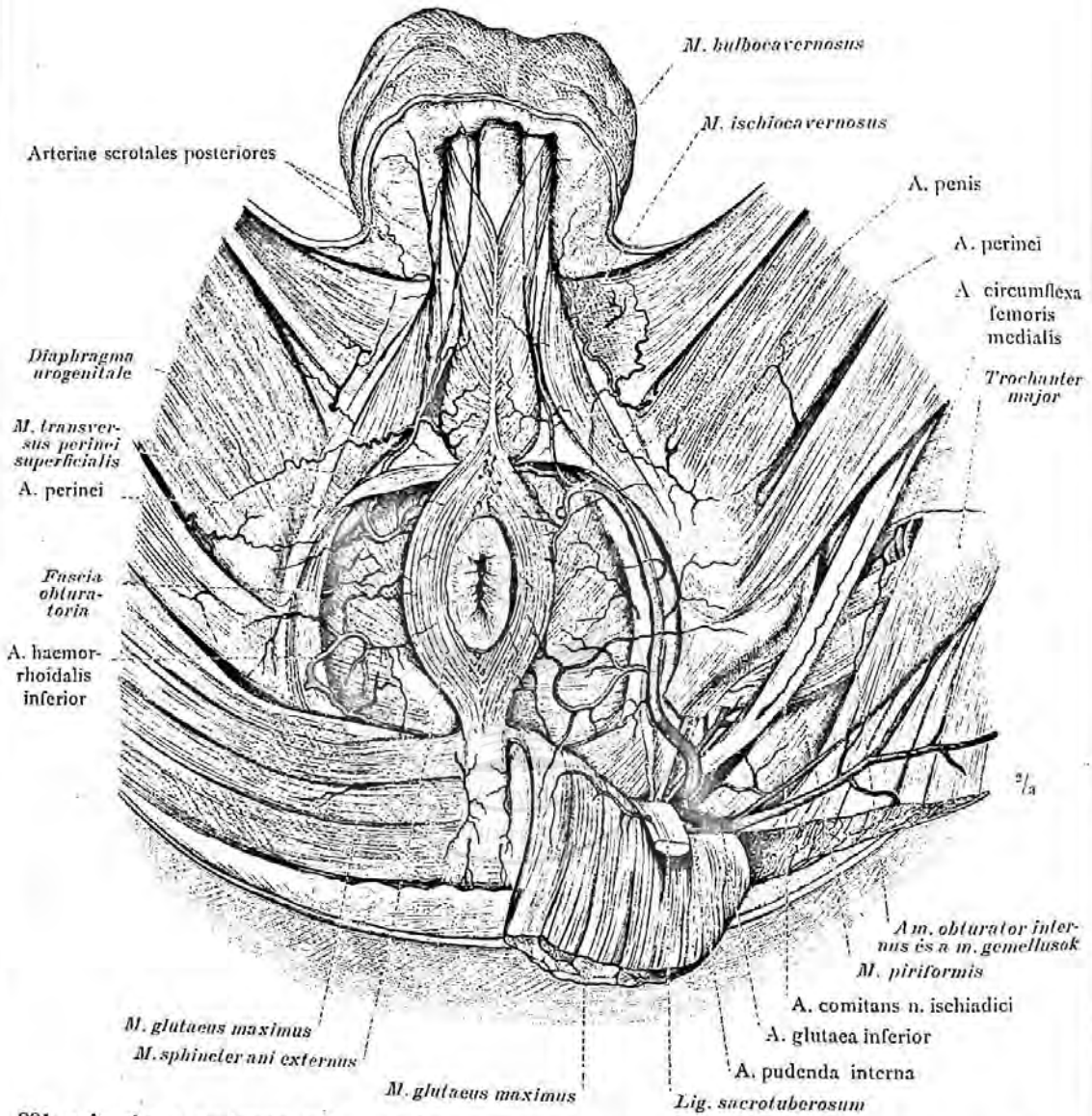
A férfimedence szigereinek verőerei.





990. rajz. Az a. hypogastrica, a medenceverőér parietalis ágai: az a. iliolumbalis, a középső és oldalsó keresztcsonti verőér, a sacralis lateralis, a sacralis media, a felső és alsó farverőér, a glutaea superior és inferior, az arteria obturatoria ramus pubicusának anastomosisa, az a. epigastrica inferior ramus obturatoriusával. Az a. circumflexa ilium profunda, a. epigastrica inferior az a. spermatica externával; az ondóvezetőcsatorna verőere, a. deferentialis. Az a. pudenda interna és ágai a külső férfi nemi szervekhez. (A 989. rajz készítményéből a medence zsigerei és a medence bal fele egészen eltávolítva. A m. levator ani felfelé hajtásával és az alatta levő fascia obturatoria átvágásával. A bulbus urethraet és a penis bal szárát, az arteria pudenda interna látható. A bulbourethraet és a penis bal szárát eltávolítva, az a. profunda penis belépése a kavernás testbe és az a. dorsalis penis lefutása a penis hátulso oldalán, látható.)

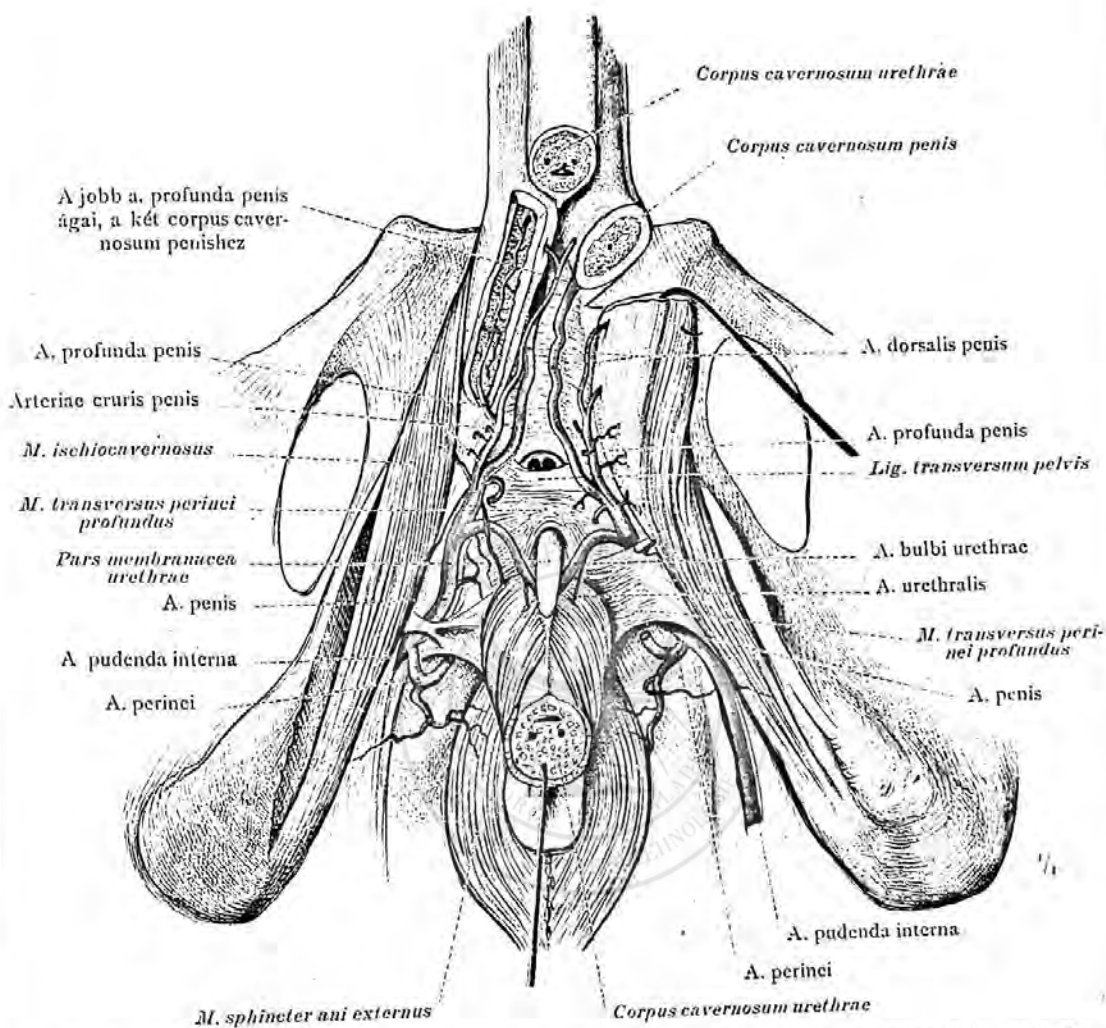
A medencefalának és a férfi külső nemi szerveinek verőerei.



991. rajz. Az a. pudenda interna lefutása és ágai a férfi gáttájékában; az a. haemorrhoidalis inferior, a gát verőerek, a. perinei, végágaikkal és a hátulsó herezacskóverőerek, arteriae scrotales posteriores.

(A baloldali arteria pudenda interna lefutása, kilépésétől a medenceüregből, a foramen ischiadicumon keresztül, egészen a diaphragma urogenitaleba lépéséig, követhető. A m. gluteus maximus és a ligamentum sacrotuberosum levágva és hátrahajtvva, a fascia obturatoria behasítva; a m. transversus perinei superficialis egészen eltávolítva.)

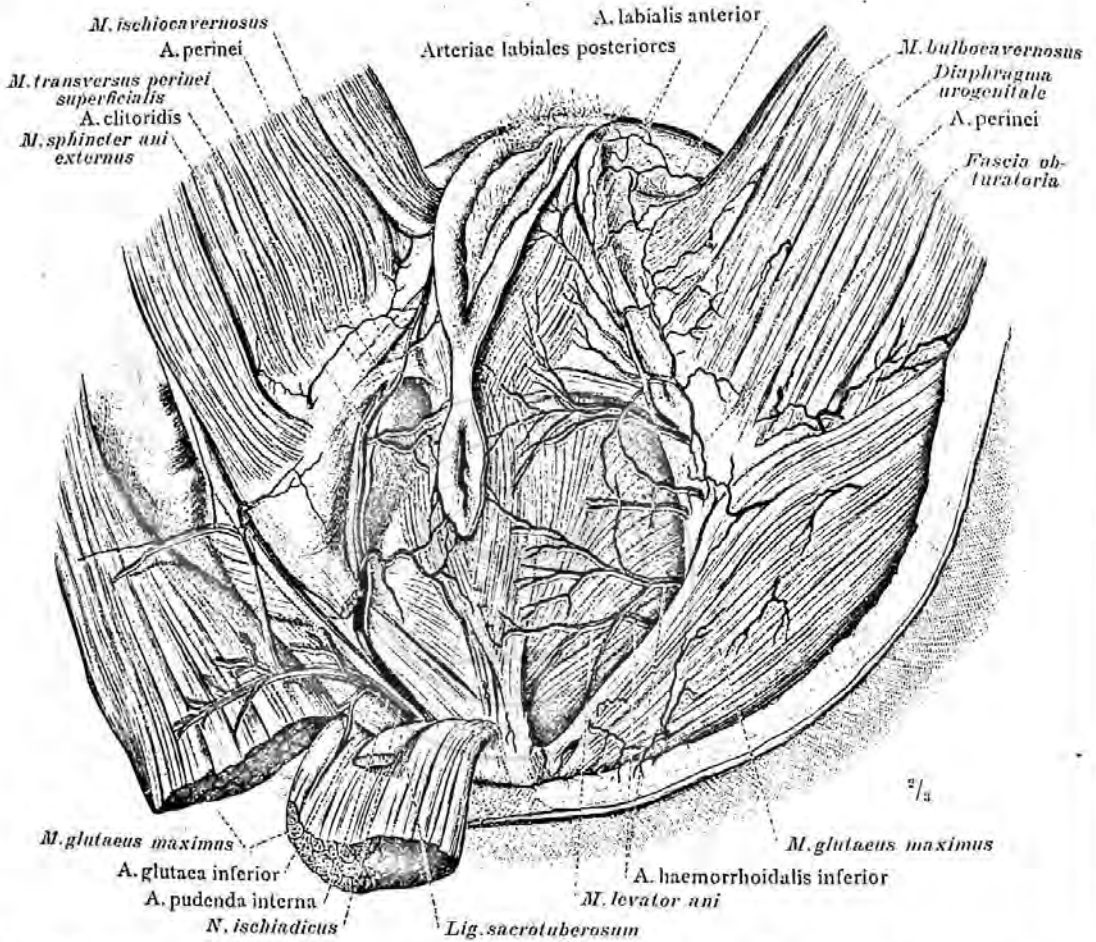




992. rajz. Az arteria penis elágazódása: arteria bulbi urethrae, arteria urethralis, arteria profunda penis és arteria dorsalis penis.

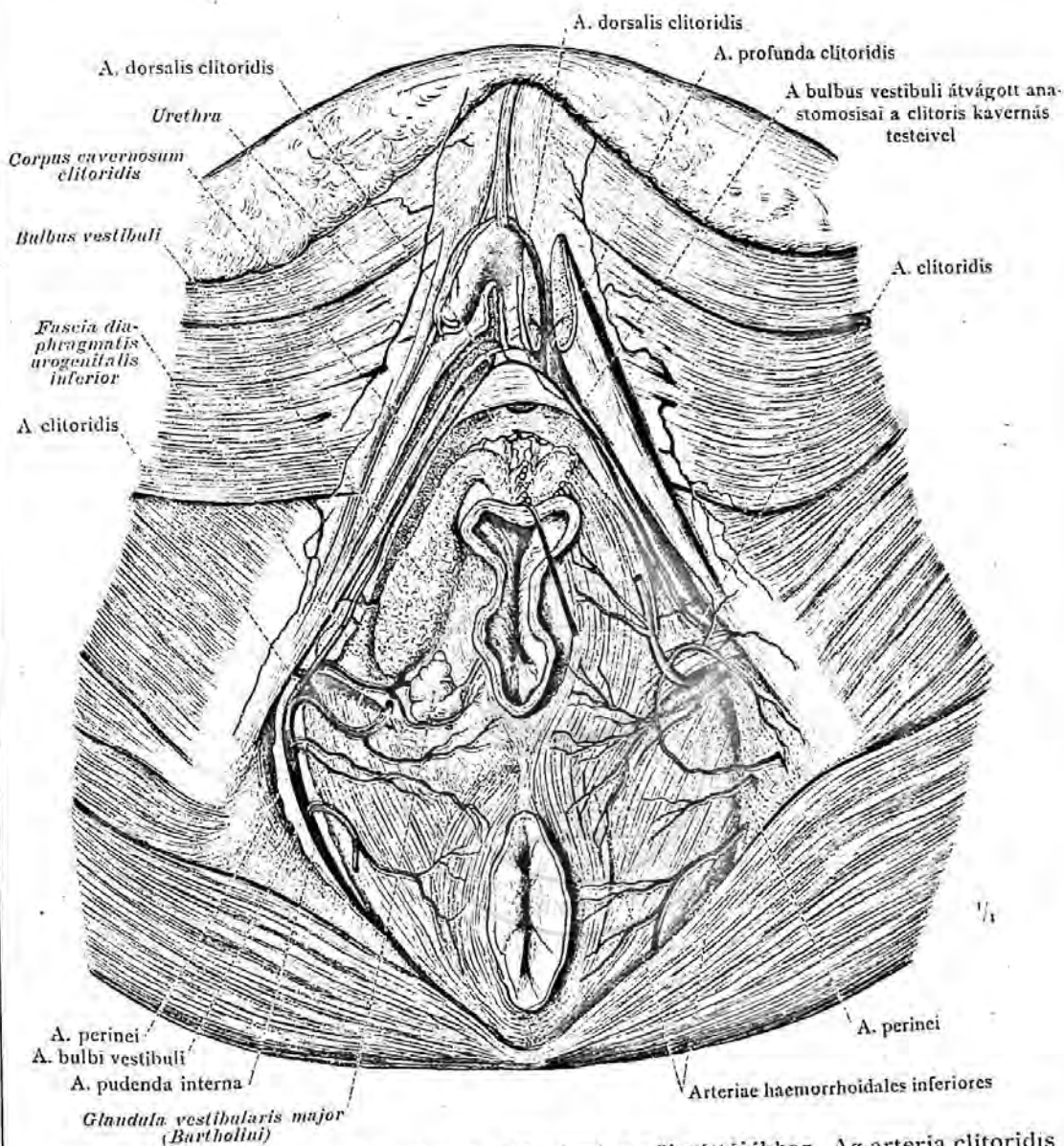
(A baloldali fascia obturatoria áthasításával az a. pudenda interna, a diaphragma urogenitaleba való belépéséig követhető; a jobboldali a. penis a diaphragma urogenitale eltávolításával egész hosszában látható. A corpus cavernosum urethrae a symphysis felett harántul átvágva, a bulbus urethraet a diaphragma urogenitaletól elválasztva és hátra hajtva; az a. bulbi urethrae belépése a bulbus dorsalis oldalára, látható. A penis bal szárát harántul átvágva és kissé oldalra húzva, jól látszik az a. profunda penis ágainak belépése. A jobboldali arteria szabadon követhető a corpus cavernosumba, mely a kavernás testbe lépése előtt ágat ad; ez az ág a két corpus cavernosum penis egyesülési helye mögött villaszerűen oszlik és egy-egy ágával a két kavernás testbe hatol.

A férfi gáttájékának verőerei.



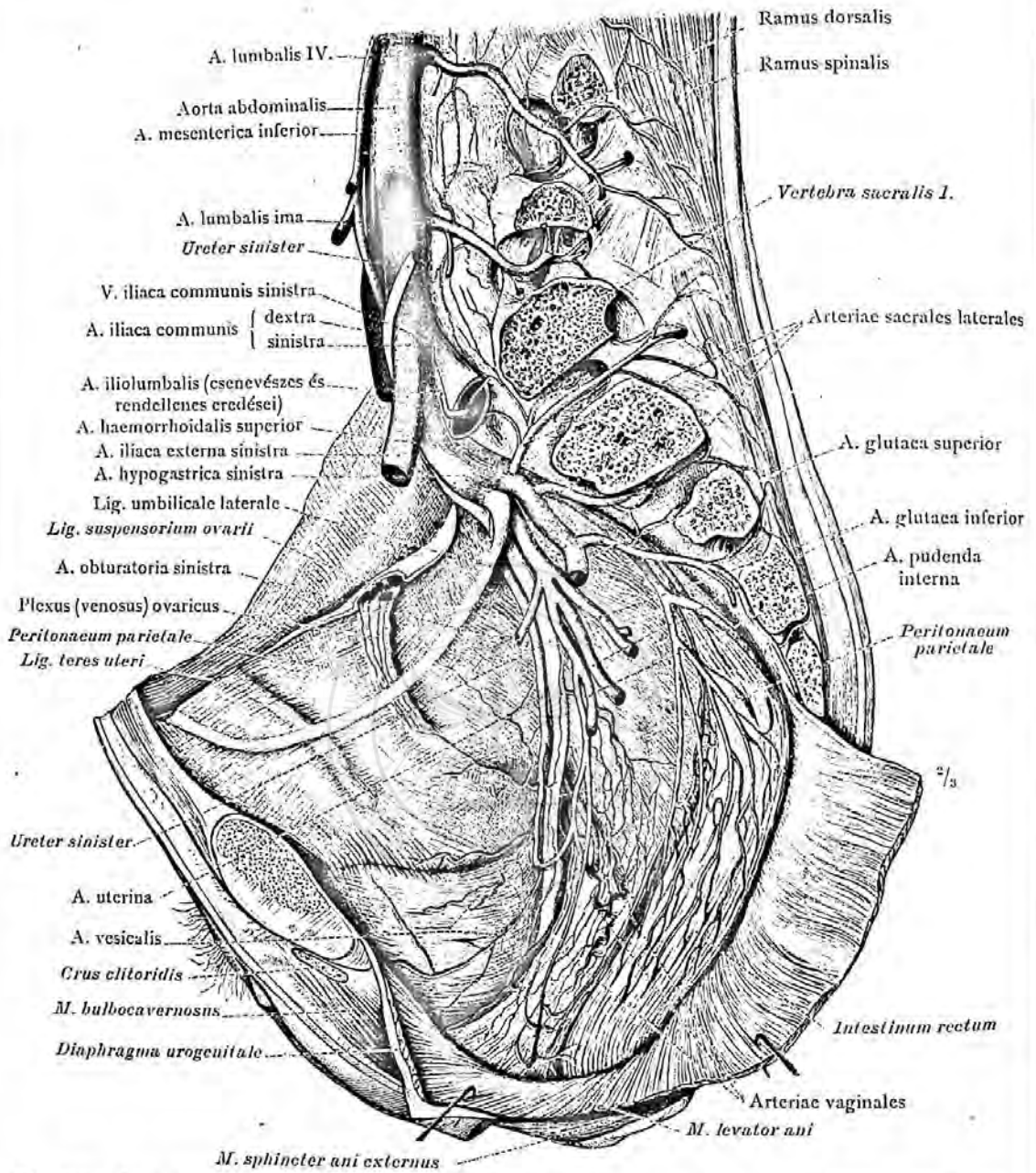
993. rajz. Az arteria pudenda interna felületes ágai a női gáttájékban. Az a. haemorrhoidalis inferior, az a. perinei és a szeméremajak hátsó verőerei, arteriae labiales posteriores.

(A jobboldali m. gluteus maximus eredésénél levágva és az átvágott ligamentum sacrotuberosummal hátrahúzva. A fascia obturatoria áthasításával, az a. pudenda interna, a medenceüregből való kilépésétől, a diaphragma urogenitaleba lépéséig, szabadon követhető.)



994. rajz. Az arteria pudenda interna mély ágai, a női gáttájékban. Az arteria clitoridis ágai: a. bulbis vestibuli (vaginae), a. profunda és dorsalis clitoridis. A két arteria dorsalis clitoridis a ligamentum arcuatumon harántul futó, ívalakú anastomosissal közlekedik egymással.

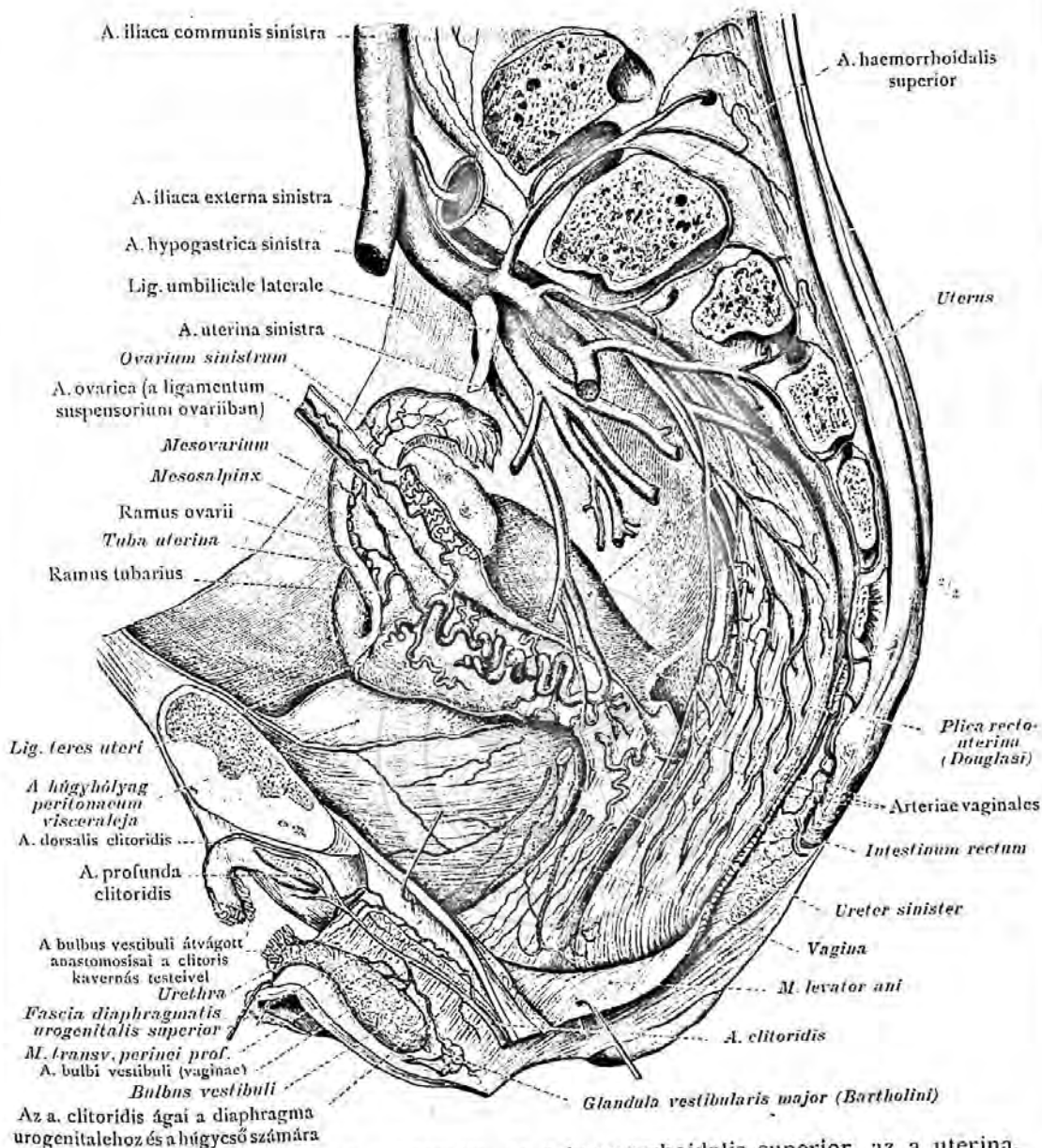
(A 993. rajz készítményéről a nagy és kis szeméremajkak homlokirányú metszéssel eltávolítva; a jobboldali m. bulbocavernosus és a m. transversus perinei superficialis eltávolítva, a bulbos vestibuli és a clitoris közötti összeköttetés átvágva és a hüvely hátra húzásával a húgyeső átlépése a diaphragma urogenitalen látható. A clitoris jobb kavernás teste, az arteria profunda clitoridis belépésétől kezdve, hosszában felvágva; az arteria a kavernás testben kis darabon követhető. A bal kavernás test, az a. profunda clitoridis belépésénél harántul átvágva és két felének széthúzásával az a. dorsalis clitoridis lefutása látható.)



995. rajz. Az arteria hypogastrica, a bal medenceverőér és zsigeri ágai, rami viscerales, a női medence subserosus kötőszövetében: az a. haemorrhoidalis superior legalsó ágai; az a. uterina belépése a mesometriumba; aa. vaginalesek; ágak a húgyhólyag számára: aa. vesicales és a húgyvezetődcső, ureter számára. A fali ágak közül az aa. sacrales laterales és a két legalsó a. lumbalis láthatók; a rami spinalesek a gerinccsatornába lépésükig követhetők.

(A bal medencefal, elülről szorosan a középvonal mellett, hátul pedig a baloldali keresztcsonti szallagok mellett haladó metszéssel eltávolítva, a hashártya azonban és ennek áthajlása a húgyhólyagra, hüvelyre és a végbélre, meg van tartva. Ezen szervek extraperitonealisan fekvő részei kidolgozva és a diaphragma pelvis lefelé hajtva.)

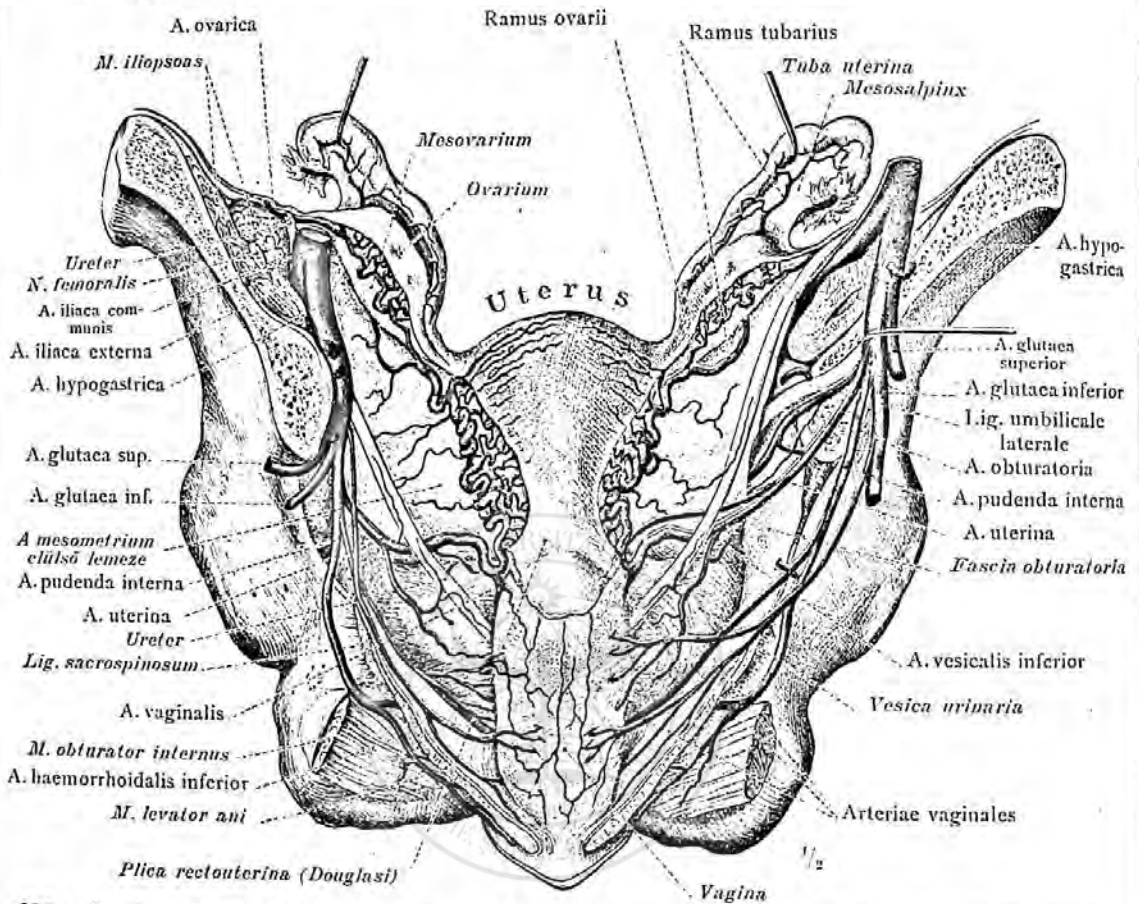




996. rajz. Az arteriae sacrales laterales, az a. haemorrhoidalis superior, az a. uterina, az a. ovarica és az a. clitoridis ágai.

(A 995. rajz készítményéről a peritonaeum parietale és áthajlása a hólyagra és a végbélre eltávolítva és a mesometrium a méhen való tapadása mentén levágva, a méhkürt haseltávolítva és a mesometrium a méhen való tapadása mentén levágva, a mesohártyájával, valamint a petefészkek felfüggesztő szallagja medialisán felfelé, a mesovarium fel és hátra felé hajtva; az utóbbi alsó lemezének eltávolításával, az a. ovarica, a petefészkekhez menő ágaival és az a. uterinával való anastomosisával együtt látható. A diaphragma urogenitaleről a felső fascia levonva és felfelé húzva, hogy ez alatt, az a. clitorisnak előre haladó ágai láthatók legyenek. Ezen ágnak harántirányú anastomosisából számos ágacska ered, melyek az urethra hosszában előre húzódnak. A diaphragma urogenitale alsó fasciájának eltávolításával az a. clitoridis végelágazódásáig követhető.)





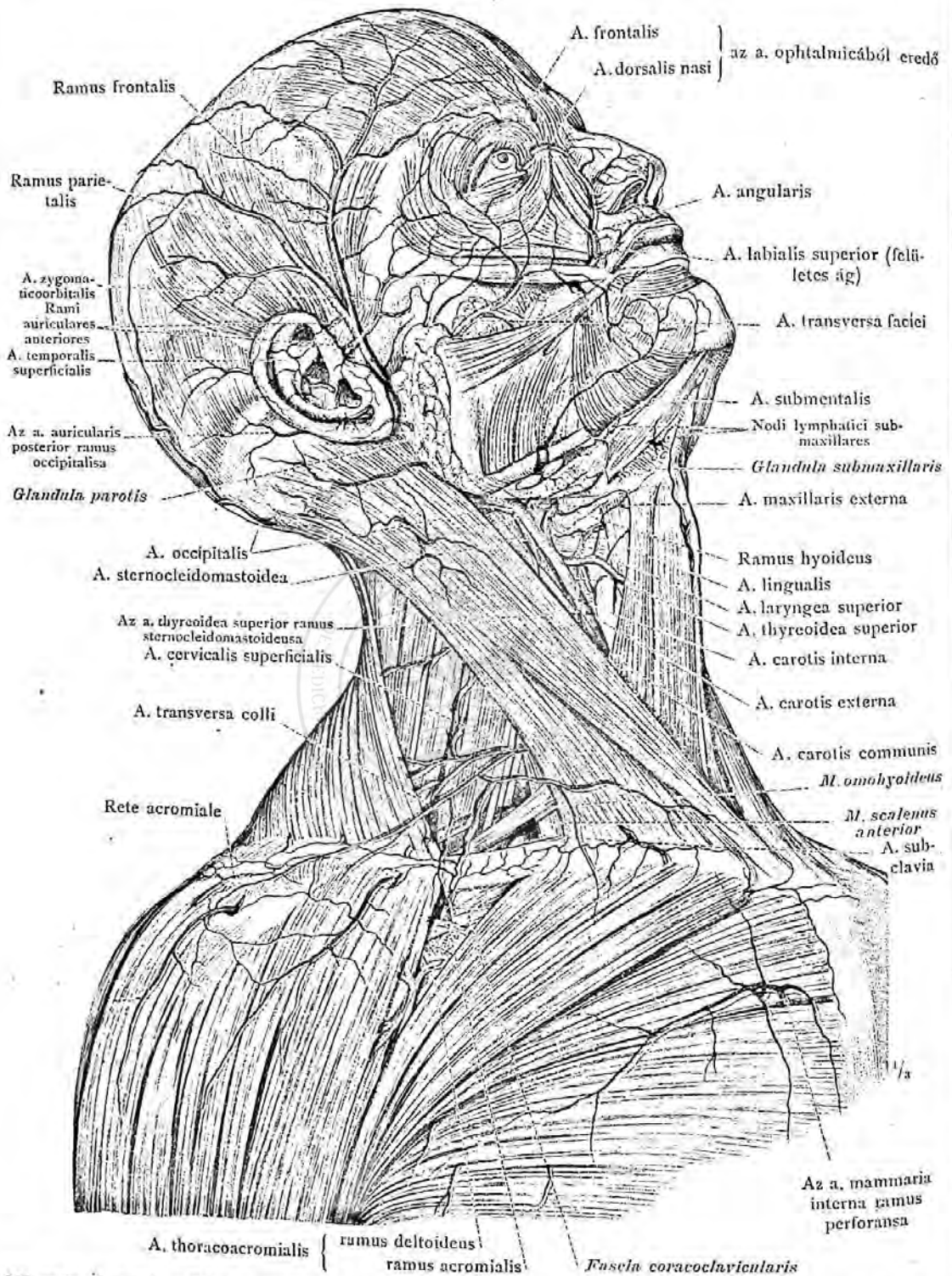
997. rajz. A méh, a méhkürt, a petefészek, a hüvely és a hólyag verőerei hátulról nézve. A petefészek-verőér, az a. ovarica (a. spermatica interna) a méh-verőér, a. uterina, a petefészekhez, a méhkürthöz, a hüvely és a húgyhólyaghoz menő ágaival, ramus ovarii, ramus tubarius, aa. vaginales és a. vesicalis inferior. Az a. pudenda interna és a hüvelyhez menő ágai. A húgyelvezetőcső medencei része és ennek fekvése az arteria uterinahoz, a méh nyakához, a hüvelyhez és a hólyaghoz.

(A hátulsó medencefal, a két foramen ischiadicum majuson vezetett, homlokirányú metszéssel eltávolítva; a végbél eltávolításával, az uterus, a hüvely, valamint a húgyhólyag oldalsó részei láthatók. A méh, a méhkürt felhúzva, a petefészek pedig előre és felfelé van hajtva; a mesovarium alsó lemeze és a mesometrium hátulsó lemeze el van távolítva és a szabaddá tett húgyelvezetőcső, ureter, természetes fekvésében látható. A jobb a. hypogastrica oldalra és hátra húzásával ágainak bemenete az oldalsó köldökszallagokba látható. Az a. hypogastrica hátulsó ágai rövidre vágva s az a. pudenda interna mindkét oldalon a foramen ischiadicum minuson való belépéséig követhető.)

ARTERIAE COLLI ET CAPITIS.

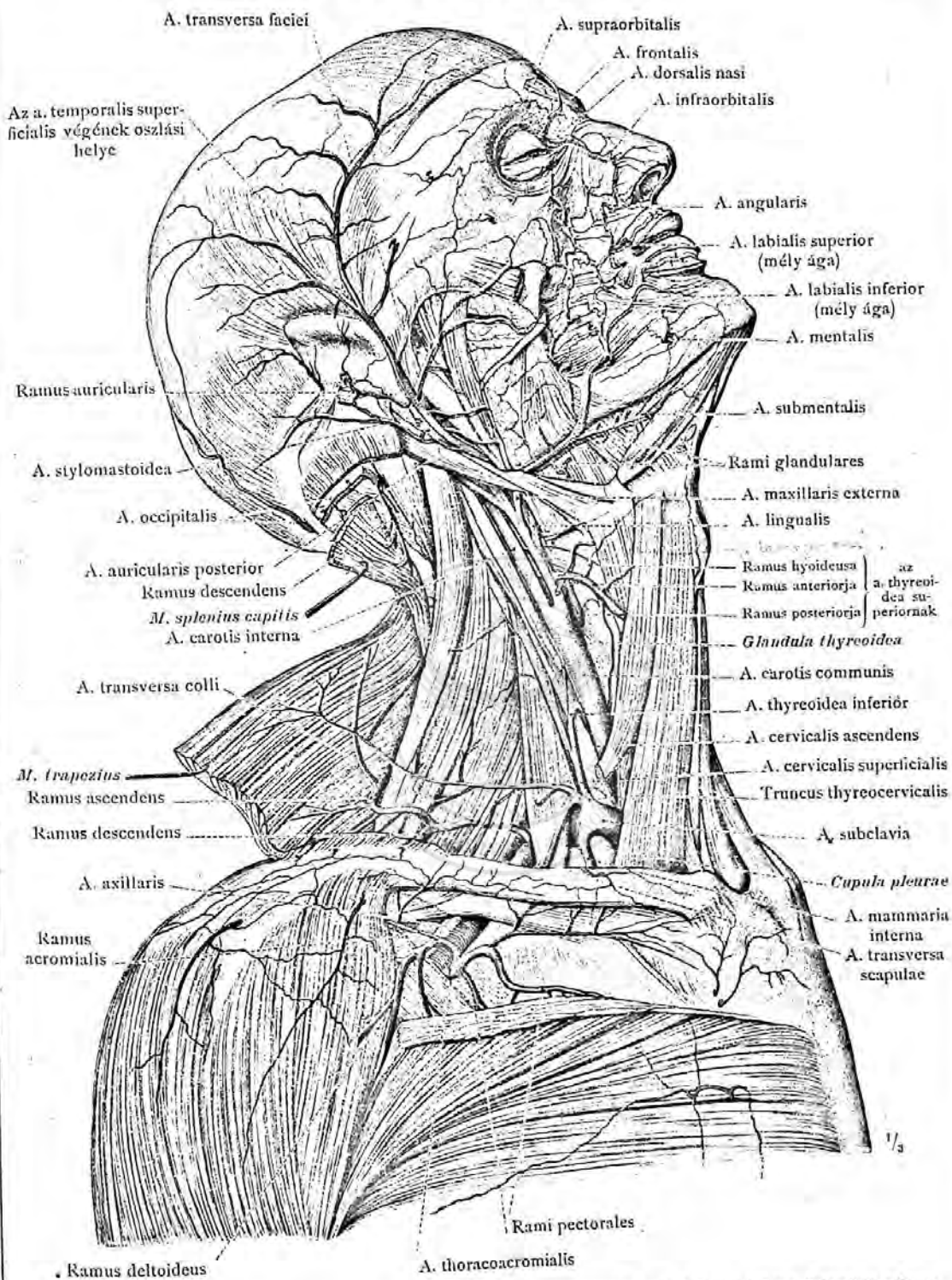
A NYAK ÉS A FEJ VERŐEREI.





998. rajz. A nyak, a fej és a mellkas felső részének és a vállnak felületes verőerei, jobboldalról nézve. (A fültövi mirigy elülső részén a fascia parotideo-masseterica megtartva. A m. quadratus labii superioris alsó végének eltávolításával, az a. maxillaris externa és az a. labialis superior eredése látható.)

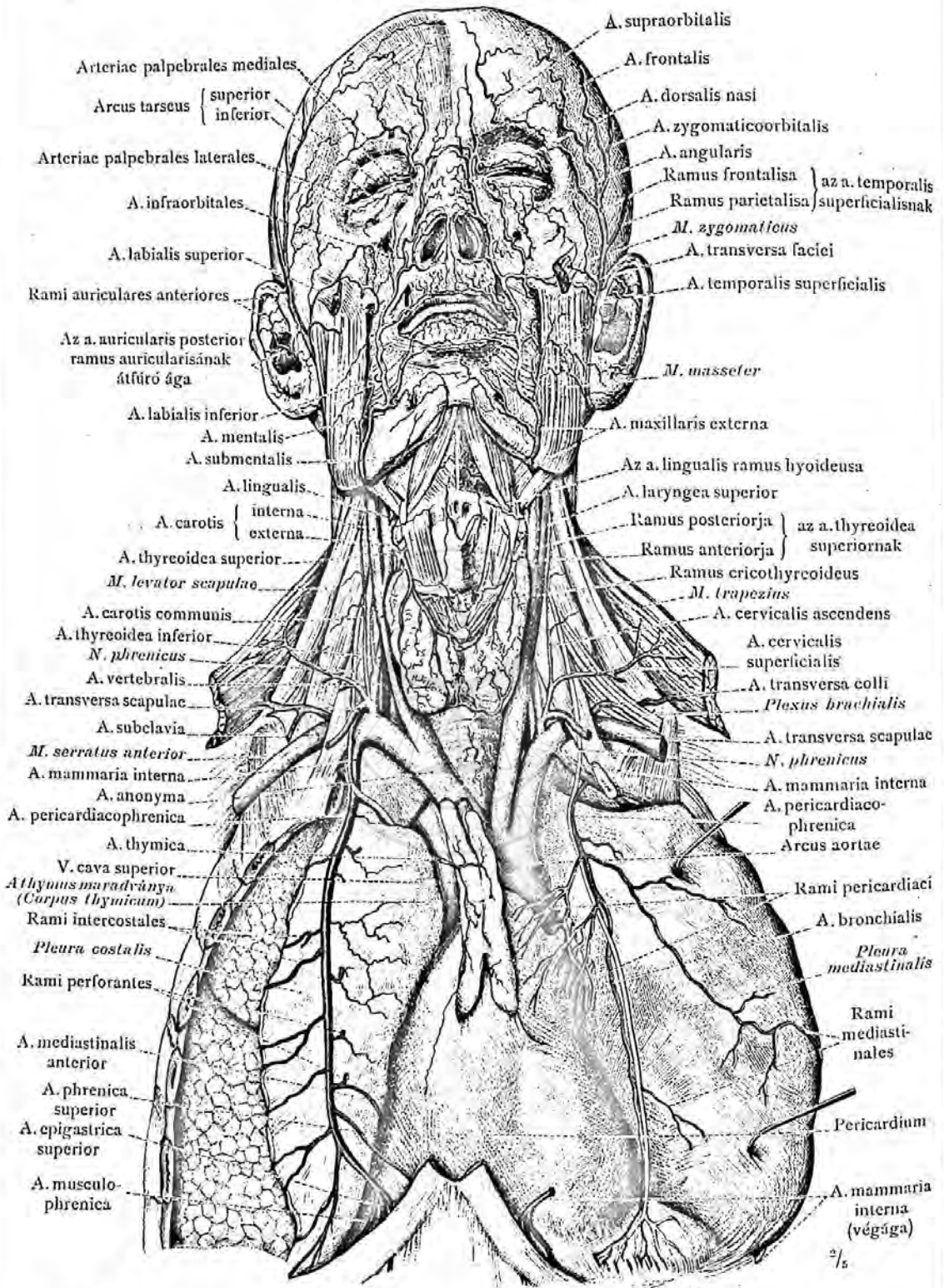
Az a. carotis externa. Az a. subclavia és az a. axillaris felületes ágai.



999. rajz. A 998. rajz készítményéről a felületes arcizmok, a fültövimirigy hátsó része, továbbá az állkapocsalatti mirigy, a fejforgató, a musculus omohyoideus alsó hasa, valamint a nagy mellizom kulcsesonti darabjának felső része és a mellpólya mély lemeze, eltávolítva. A száj körkörös izmát a szájnnyílással párhuzamosan átvágva és az ajakmirigyek rétegéig kidolgozva, az ajakverőerek láthatók.

Az a. carotis externa. Az a. subclavia és az a. axillaris mélyebben fekvő ágai.

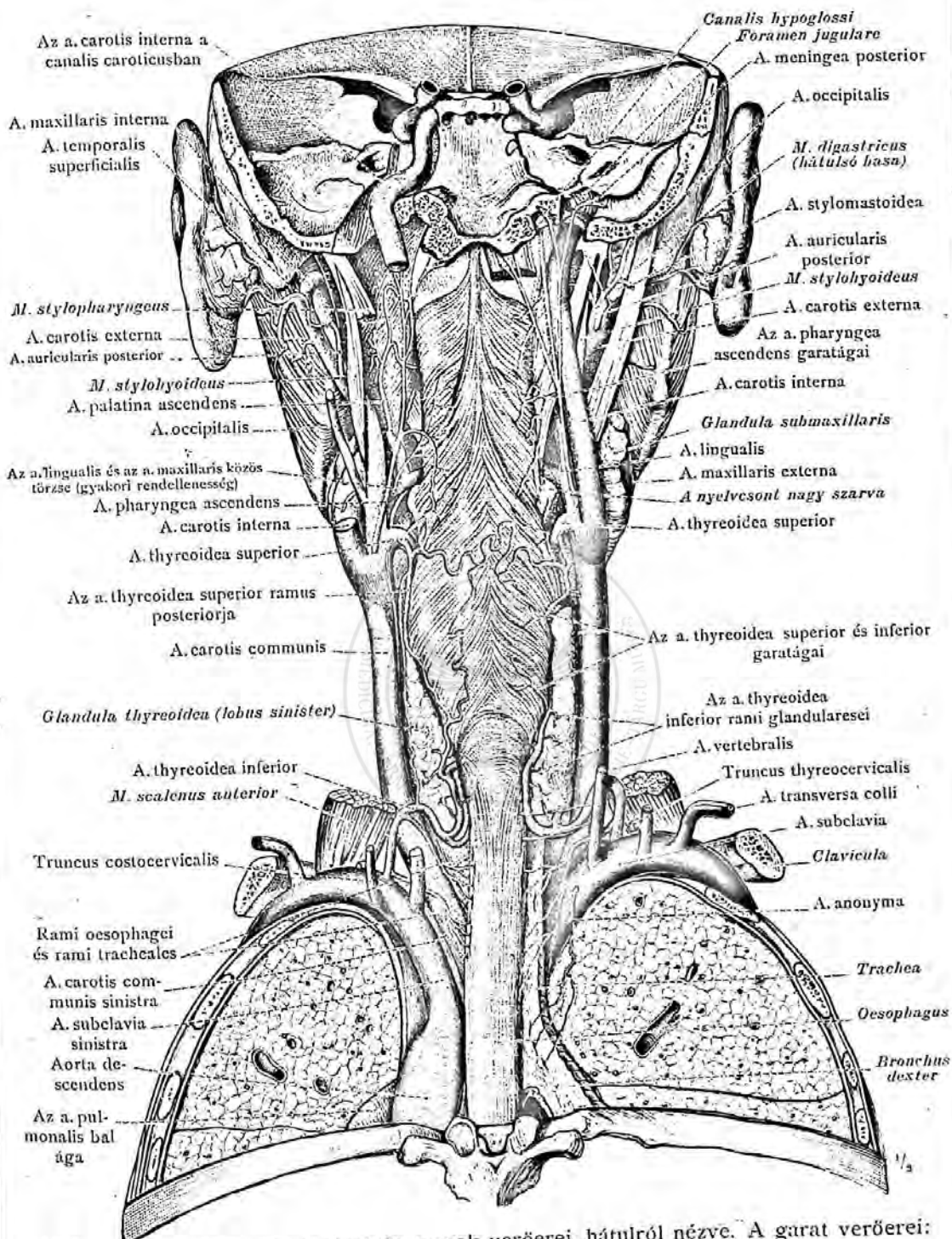




1000. rajz. A jobboldali mellhártya a tüdővel együtt kissé hátrahúzva és az a. mammaria internától oldal felé eső része levágva. A bal mediastinalis lemez a tüdőgyökeréig lefejtve és a tüdővel együtt oldalra van húzva.

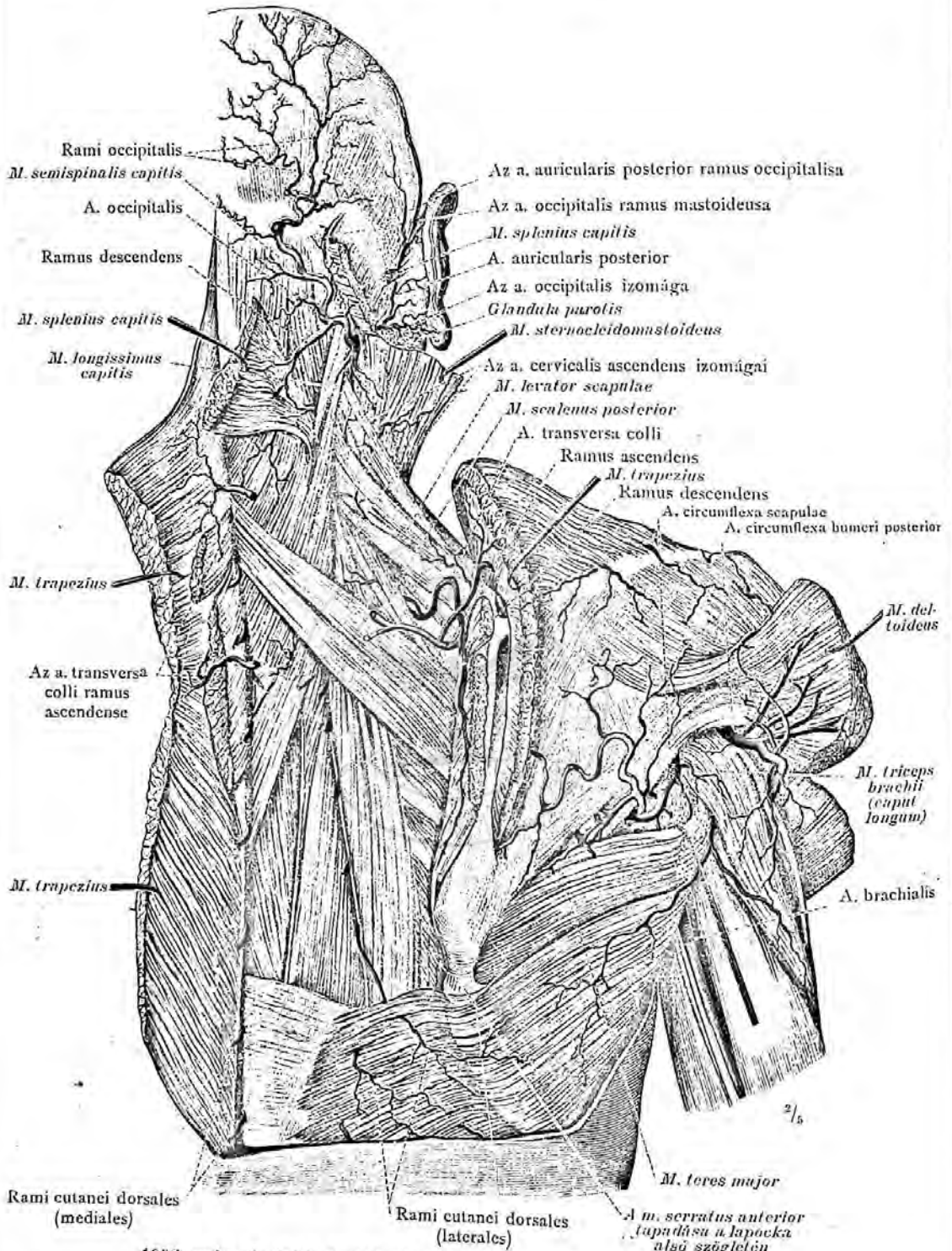
Az aorta ívéből eredő verőerek elágazódása a nyakon és a fejen;  
az a. mammaria interna.





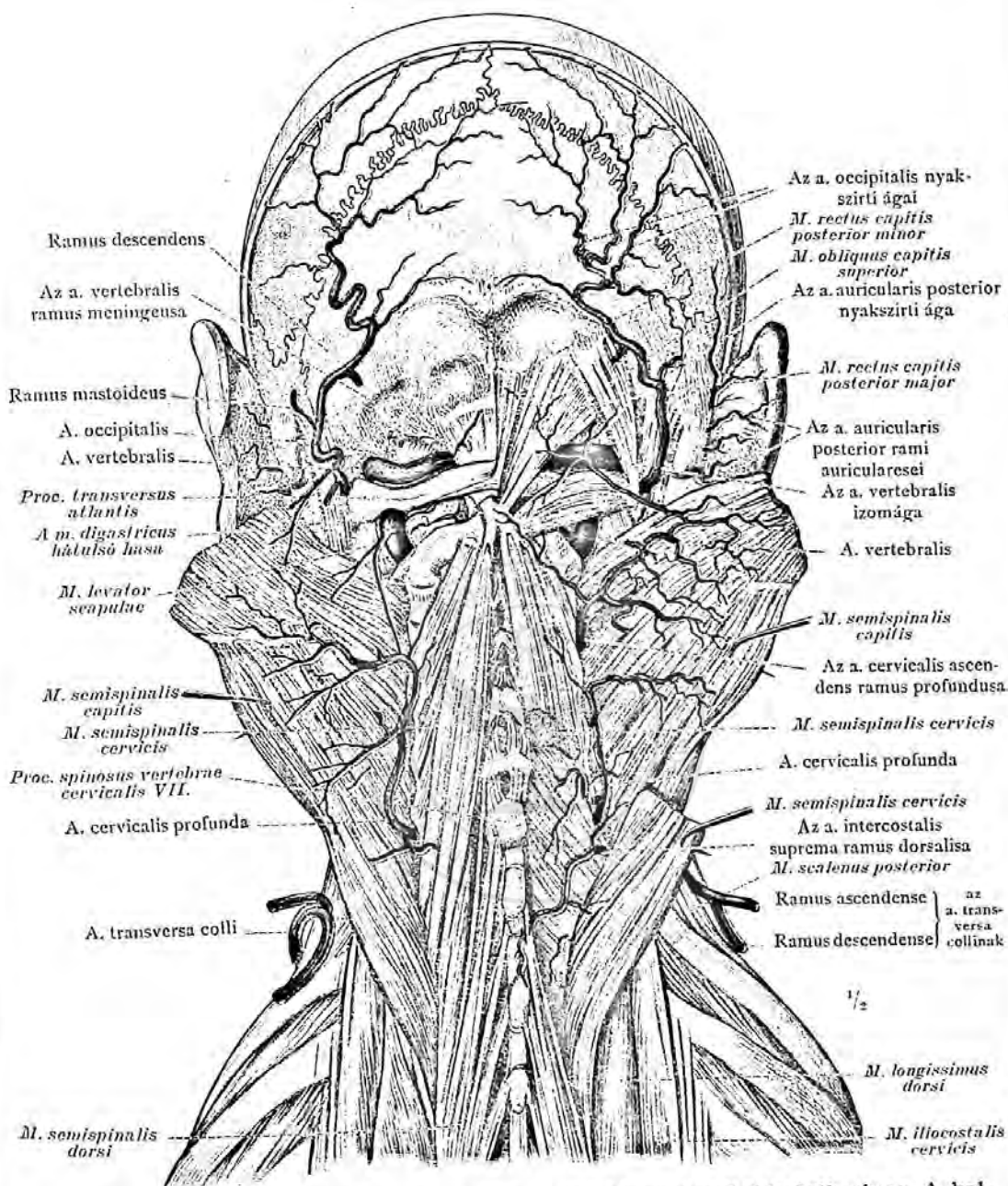
1001. rajz. Az aorta ivének ágai és a nyak verőerei, hátulról nézve. A garat verőerei: a. pharyngea ascendens, a garathoz menő ágaival, rami pharyngei, és az a. meningea posterior; az alsó és felső pajzsmirigy verőérnek a garathoz menő ágai, rami pharyngei; az arteria thyreoidea inferiornak a nyelvcsőhöz és a levegőcsőhöz menő ágai.

Az a. subclavia. Az a. carotis communis. Az a. carotis interna;  
A garat, a levegőcső és a nyelvcső verőerei.



1002. rajz. A jobb tarkó és váll mély verőerei, hátulról nézve. (A lapocka a háttól kissé elhúzva, a deltaizom hátulsó széle mentén bevágva és széjjel-húzva, a teres major kissé lehúzva; az a. circumflexa scapulae szétágazó, felületes ágai a fascia infraspínatan láthatók; a m. infraspínatus alatt fekvő mély ágai az 1020. rajzban láthatók.)

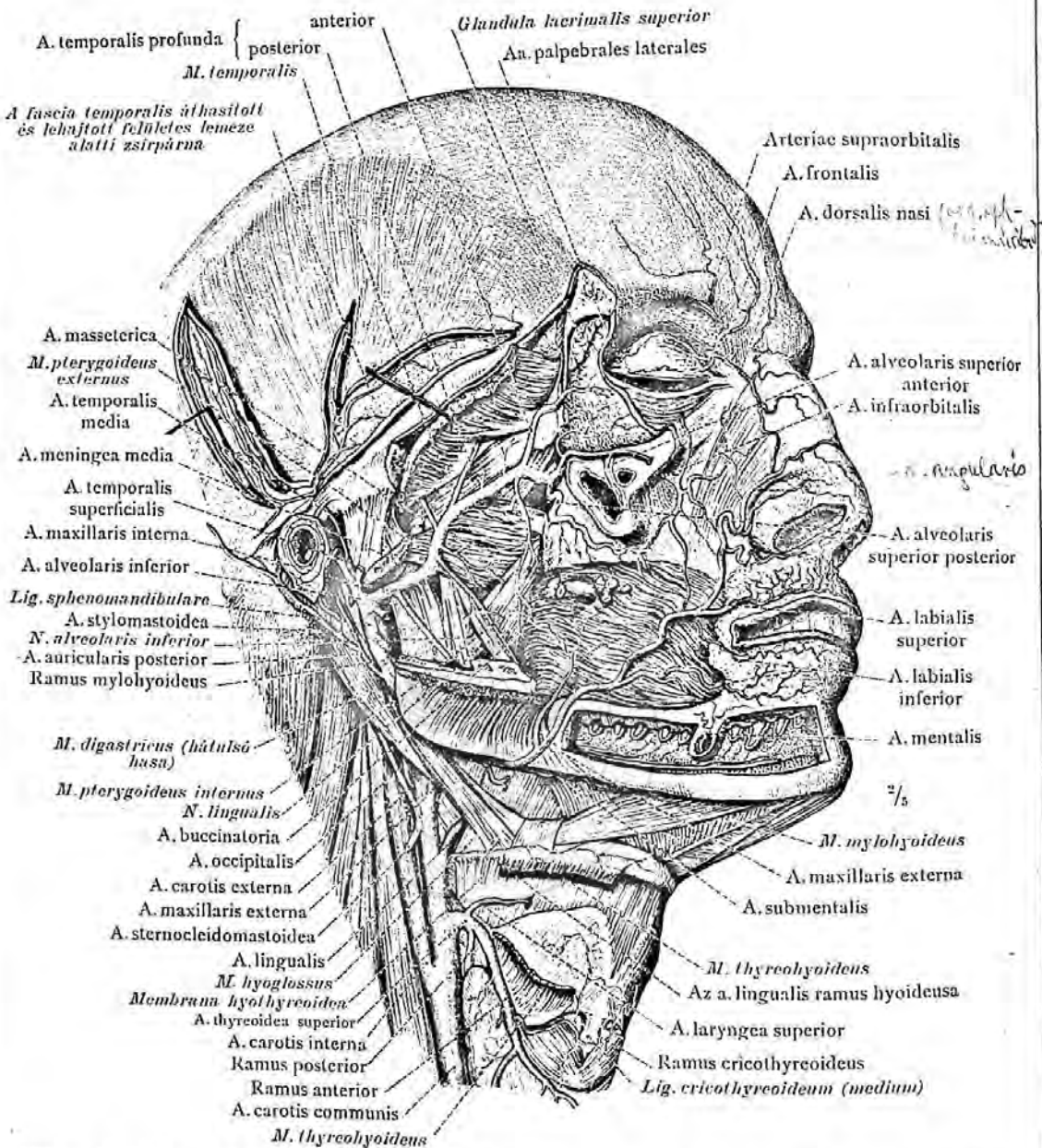
Az a. occipitalis. Az a. transversa colli. Az a. circumflexa scapulae és az a. humeri posterior.



1003. rajz. A nyakszírt verőerei és a tarkó legmélyebb verőerei, hátulról nézve. A baloldalon az a. cervicalis profunda, a m. semispinalis capitis felső részét is ellátja, melyet a jobb oldalon az a. cervicalis ascendens erős izomága, ramus profundus, lát el. A jobboldali a. transversa colli átfúrja a m. scalenus posteriort (gyakori rendellenesség). Az 1002. rajz készítményéről a m. semispinalis capitis mindkét oldalán a koponya alapjáról levágva és oldal felé hajtva. Jobboldalon a m. semispinalis cervicis valamivel közepe feletti harántúl átvágva és alsó vége oldal felé hajtva: az a. cervicalis profunda átlépése a 7. nyak s az 1. háticsíglya között látható. A baloldalon a fej rövid forgató izmainak eltávolításával, az a. vertebralis az atlas felett és alatt is teljesen szabadon látható.

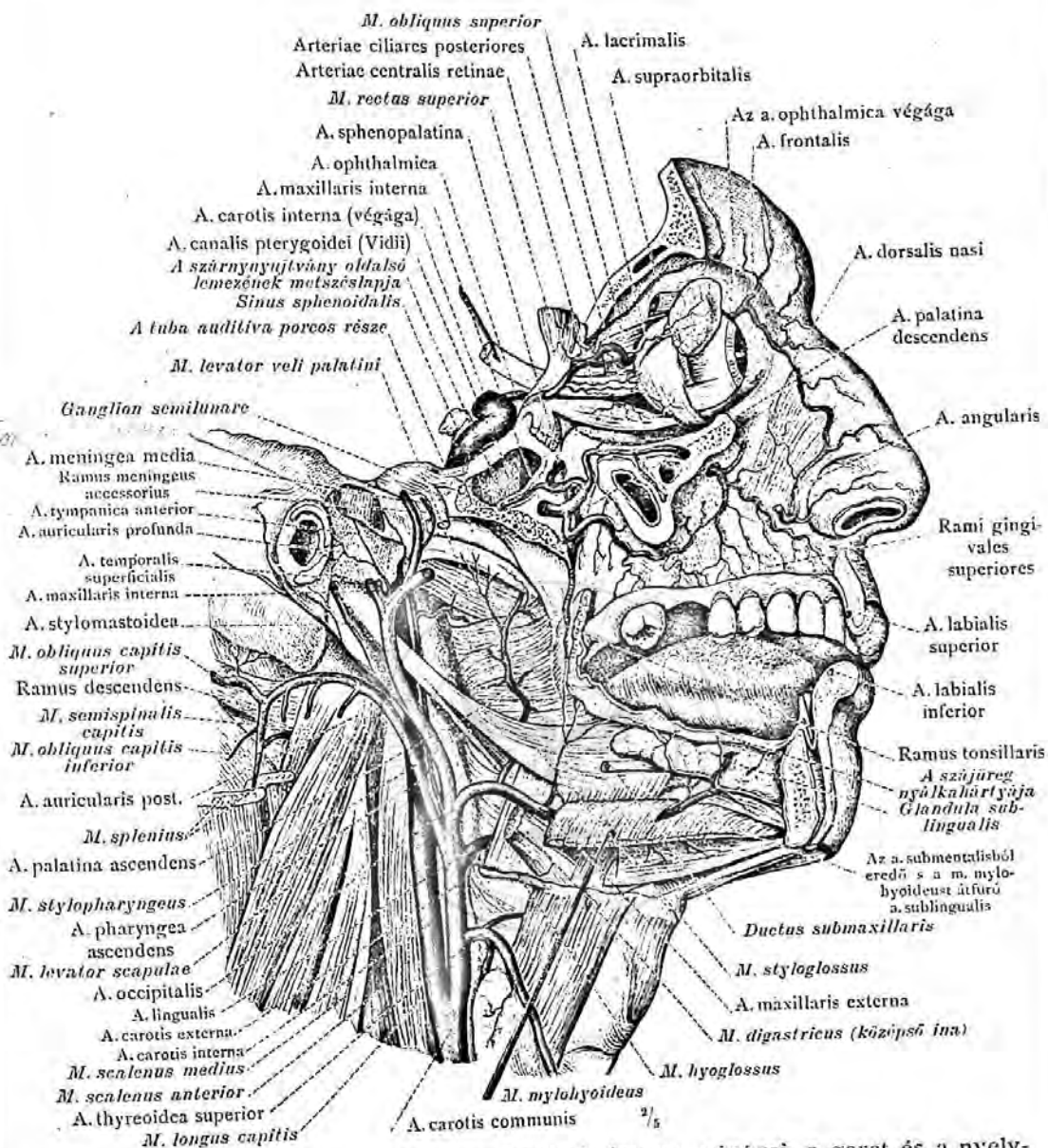
Az a. cervicalis profunda. Az a. vertebralis és az a. occipitalis.





1004. rajz. A nyak felső részének, továbbá a fossa retromandibularisnak és a fossa infratemporalisnak verőerei, jobboldalról nézve.  
 (A 999. rajz készítményéről a szilzmok, úgyszintén az a. temporalis superficialis, az a. temporalis media eredése felett levágva. A járomív, a m. masseter nagy részével együtt az állkapocs ága, az állkapocs nyakától a közepéig eltávolítva; a ligamentum sphenomandibulare ellenben meg van tartva. A szemüreg oldalsó falának elülső része, a periorbita megkimélésével, eltávolítva; a halántékpólya megtartott csomkjának felfelé húzásával és a halántékpólya felületes lemezének átvágásával az alatta levő zsírpárna, úgyszintén az a. temporalis media elülső ága látható. Az a. temporalis media hátsó ága pedig a halántékpólya és a halántékpólya eltávolításával látható. A m. thyreoideus legnagyobb részének eltávolításával, az a. laryngea belépése a membrana hyothyreoidesbe látható.)

Az a. maxillaris interna.

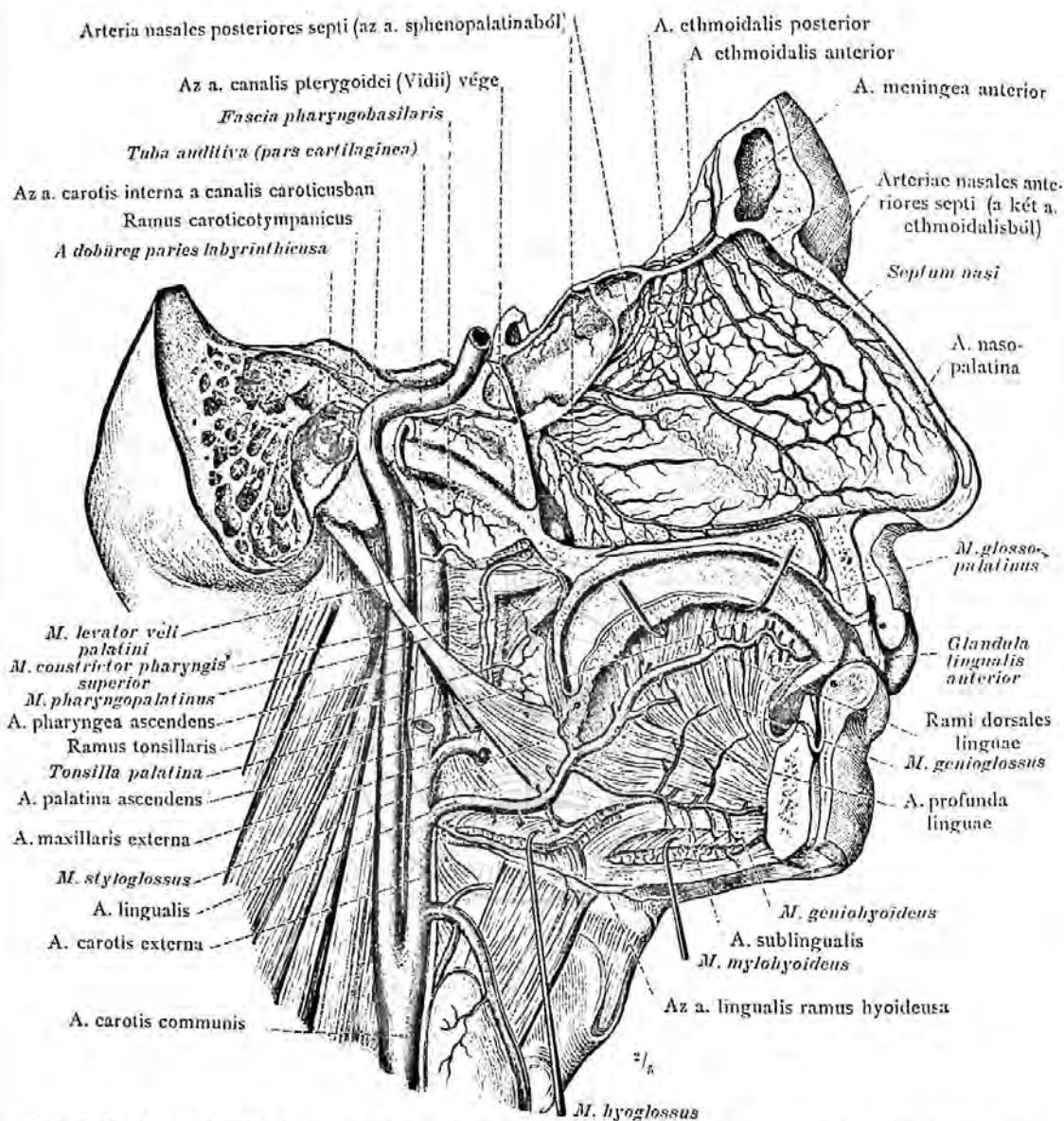


1005. rajz. A szemüreg verőerei, az a. maxillaris interna végágai, a garat és a nyelv-alatti tájék verőerei, jobboldalról nézve.

(Az 1004. rajz készítményéről az állkapocs jobb fele, a m. digastricus tapadásáig, a két m. pterygoideussal és az a. maxillaris interna középső darabja átvágva és eltávolítva; a m. mylohyoideus lehajtásával a glandula sublingualis látható. A canalis infraorbitalist megnyitó, középen vezetett sagittalis metszéssel a szemüreg oldalsó fala el van távolítottva, a szemüreg tartalmának megkimélésével. Egy metszéssel a canalis pterygoideus elülős részét, a jobb ékesonti öblöt, valamint a foramen rotundumot, ovalet és spinosumot feltárva és a középső koponyaárok alapjának legnagyobb részét eltávolítva azután a szárnynyújtványok oldalsó lemezét és a m. tensor veli palatinit levágva, látottává vált az a. maxillaris interna elágazódása a fossa pterygopalatinában.)

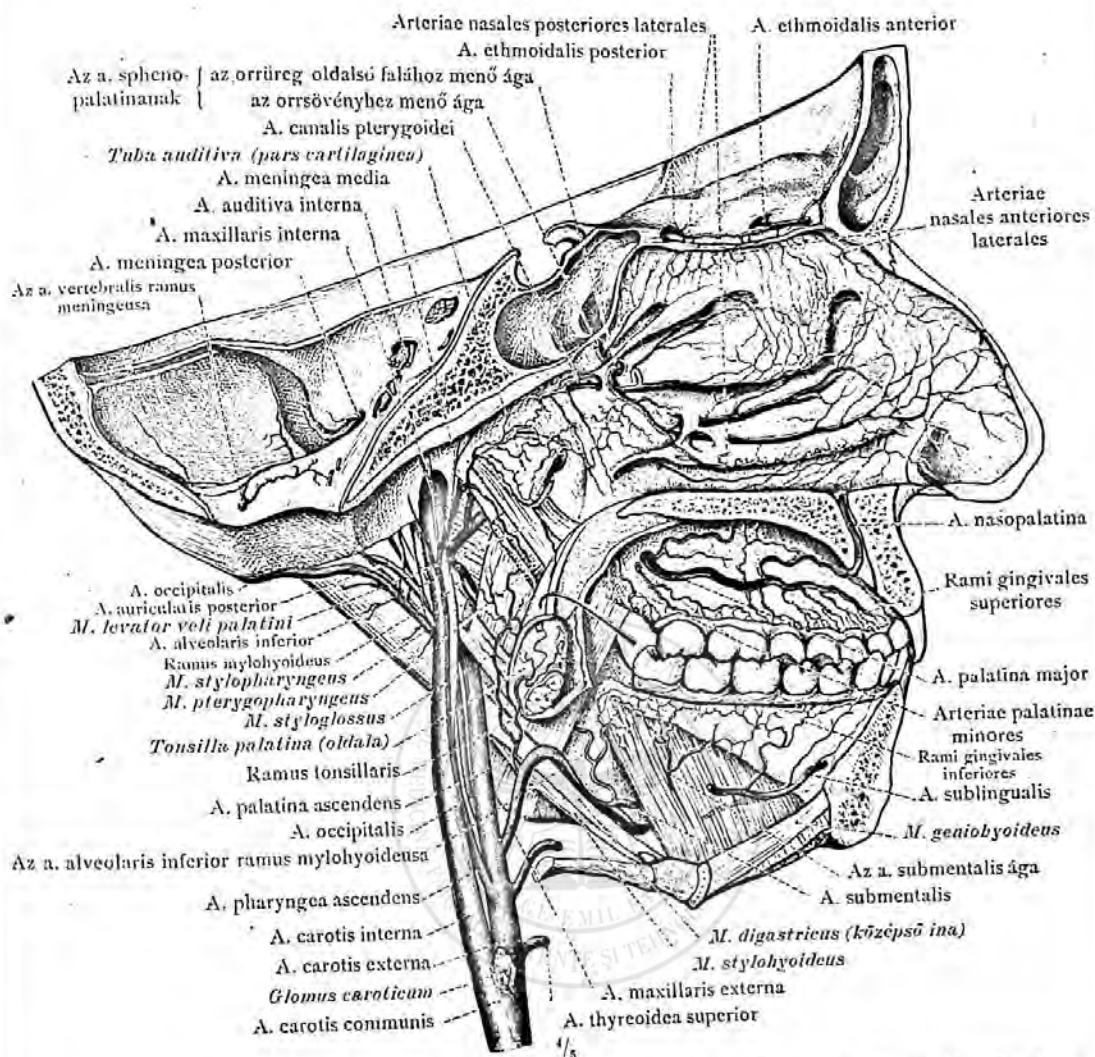
Az a. maxillaris interna, az a. ophthalmica, az a. pharyngea és palatina ascendens, az a. sublingualis.





1006. rajz. Az 1005. rajz készítményének, a középvonaltól kissé jobbra eső, nyílrányú metszete, az orrsövény jobb oldalával; továbbá a középvonaltól kissé jobbra vezetett metszéssel a szárnynyújtvány (processus pterygoideus) medialis lemezének alsó része eltávolítva és a Vidius-csatorna hátsó része feltárva. A középső fül csaknem pontosan a sziklacsont tengelyén keresztül vezetett metszéssel megnyitva továbbá a canalis caroticus oldalsó fala eltávolítva. A porcos fülkürt hátsó része eltávolítva, a m. levator veli palatini közvetlenül az inyvitörlába lépésé felett levágva és a fascia pharyngobasilaris a m. constrictor pharyngis superior felső széléig szabaddá téve. Az utóbbi izom elülső részének eltávolításával, a szájpadmandula oldala szabadon látható. A m. hyoglossus kis részének eltávolításával és alsó csonkjának lehúzásával az a. lingualis látható; a nyelv izomzatában pedig, az a. profunda linguae van kidolgozva.

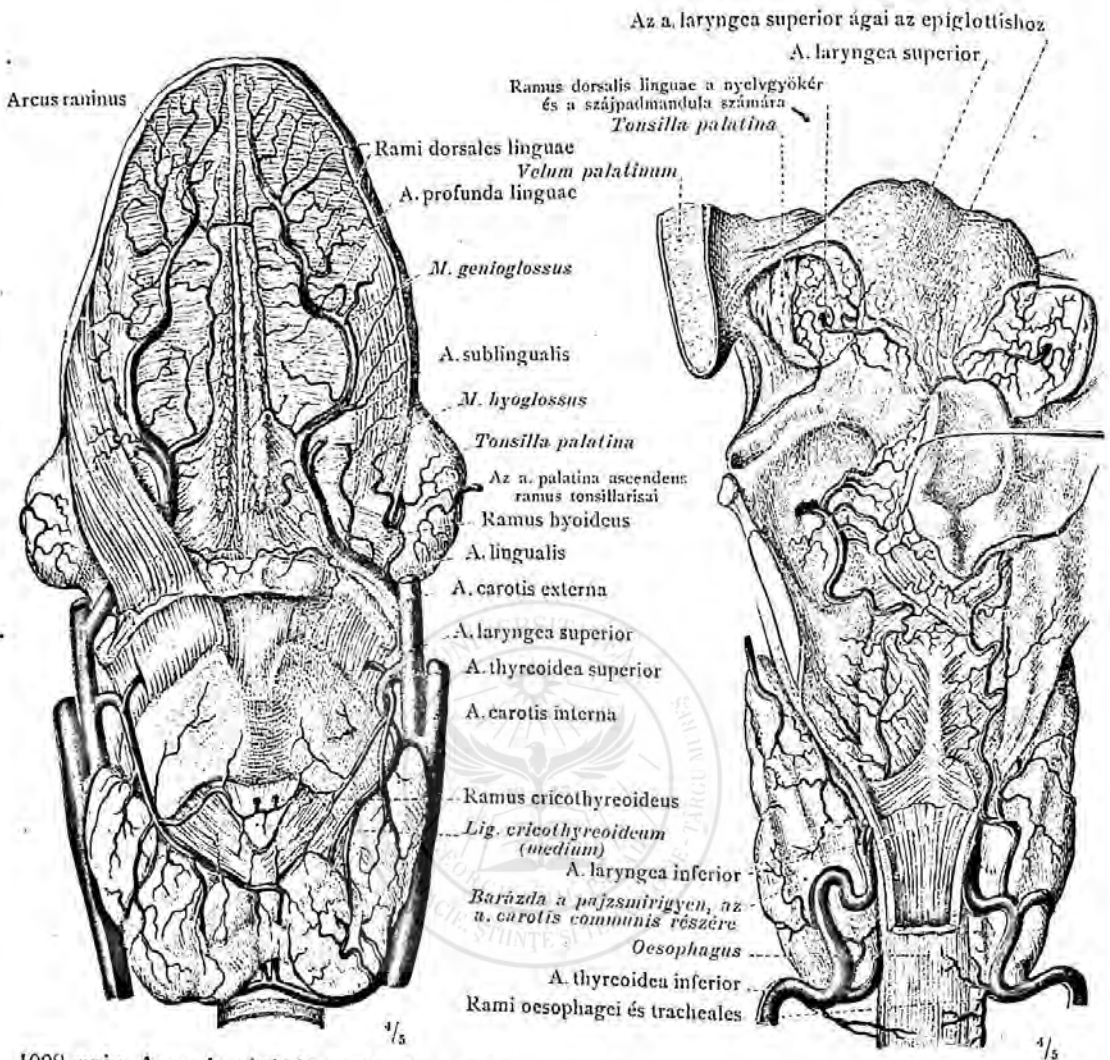
Az orrsövény verőerei. Az a. lingualis. Az a. pharyngea és palatina ascendens. Az a. carotis interna.



1007. rajz. Az orrüreg oldalsó falának, a porcós fülkürtnek, a keményszájpadnak, a szájpadmandulának és a szájüreg oldalsó falának verőerei; a kemény agyvelő burok kisebb verőerei; a. carotis interna és externa s az utóbbinak ágai. A koponya bal fele, a medialis oldalról nézve.

(A koponya jobb fele a gerincoszlop eltávolítása után középvonaltól kissé balra, nyílirányú metszéssel, levágva. A garat eltávolításával a baloldalon a carotis interna és externa, valamint az utóbbinak ágai szabaddá tétettek. Az inyyitorla bal fele és a bal szájpadmandula megtartva; a mandolát kissé előre húzva, az arteria palatina ascendens ramus tonsillarisának elágazódása látható. A m. levator veli palatini mögött a m. pterygopharyngeus keskeny csíkjá megtartva. A középső orrkagyló hátulsó csúcsának eltávolításával az arteria sphenopalatina lateralis ága szabadon látható. A szájüregből a nyelv és a nyelvvelati mirigy eltávolítva, a m. mylohyoideus, geniobyoideus, valamint az a. sublingualis elülső része megtartva; az a. sublingualisból és az a. submentalis ágából, ugyszintén az a. alveolaris inferior ramus mylohyoideusából eredő: az alsó foghúshoz menő verőerek láthatók.)

Az orrüreg oldalsó falának verőerei.  
Az a. pterygopalatina. Az a. canalis pterygoidei. Az a. pharyngea és palatina ascendens.



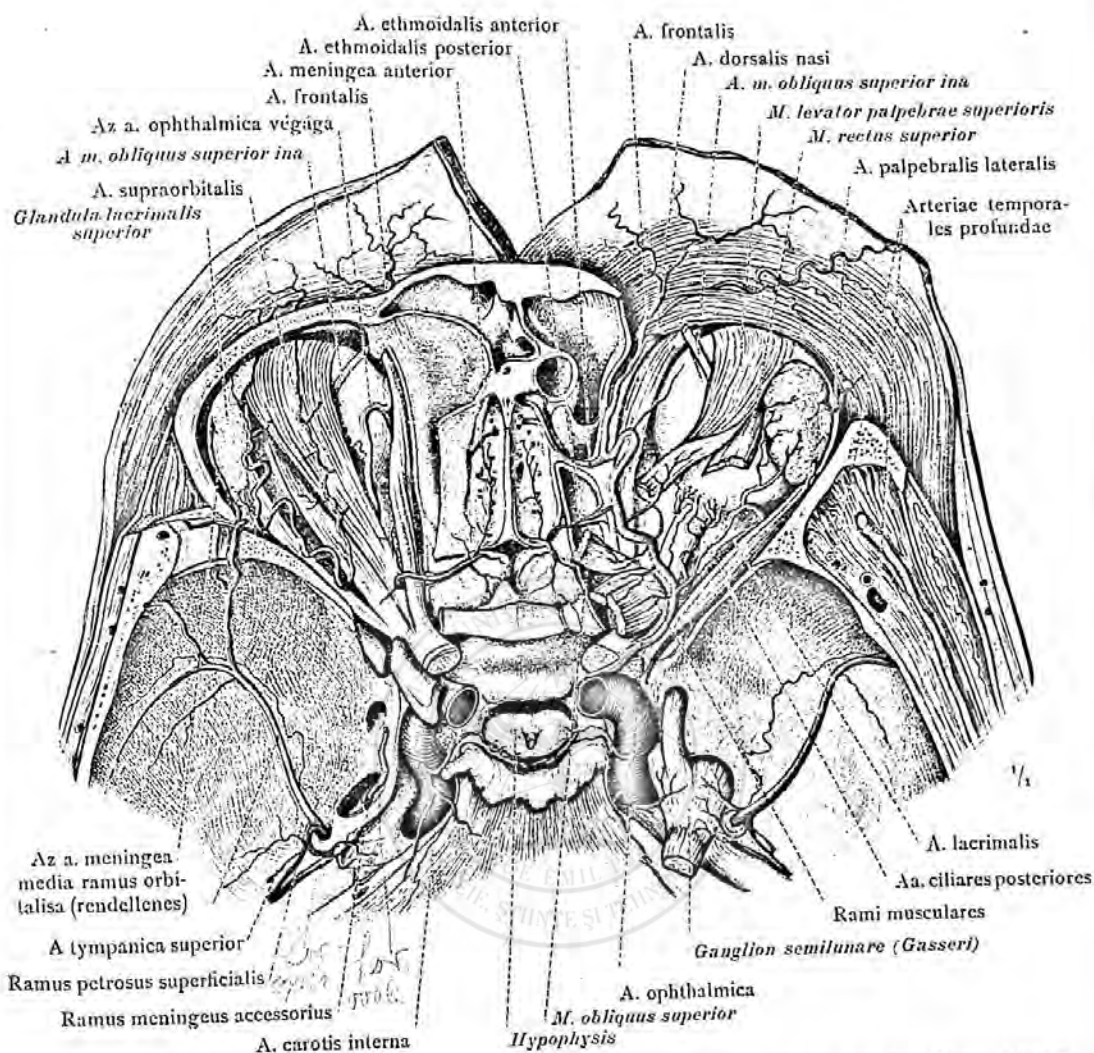
1008. rajz. A nyelv alulról, a gége és a pajzsmirigy elülről nézve. A mély nyelvverőér elágazódása, a. profunda linguae haránt összefüggése a túloldalival, arcus raninus; a nyelvverőér, a. lingualis, nyelvcsonti ágával, ramus hyoideus; a szájpaddmandula verőerei; a felső pajzsmirigy verőér, a. thyroidea superior, a felső gégeverőérrel, a. laryngea superiorral és a ramus cricothyroideussal.

(A nyelv jobb felében a m. hyoglossus megtartva, a baloldalon eltávolítva s így az a. lingualis teljesen látható. A nyelvvalati verőér, a. sublingualis, mindkét oldalon rövidre vágva, nyelvháti ágai a nyelvizomzatában kidolgozva; a nyelv belsejébe messze követhetők.)

1009. rajz. A nyelvgyökér, a gége és a garat pars laryngeajának a nyelöcsővel és a pajzsmiriggyel határos része, hátulról nézve.

(A garat hátulso falának eltávolításával a bal recessus piriformisban és a garat elülső falán is, a nyelöcső kezdetéig a nyálkahártyát eltávolítva, az a. laryngea inferior és superior láthatók. A gégefedőt jobb felé húzva, az a. laryngea superiornak a gégefedőhöz menő ágai láthatók. A nyelvgyökér és a szájpaddmandula nyálkahártyáját mindkét oldalon eltávolítva, az a. dorsalis linguae leghátulso ága és ennek felületes elágazódása látható.)

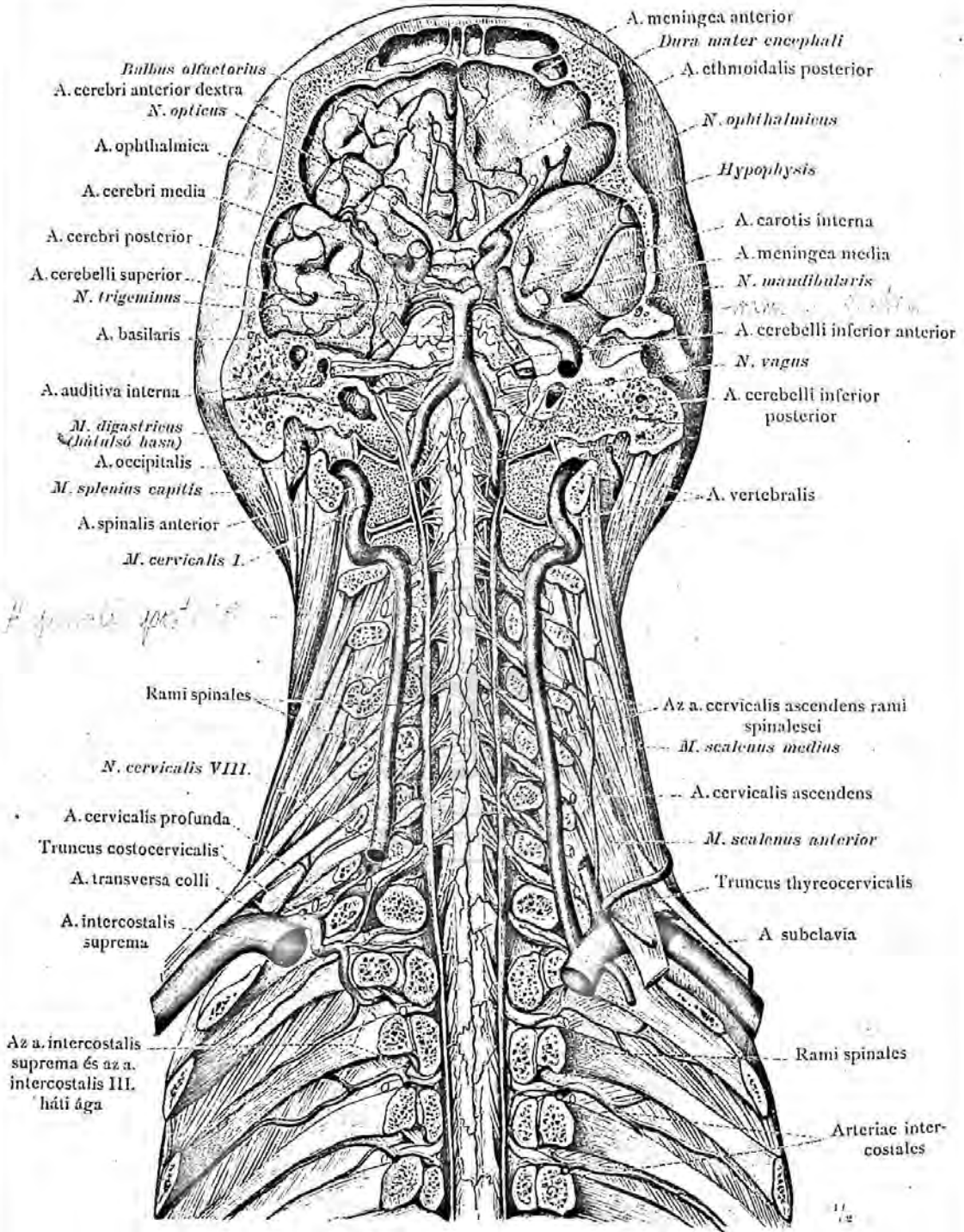




1010. rajz. A carotis interna koponyabeli része és az a. ophthalmica elágazódása, felülről nézve. A bal a. meningea media ága, ramus orbitalis, a szemüreg oldalsó falán keresztül a könnymirigyhez (gyakori rendellenesség). A baloldalon az a. ethmoidalis posterior erősebb, mint az elülső és a helyett hogy a m. obliquus superior alatt menne, felette halad. (Mindkét szemüreg teteje, a jobboldali szemüreg oldalsó falának felső része is eltávolítva. A homlokcsonttól lehajtott bőrizomdarabnak hátulsó oldalán az a. ophthalmicanak, a margo supraorbitalis alatt kilépő ágai, a supraorbitalis, a frontalis és a dorsalis nasi szabaddá vannak téve. A jobb oldalon a m. levator palpebrae superioris, a m. rectus superior és a m. obliquus superior részben eltávolítva s eredő végüket hátrahúzva, az a. ophthalmica egész lefutása, izomágaival és a szegolyóhoz köthetése látható. A jobboldali elülső a. ethmoidalis ágai, továbbá a két a. ethmoidalis eredése látható. A jobboldali elülső a. ethmoidalis lefutása eredésétől a koponyaüregből való kilépéséig, követhető. Az ékesonti öböl felső falának részbeni eltávolításával és a nyálkahártya megkimézésével, a hátulsó a. ethmoidalis elágazódása az ékesonti öböl nyálkahártyáján látható.

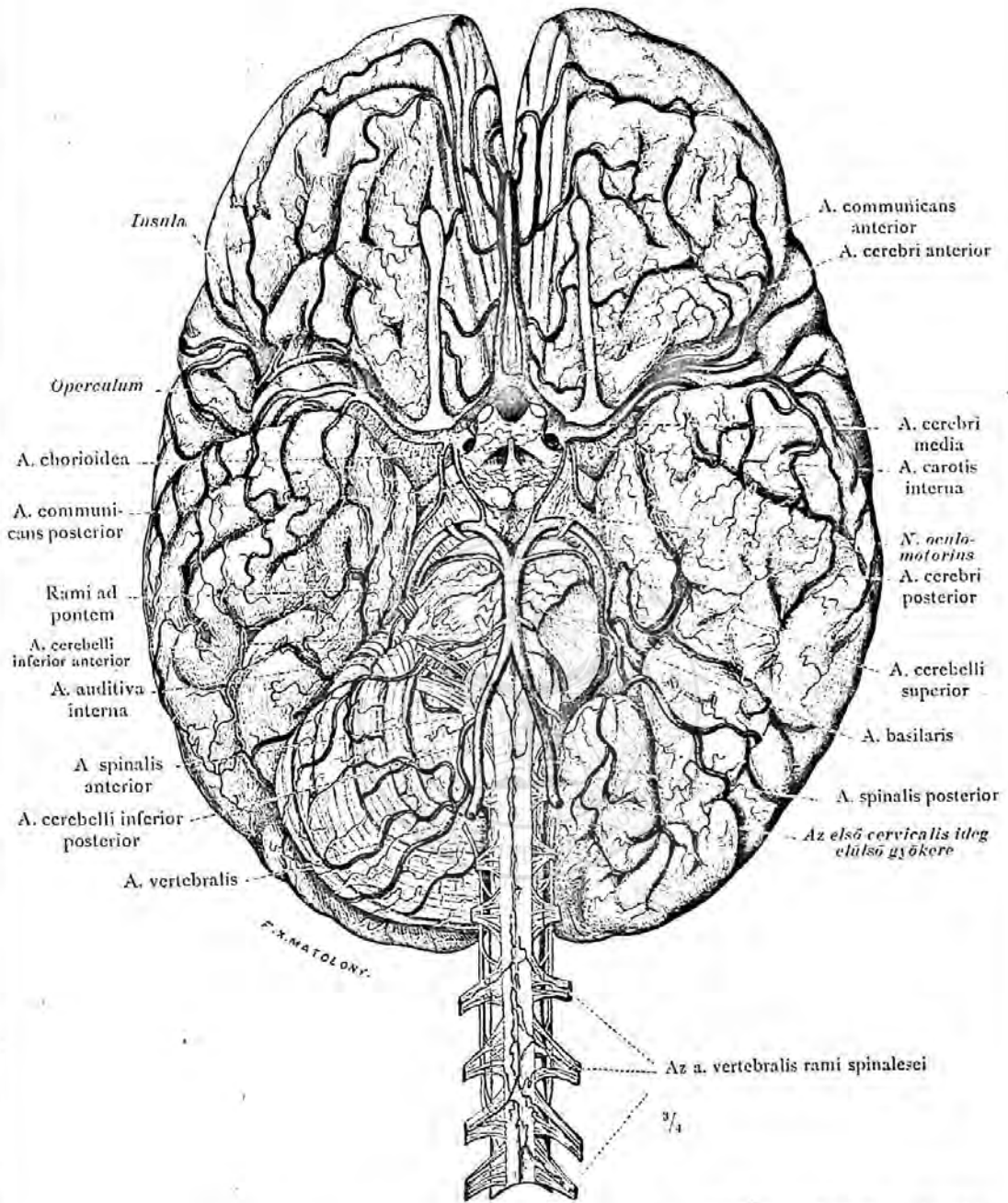
A szemüreg, az elülső és középső koponyaárok verőerei.





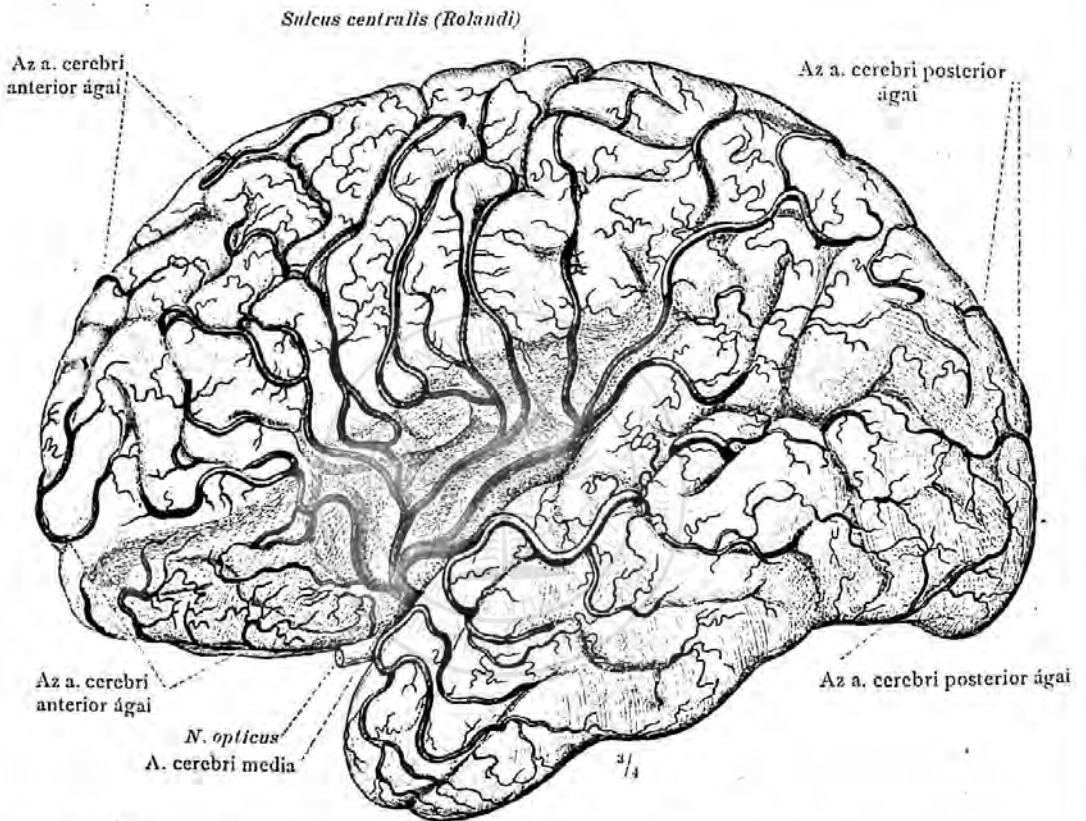
1011. rajz. A hátsigolyák testét a bordafejecskékkel, a nyakcsigolyák testét és a harántnyújtványok elülső ágát eltávolítva, az a. vertebralis s a dura mater spinalis eltávolításával a rami spinalesek is láthatók. A koponyaalap nagy részét, jobb oldalon a dura mater encephali elöl fekvő részét is eltávolítva, az agyvelő alapjának verőerei láthatók. Elülről nézve. Az a. auditiva interna ez esetben az a. cerebelli inferior anteriorból ered. (Gyakori rendellenesség).

Az a. vertebralis. Az a. basilaris. Az a. carotis interna.

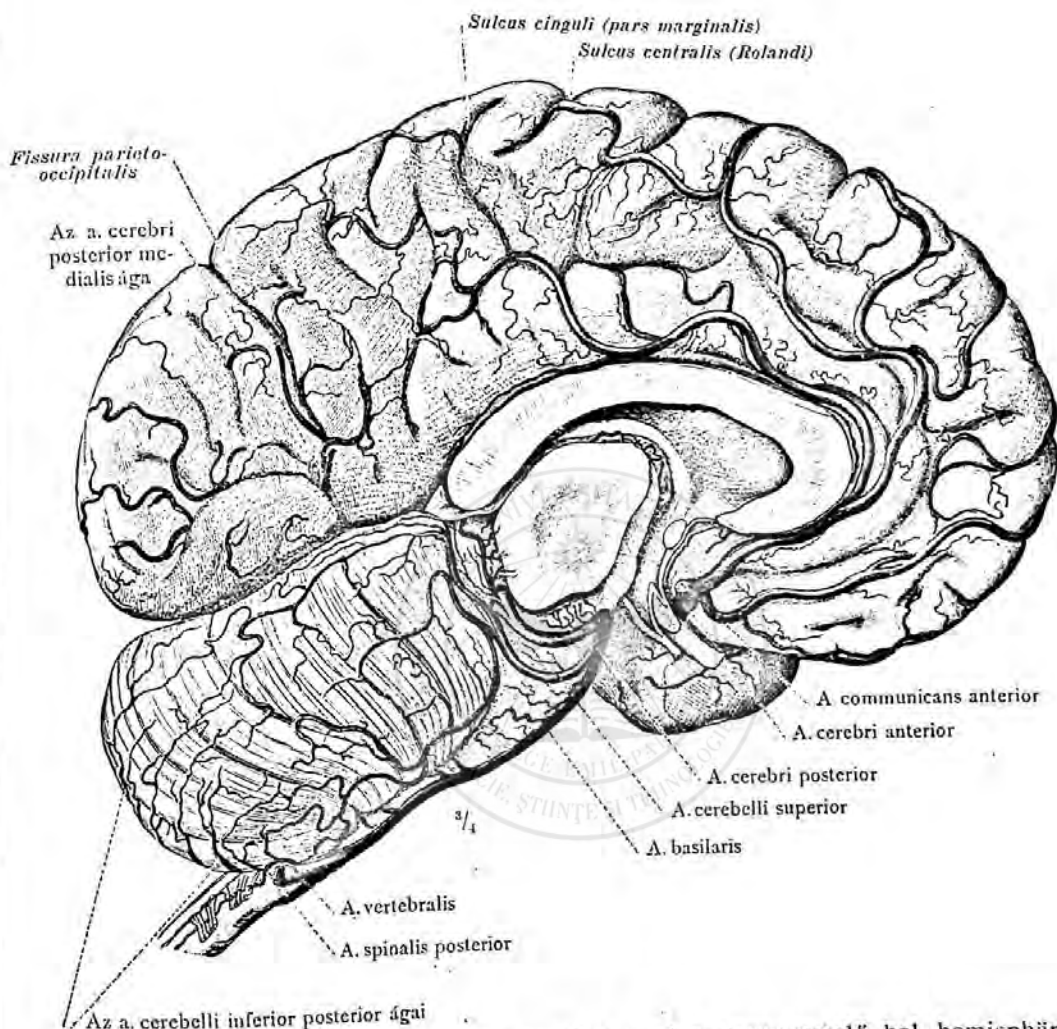


1012. rajz. A verőerek elágazódása az agyvelő alapján és a Willis-erővérkör, circulus arteriosus Willisii.

(A két homlokkarély széthúzásával mindkét oldali a. cerebri anterior lefutása, a corpus callosum térdéig látható; a jobboldali fissura cerebri lateralis tágításával az a. cerebri media elágazódása követhető. A kisagyvelő bal hemiszférájának eltávolításával a nyakszirti és a halántéki karély alapján, az a. cerebri posterior elágazódása látható.)



1013. rajz. A nagy agyvelő verőereinek, arteriae cerebri ágai, a bal nagyagyvelő hemisphärájának domború oldalán, valamint a homlokkarély alapján. A nagyagyvelő bal hemisphärája a lateralis oldalról nézve.  
 (A fissura lateralis cerebri, Sylvii, az agyvelő karélyainak széthúzásával feltárva; a fissura mélyében az arteria cerebri media elágazódása látható.)



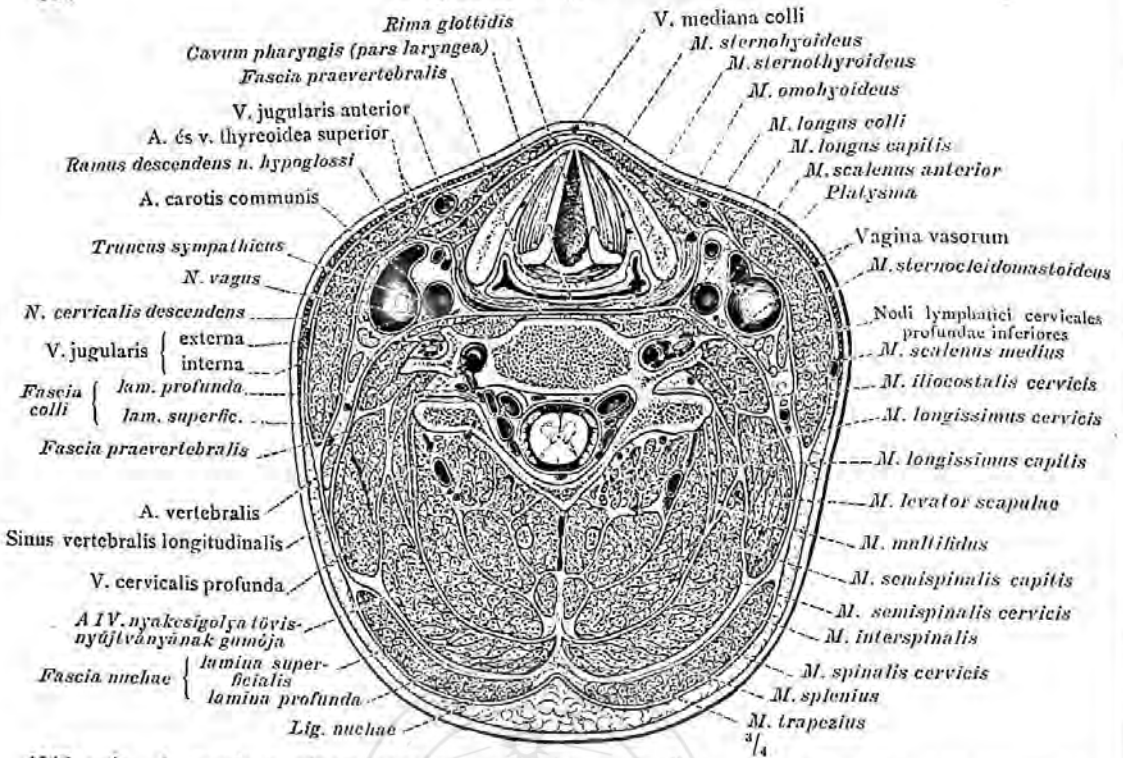
1014. rajz. Az a. cerebri anterior és posterior ágai a nagyagyvelő bal hemisphära-  
 janak medialis oldalán, valamint az a. cerebelli superior és inferior posterior, elága-  
 zódása a kisagyvelő jobb hemisphärajanak oldalán. Az a. spinalis posterior, az a. verte-  
 zódása a kisagyvelő jobb hemisphäraja a jobb  
 bralis és az a. basilaris.

(A corpus callosum a mediansíkban átvágva, a nagyagyvelő jobb hemisphäraja a jobb  
 pedunculus átmetszésével eltávolítva; az a. cerebri anterior és posterior, az a. cere-  
 belli superior lefutása, valamint az a. cerebri posteriornak az agyvelő törzsébe és a  
 tela chorioidea ventriculi tertii-be belépő ága látható.)

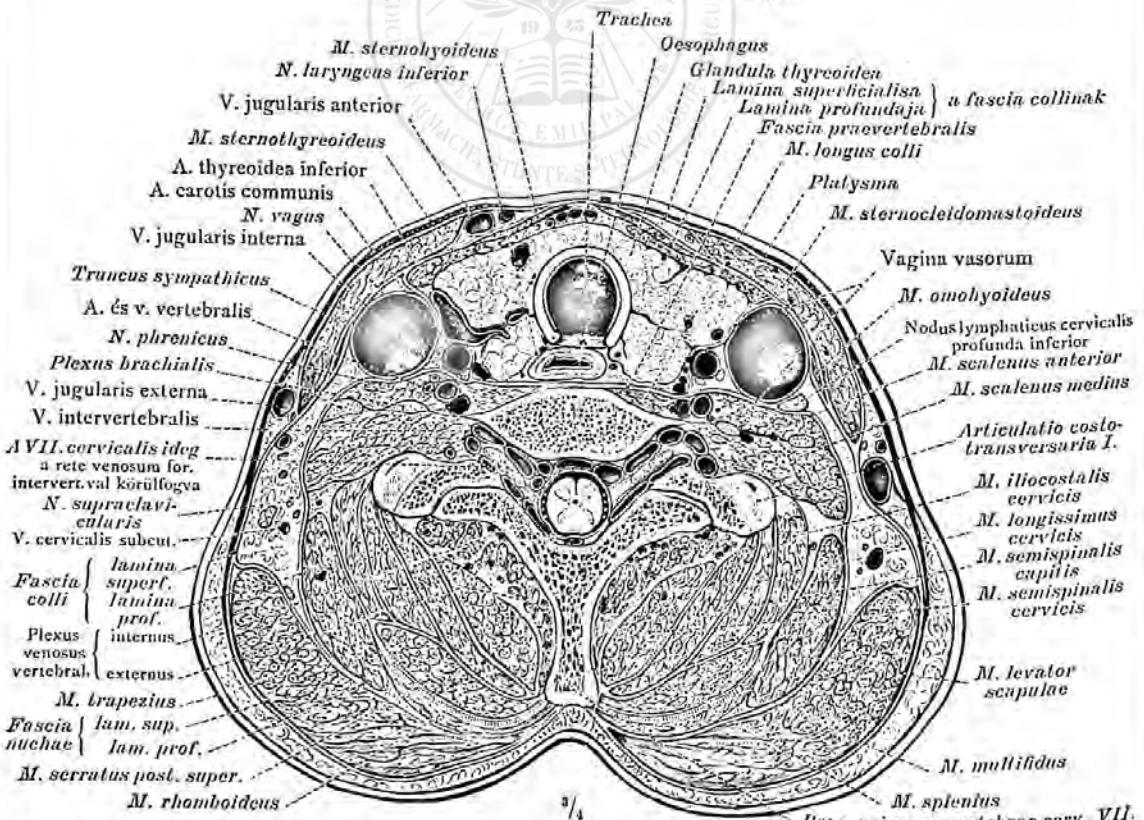
Az agyvelő verőerei.



A nyak és a fej verőerei.



1015. rajz. A nyak harántmetszete, a hangrész magasságában és az V. nyakcsigolya testén keresztül; a metszet alsó lapja.



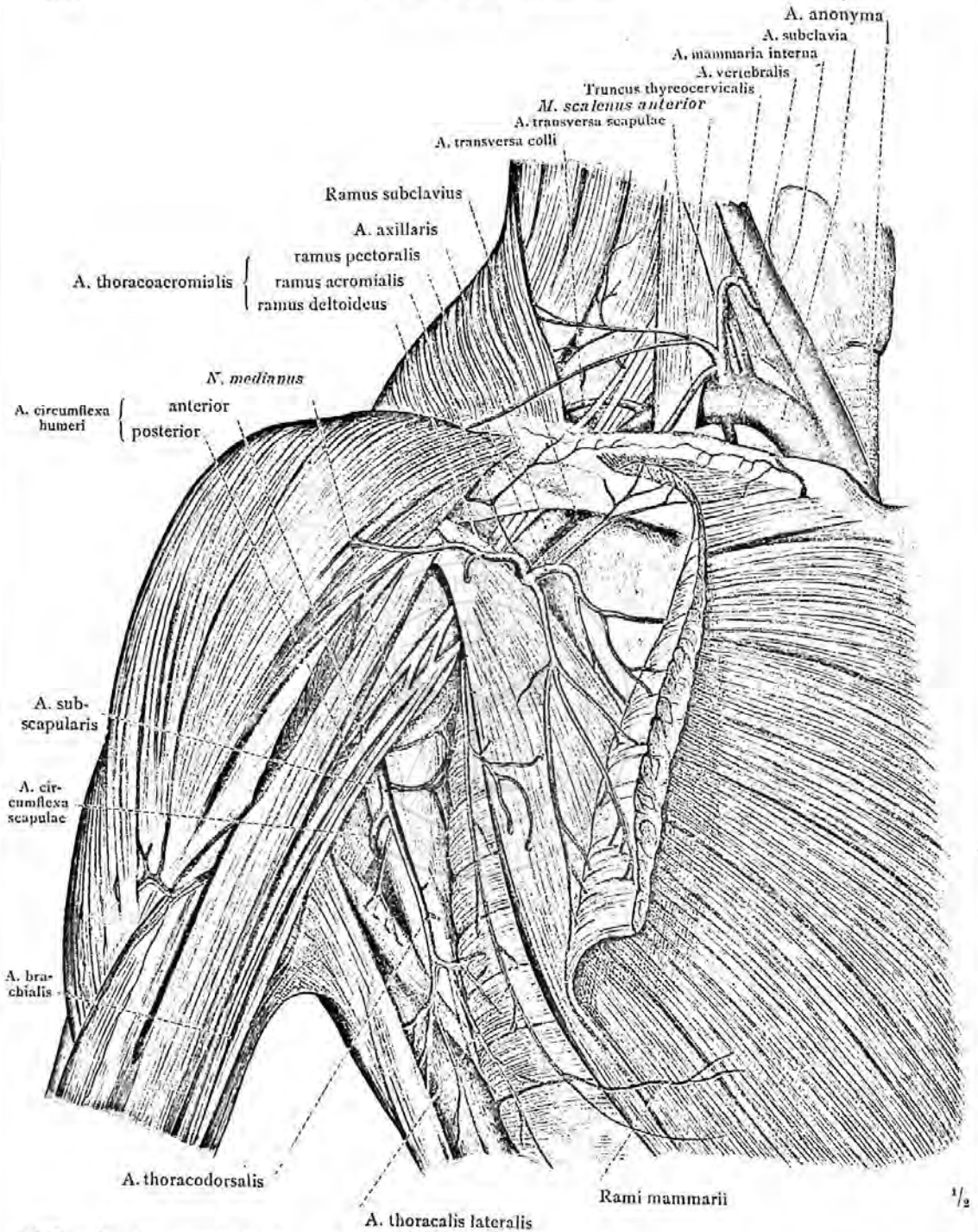
1016. rajz. A nyak harántmetszete a VII. nyakcsigolya testének alsó részén keresztül; a metszet alsó lapja.

A nyak topografiája.

ARTERIAE EXTREMITATUM  
SUPERIORUM ET INFERIORUM.

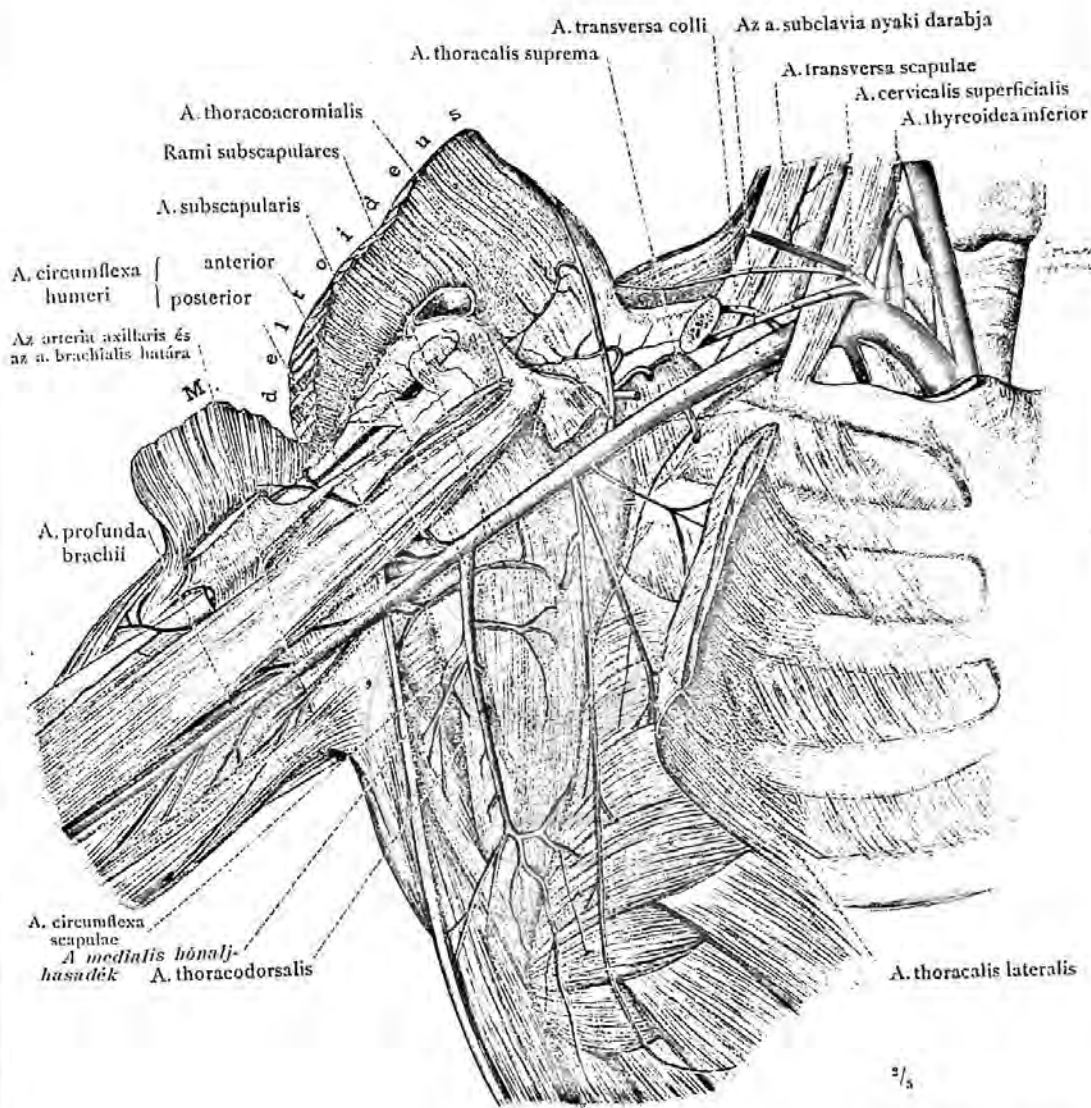
A FELSŐ ÉS AZ ALSÓ VÉGTAG  
VERŐEREI.





1017. rajz. Az a. subclavia, a jobb oldali kulcscsont alatti verőér és az a. axillaris, a hónalji verőér s ennek viszonya a karfonathoz, a plexus brachialis-hoz, elülről és medialis oldalról nézve. Az a. anonyma két ága: az a. subclavia és az a. carotis communis dextra. Az a. subclavia mellkasi darabja, az a. vertebralis, a truncus thyreocervicalis és az a. mammaria interna eredésével; az a. subclavianak nyaki darabja, az a. transversa colli eredésével. A hónalji verőér ágai közül az a. thoracoacromialis: a ramus pectoralis, ennek ága a ramus subclavius, a ramus acromialis és a ramus deltoideus; továbbá az a. thoracalis lateralis, az a. subscapularis, mely az a. circumflexa scapulae s az a. thoracodorsalisra oszlik; az elülső és a hátulsó a. circumflexa humeri.

Az a. subclavia és az a. axillaris.

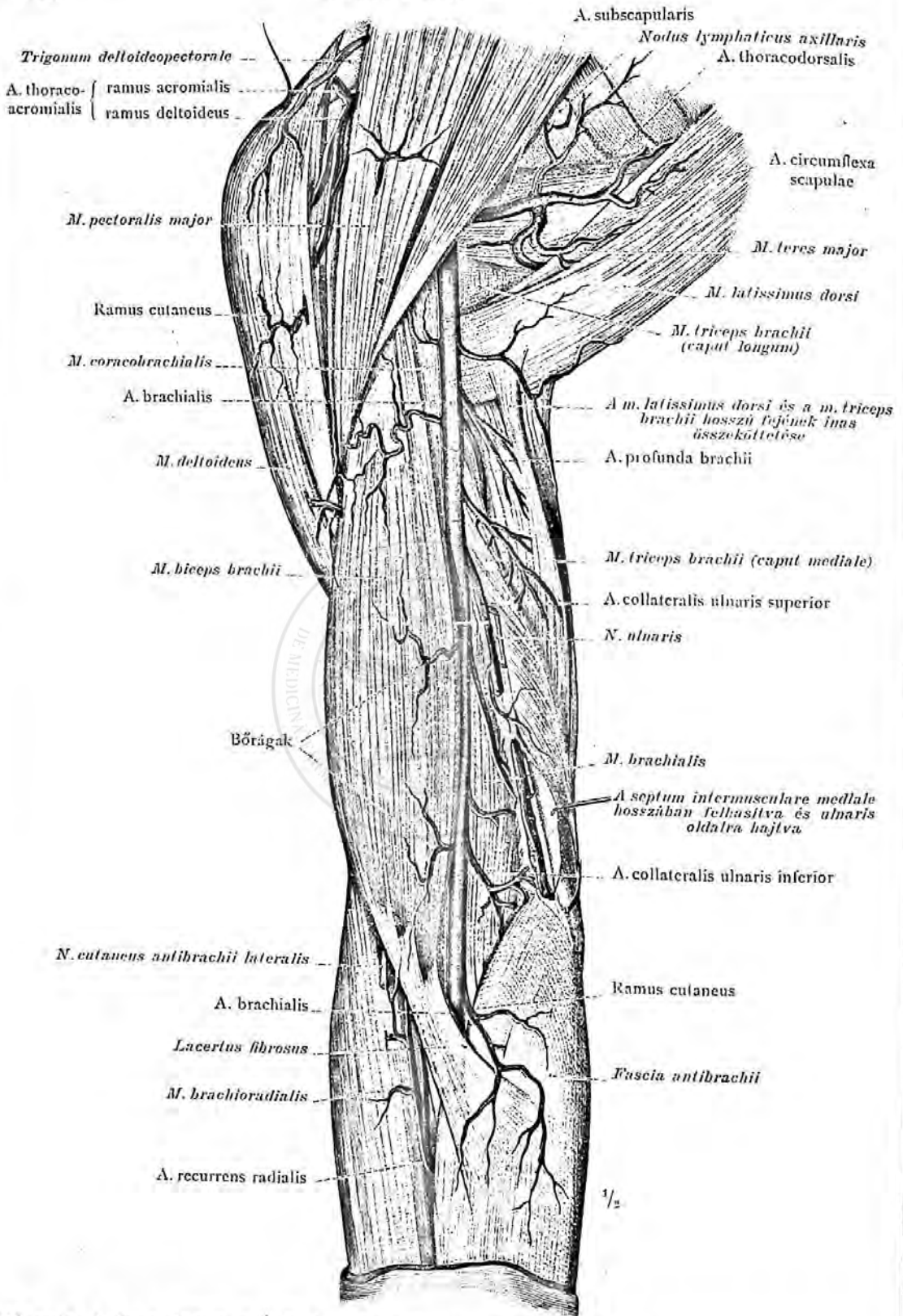


1018. rajz. Az a. axillaris elágazódása a hónaljárok elülső falának és a plexus brachialisnak teljes eltávolításával. Elülről és medialis oldalról nézve. Az a. thoracalis supra, az a. thoracalis lateralis, az a. subscapularis és ágai: a rami thoracoacromialis, az a. circumflexa scapulae és az a. thoracodorsalis; az arteria circumflexa humeri anterior és posterior.

(Az 1017. rajz készítményéről a kulcsfont sternalis vége és a nagy mellizom eltávolítva; az átvágott kis mellizom eredése a medialis oldalra hajtva s a karidegőnt eltávolítva. A kart a törzstől elhúzva, a deltaizom elülső szélét átvágva és felemelve, az arteria circumflexa humeri anterior lefutása és a vállizületbe menő ága látható.)

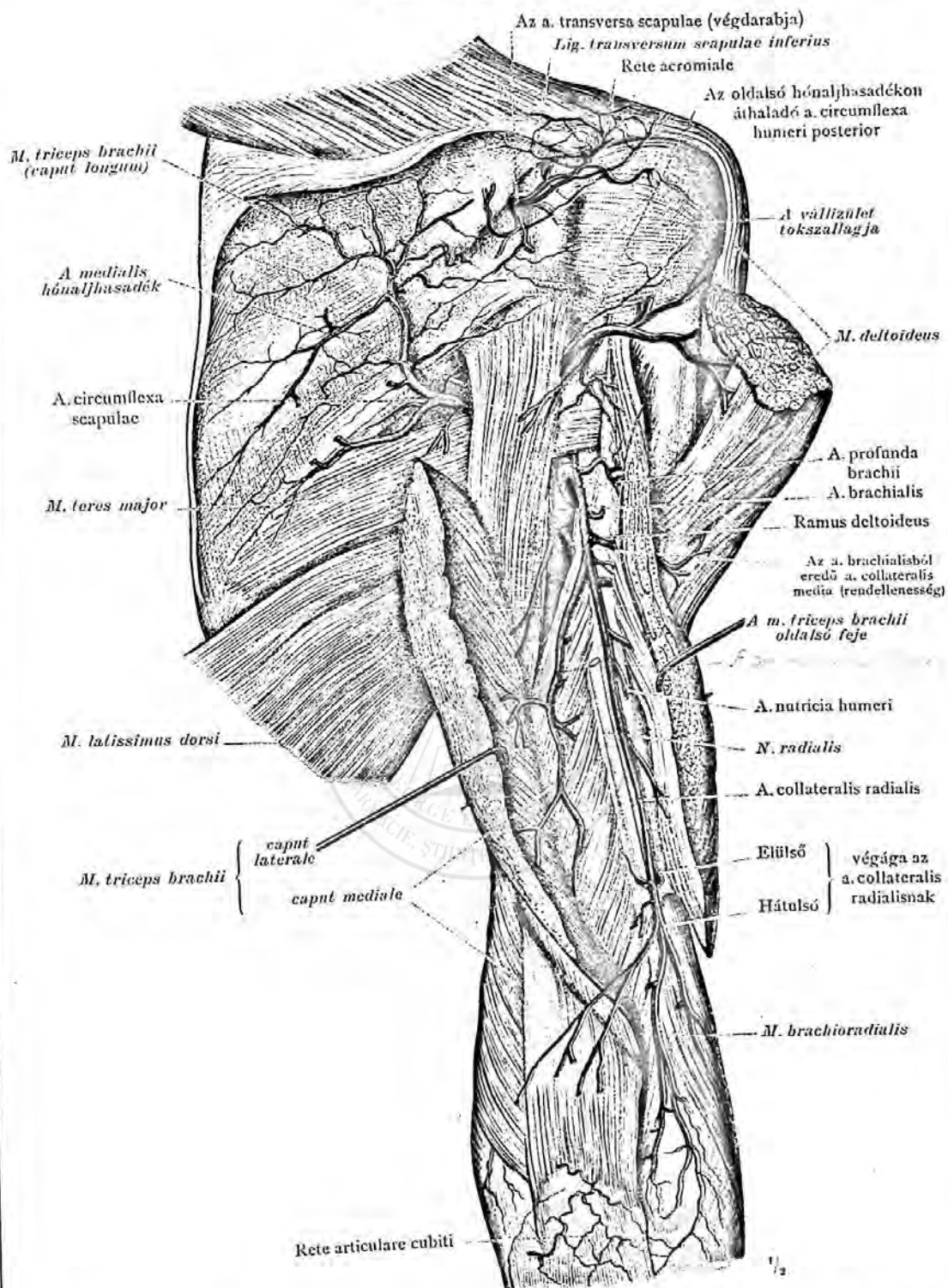
Az a. subclavia és az a. axillaris.





1019. rajz. A jobb felkar, a váll és a hónaljájék verőerei; elülről és medialis oldalról nézve.

A felkar és a váll verőerei.

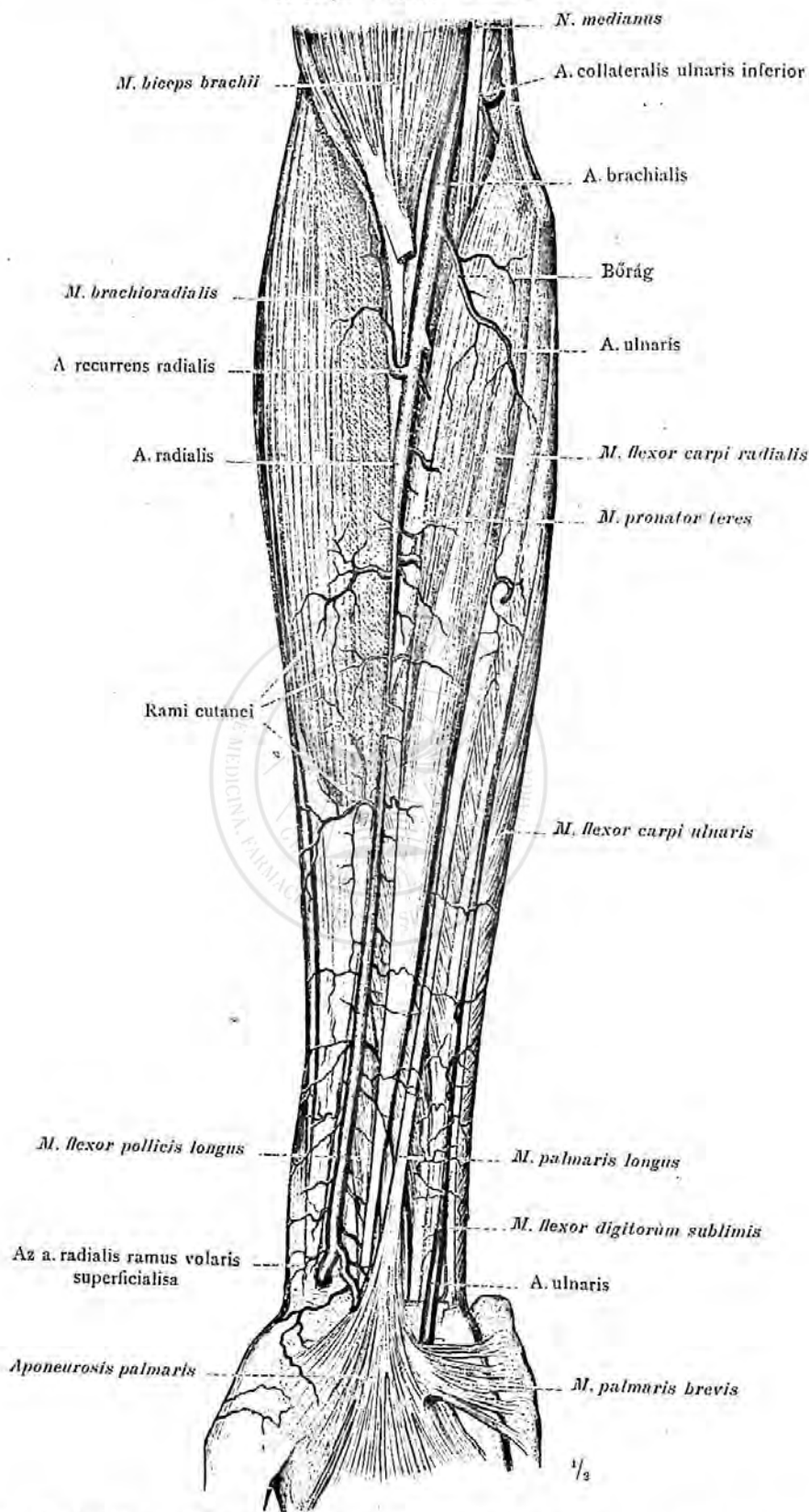


1020. rajz. A jobb felkar és a váll hátulsó oldalának mély verőerei; a rete articulare cubiti.

(A deltaizom hátulsó része, valamint a m. infraspinatus és a m. teres minor eltávolítva, a háromfejű karizom oldalsó feje hosszában felhasítva és széthúzva.)

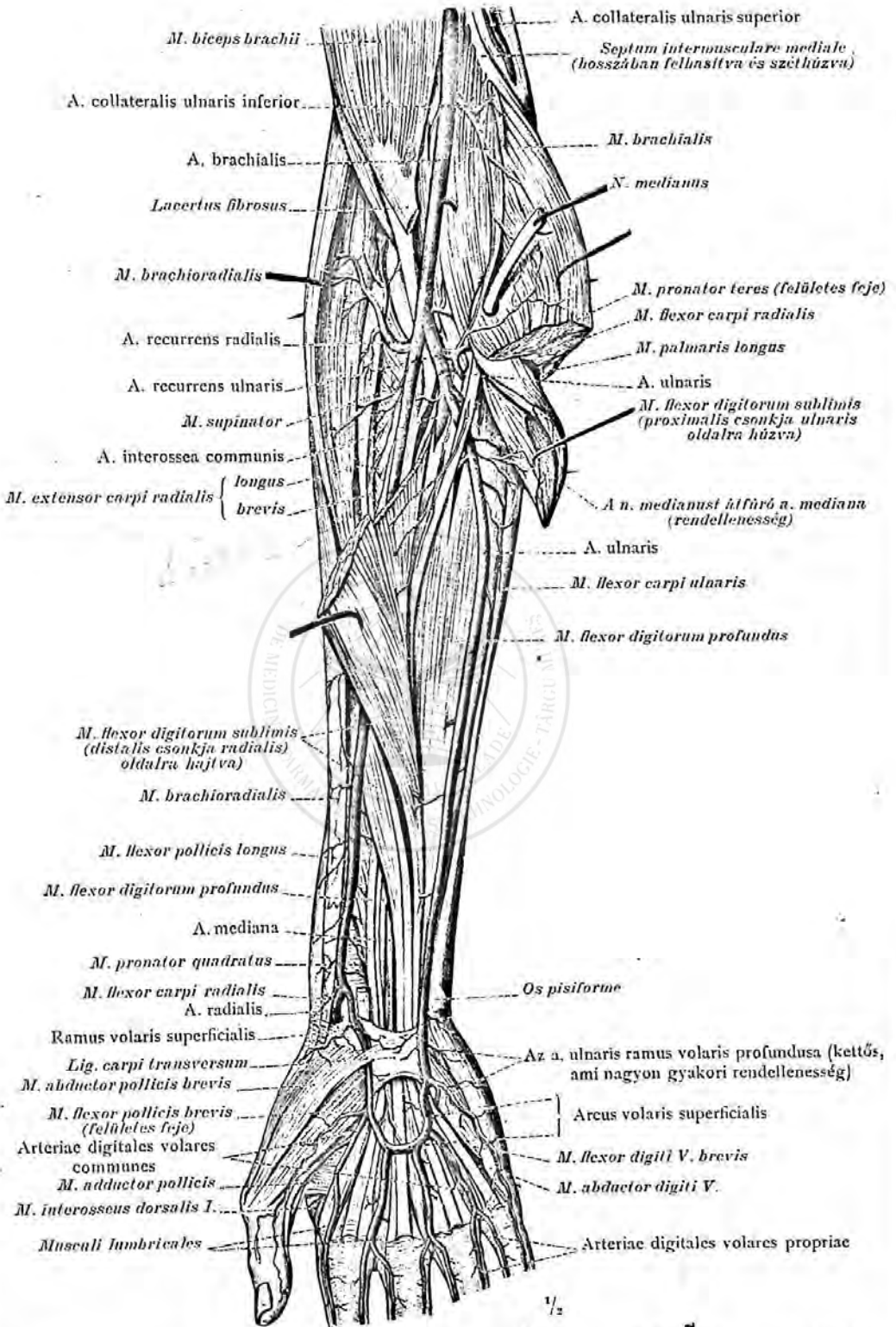
A felkar és a váll verőerei.

## A felső végtag verőerei.



1021. rajz. A könyökárok és a jobb alkar elülső oldalának felületes verőerei.

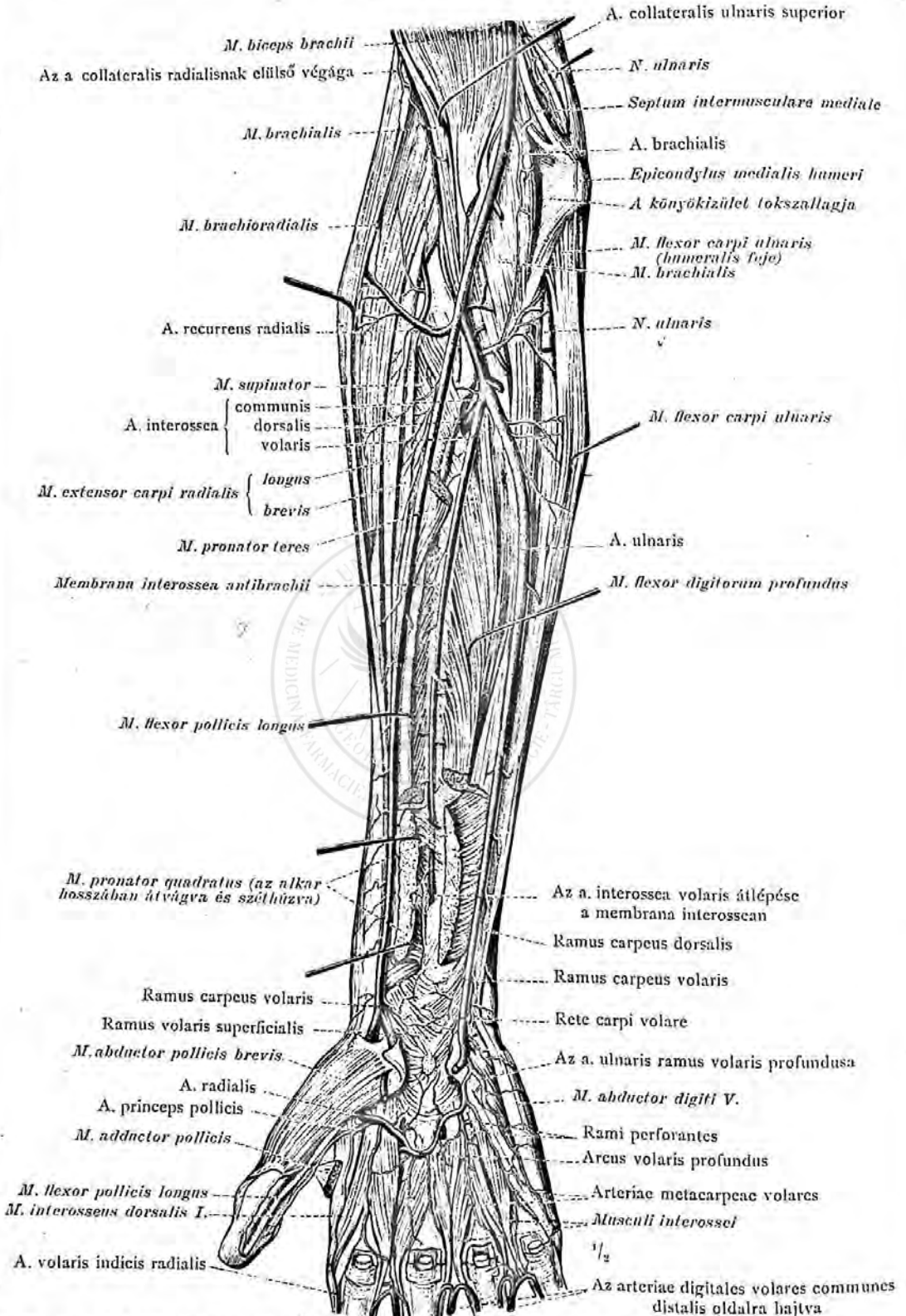
Az alkar és a kéz elülső verőerei.



1022. rajz. Az a. radialis, az a. ulnaris és az arcus volaris superficialis. Az erősen kifejlődött a. mediana ezen esetben átfűrja a n. medianust.

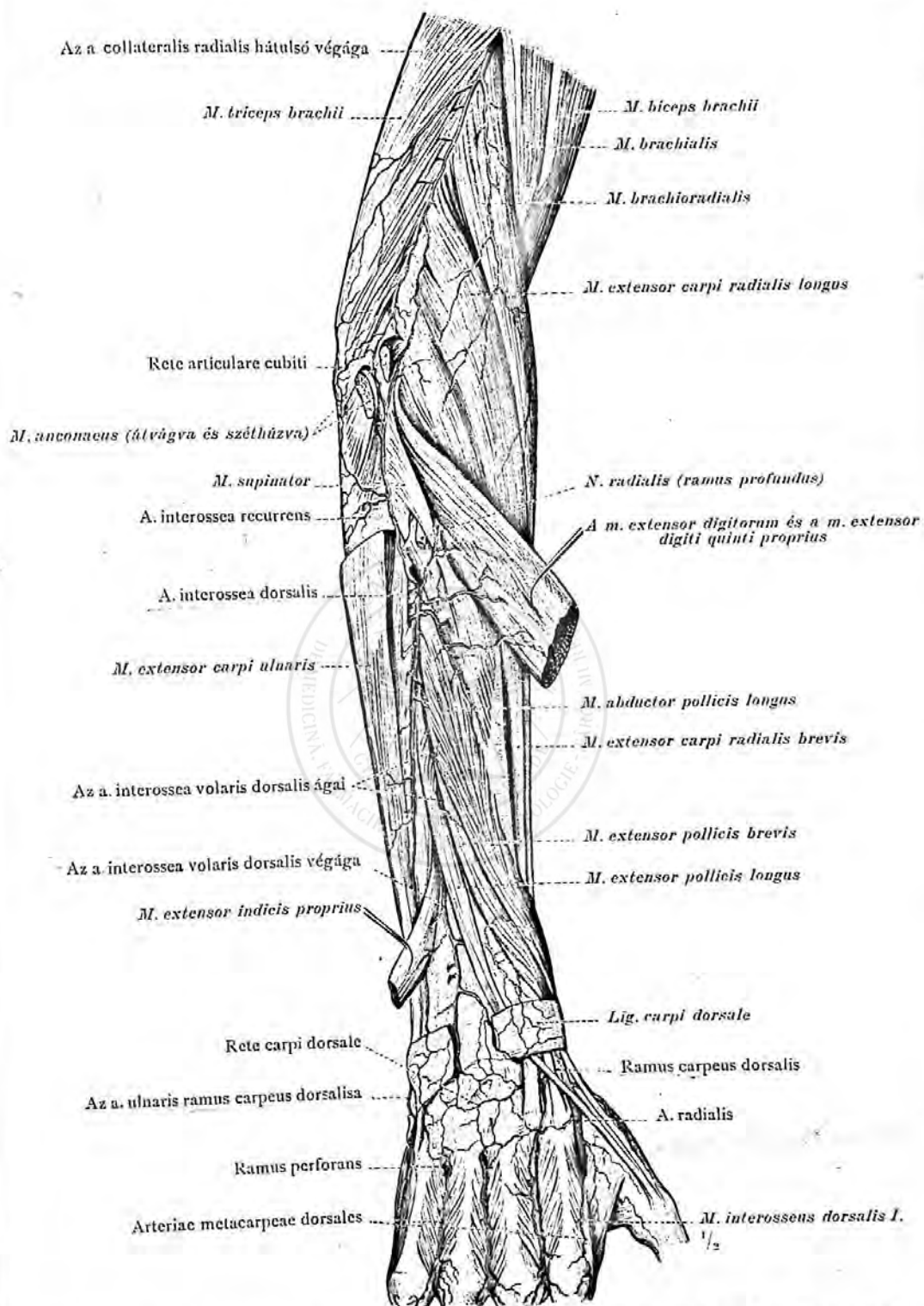
Az alkar elülső oldalának és a tenyérnek verőerei.





1023. rajz. A jobb alkar a. interossea ja és az arcus volaris profundus; elülről és a tenyér-ről nézve.

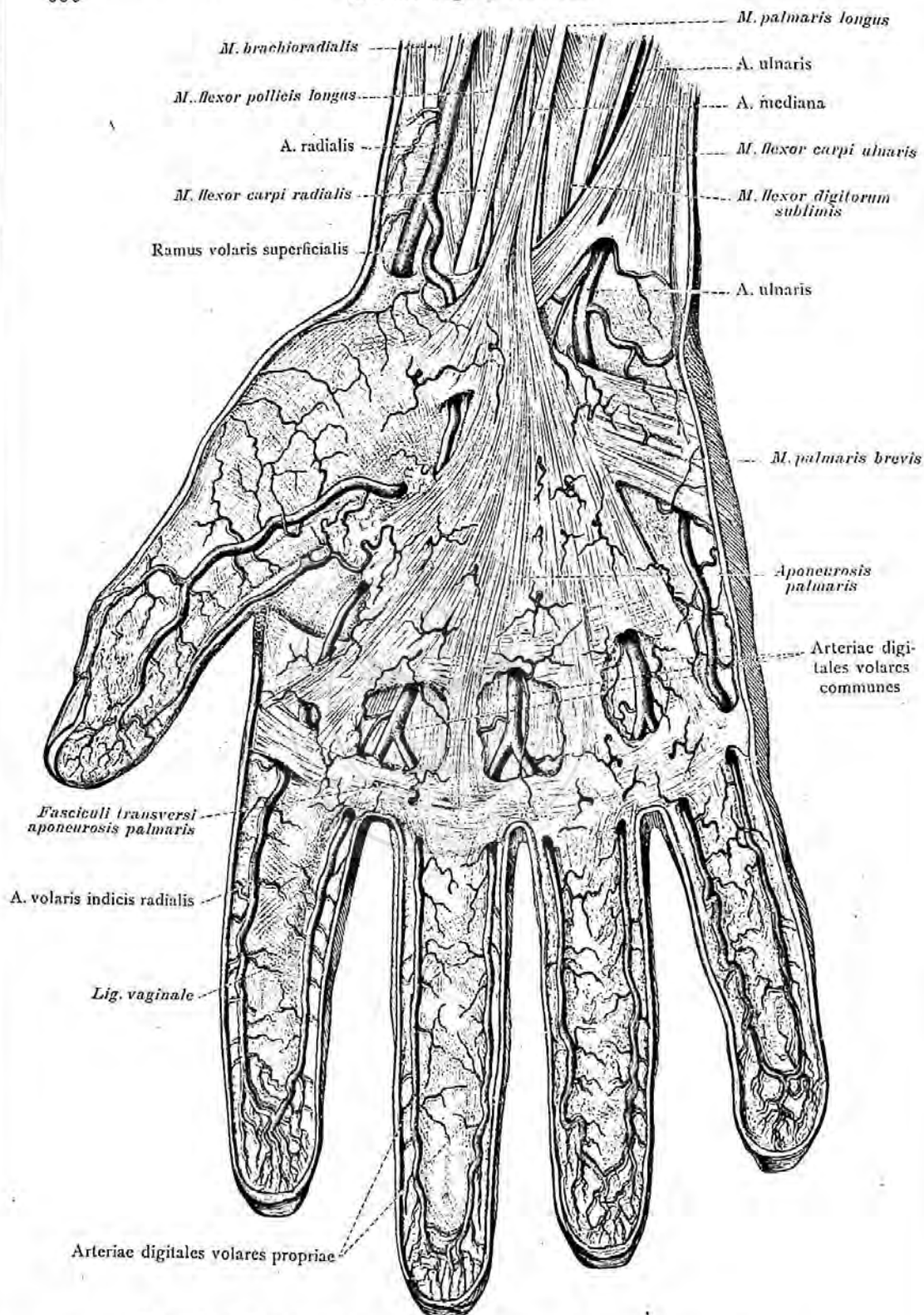
Az alkar elülső oldalának és a tenyérnek verőerei.



1024. rajz. Az a. interossea dorsalis és az a. interossea recurrens. Az a. interossea volaris dorsalis ágai; a kézhát mély verőerei.

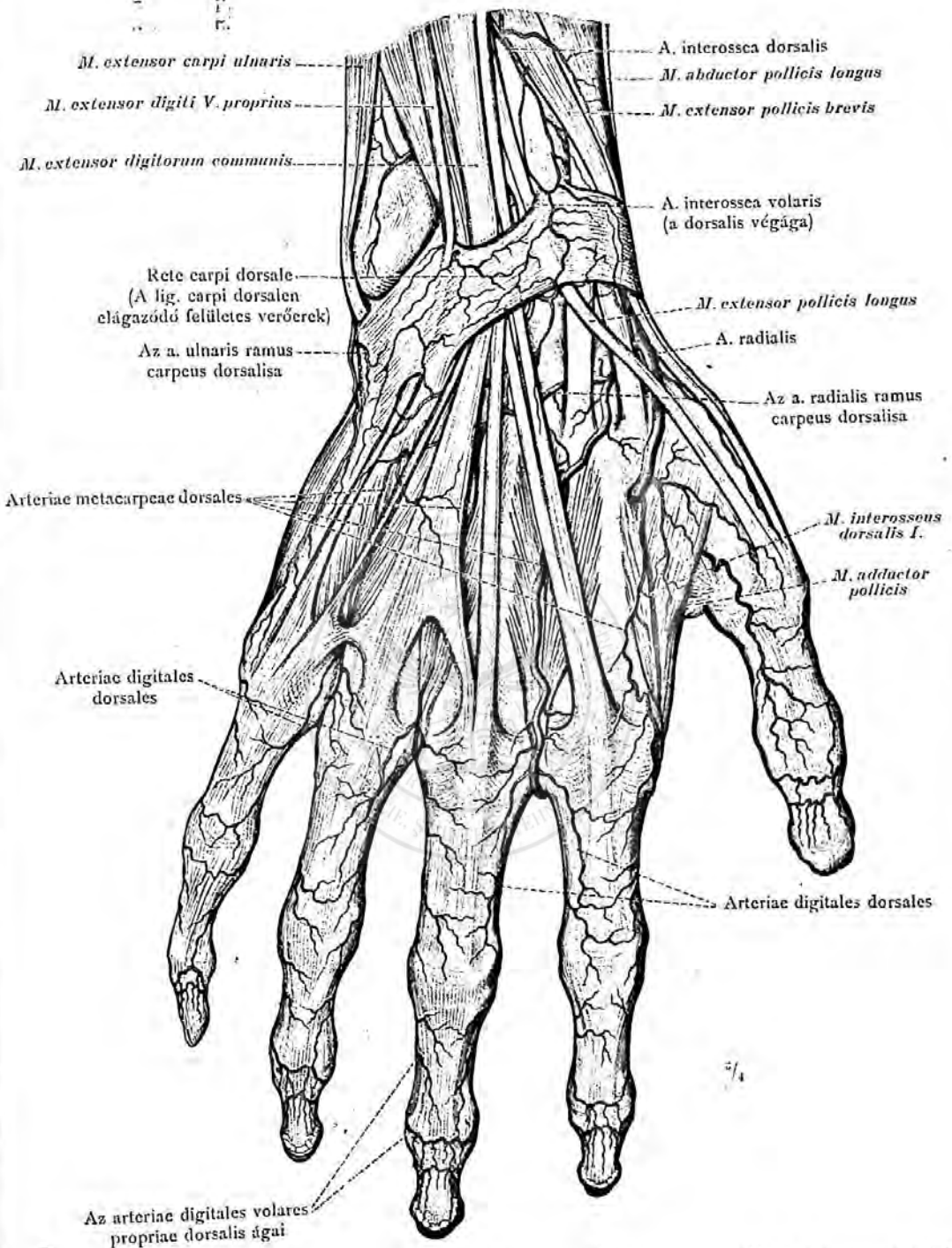
Az alkar és a kéz hátulso oldalának verőerei.

## A felső végtag verőerei.



1025. rajz. A tenyér felületes verőerei; az ujjak volaris verőerei.  
 (Az első három ujj tenyéri oldalán a bőr és a bőr alatti kötőszövet eltávolításával, a ligamenta vaginalia szabadon láthatók. A 4. és 5. ujjon pedig a bőr alatti kötőszövet, a benne elágazó verőerekkel együtt megtartva.)

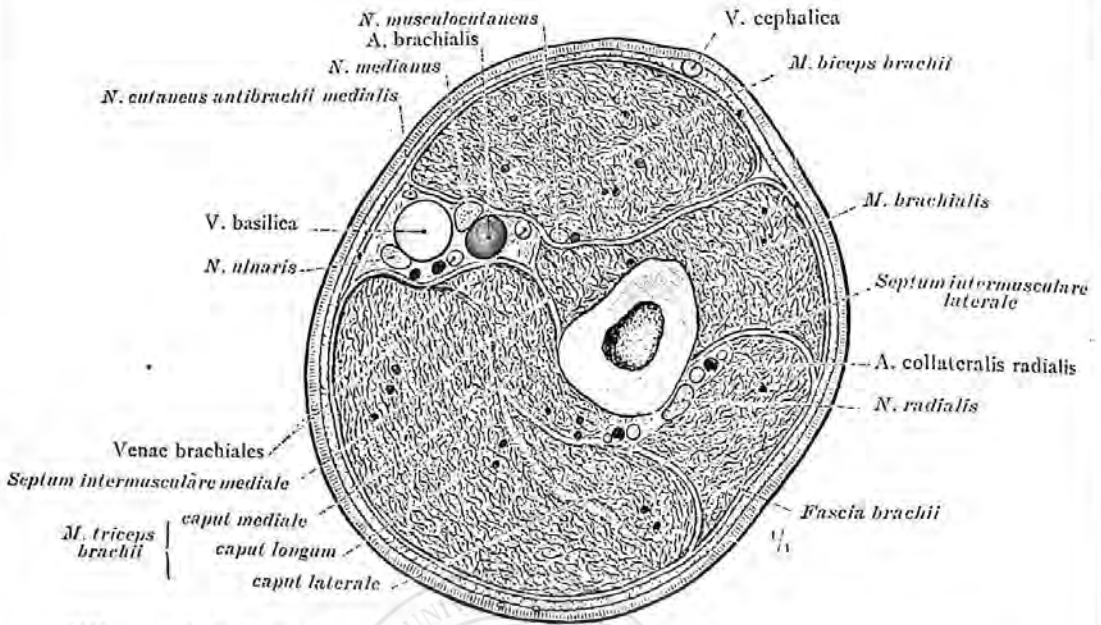
A tenyér verőerei.



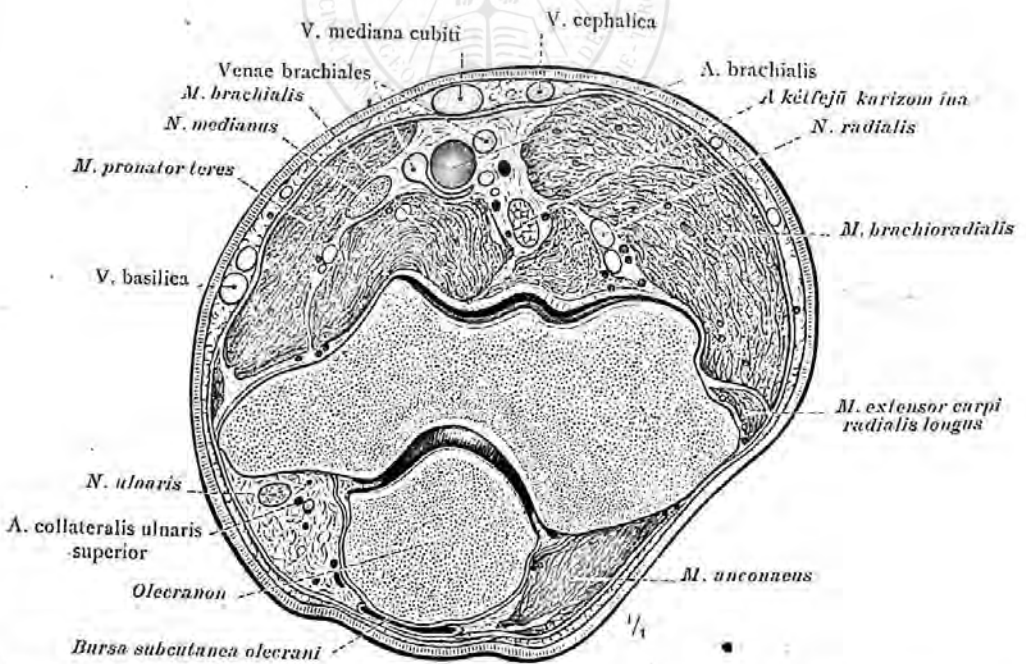
1026. rajz. A kéz hátának felületes verőerei: az a. radialis; az a. radialis és az a. ulnaris ramus carpeus dorsalis és az a. interossea volaris dorsalis végága; a felületes rete carpi dorsale; az aa. metacarpeae dorsales; közülök a második feltűnő erős (gyakori rendellenesség). Az aa. digitales dorsales és az aa. digitales volares propriae hátulsó ágai. (A jobb kéz, az alkar distalis végével; hátulról nézve.)

A kéz hátának verőerei.

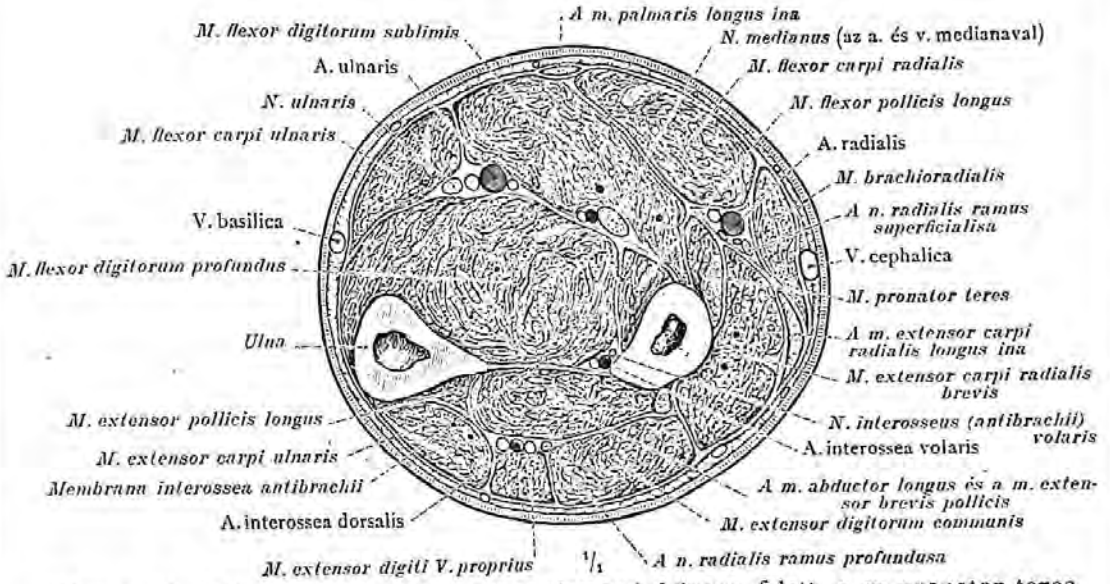




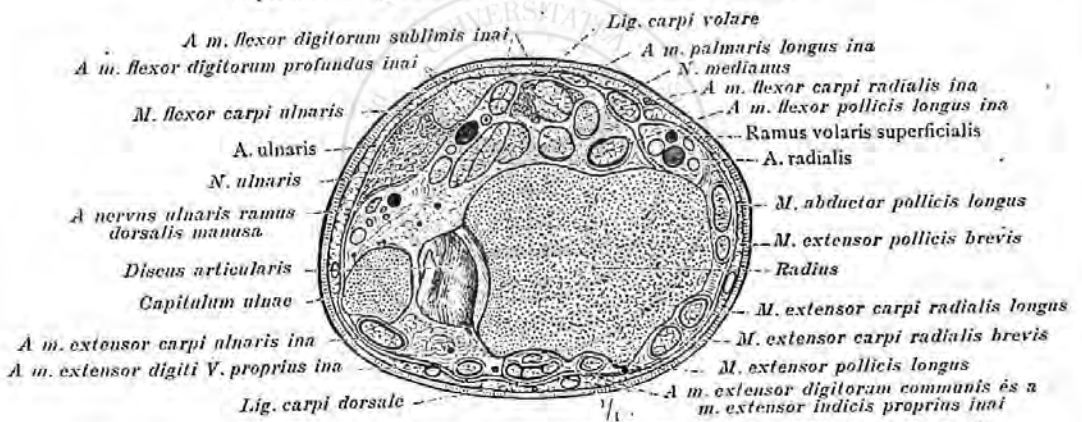
1027. rajz. A jobb felkar középcéck harántmetszete; a metszés distalis lapja.



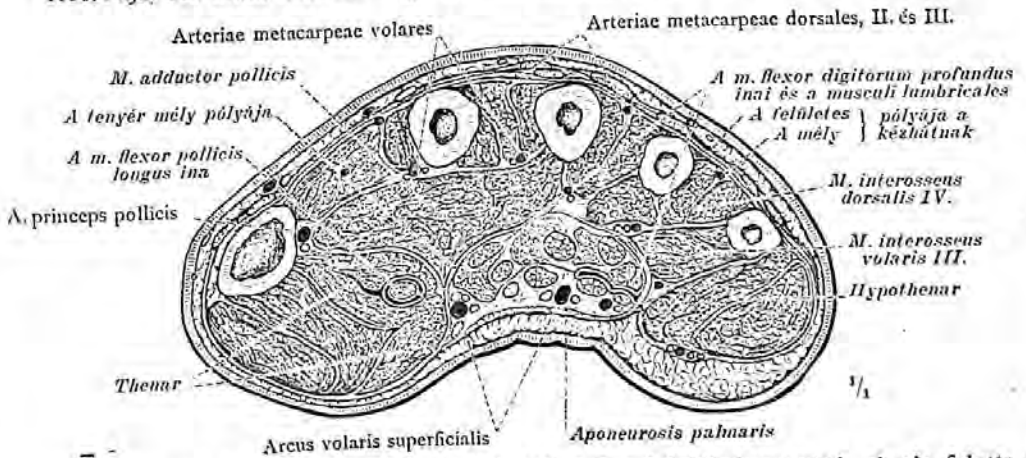
1028. rajz. A jobb oldali kinyújtott könyökizület harántmetszete, a két epicondylus magasságában; a metszés distalis lapja.



1029. rajz. A jobb alkar harántmetszete valamivel közepe felett, a m. pronator teres tapadása magasságában; a metszés distalis lapja.

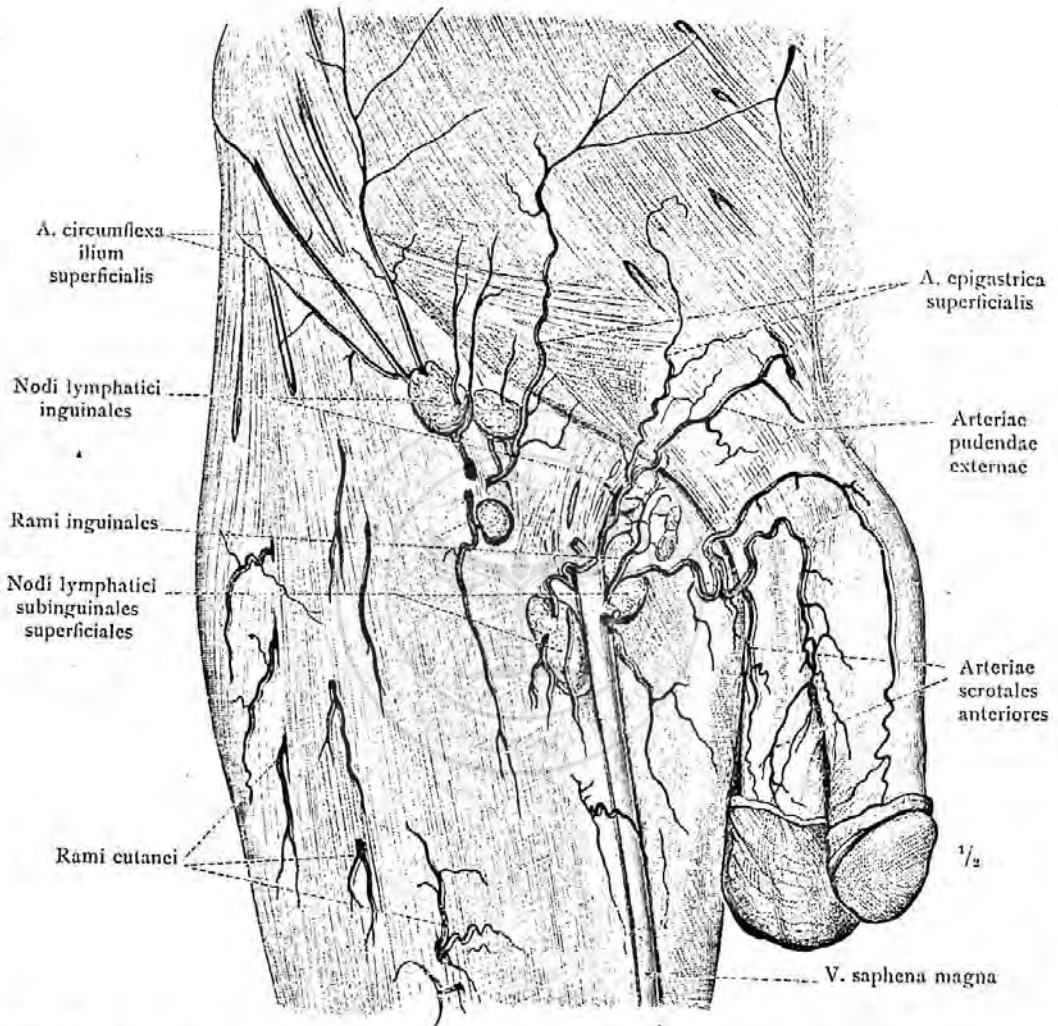


1030. rajz. Az alkar distalis végének harántmetszete; a metszés distalis lapja.

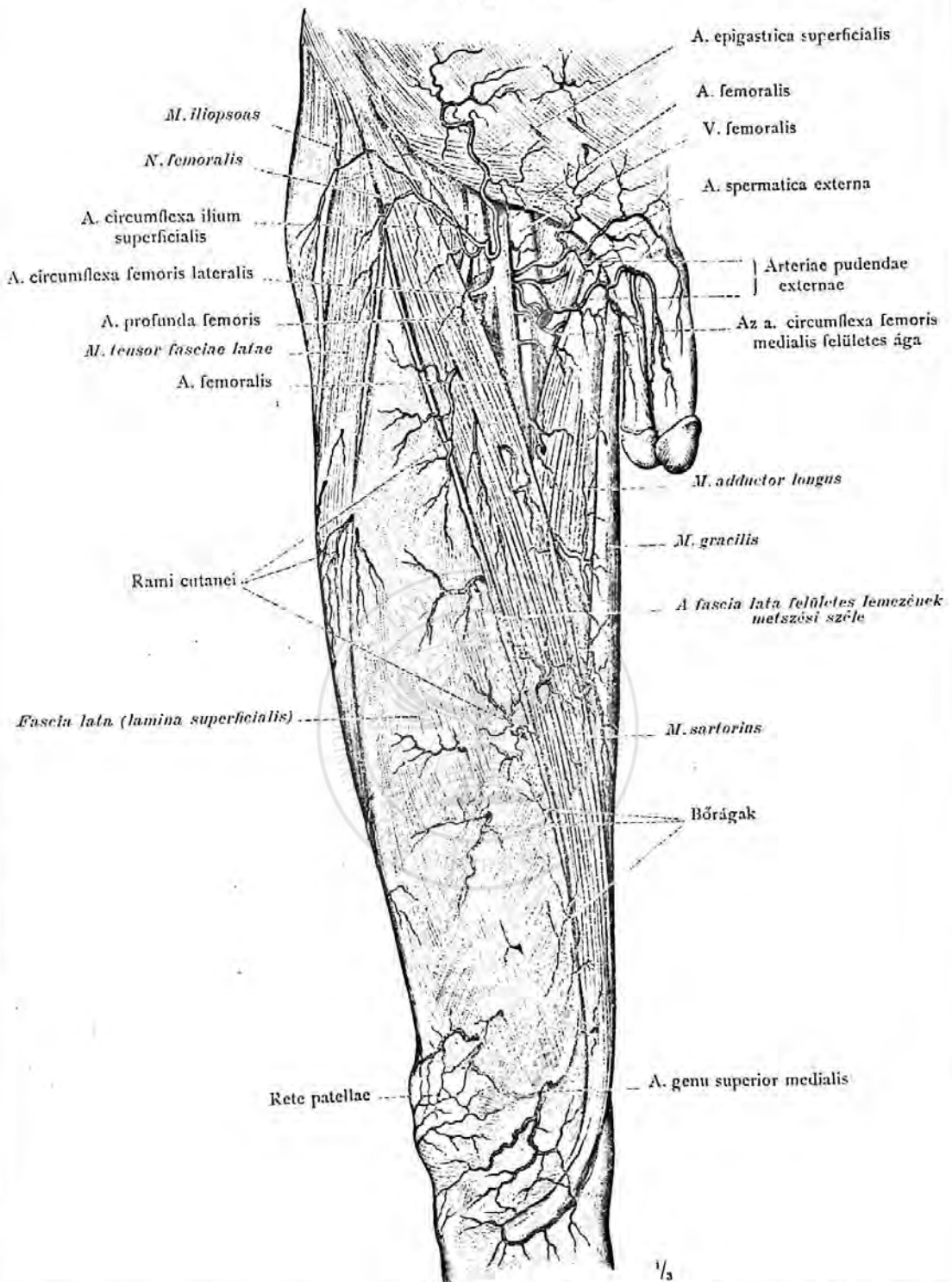


1031. rajz. A jobb kéz harántmetszete, közvetlenül a kézközépcsontok alapja felett; a metszés distalis lapja.

Az alkar és a kéz topografiája.



1032. rajz. A regio hypogastrica, a lágyéktájék, a férfi külső nemi szervek, a fossa subinguinalis és a comb felső részének bőralatti verőerei; az inguinalis és a subinguinalis tájék felületes nyirokcsomói és a vena saphena magna proximalis része, elülről nézve. (A fascia cribrosa, a fascia cremasterica és a fascia penis megtartva.)

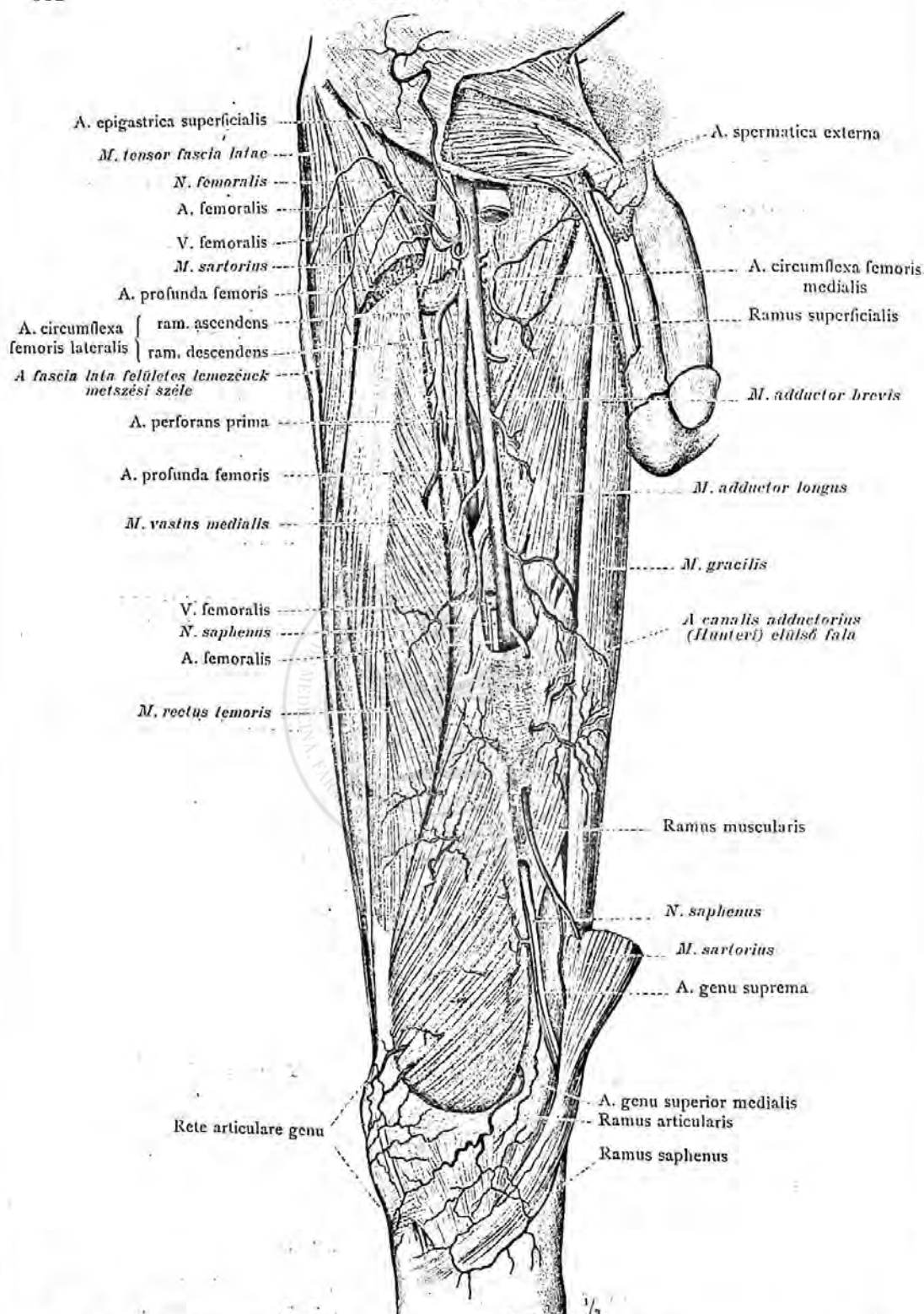


1033. rajz. A trigonum femorale (fossa Scarpae major) topografiája és a jobb comb elülső oldalának, a térdnek, a férfi külső nemi szerveknek és a regio hypogastricanak bőrálatti verőerei; elülről nézve.

(A trigonum femoraleban, a m. sartoriusról, a m. adductor longusról és a m. tensor fasciae lataeről, a fascia lata felületes lemeze eltávolítva.)

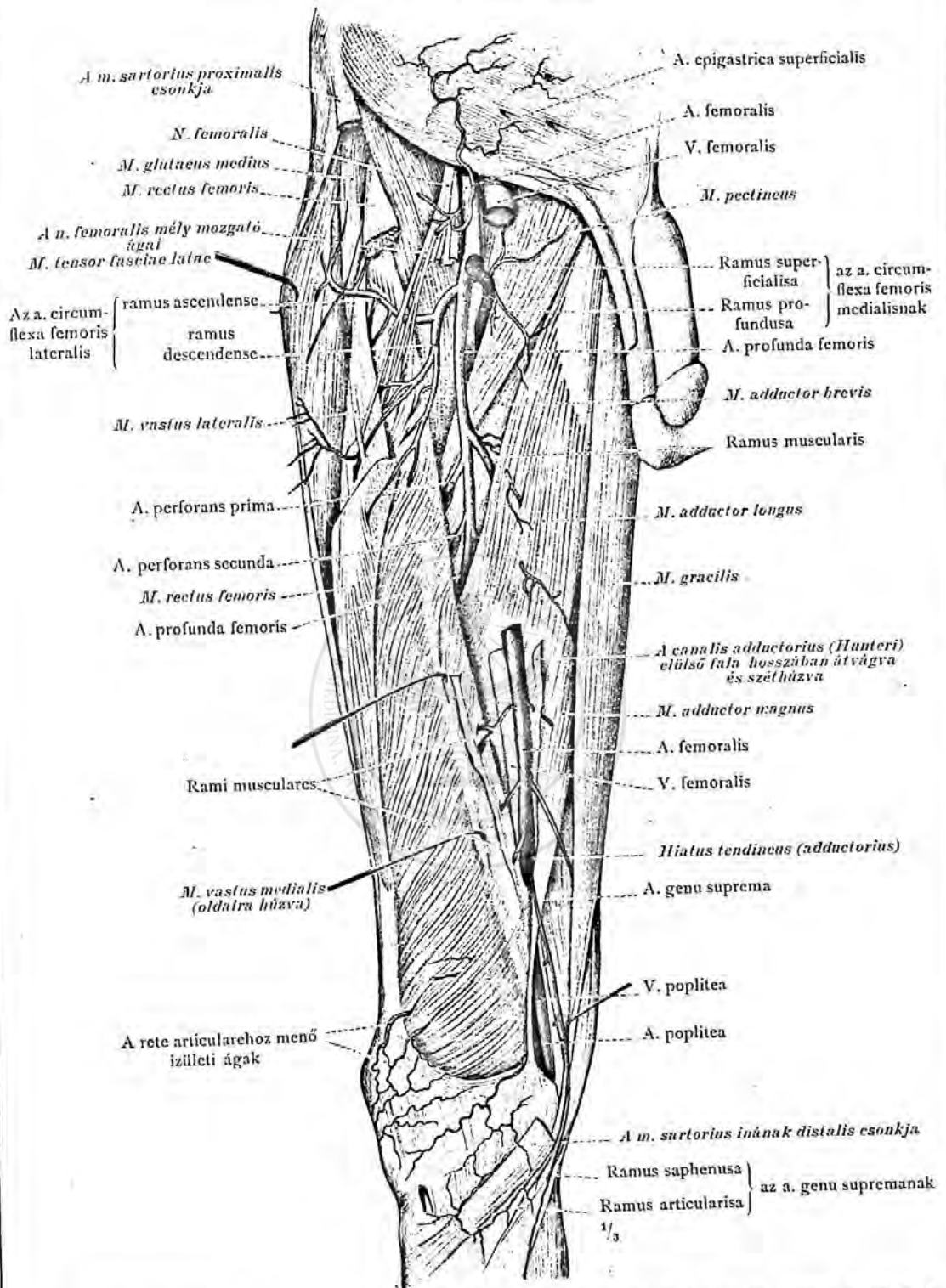
A comb elülső oldalának verőerei.





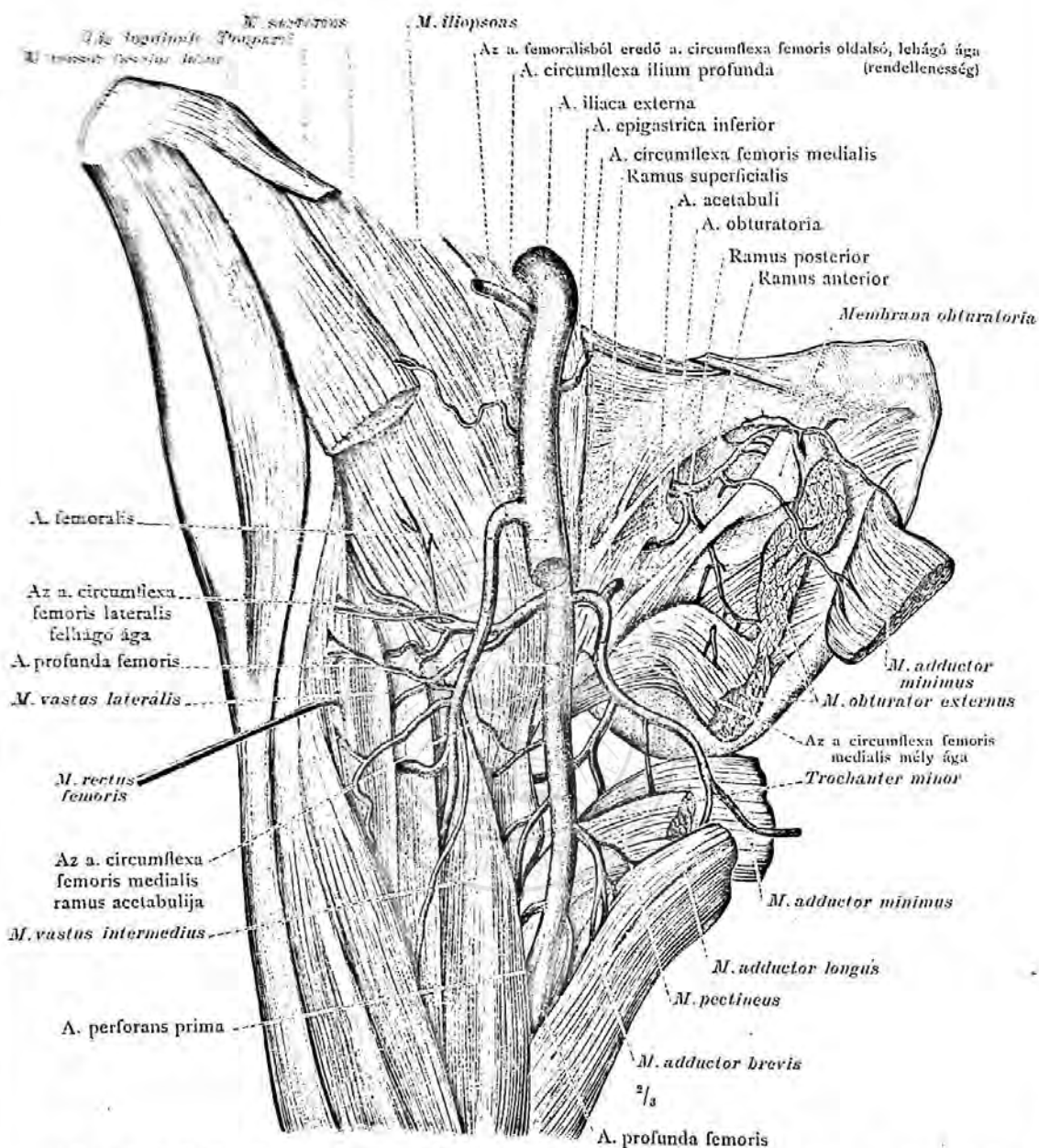
1034. rajz. A combverőér, az a. femoralis belépése a Hunter-csatornába és az a. profunda femoris.  
(A szabóizom középső része eltávolítva.)

A comb elülső oldalának verőerei.



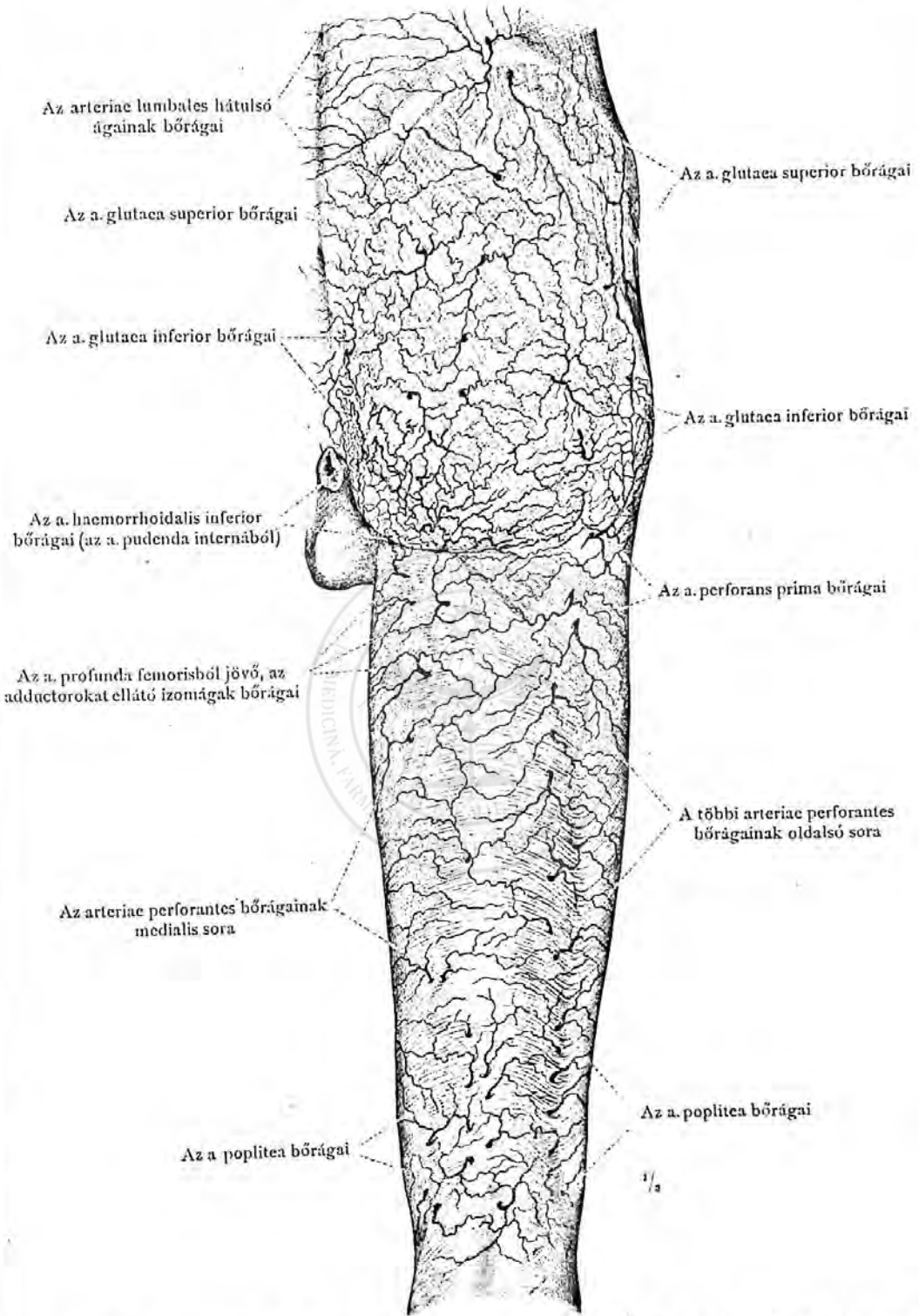
1035. rajz. A mély combverőér, az a. profunda femoris, az a. femoralis nagy részének eltávolításával szabadon fekszik; az a. és v. femoralis az elül megnyitott Hunter-csatornában és átlépésük a hiatus tendineuson (a hiatus adductoriuson.) Elülről nézve.

A comb elülső oldalának verőerei.



1036. rajz. A jobboldali a. obturatoria elülső és hátsó ága; a hátsó ágból ered az a. acetabuli. Az a. profunda femoris, az a. circumflexa femoris medialis mély ága s ennek az ízvápához menő ága, ramus acetabuli. Az a. circumflexa femoris lateralis két ága közül a felhágó ág az a. profunda femorisből, a lehágó ág ellenben az a. femoralisból ered rendellenesen.

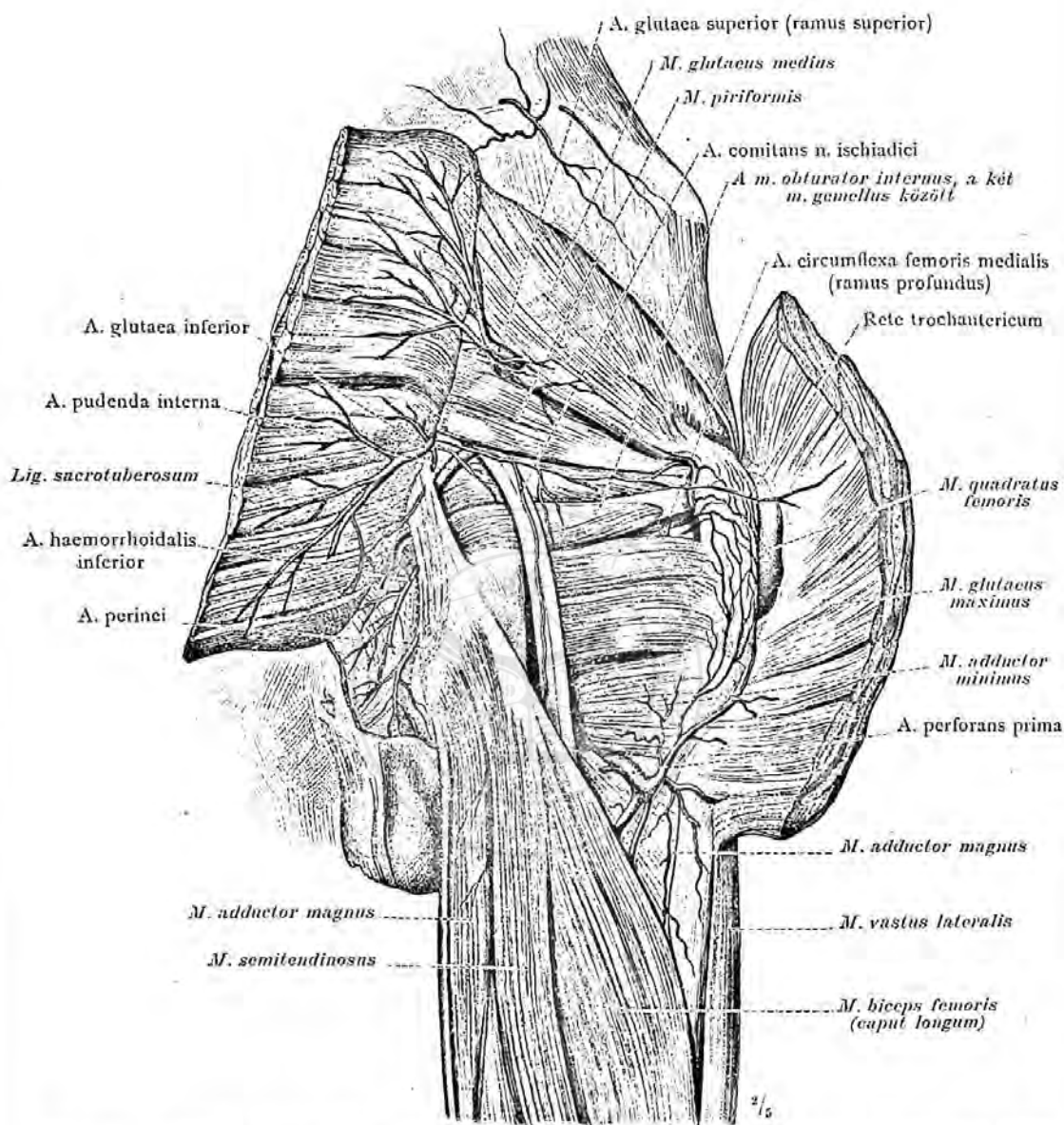
A szabóizom nagy része levágva; az átvágott m. pectineus, a m. adductor longus és a m. adductor brevis distalis csomkjai a medialis oldalra húzva, a proximális csomkok levágva. A m. adductor magnus egészen eltávolítva, a m. adductor minimus kettévágva és széjjelhúzva. A szabadon fekvő m. obturator externus, felső szélének bemetszése után lefelé és befelé húzva.)



1037. rajz. A fartájéknak, a comb hátulsó oldalának és a térdalji ároknak bőreirei. A jobb comb hátulról nézve.

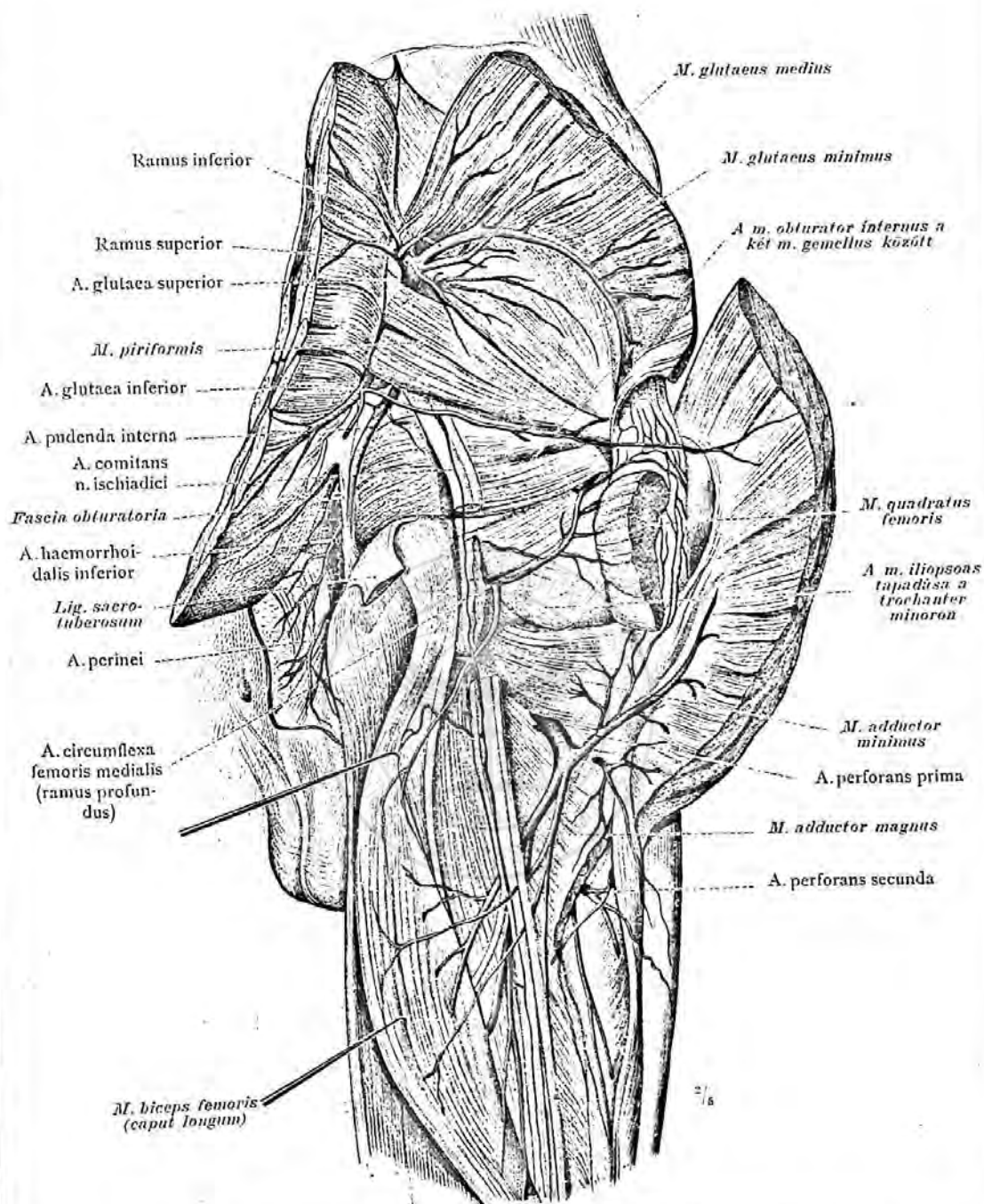
A fartájék és a comb hátulsó oldalának verőerei.





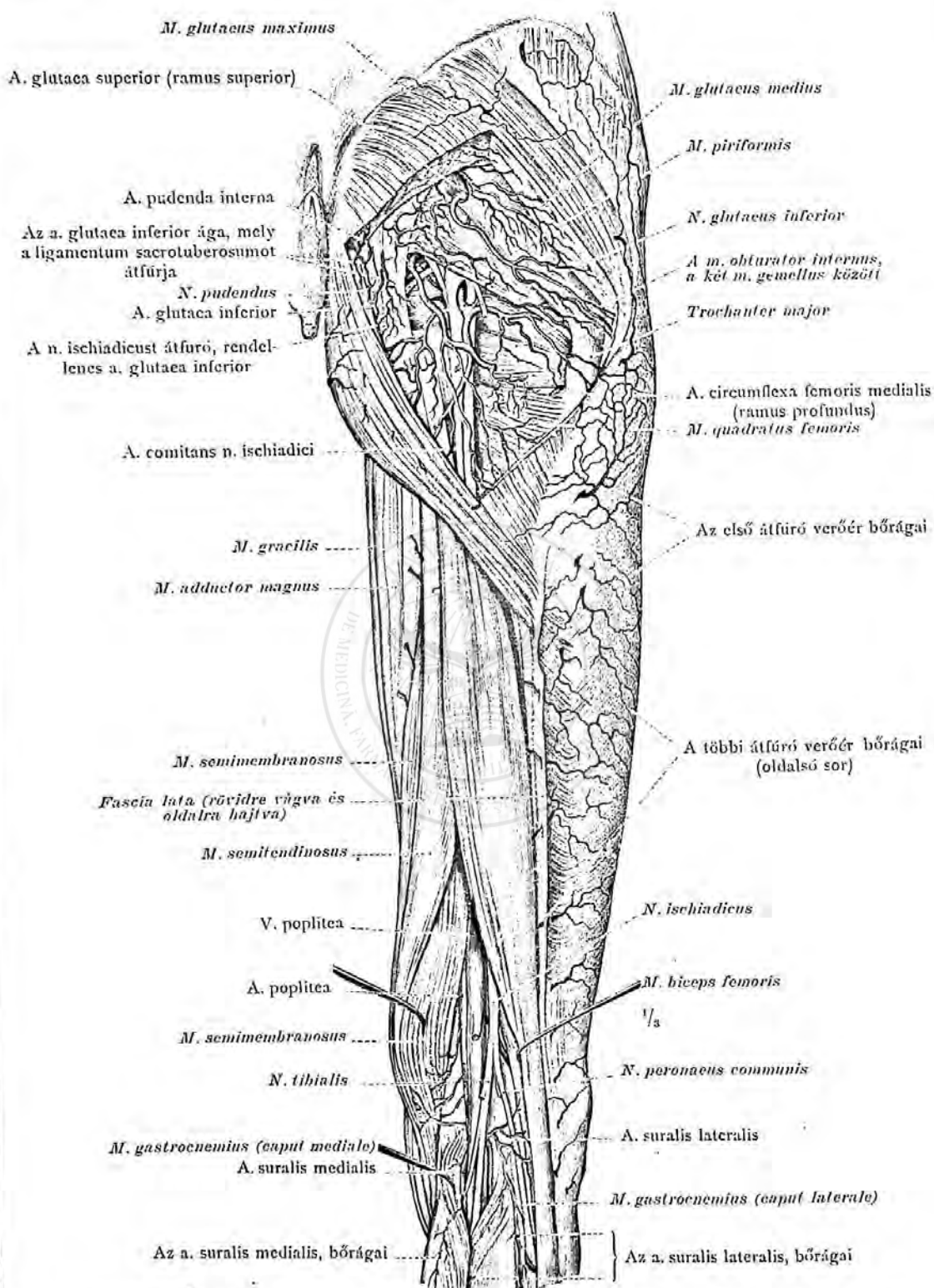
1038. rajz. A jobb fartájék mély verőerei, hátulról nézve. Az a. glutaea superior felső ága; az a. glutaea inferior és a n. ischiadicust kísérő a. comitans nervi ischiadici. Az a. pudenda internának a foramen ischiadicum majuson való kilépése és a foramen ischiadicum minuson való belépése; az a. haemorrhoidalis inf. és az a. perinei. Az első átfűrő ág, az a. perforans prima kilépése a m. adductor minimus és a m. adductor magnus között és elágazódása felszálló és leszálló ágra; a tompor-hálózat, a rete trochantericum.

(A nagy farizom közepén kettévágva és széthúzva.)



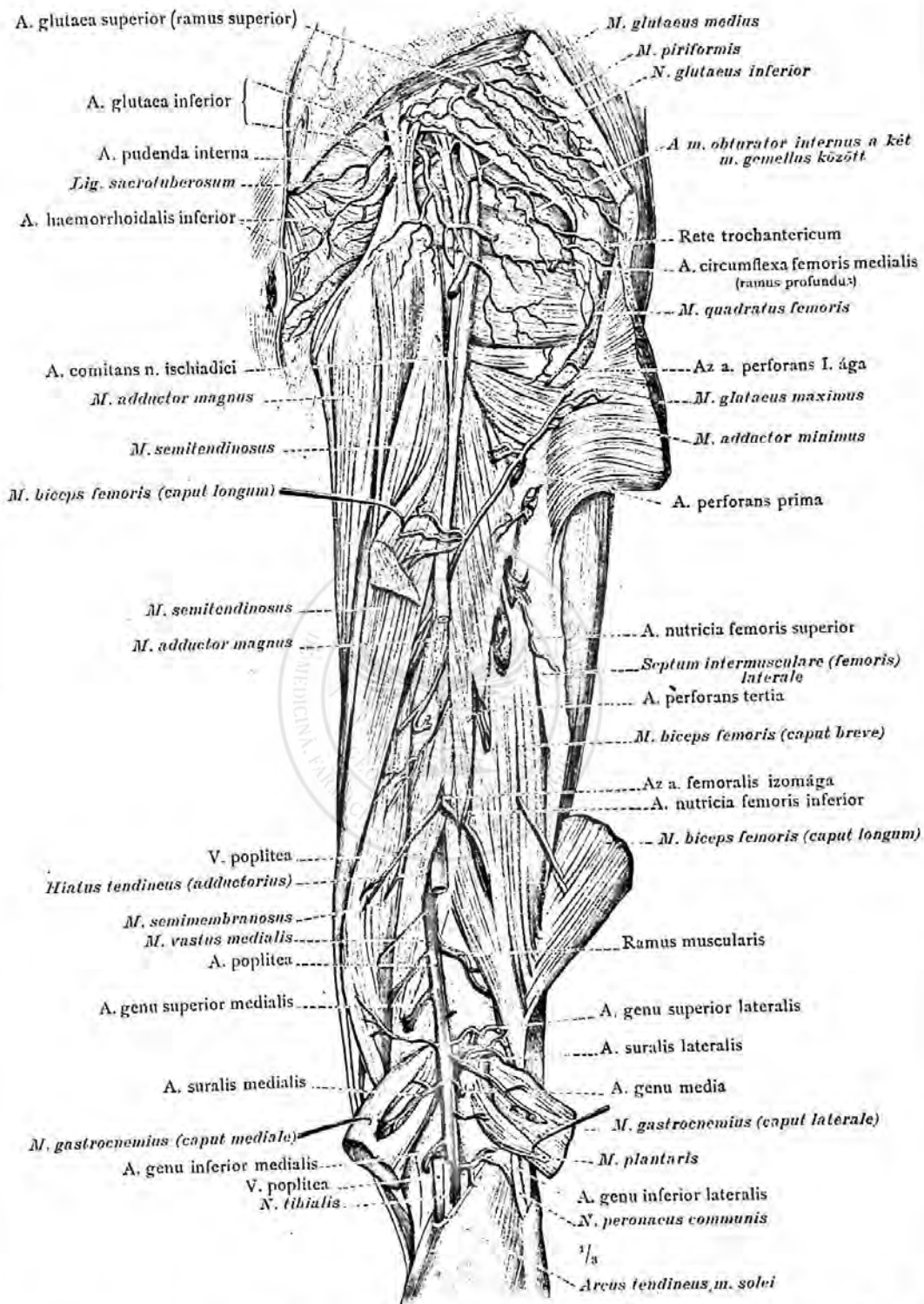
1039. rajz. A jobb fartájék és a comb felső részének mély verőerei.  
 (Az 1038. rajz készítményéről a középső farizom felfelé hajtva, a kettévágott ligamentum sacrotuberosumot a fascia obturatoriaról lefejtve és széjjelhúzva, az a. pudenda interna a foramen ischiadicum minusban szabadon látható. Az ülőideg és a m. quadratus femoris részeinek eltávolításával, a m. obturator externus alatt szabadon fekszik az a. circumflexa femoris mély ága. A m. adductor magnus tapadását részben eltávolítva, a második átlűrő verőér látható).

A fartájék verőerei.



1040. rajz. A jobboldali fartájék és a térdalj topografiája; a comb hátulsó és oldalsó bőrverőerei. Hátról nézve.

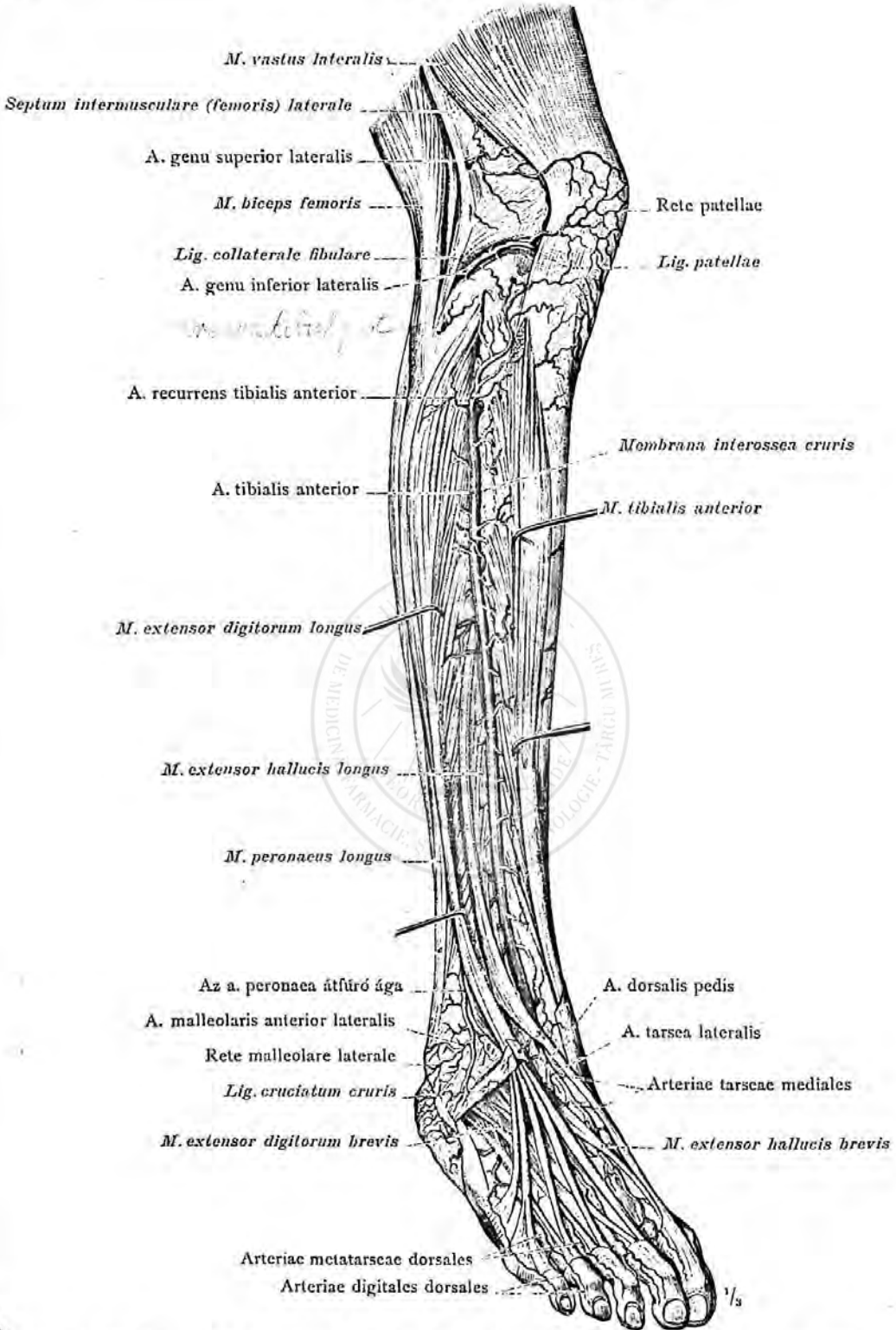
A fartájéknak, a comb hátulsó oldalának és a térdaljnak verőerei.



1041. rajz. A fartájék mély verőerei; az átfűrő verőerek, arteriae perforantes; a térdalji verőér, a poplitea, az adductorius-réstől, a canalis popliteusba lépéséig, az izmokhoz és az ízülethez menő ágaival. Hátról nézve.

A fartájéknak, a comb hátulsó oldalának és a térdaljnak verőerei.

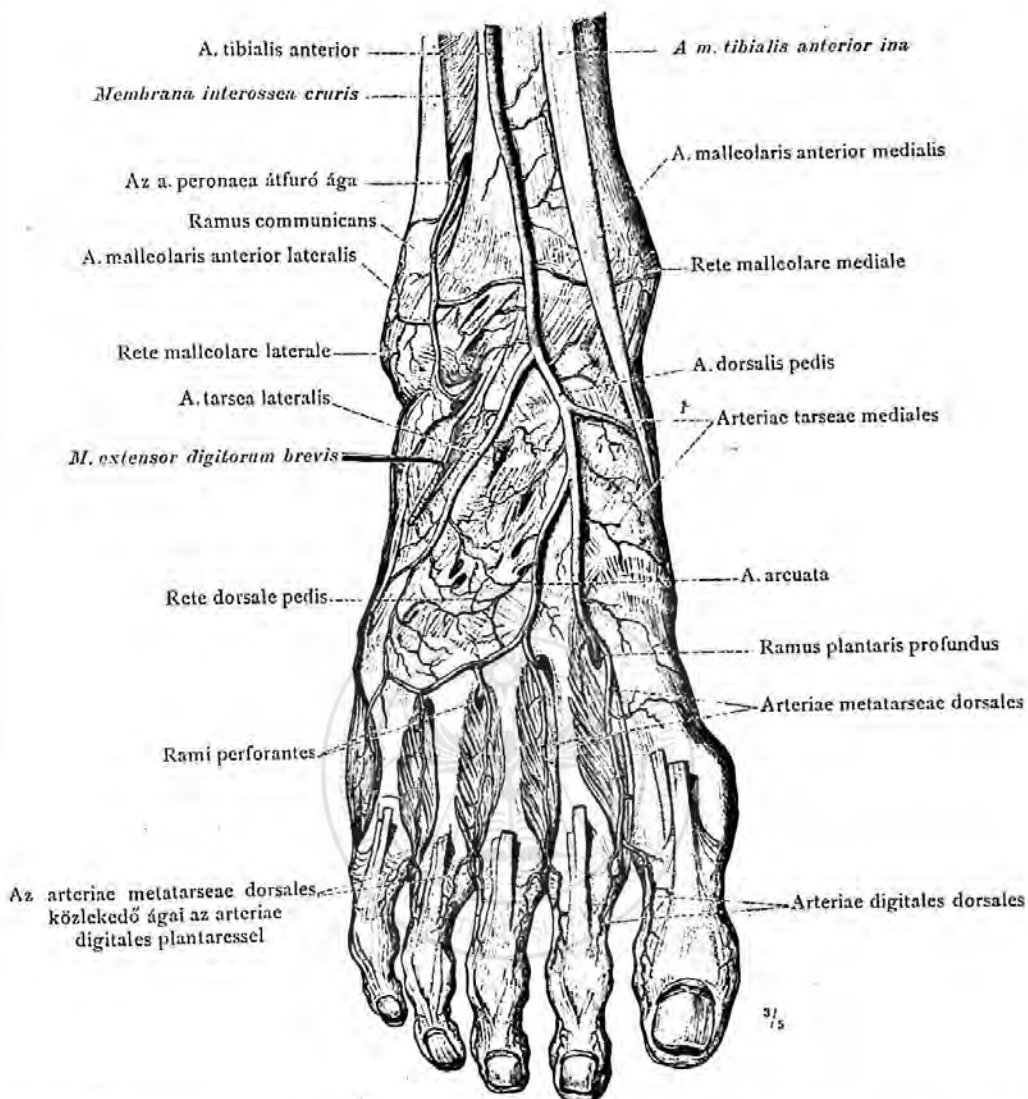




1042. rajz. Az a. tibialis anterior, az elülső sípcsonti verőér s ennek folytatása, a lábháti verőér, az a. dorsalis pedis.

(A m. tibialis anterior és a m. extensor digitorum longus széjjelhúzva és az előbbi izom felső része eltávolítva. A láb keresztiszallaga, a ligamentum cruciatum cruris, átvágva és az oldalsó csontja felemelve.)

A lábszár elülső oldalának és a lábhátnak verőerei.

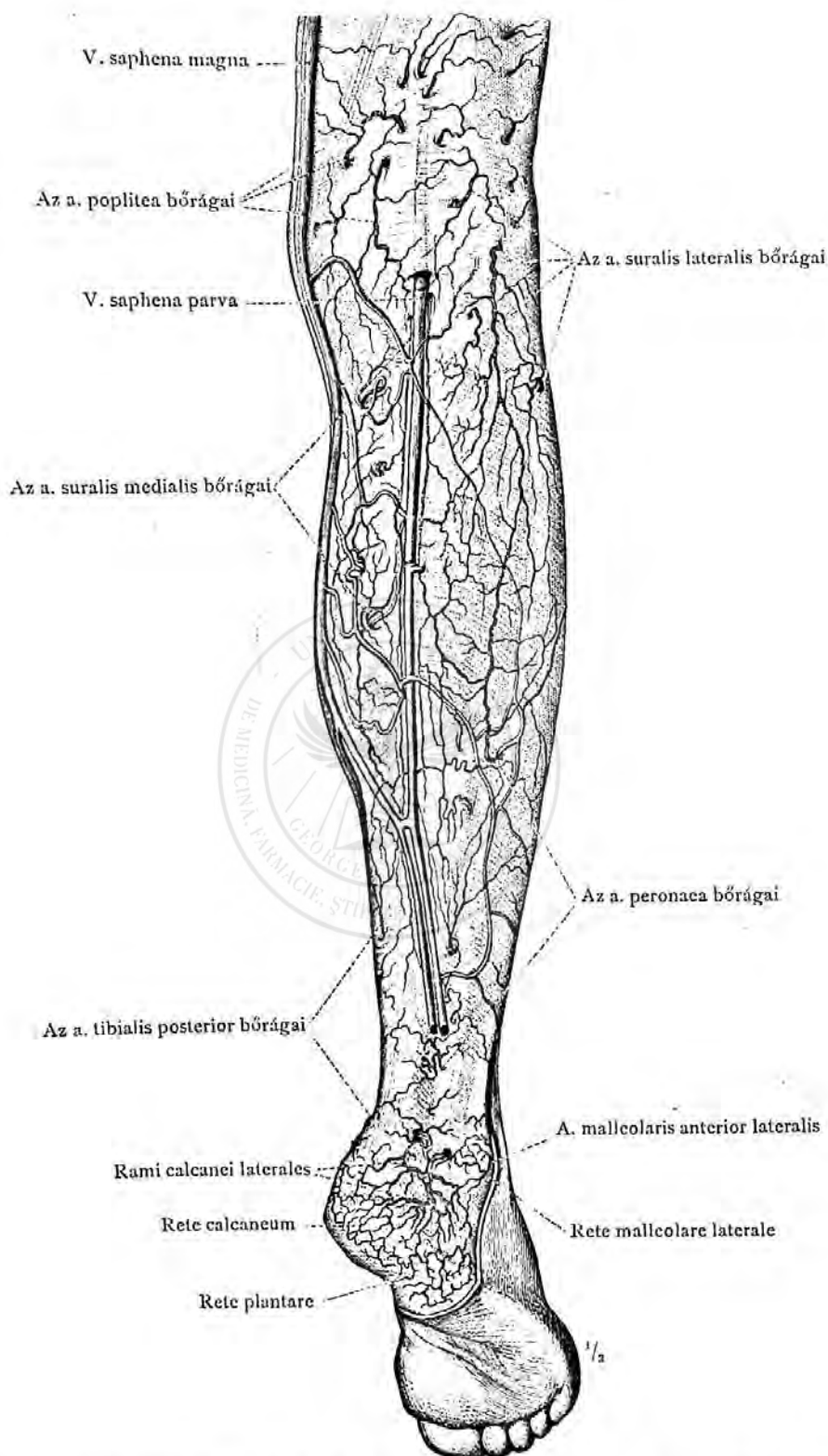


1043. rajz. Az a. tibialis anterior distalis vége, összefüggése az a. peronaea átfuró ágával és folytatása, a lábháti verőér, az a. dorsalis pedis; az elülső, a medialis és a lateralis bokaverőerek, aa. malleolares anteriores, medialis és lateralis; a medialis és lateralis bokarece, a rete malleolare mediale és laterale; a medialis és a lateralis lábháti verőerek, az a. tarsea lateralis és az arteriae tarseae mediales; az a. arcuata; a lábháti rece, a rete dorsale pedis; az a. dorsalis pedisnek mély talpi ága, a ramus plantaris profundus; a dorsalis lábközépcsonti verőerek, aa. metatarsae dorsales és ezek összefüggései az átfuróágak, a ramí perforantes, utján, az arcus plantarissal; az ujjak dorsalis verőerei, az aa. digitales dorsales és ezek anastomosisa az ujjak talpi verőereivel.

(A jobb láb a lábszár alsó végével, a dorsalis oldalról nézve. Az ujjfesztők inait a lábközépcsontok fejecskéjéig és a m. peroneus tertium egészen eltávolítva, a verőerek a lábháton szabadon fekszenek.)

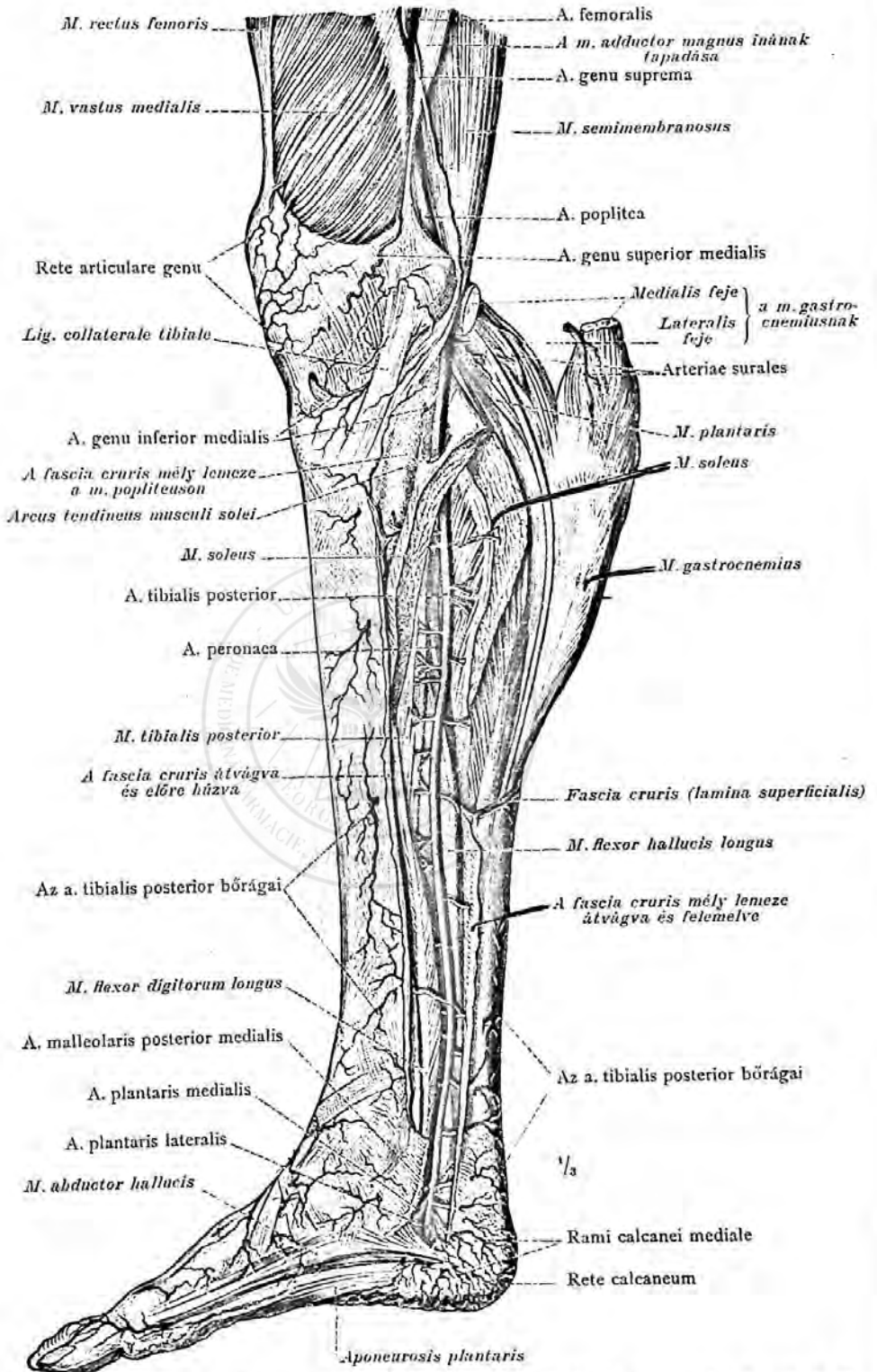
A lábhat verőerei.

## Az alsó végtag verőerei.



1044. rajz. A térdalj és a lábikra bőrének verőerei, a v. saphena magna-val és a v. saphena parvával. A sarok, az oldalsó boka verőeres recéje és a talp recéjének hátulsó része. (A jobb lábszár és láb, hátulról és oldalról nézve.)

A lábszár hátulsó oldalának verőerei.

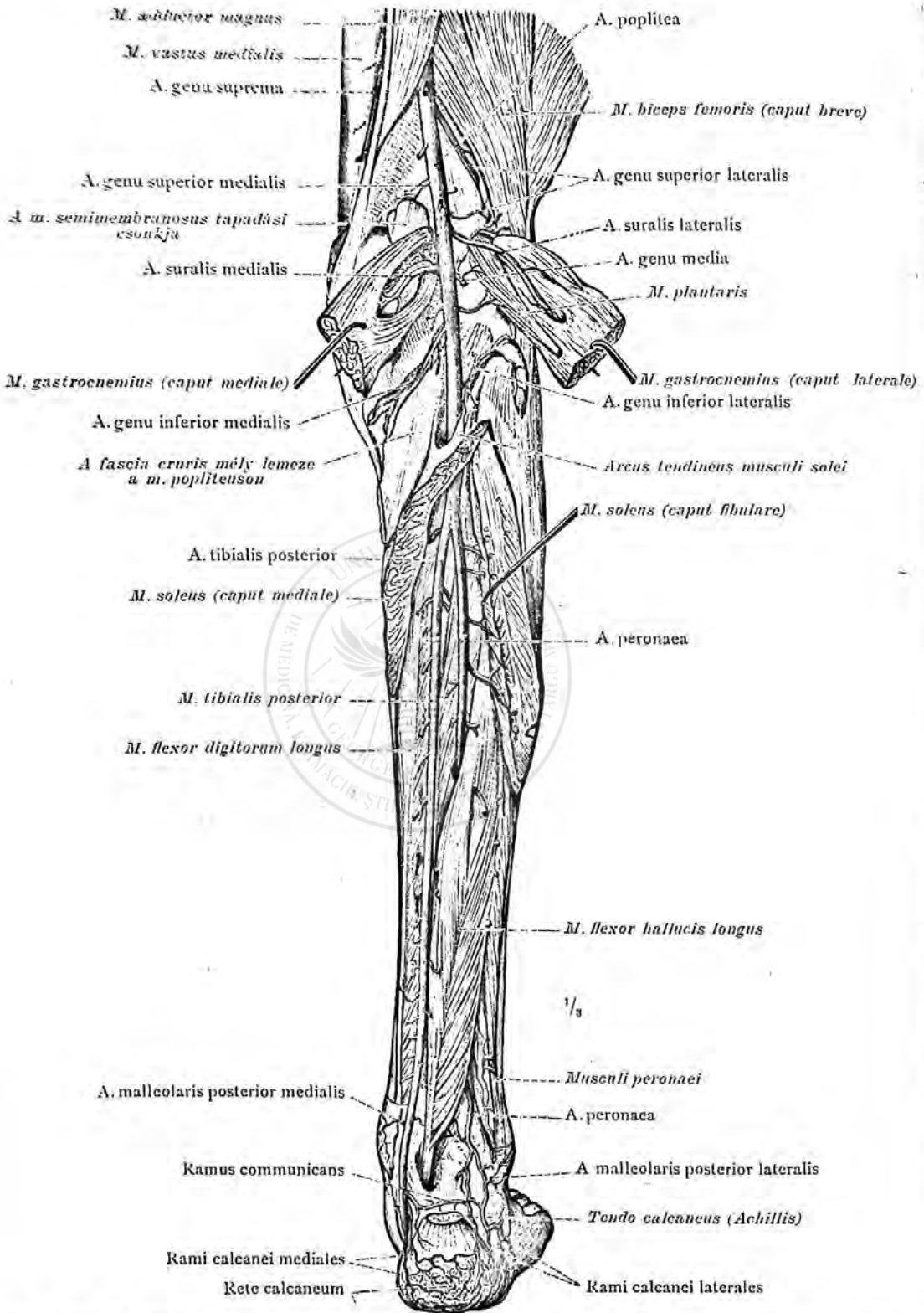


1045. rajz. A térdalji verőér, az a. poplitea, áthaladása a térdalji csatornán és az a. tibialis posterior.

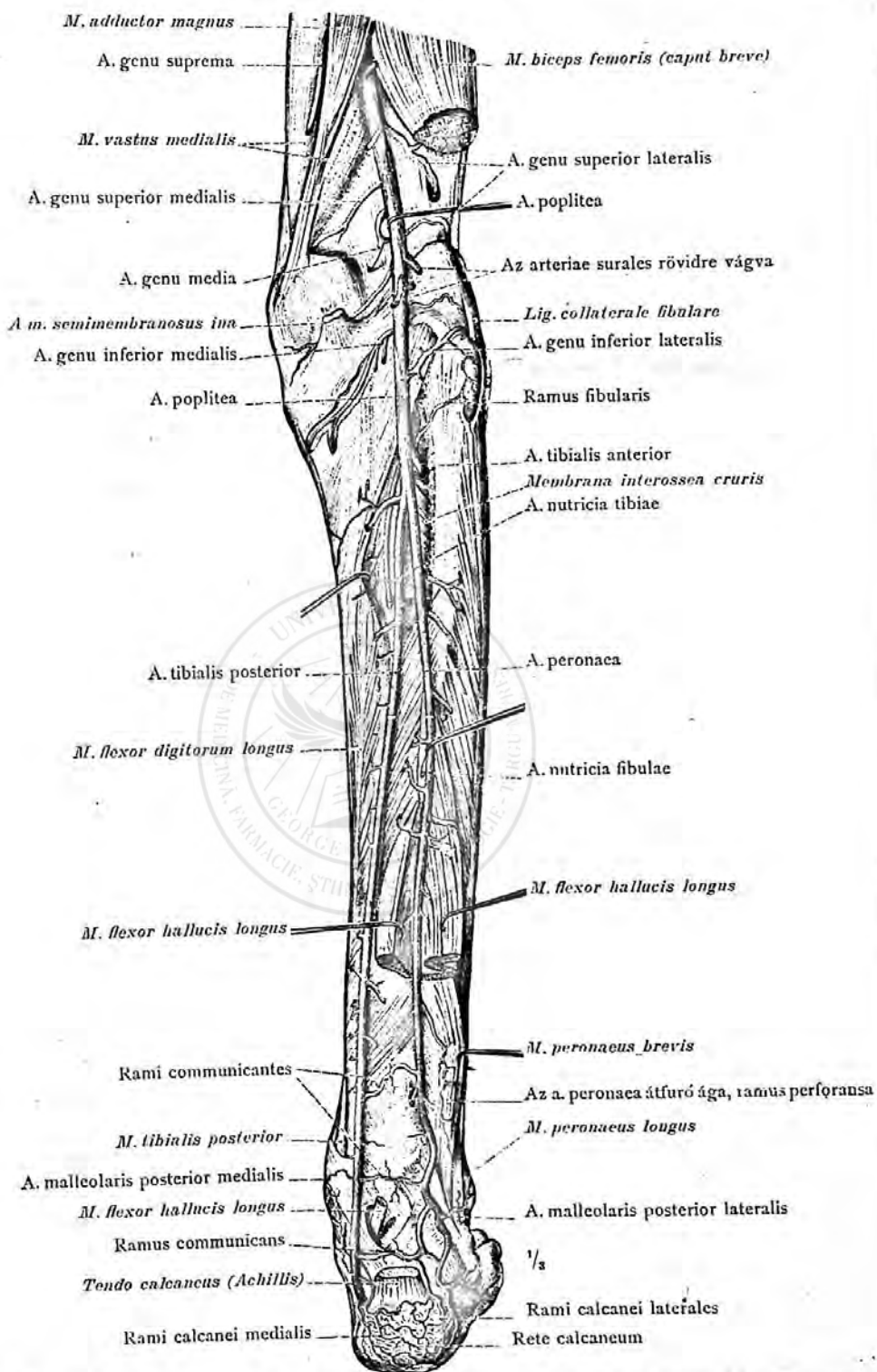
A lábszár hátulsó oldalának verőerei.



Az alsó végtag verőerei.



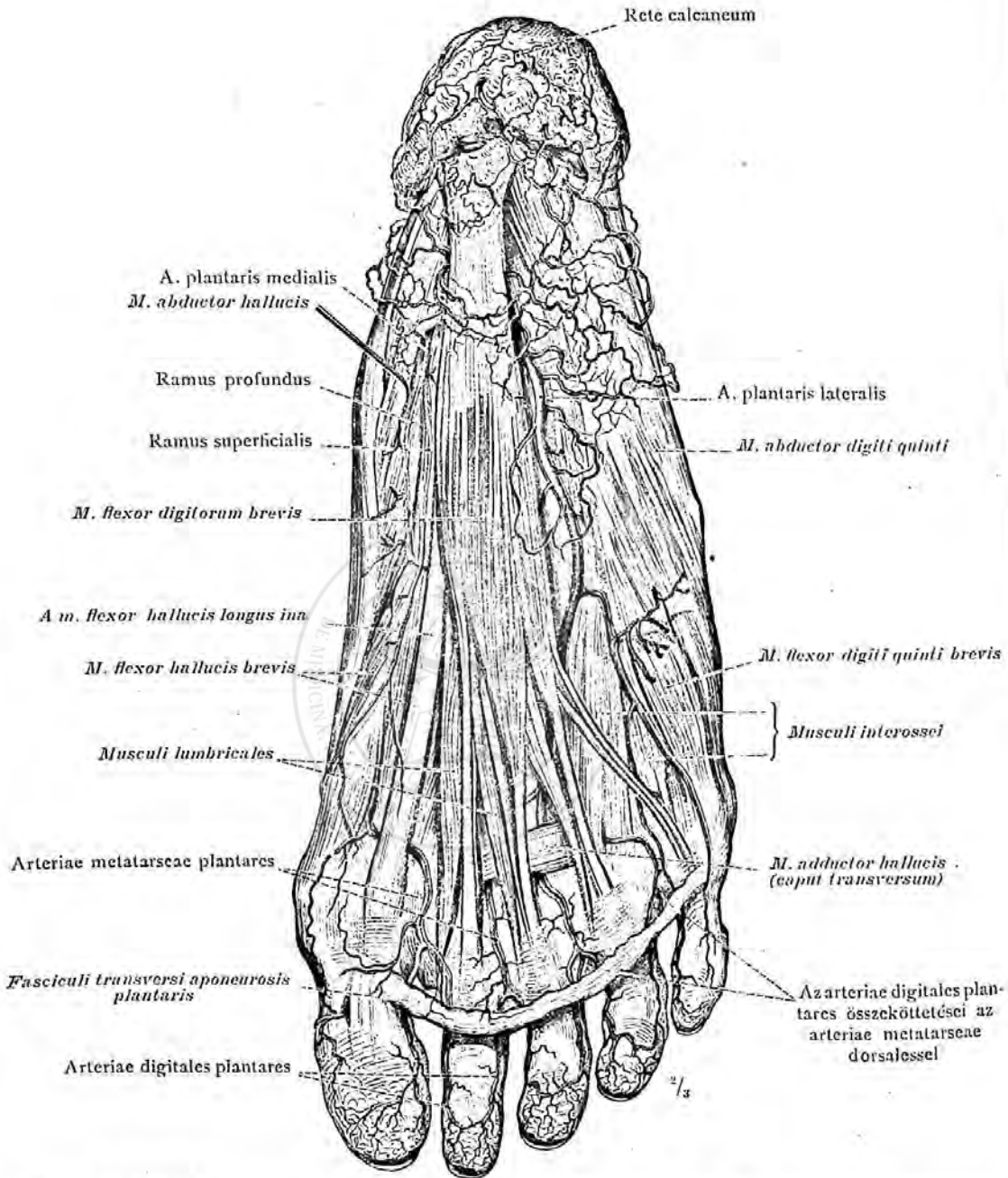
1046. rajz. A térdalji verőér, a poplitea, áthaladása a canalis popliteuson; az arteria tibialis posterior és az a. peronaea.  
 (A jobb lábszár és a láb hátulról nézve.)  
 A lábszár hátulsó oldalának verőerei.



1047. rajz. A térdalji verőér, az a. poplitea ízületi ágai; az a. tibialis anterior eredése; a tibia és a fibula tápláló verőerei, az arteriae nutritiae, tibiae és fibulae; az a. peronaea elágazódása.

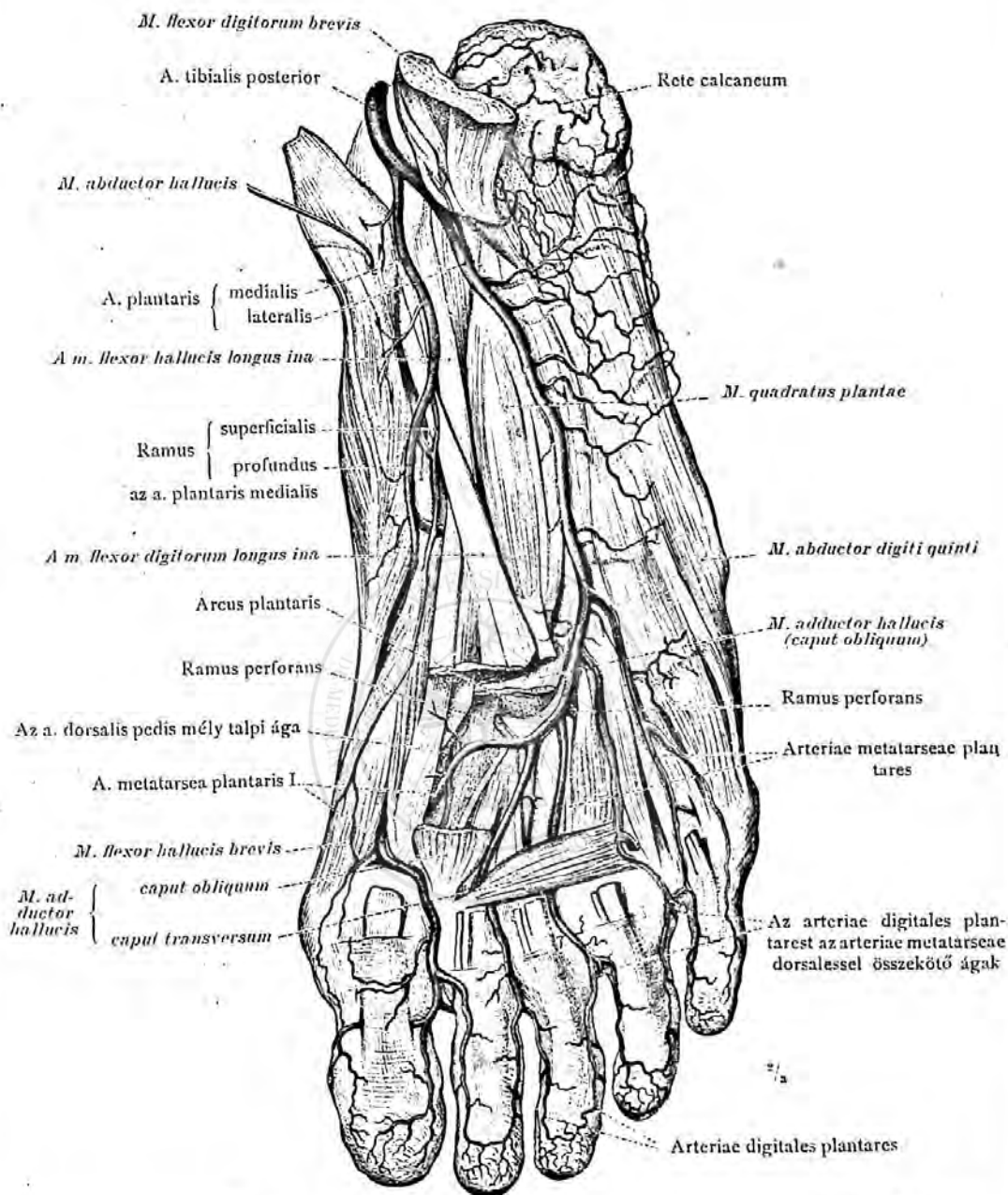
(A jobb lábszár és láb hátulról nézve.)

A lábszár hátulsó oldalának verőerei.



1048. rajz. A talp felületes verőerei; a sarokrecc, rete calcaneum és a talp verőeres recéjének hátsó része; az a. plantaris lateralis és felületes ágai; az a. plantaris medialis és oszlása felületes és mély ágra, ramus superficialis és ramus profundus; az arteriae metatarsae plantares; az arteriae digitales plantares és összeköttetései a lábhat verőereivel, az arteriae metatarsae dorsalesseel.

(A jobb láb, a talpról nézve. Az aponeurosis plantaris, a fasciculi transversik kivételével, eltávolítva; a sarok bőralatti zsírpárnája meg van tartva.)



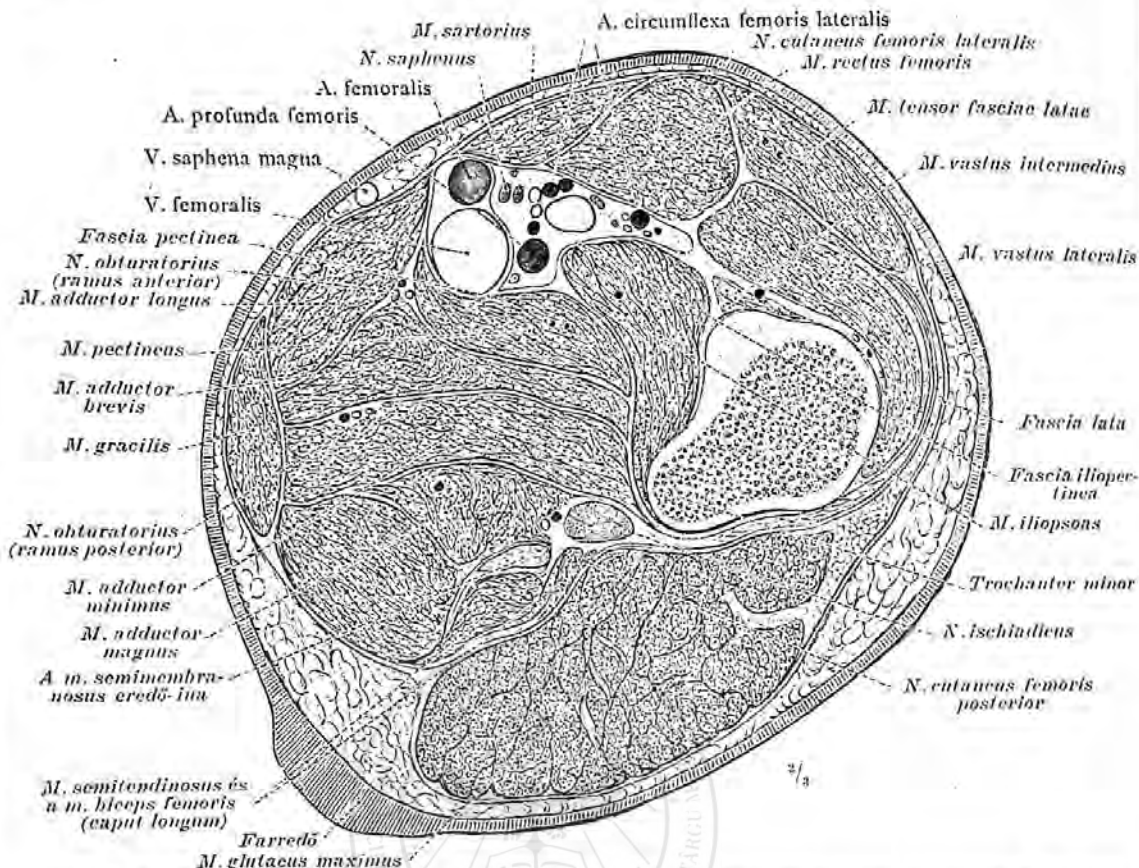
1049. rajz. A talp mély verőerei: az arcus plantaris, az arteriae metatarsae plantares és az arteriae digitales plantares.

(Az 1048. rajz készítményéről a *m. abductor hallucis* a sarokcsonttól levágva és oldal felé húzva és a rövid ujjhajlítóizom hátul harántul átvágva, proximális csontja hátrahajtva, distális csontja egészen a lábközépcsontok fejécskéjéig eltávolítva; az *a. tibialis posterior* két végága látható. A hosszú ujjhajlítóizom inait a *m. flexor hallucis longus* inával és a *m. adductor hallucis*nak a ferde fejét részben eltávolítva, az *arcus plantaris* az átfűrő ágakkal és az *arteriae metatarsae plantares* láthatók.)

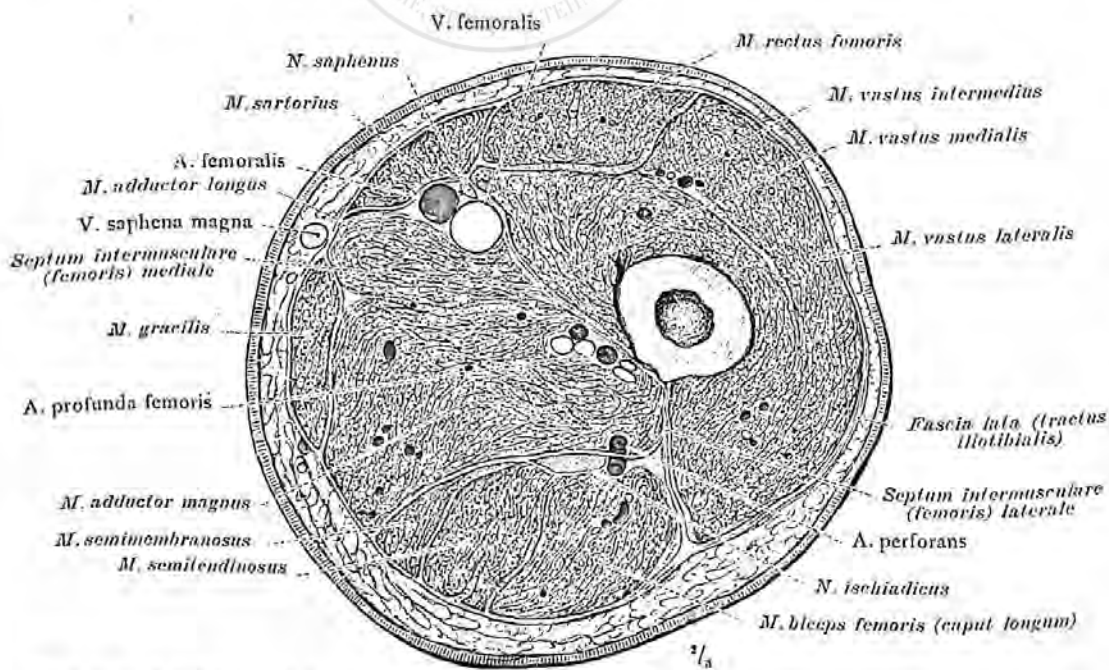
A talp verőerei.



Az alsó végtag verőerei.

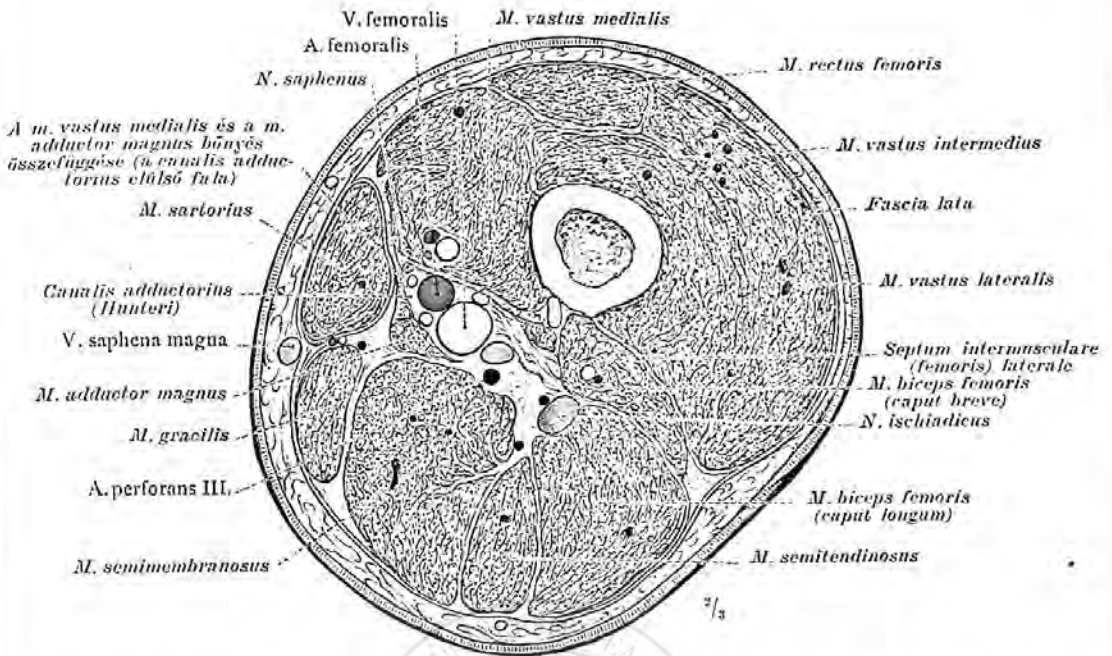


1050. rajz. A jobb comb harántmetszete, a kis tempor magasságában; a metszés distalis lapja.

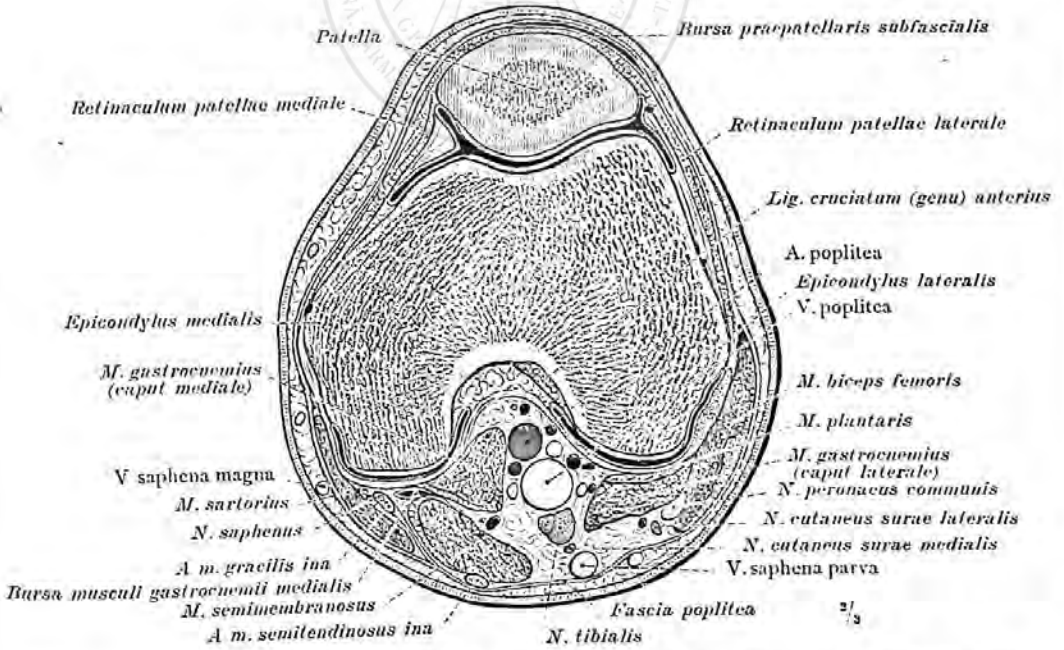


1051. rajz. A jobb comb harántmetszete, valamivel a közepe felett; a metszés distalis lapja.

A comb topografiája.



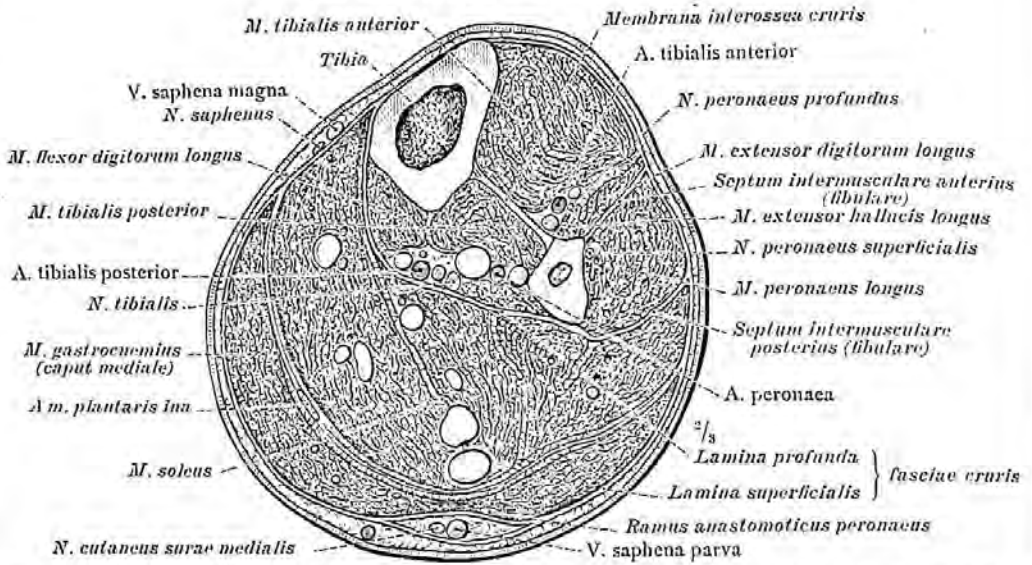
1052. rajz. A jobb comb harántmetszete, a canalis Hunterin keresztül, valamivel az adductorius nyílás felett. A metszés distalis lapja.



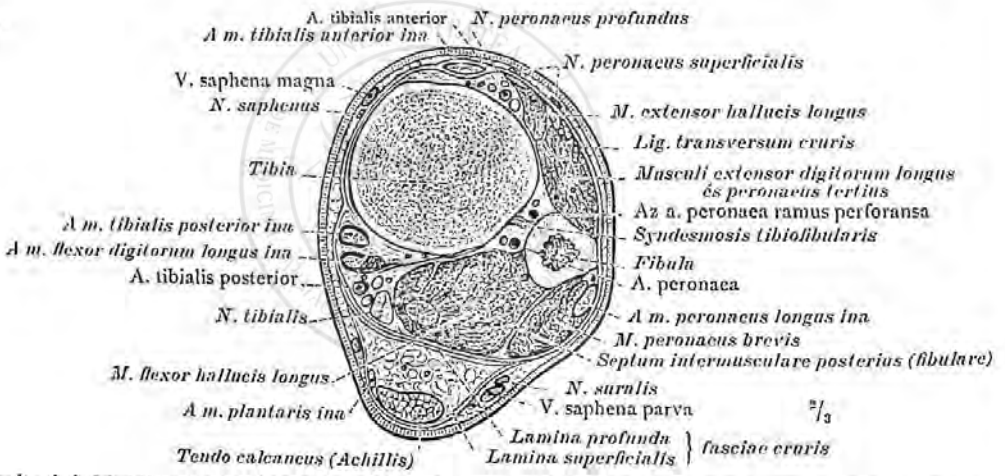
1053. rajz. A jobb térd harántmetszete, a térdkalács közepén keresztül; a metszés distalis lapja.

A comb és a térd topografiája.

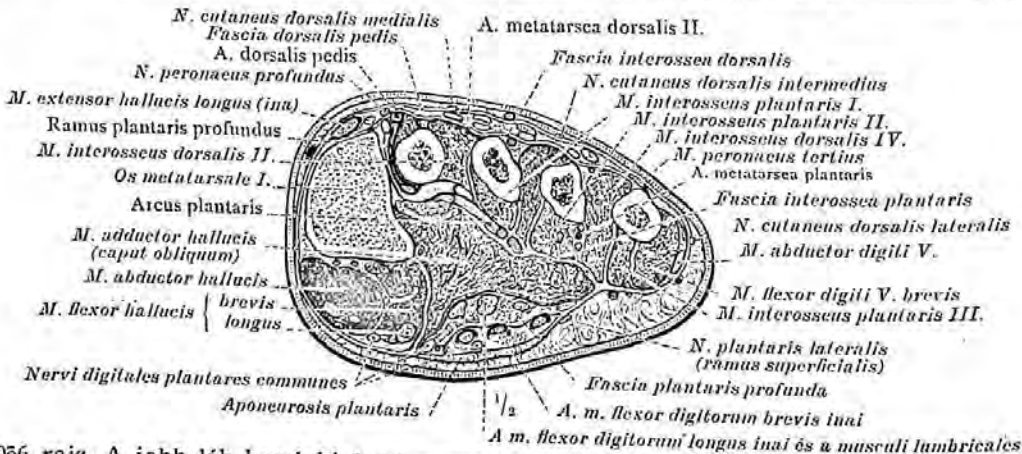
**Az alsó végtag verőerei.**



1054. rajz. A jobb lábszár harántmetszete valamivel a lábszár közepe felett; a metszés distalis lapja.



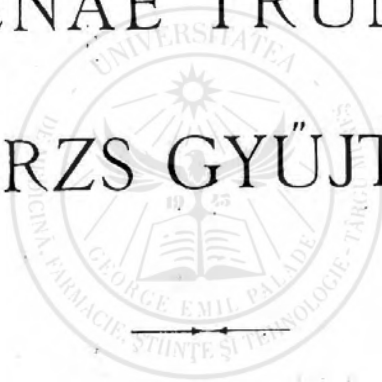
1055. rajz. A jobb lábszár harántmetszete, valamivel a bokák felett; a metszés distalis lapja.



1056. rajz. A jobb láb homlokirányú metszete, az első lábközépcsont közepén keresztül; a metszés distalis lapja.

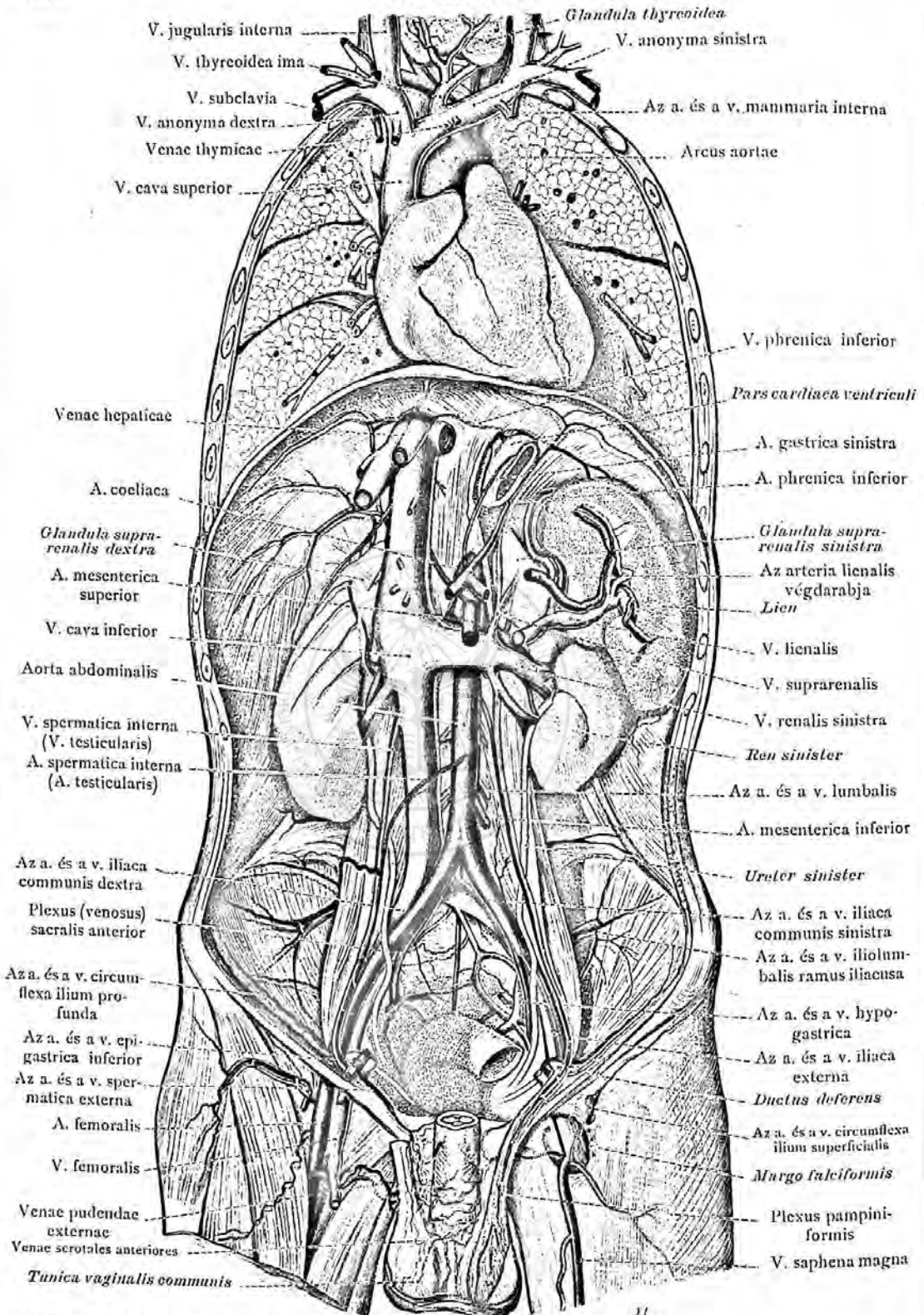
A lábszár és a láb.

VENAE TRUNCI.  
A TÖRZS GYÜJTÖEREI.



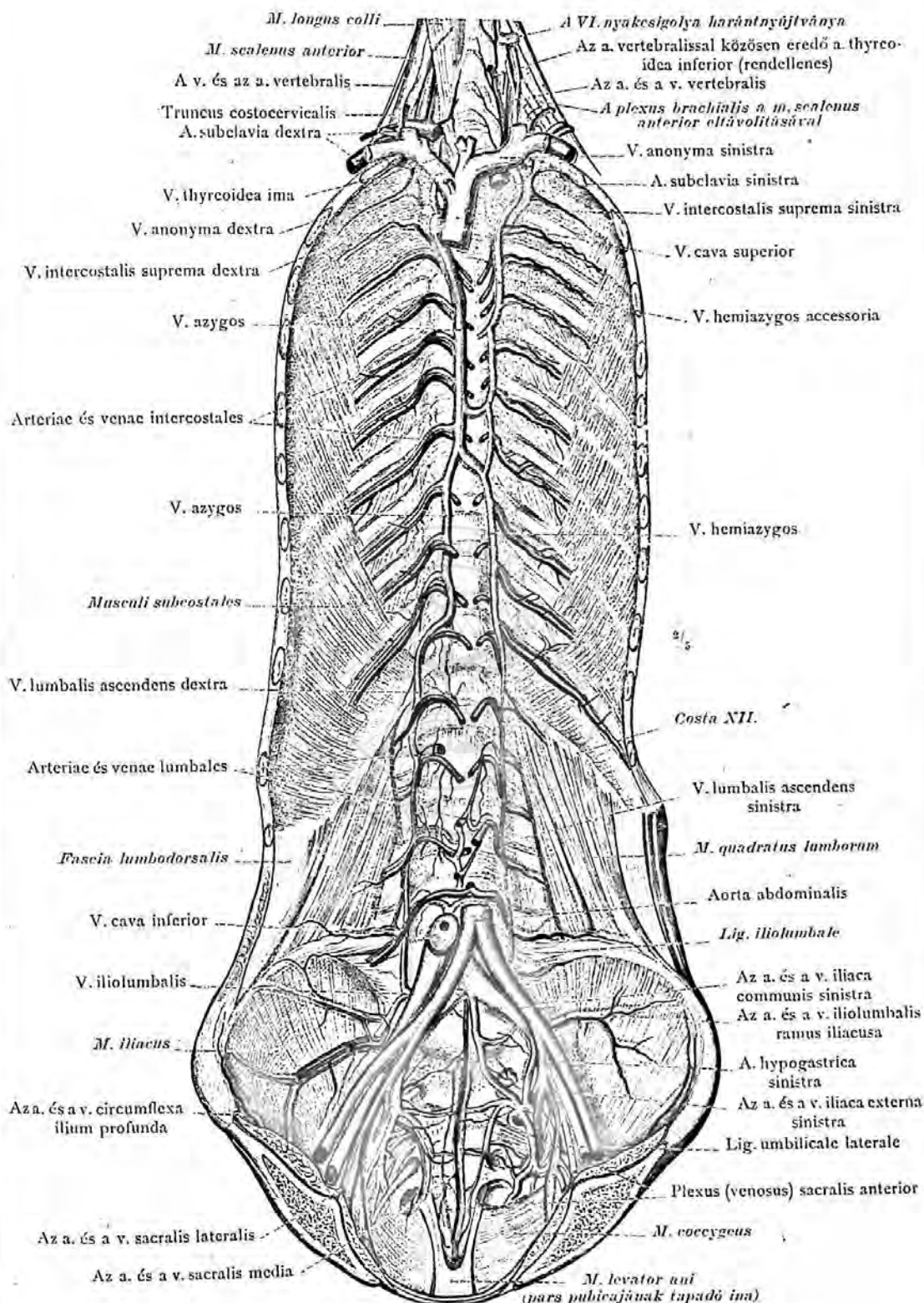


## A törzs gyűjtőerei.



1037. rajz. A vena cava superior és a vena cava inferior, a beléjük ömlő venakkal. A vena cava inferior falai és zsigeri gyökerei, a radices parietales és a radices viscerales. A hasi aorta, az aorta abdominalis, elülről nézve.

A v. cava superior és inferior a beléjük ömlő venakkal.



1058. rajz. A törzs hátulsó falának gyűjtőerei, belül; elülről nézve.

A v. azygos és a v. hemiazygos a beléjük ömlő venakkal.

V. intercostalis  
suprema dextra

V. anonyma sinistra

Ductus thoracicus

V. anonyma dextra

A. subclavia  
sinistra

V. thyroidea ima

V. intercostalis  
suprema  
sinistra

Trachea

V. cava superior

Bronchus  
dexterBronchus  
sinisterDuctus  
thoracicusDuctus  
thoracicus

V. hemiazygos accessoria

V. azygos

V. azygos

Arteriae és venae intercostales

A v. hemiazygos beömlése  
a v. azygosba

V. azygos

V. hemiazygos

Aorta  
descendensAorta  
descendensA rekeszizom hiatus  
aorticusaArteriae és venae lum-  
bales

V. lumbalis ascendens

Vena cava inferior

Vena iliaca communis  
sinistra

Vena iliolumbalis

2/6

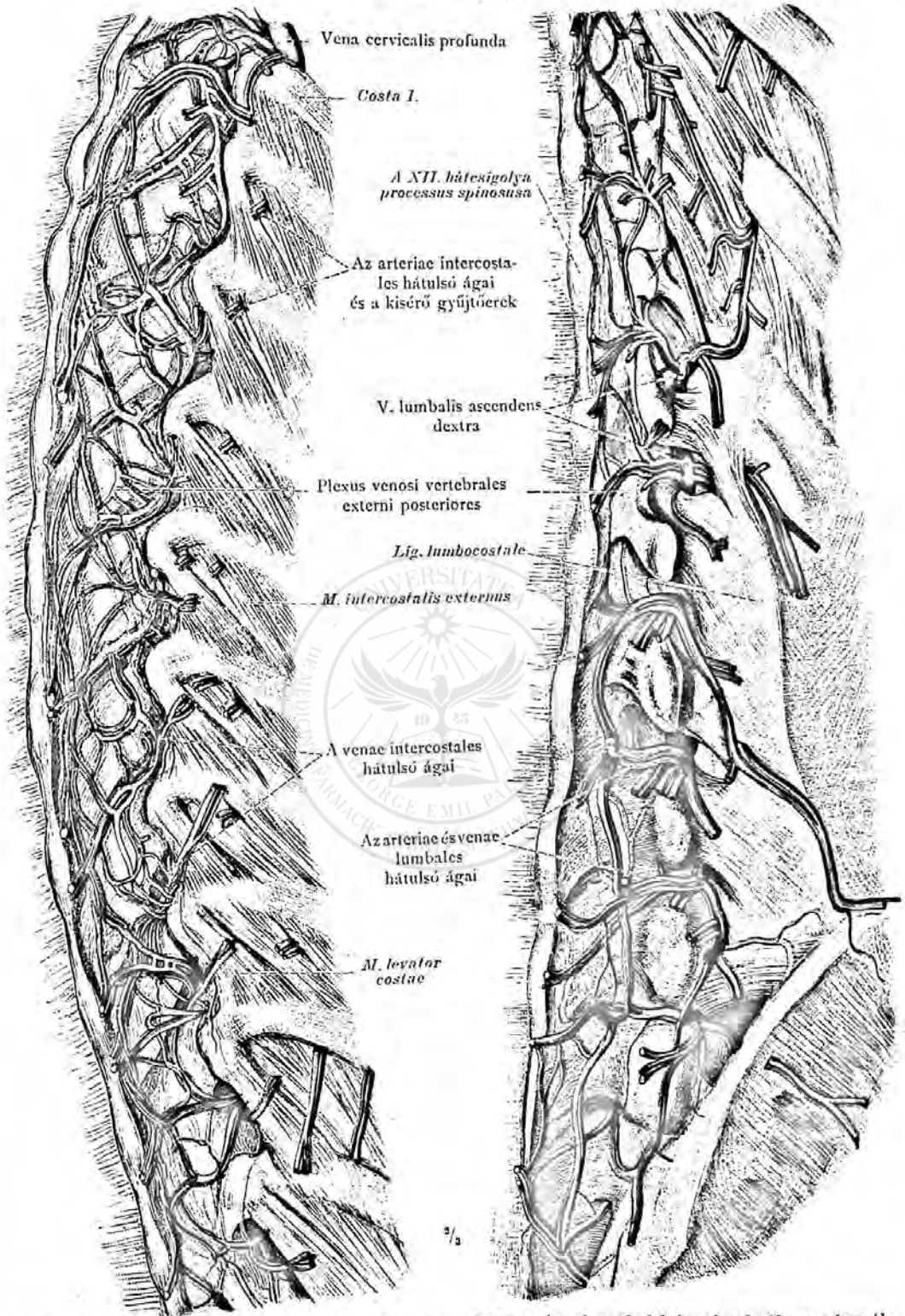
2/5

1059. rajz. Jobboldalról nézve.

1060. rajz. Baloldalról nézve.

A v. azygos és a v. hemiazygos a beléjük ömlő venakkal.



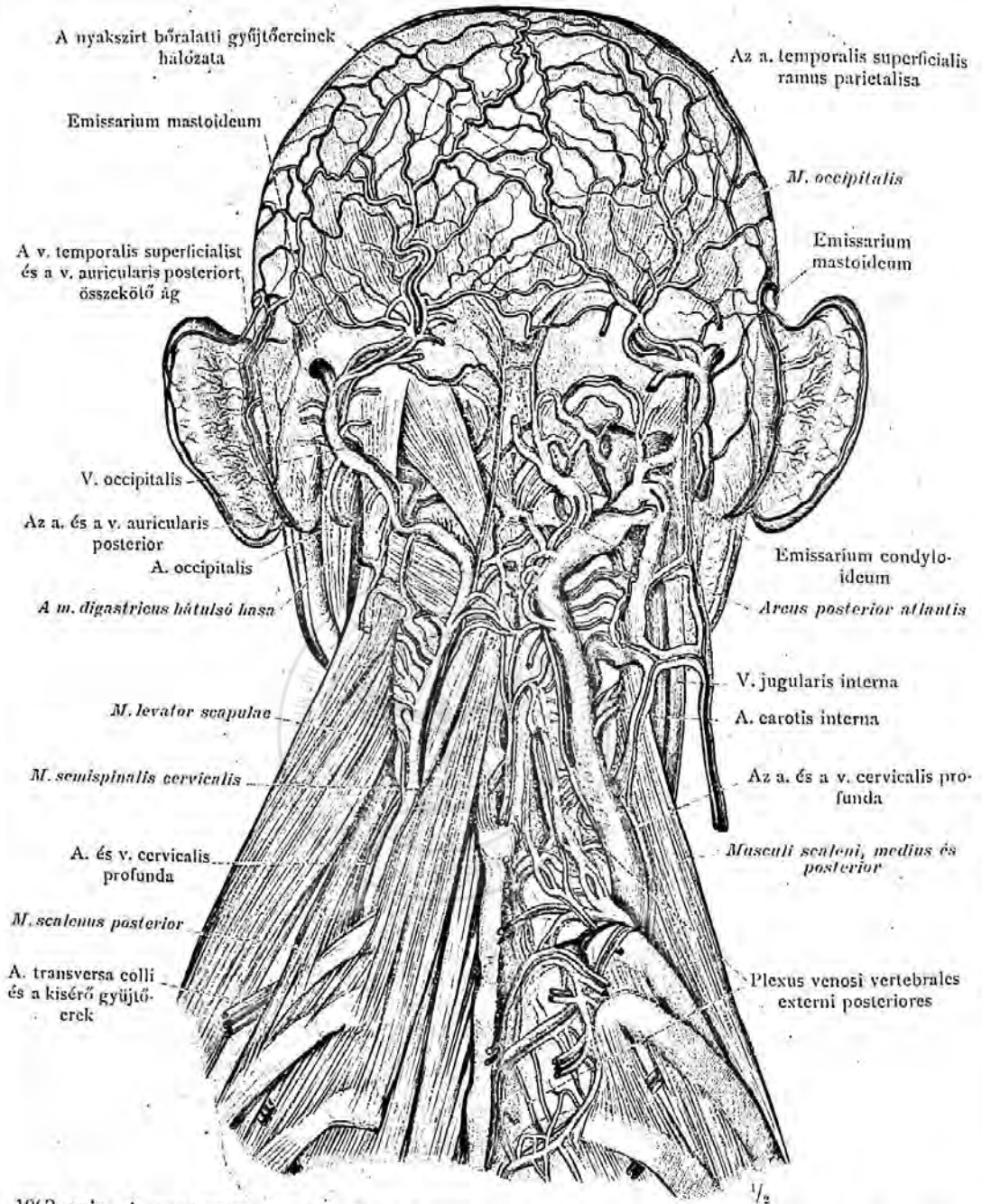


1061. rajz. A hátesigolyák hátsó és külső gyűjtőereinek hálózata.

1062. rajz. Az alsó hátesigolyák, az ágyékcsigolyák és a keresztcsont hátsó és külső gyűjtőereinek hálózata.

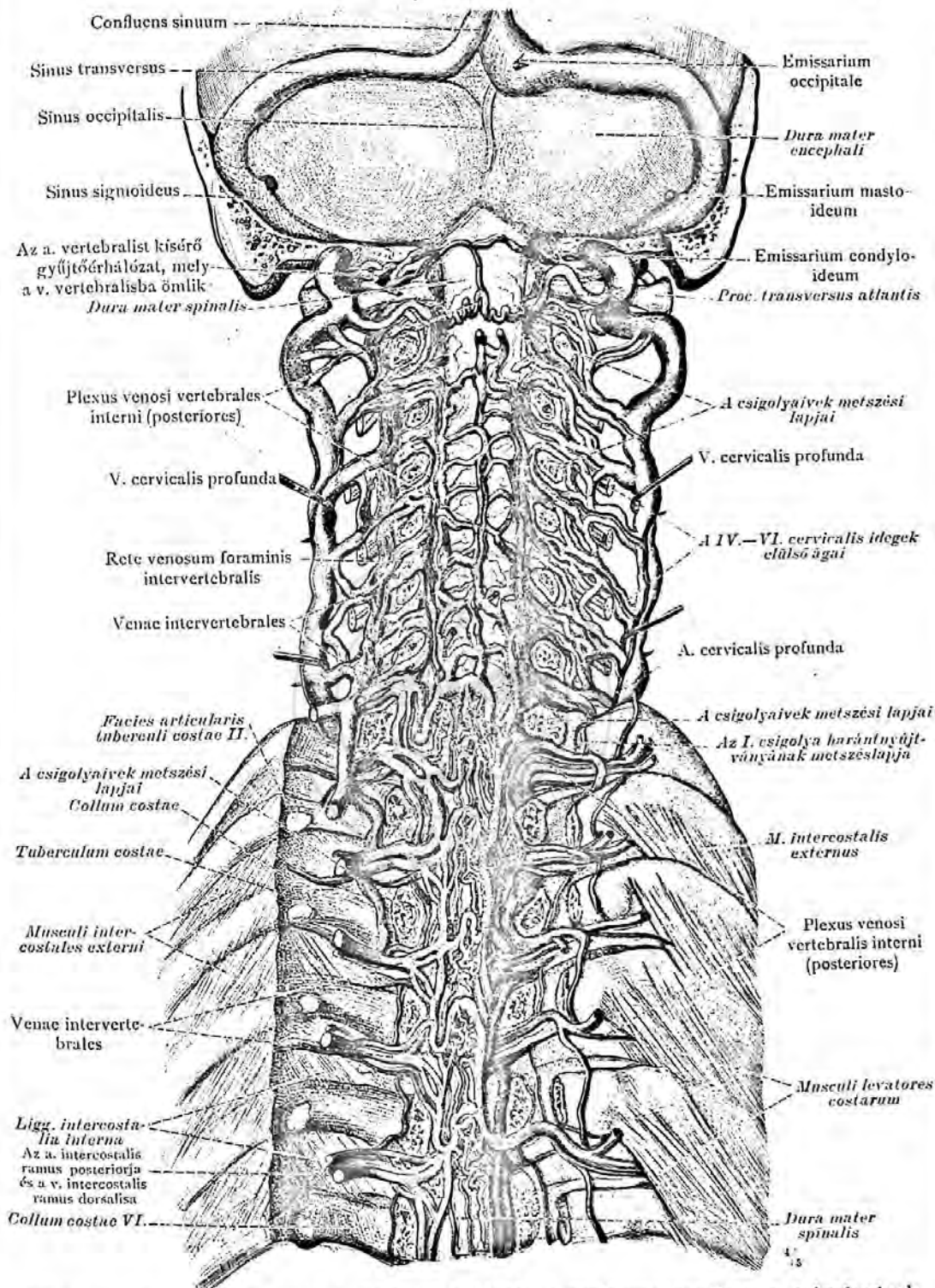
Plexus venosi vertebrales externi posteriores, a csigolyák hátsó, külső gyűjtőereinek hálózata.





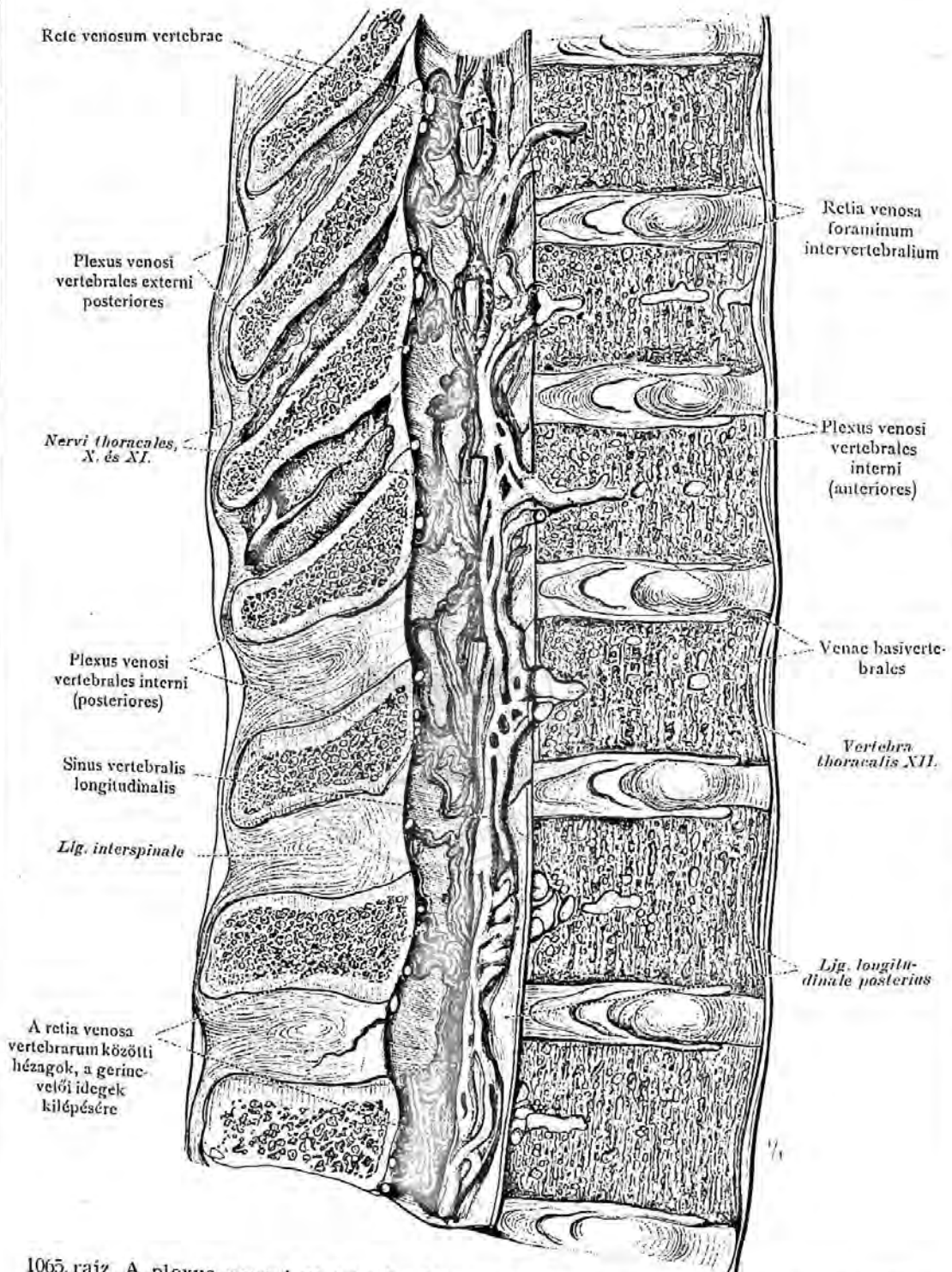
1063. rajz. A nyakszirt gyűjtőerei és a tarkó mély gyűjtőerei, hátulról nézve. A nyakszirt bőralatti gyűjtőereinek hálózata; a v. occipitalis s ennek összefüggése a v. cervicalis profundával; az emissarium mastoideum és az emissarium condyloideum; a plexus venosi vertebrales externi posteriores; a v. auricularis posterior, a kis, hátulsó fejszizmok, valamint a *m. semispinalis cervicis* láthatók. A jobboldalon ezen izmokat is eltávolítva, a csigolyák külső, hátulsó gyűjtőeres hálózata látható.)

A nyakszirt és a tarkó mély gyűjtőerei.



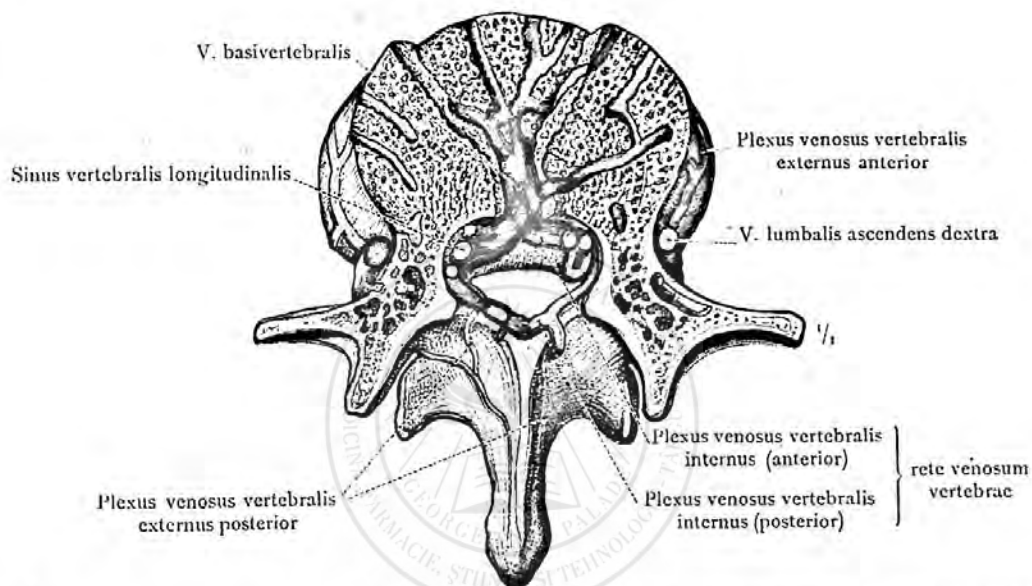
1064. rajz. A csigolyák belső gyűjtőeres hálózata a gerincesatornában, a csigolyaívek eltávolításával a gerincoszlop nyaki részén és a mellkas felső részén, hátulról nézve; a hálózat összefüggései a v. cervicalis profundával és a venae intercostalesseel. Sinus durae matris, a kemény agyvelőburok öblei.

Plexus venosi vertebrales interni, a csigolyák belső, gyűjtőeres hálózata.  
V. cervicalis profunda, a tarkó mély gyűjtőere.



1065. rajz. A plexus venosi vertebrales interni, az alsó négy hát- és a két felső ágyékcsigolyán áthaladó median metszet bal felében; ezen plexusok összefüggése a venae basivertebrales és a gerinccsatornából kilépő gerincvelői ideggyökökkel. (A hátulsó hosszanti szalag a hátsó csigolyákról eltávolítva, az ágyékcsigolyákon megtartva, a VIII.–X. hátsó csigolya tövisnyújtványai között, a ligamenta interspinalia eltávolításával, a csigolyák külső, gyűjtőeres fonatának három része látható.)

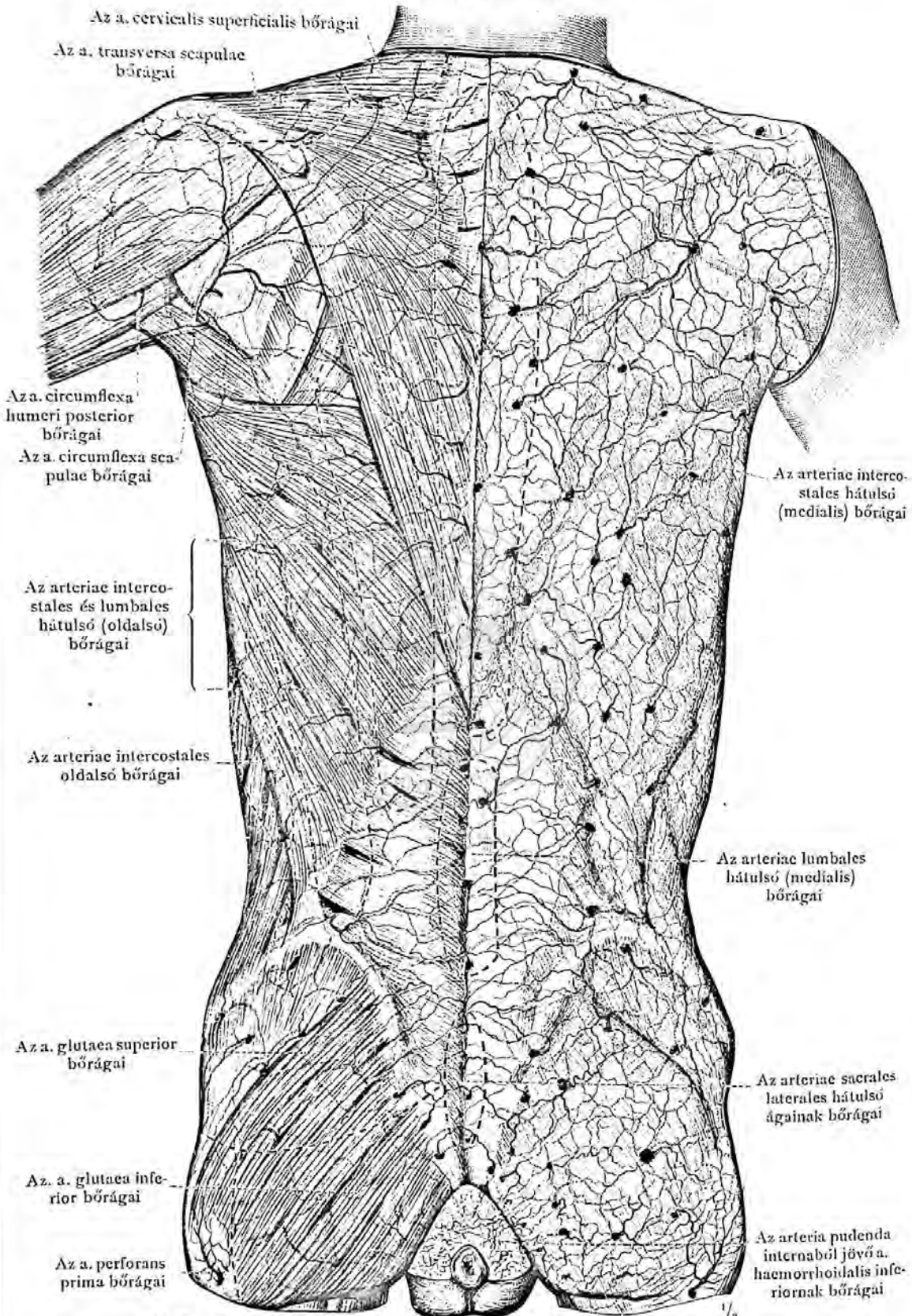
Plexus venosi vertebrales interni, a csigolyák belső gyűjtőeres hálózata.



1066. rajz. A venae basivertebrales, összefüggésük a plexus venosi vertebrales anterioresel és a rete venosum vertebraevel, melyet a plexus venosi vertebrales interni, anteriores és posteriores, alkotnak. Ágyékcsgolyó horizontális metszete, felülről nézve. (A venae basivertebrales különböző magasságban fekvő ágainak feltüntetése, a csigolyatest metszéslapjáról ék alakú csontdarab távolított el.)

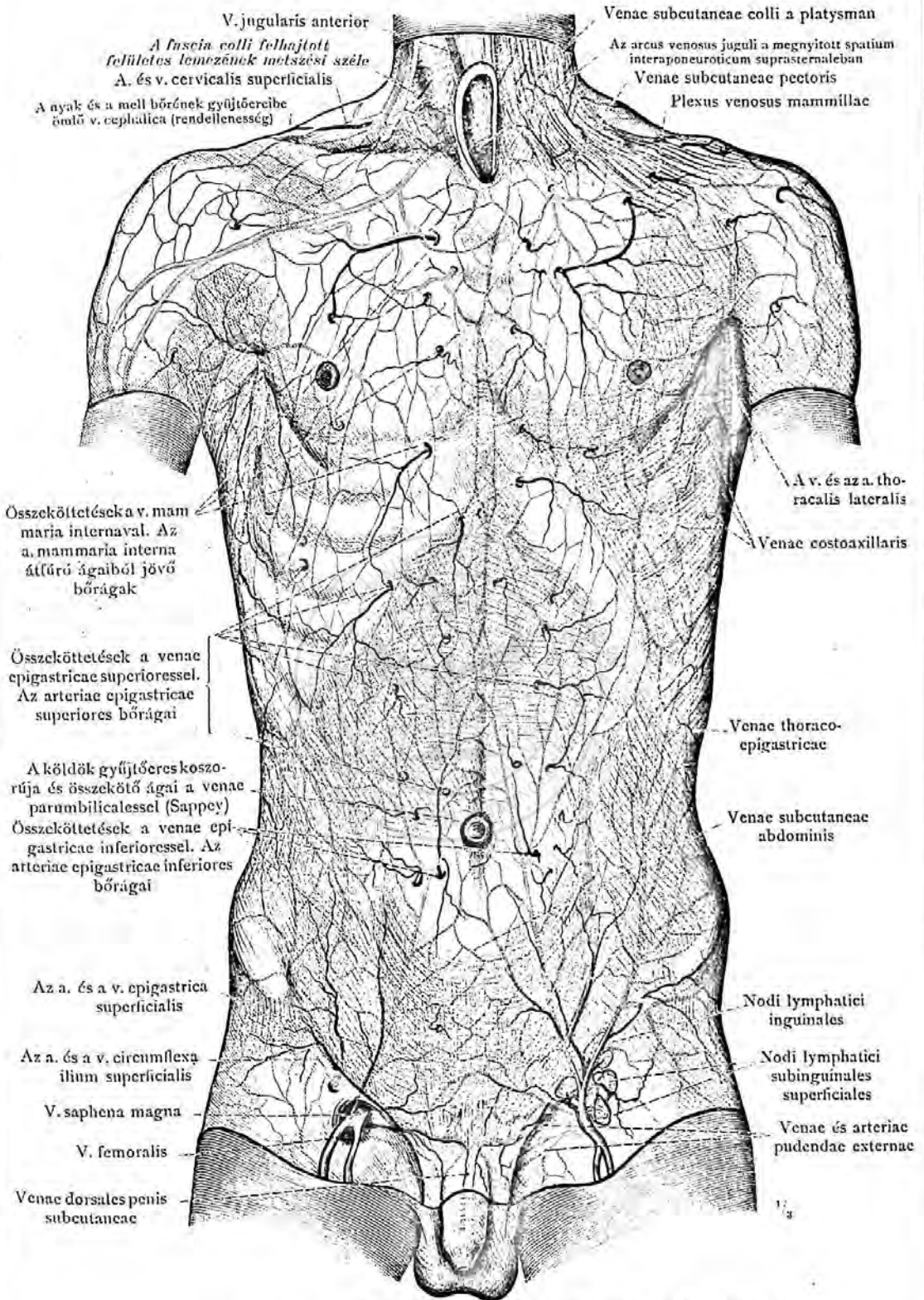
Venae basivertebrales. Plexus venosi vertebrales, a csigolya gyűjtőeres hálózatai.





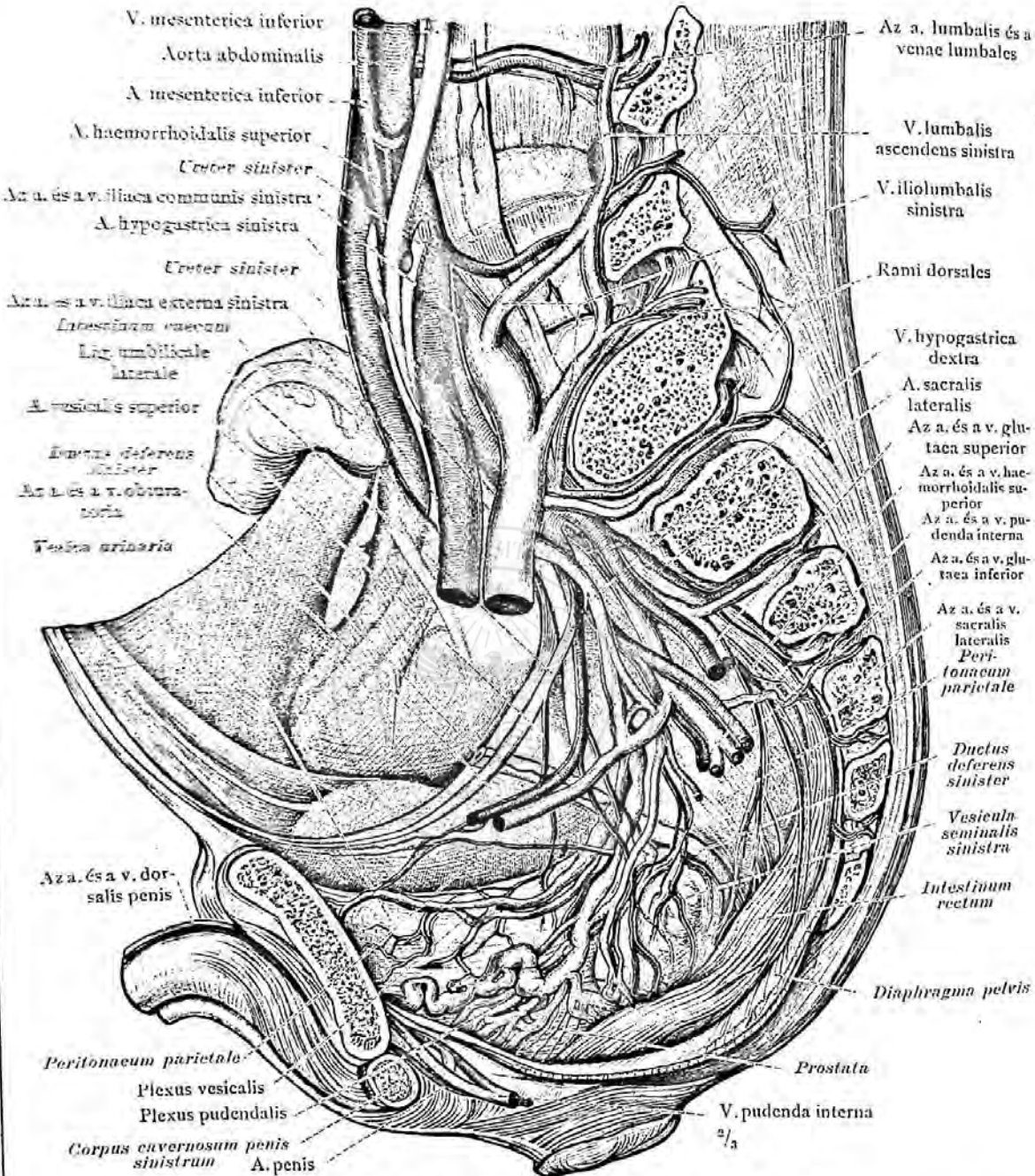
1067. rajz. A törzs hátulsó oldalának bőralatti verő-és gyűjtőerei.

A törzs hátulsó oldalának bőrerei.



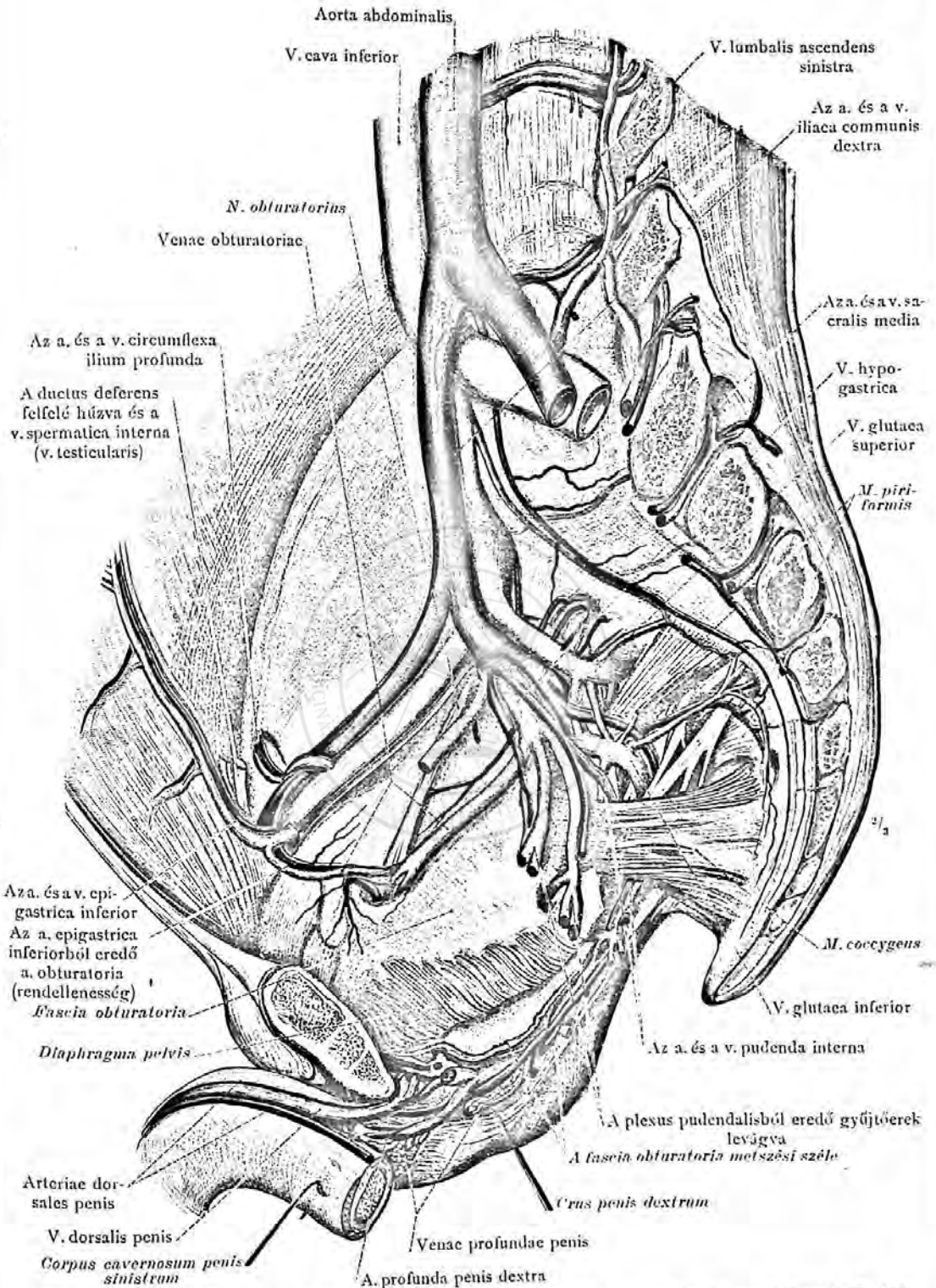
1068. rajz. A törzs elülső oldalának bőralatti verő- és gyűjtőerei.

A törzs elülső oldalának bőrerei.



1069. rajz. A férfi medencéjének gyűjtőerei, baloldról nézve. (Nyilirányú, alul a középvonaltól kissé balra, hátul a bal keresztcsonti szallagokon keresztül haladó metszéssel a medence bal fala eltávolítva, melynek parietalis haszhártyája azonban a hólyagra és végbélre hajlásáig meg van tartva. Ezen szervek extra-peritonaealisan fekvő részei, a szerveket körülvevő erekkel együtt láthatók; a diaphragma pelvis rövidre vágva és kissé lefelé hajtva. A v. mesenterica inferior és ága, a v. haemorrhoidalis superior, sárga.)

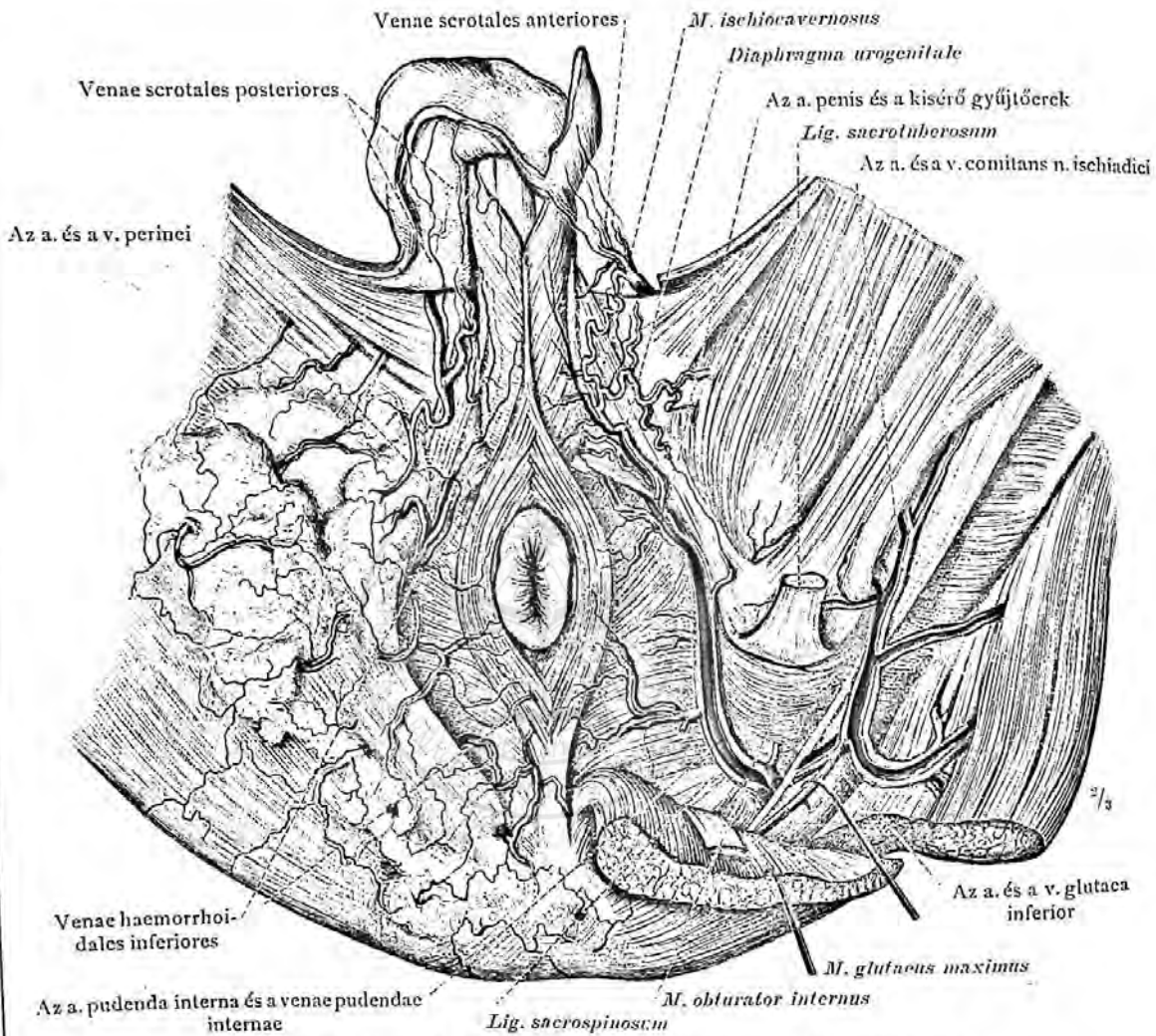




1070. rajz. A medence jobb falának és a férfi külső nemi szerveinek gyűjtőerei. Baloldról nézve.

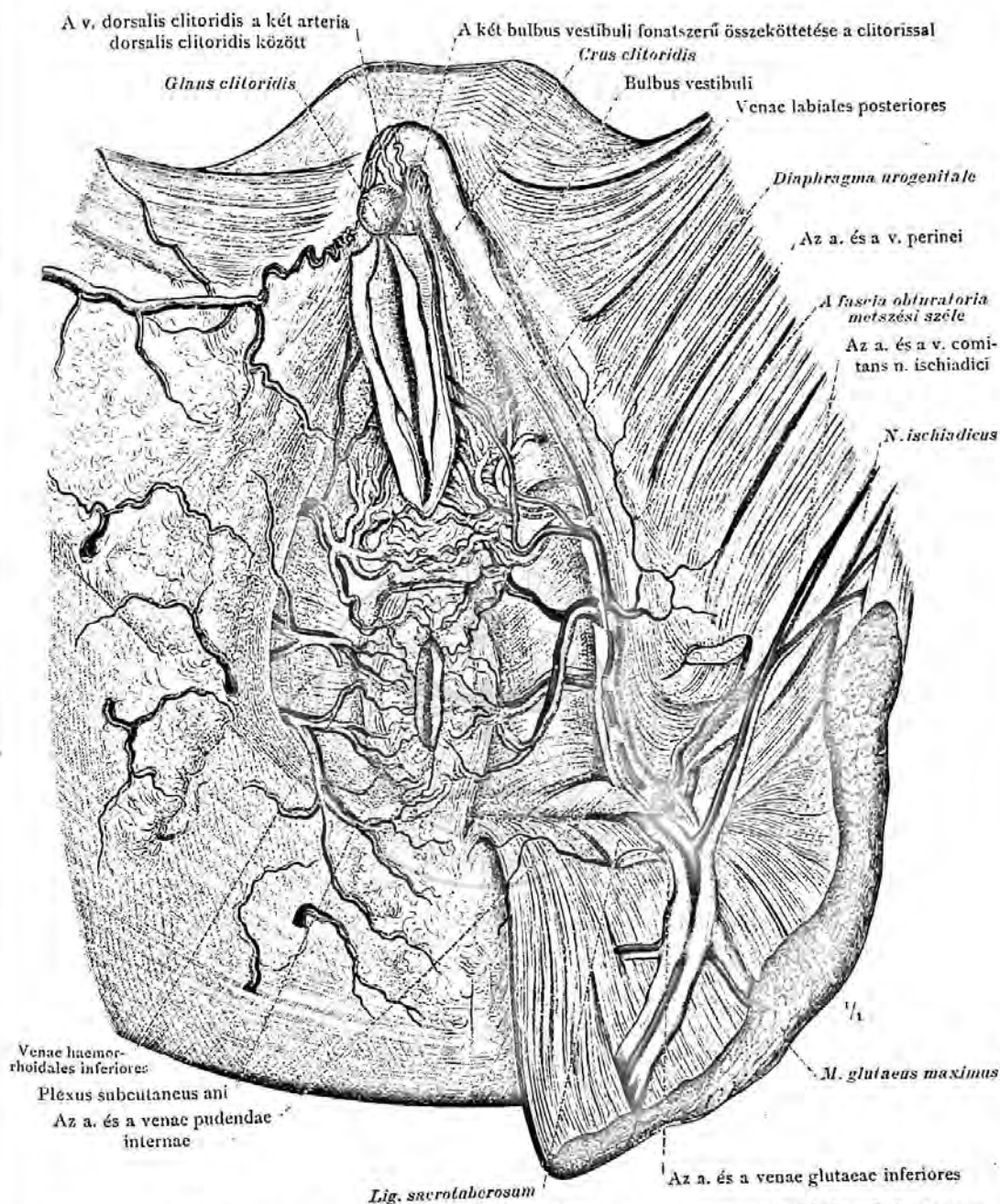
A férfimedence gyűjtőerei.





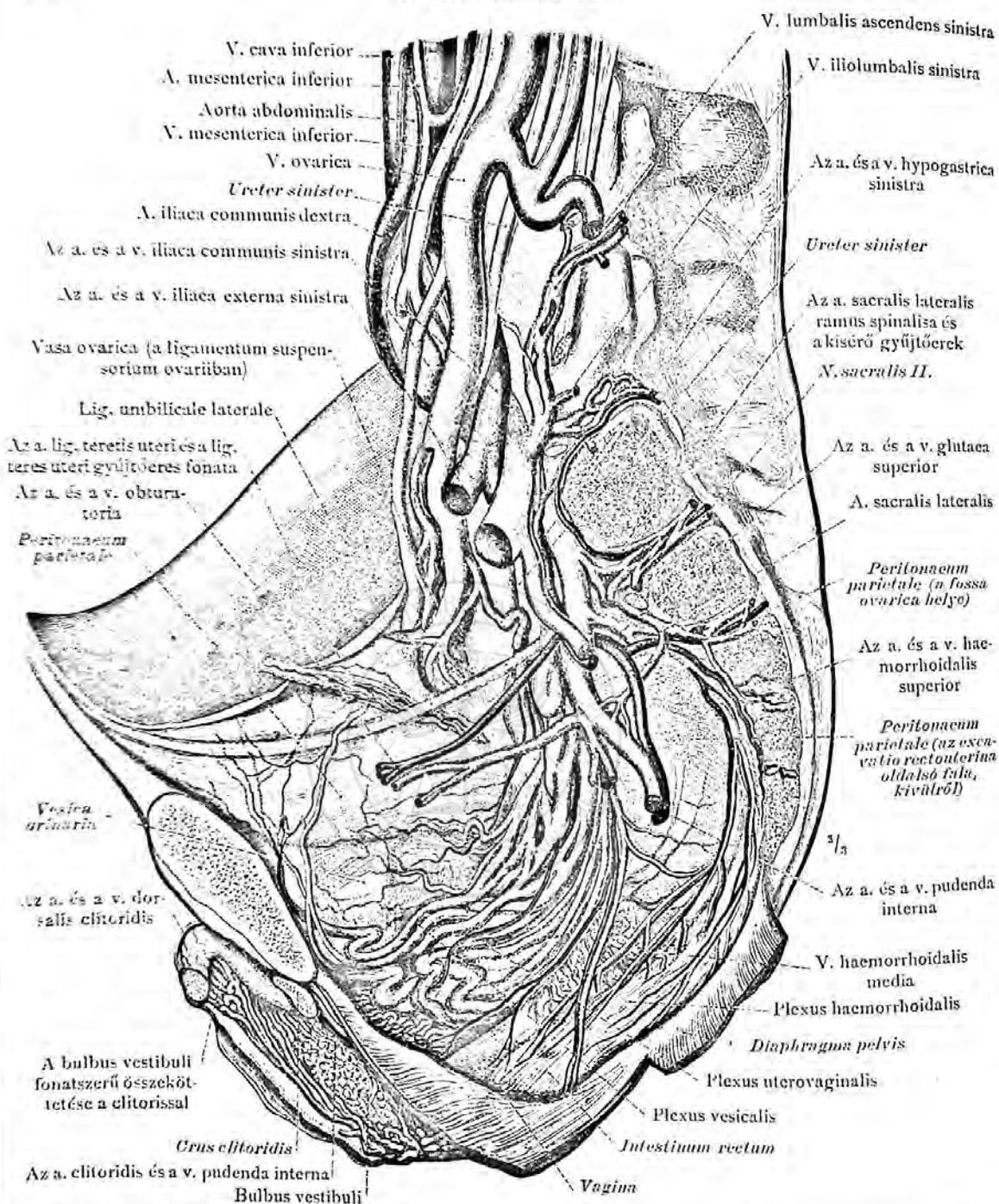
1071. rajz. A férfi gáttájékának felületes és mély gyűjtőerei.

(A jobboldalon a felületes erek láthatók a bőr alatti zsírszövet nagy részének megtartásával. A baloldalon a nagy farizom és a ligamentum sacrotuberosum átvágásával és széthúzásával, az a. pudenda interna és a vv. pudendae internae áthaladása a foramen ischiadicum minuson láthatók, a mely erek a fossa ischiorectalis oldalsó falán is tovább követhetők. A bal herének eltávolításával, a venae scrotales anteriores és posteriores anastomosisa látható.)



1072. rajz. A női gáttájék felületes és mély gyűjtőerei: a vv. haemorrhoidales inferiores; a végbélnyílás bőralatti gyűjtőerei, a plexus subcutaneus ani; a vv. pudendae internae, a vv. labiales posteriores; a v. dorsalis clitoridis és a két bulbus vestibuli. (A jobboldalon a felületes erek láthatók; a baloldalon a nagy farizom és a ligamentum sacrotuberosum átvágásával és széthúzásával, az áthatított fascia obturatoriaiban, a vasa pudenda interna, a fossa ischiorectalis oldalsó falán láthatók. A m. bulbocavernosus és a m. levator ani elülső részét mindkét oldalon eltávolítva, a két bulbus vestibuli s az ezekből eredő gyűjtőerek harántösszeköttetése láthatók.)

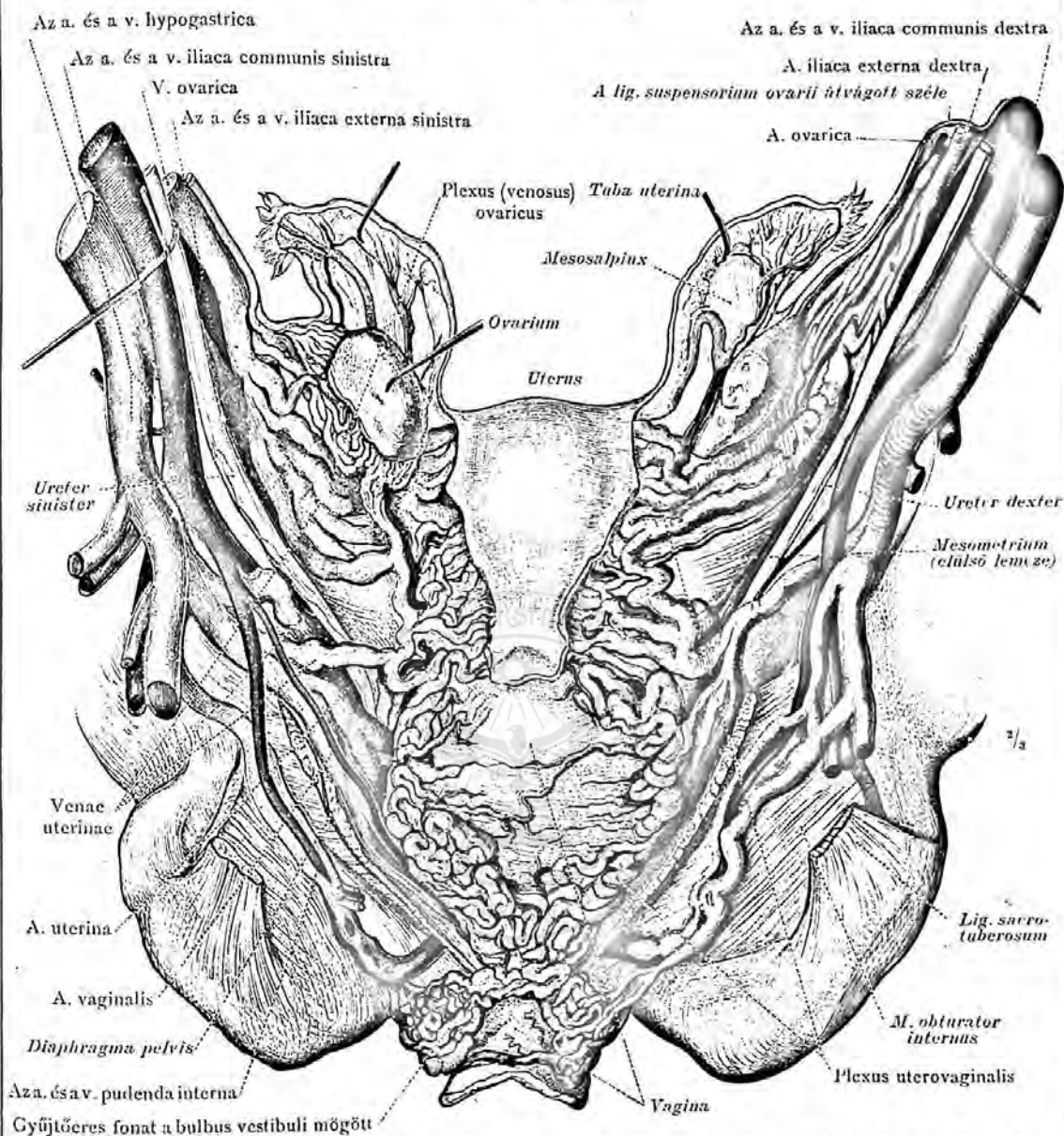
A női gáttájék gyűjtőerei.



1073. rajz. A petefészkek gyűjtőere, a v. ovarica; a plexus vesicalis és a plexus uterovaginalis; a lig. teretis uteri gyűjtőeres fonata. A v. haemorrhoidalis, superior és media; a végbél gyűjtőeres fonata, a plexus haemorrhoidalis. Az arteriae iliolumbales, spinalis ágait és az a. sacralis lateralist követő gyűjtőeres fonatok.

(Nyílirányú, elül a középvonaltól kissé balra, hátul a bal keresztcsonti szallagokon áthaladó metszéssel a medence bal fala eltávolítva, melynek azonban a parietalis haszhártyája a végbélre, a húgyhólyagra és a hüvelyre való áthajlásáig megtartva. A medence szerveinek extraperitonealisan fekvő részei és az ezen szerveket körülvevő erek láthatók. A diaphragma pelvis lefelé van hajtv.)

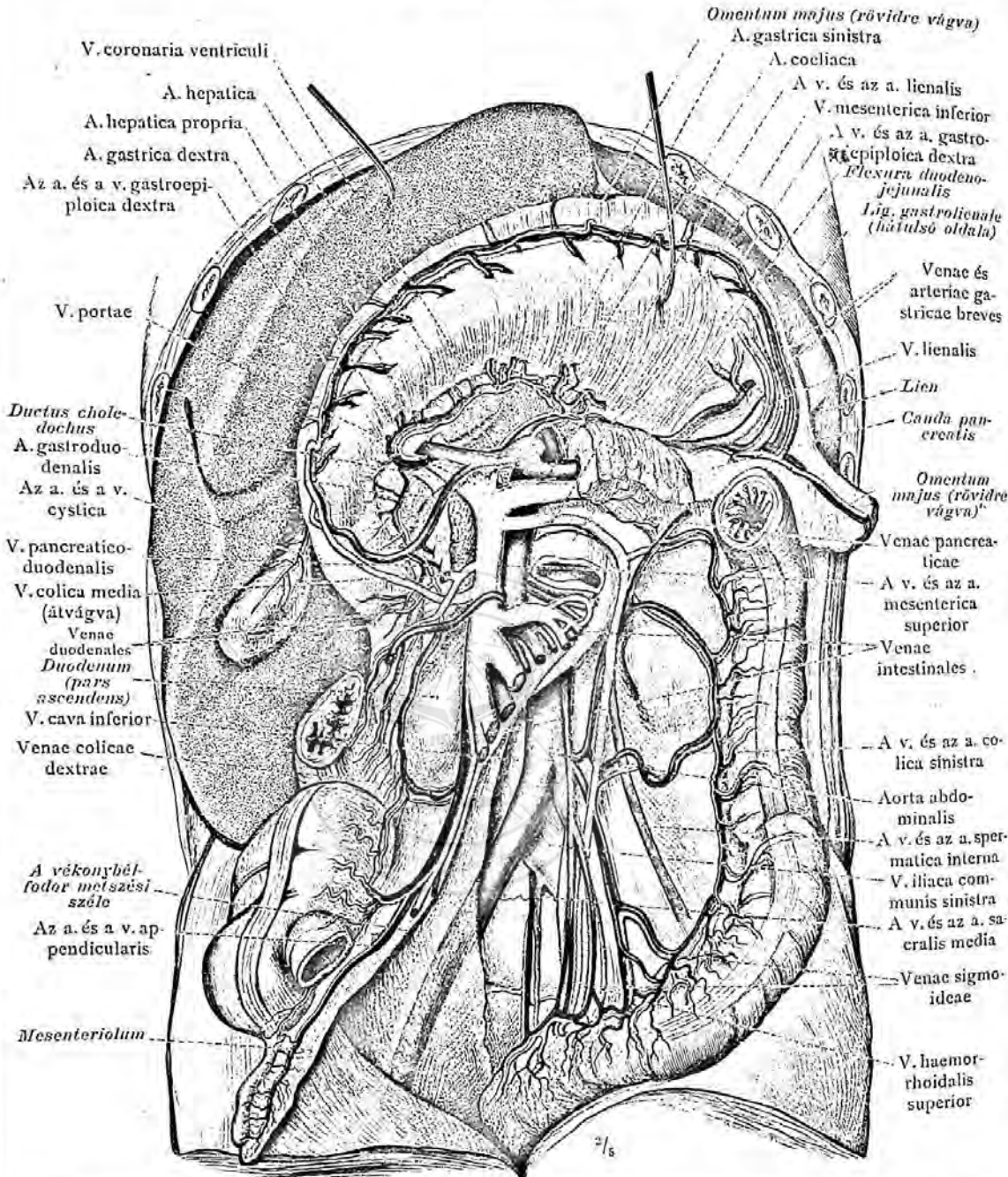




1074. rajz. A méh, a hüvely, a petefészek és a méhkürt gyűjtőerei, hátulról nézve. A v. ovarica, átalakulása a plexus venosus ovaricussá és összefüggése a méh gyűjtőereivel, a venae uterinae-vel és a plexus uterovaginalissal. A v. pudenda interna és összefüggése a bulbus vestibuli mögött fekvő gyűjtőeres fonattal.

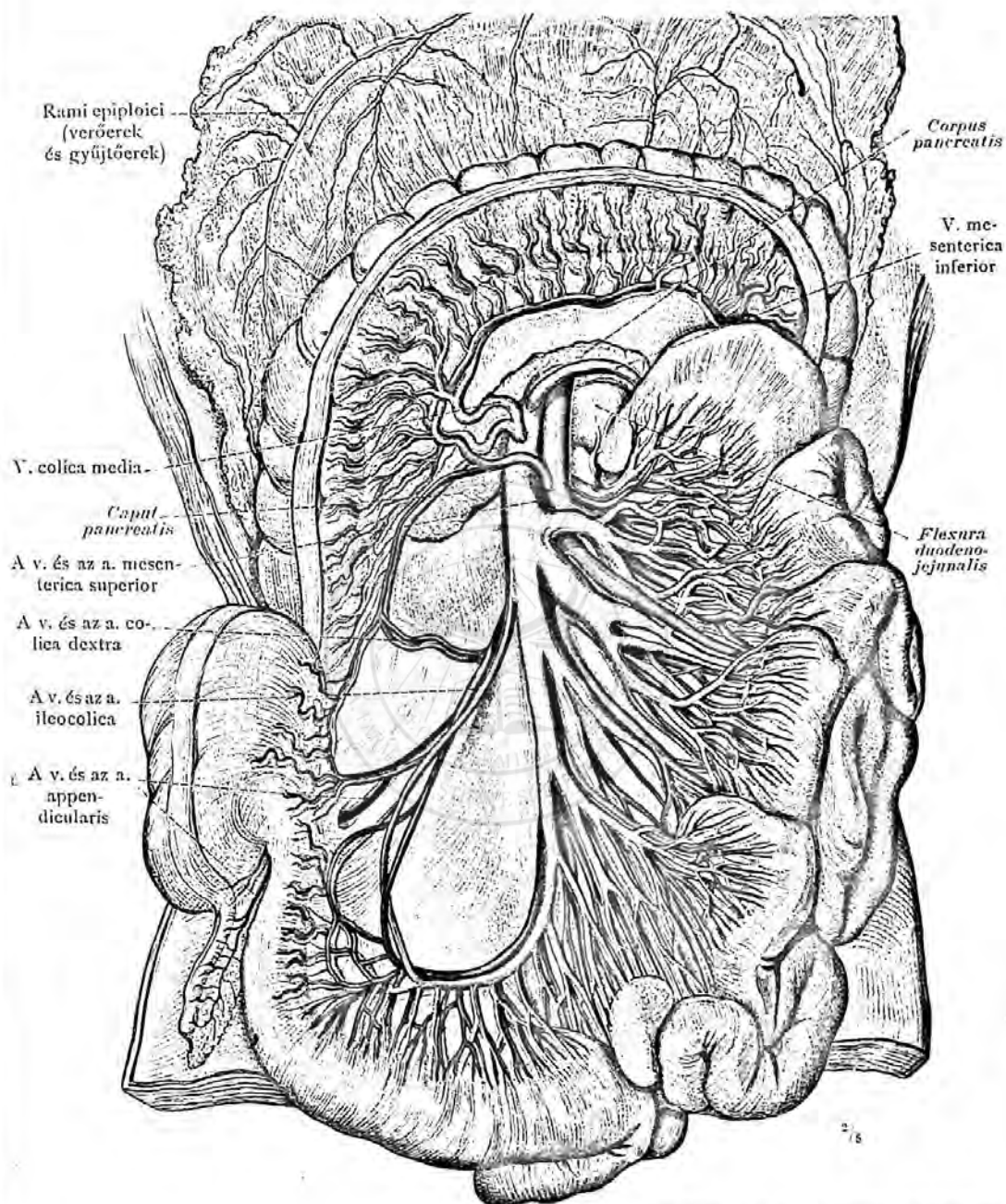
(A medence hátsó falát és a végbelet, a két spina ischiadica mögött haladó homlok-irányú metszéssel eltávolítva és a mesometrium hátsó lemezét lefejtve, a plexus uterovaginalis és a belőle eredő gyűjtőerek láthatók. A méhkürt felfelé húzásával kiterült mesosalpinx látható; a bal petefészek medianteféle húzásával, a plexus venosus ovaricus látható. A vasa iliaca communia, az ureterekkel együtt, mindkét oldalon lateralfelé vannak húzva. A vasa pudenda interna, a fascia obturatoria eltávolításával, a fossa ischio-rectalis oldalsó falán szabadon láthatók.)





1075. rajz. A v. portae, a beléje ömlő venakkal: a. mesenterica superior és inferior, a v. lienalis és a v. coronaria ventriculi.

(A nagy cseplesz a gyomor nagy görbületéről levágva és a gyomor felemelve. Az intestinum jejunum s az intestinum ileum, valamint a colon ascendens felső fele és a colon transversum eltávolítva; a vékonybél-fodor, eredése mentén levágva. A vakbél oldal felé húzásával, a kiterült mesenteriolumban az a. és a v. appendicularis látható. A vakbél pancreas közepső részének eltávolításával, a v. mesenterica superior összefüggése a v. lienalissal látható. Az aorta abdominalis, a v. cava inferior, az a. és a v. sacralis media a peritonaeum parietale eltávolításával látható.)



1076. rajz. A v. mesenterica superior, a beléje ömlő venakkal és a v. mesenterica inferior végdarabja. Elülről nézve. Az intestinum jejunum s az intestinum ileum bélsodrukkal együtt balfelé, a colon és mesocolon transversum a nagy cseplesszel együtt felfelé hajtva.

A vena mesenterica superior.



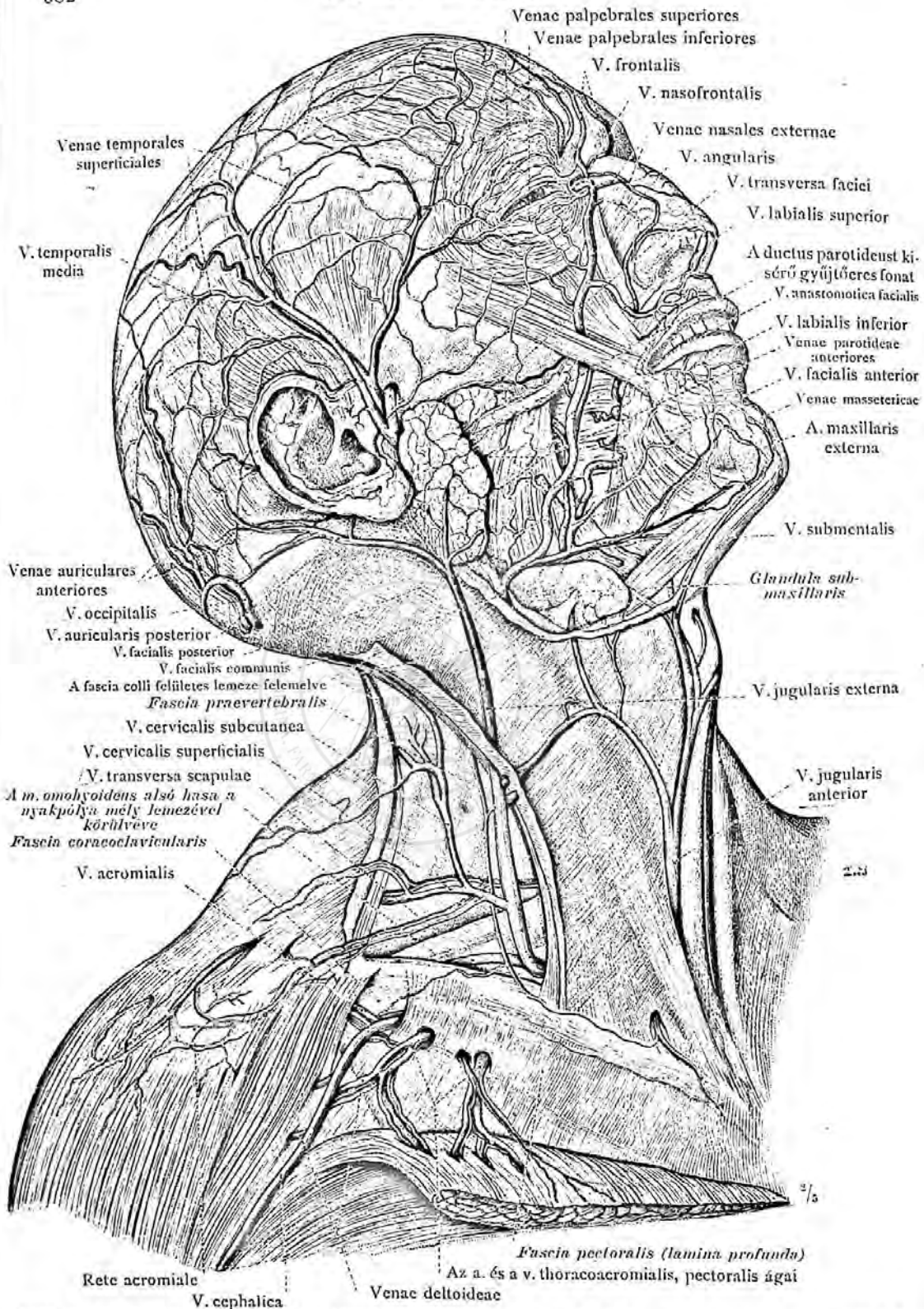
VENAE COLLI ET CAPITIS.

A NYAK ÉS A FEJ  
GYÜJTŐEREI.



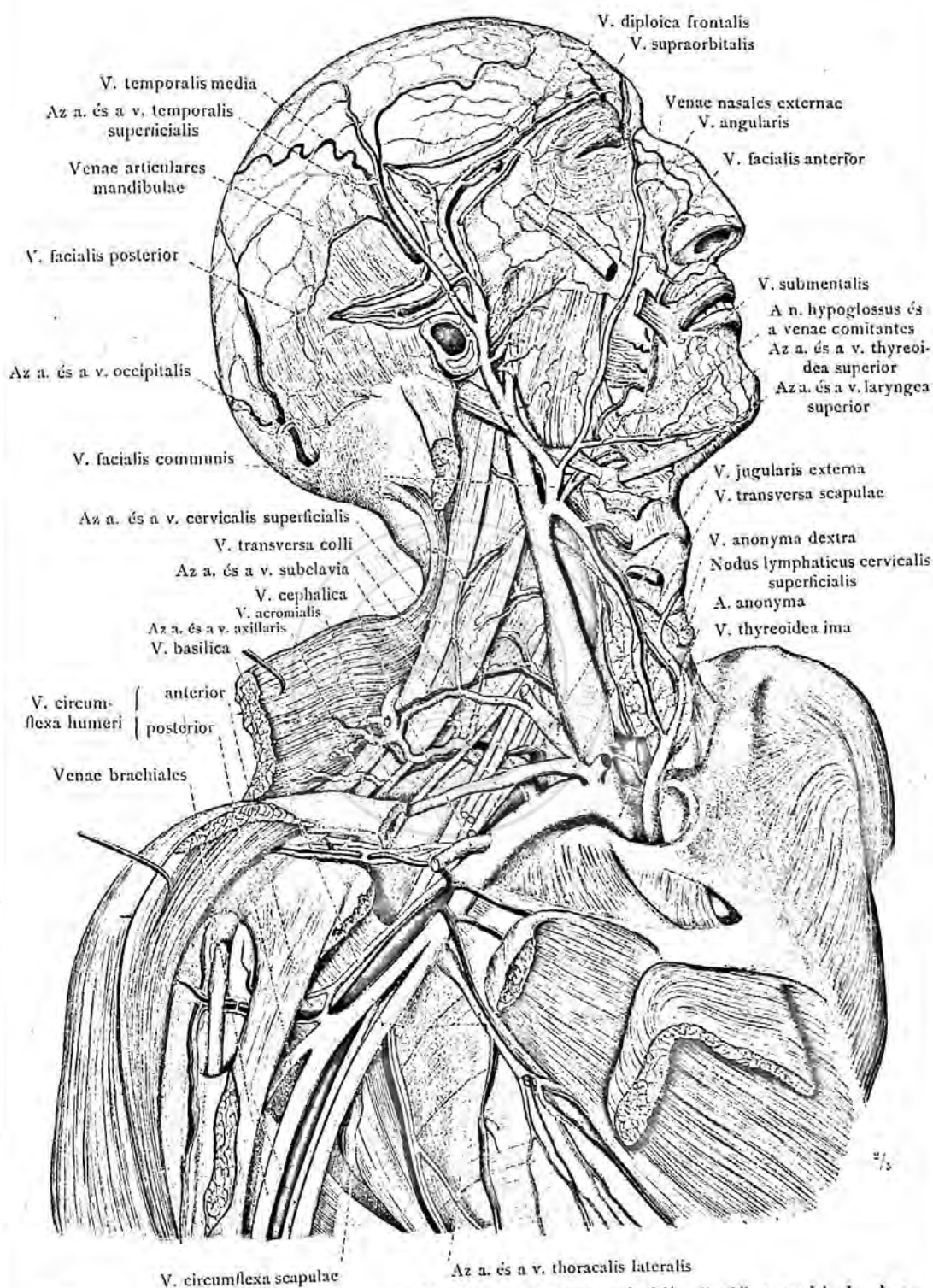


## A nyak és a fej gyűjtőerei.



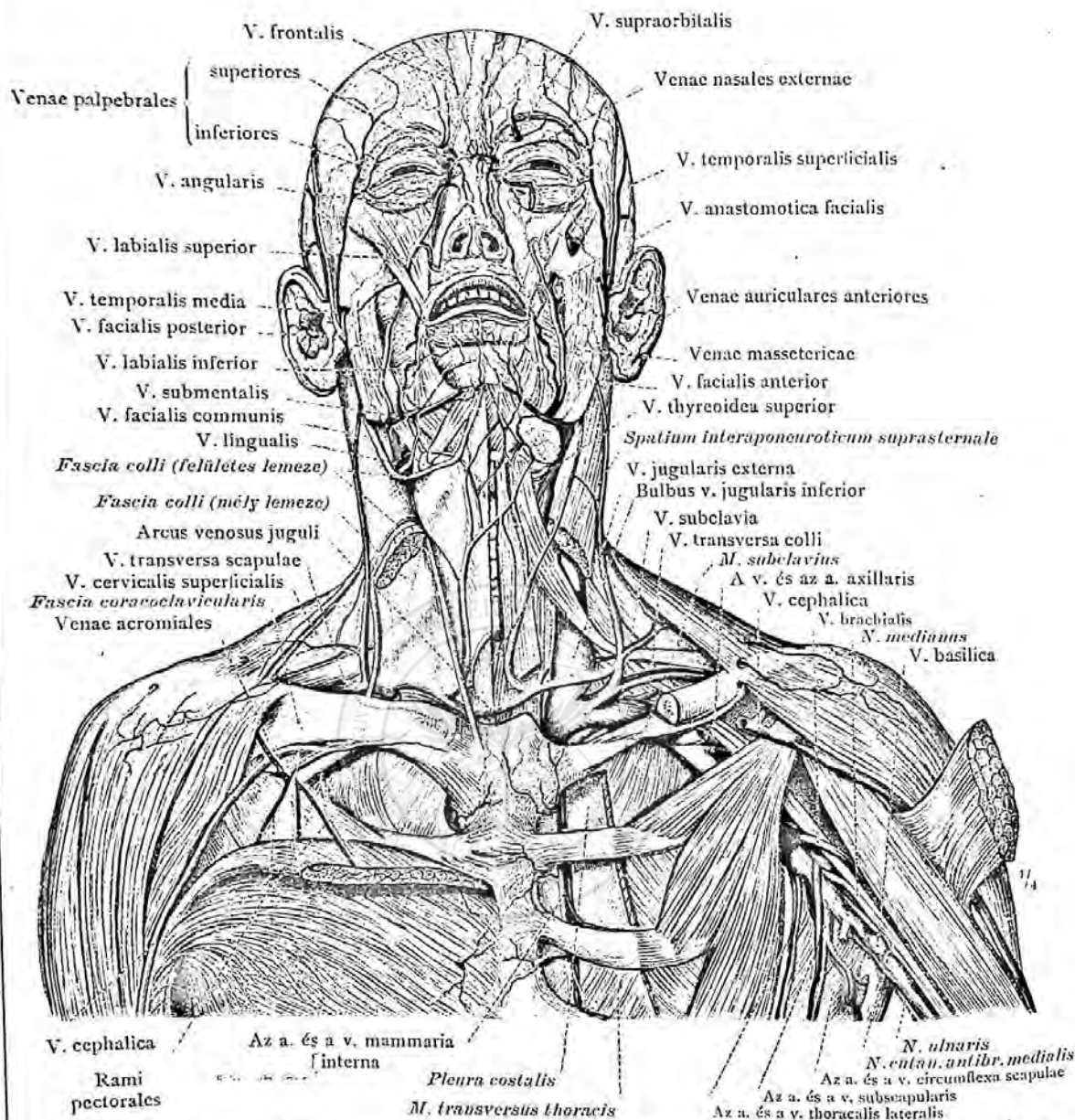
1077. rajz. A fej és a nyak felületes gyűjtőerei; a v. facialis anterior és posterior a beléjük ömlő venakkal; a v. occipitalis; a v. jugularis anterior és a v. jugularis externa; a tarkó bõrgyűjtőere, a v. cervicalis subcutanea.

A fej és a nyak gyűjtőerei.



1078. rajz. A v. facialis anterior; a v. facialis posterior a beléje ömlő venakkal. A v. jugularis interna; a v. axillaris. Jobboldatról és elülről nézve.

A fej, a nyak és a hónalj gyűjtőerei.

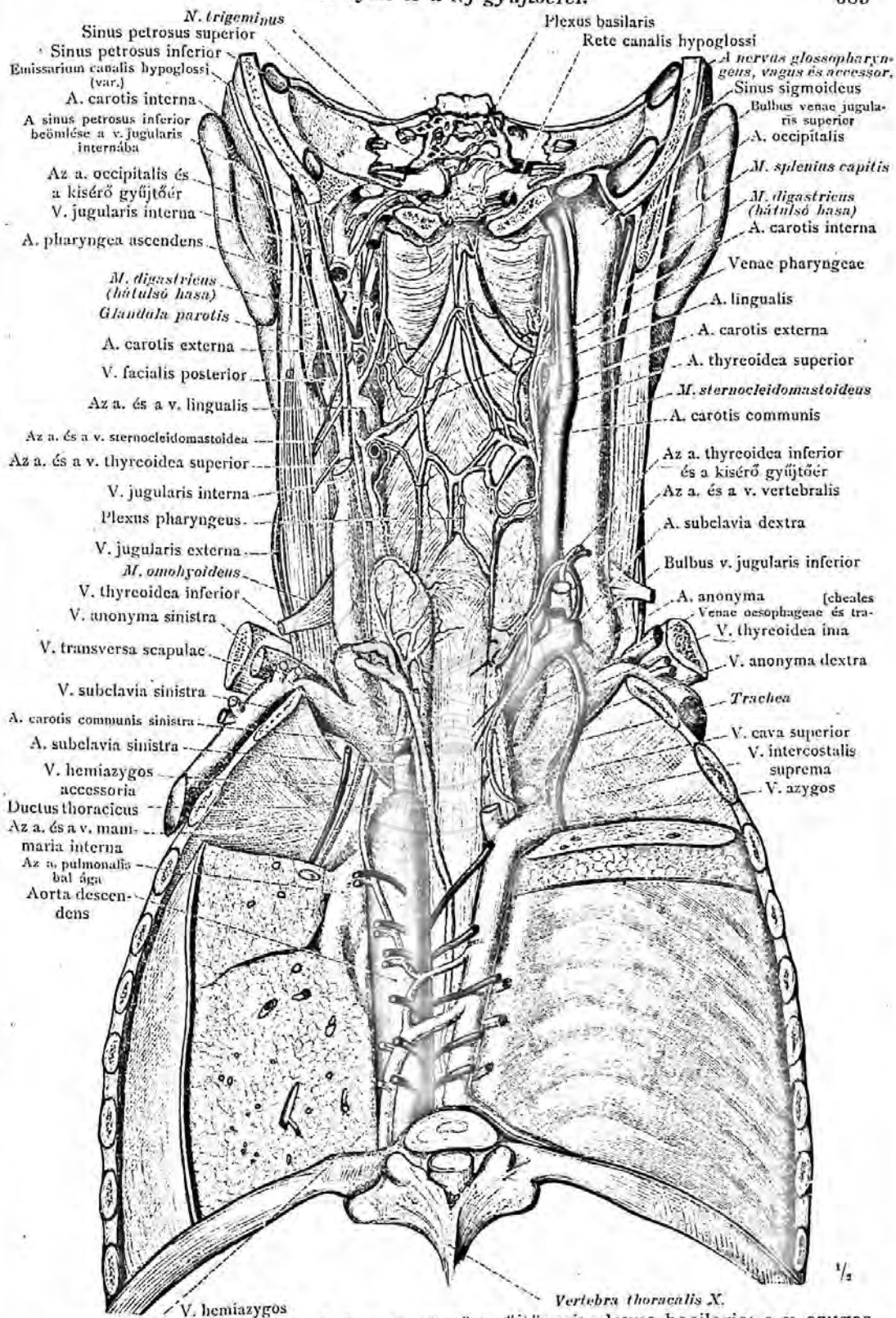


1079. rajz. Az arc felületes gyűjtőerei, a nyak felületes és mély gyűjtőerei s a hónalj gyűjtőerei, elülről nézve.

(A nyak jobboldalán a fascia colli felületes lemezének eltávolításával a fossa submaxillaris, a fossa supraclavicularis major elülső része és a spatium interaponeuroticum suprasternale feltárva. A jobboldali fejszöglet izom alsó felét, a nyakpólyával együtt eltávolítva, az arcus venosus juguli benyílása a v. jugularis externa végébe látható. A baloldalon a nyak pólyáját egészen, a fejszöglet izom alsó felét valamint a kulcscsont sternalis végdarabját eltávolítva, a nagy, mély gyűjtőerek és az angulus venosus látható. A jobboldalon a nagy mellizom pars claviculárisának lehúzásával, a kis mellizom felett a hónalji gyűjtőér látszik. A baloldalon a nagy mellizom eltávolításával a hónaljerek és idegei láthatók. Ugyanezen az oldalon a lig. intercostalis externa és a belső bordaközötti izmok kis részének eltávolításával a vasa mammaria interna a pleura costalison és a m. transversus thoracison, láthatók.)

A fej, a nyak és a hónalj gyűjtőerei.

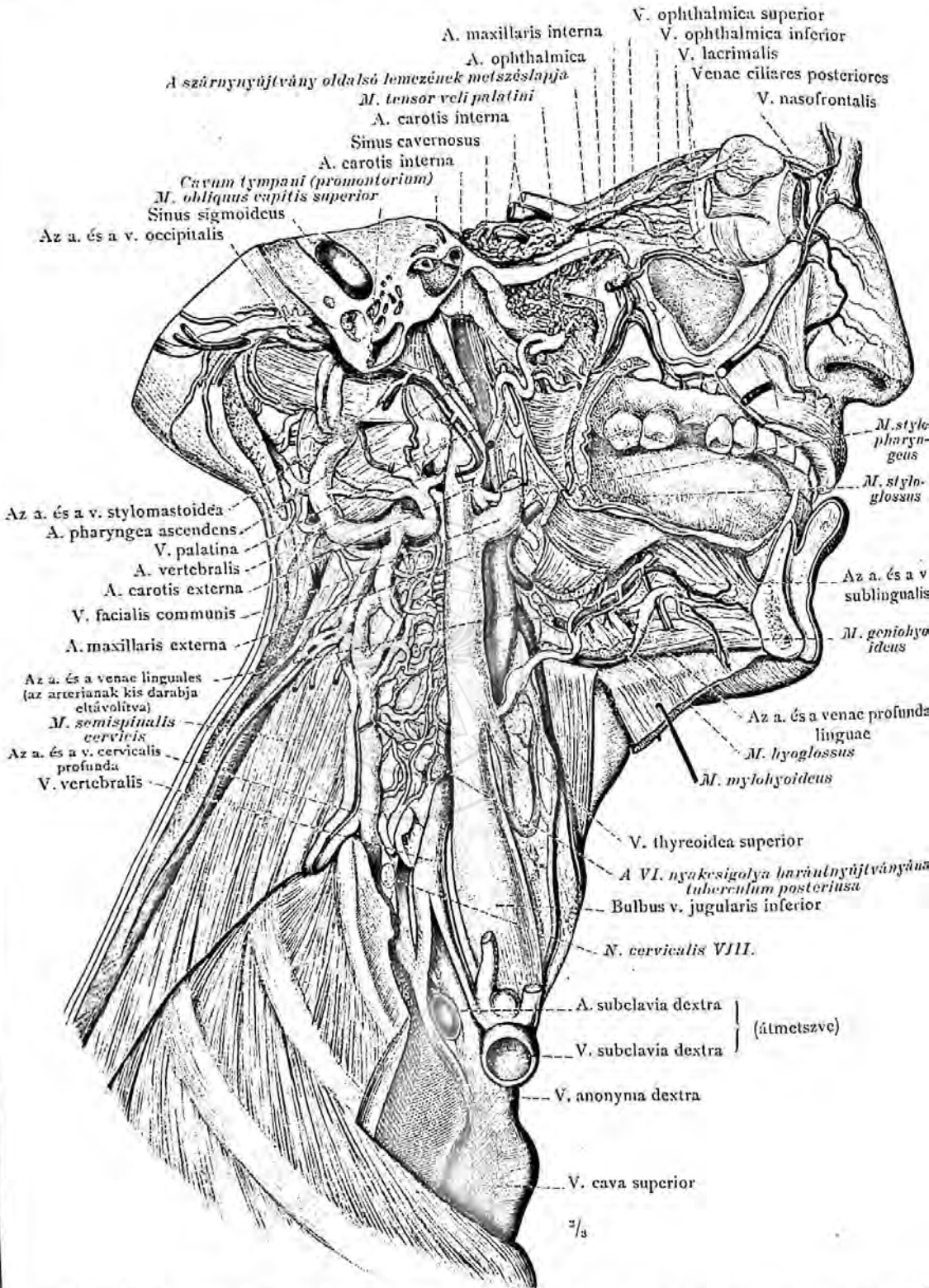




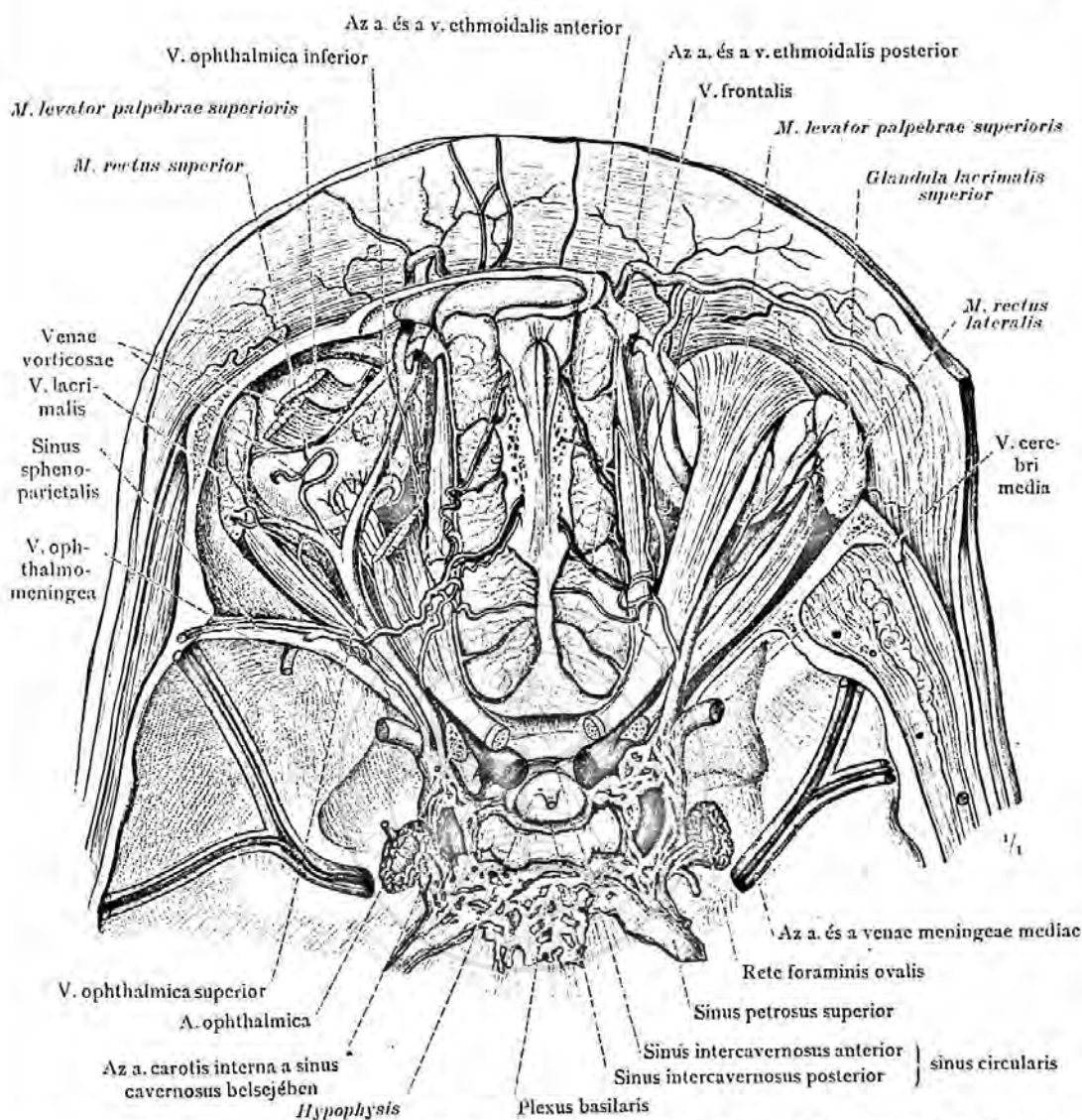
1080. rajz. A-garat, a levegőcső és a nyelőcső gyűjtőerei; plexus basilaris; a v. azygos és a v. hemiazygos; ductus thoracicus. Hátról nézve.

A plexus pharyngeus és a plexus basilaris. — A v. azygos és a v. hemiazygos.





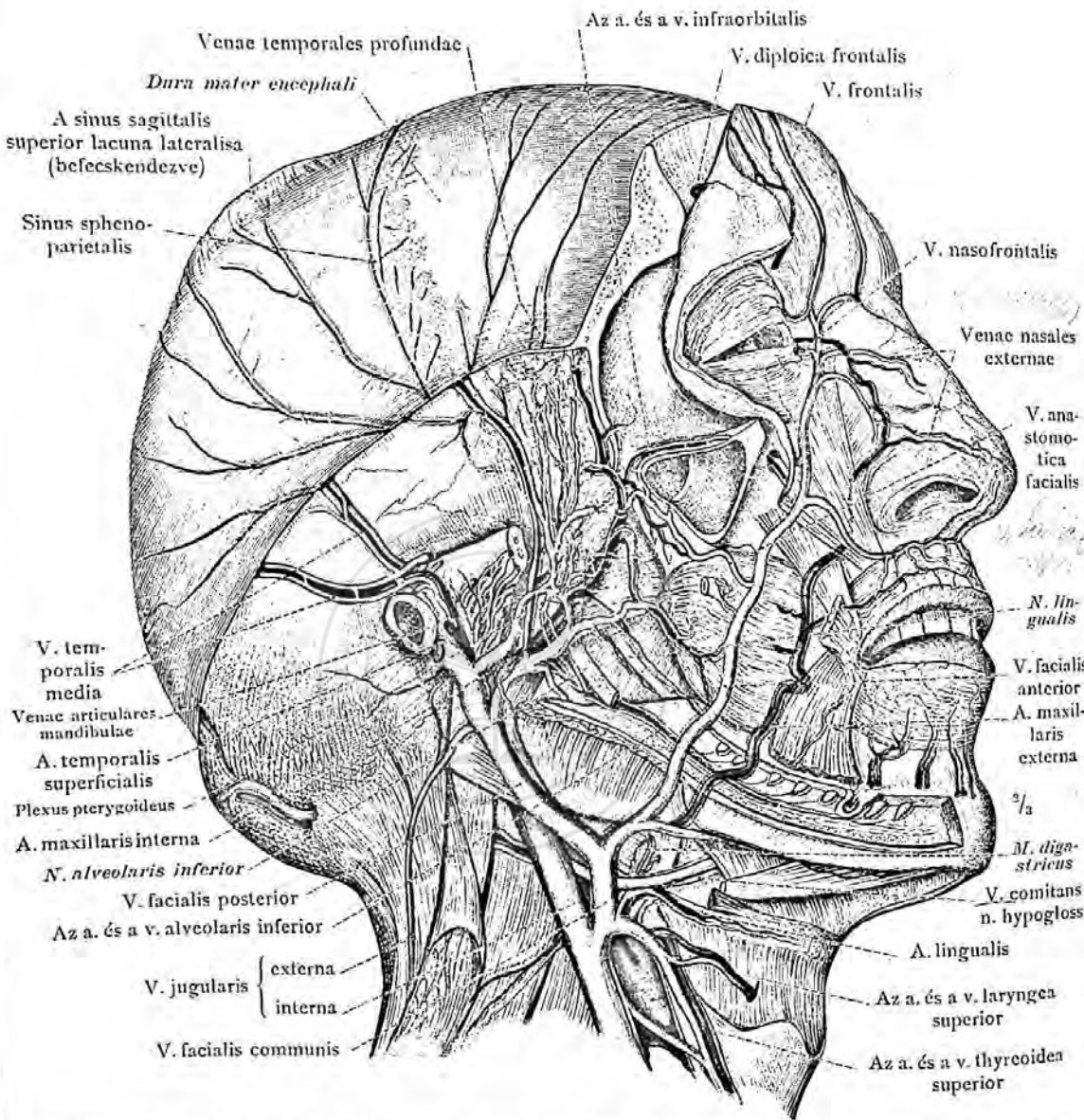
1081. rajz. A szemüreg és a sinus cavernosus gyűjtőerei; a fej és a nyak zsigereinek mély gyűjtőerei; a v. cervicalis profunda és a v. vertebralis. Jobboldalról nézve.



1082. rajz. A szemüreg gyűjtőerei felülről nézve; a v. ophthalmica superior összefüggése a v. ophthalmica inferiorral és beömlése a sinus cavernosusba; a v. ethmoidalis anterior és a v. ethmoidalis posterior; a könnymirigy gyűjtőere, a v. lacrimalis; a vv. vorticosae; az izmokból jövő gyűjtőerek, vv. musculares; a v. ophthalmomeningea, amely ez esetben a sinus sphenoparietalisba ömlik. A sinus cavernosus, a sinus intercavernosus anterior és posterior, melyek a kétoldali sinus cavernosussal a köralakú sinus circularist alkotják. A plexus basilaris. Az a. meningeae media és a kísérő gyűjtőerek (vv. meningeae mediae).

(Mind a két szemüreg teteje, a jobboldalnak azonkívül az oldalsó fala is, legnagyobb részt eltávolítva; a jobboldali szem összes izmai megtartva; a baloldalon a m. levator palpebrae superioris és a m. rectus superior részeinek eltávolításával, a v. ophthalmica superior teljes lefutása látható. A baloldalon a dura materben, amely az ékcsont eltávolított kis szárnyának alsó oldalát borította, a sinus sphenoparietalis látható és beömléséig a sinus cavernosusba követhető.)

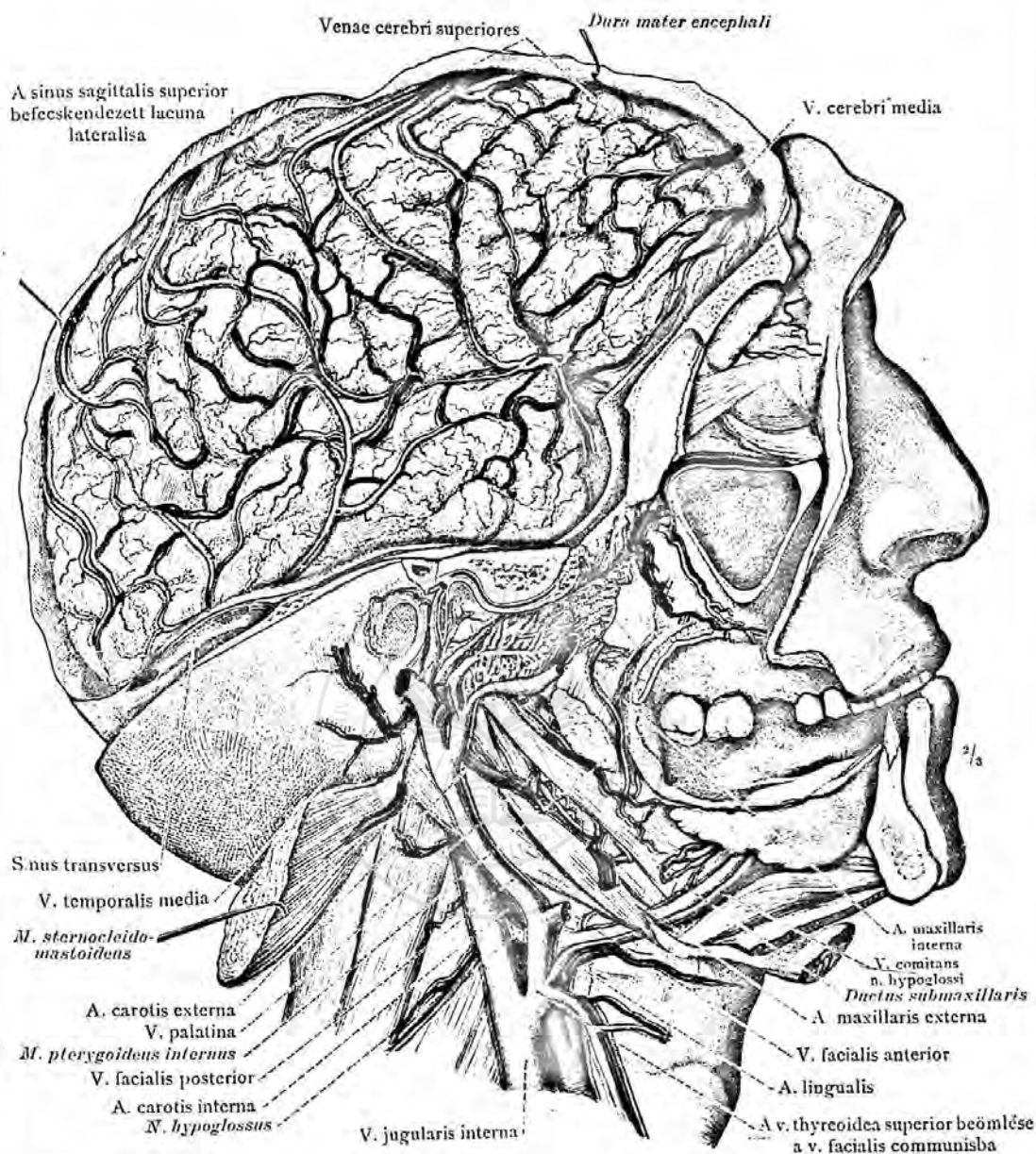
A szemüreg gyűjtőerei. — A sinus cavernosus és a sinus circularis.



1083. rajz. A v. facialis communis a beléje ömlő v. facialis anteriorral és a v. facialis posteriorral. A plexus pterygoideus; az állkapocs és a kemény agyvelőburok gyűjtőerei, venae meningeae mediae. Jobboldalról nézve.

(A koponyatető nagy részének eltávolításával a dura mater encephali látható. A járomívet, az állkapocs ágának felső részét, az állkapocs fejecskéje kivételével eltávolítva, valamint a m. temporalis és a m. masseter eltávolításával, a plexus pterygoideus látható. A canalis mandibulae megnyitásával, az a. alveolaris inferior, fonatszerű gyűjtőereivel látható.)

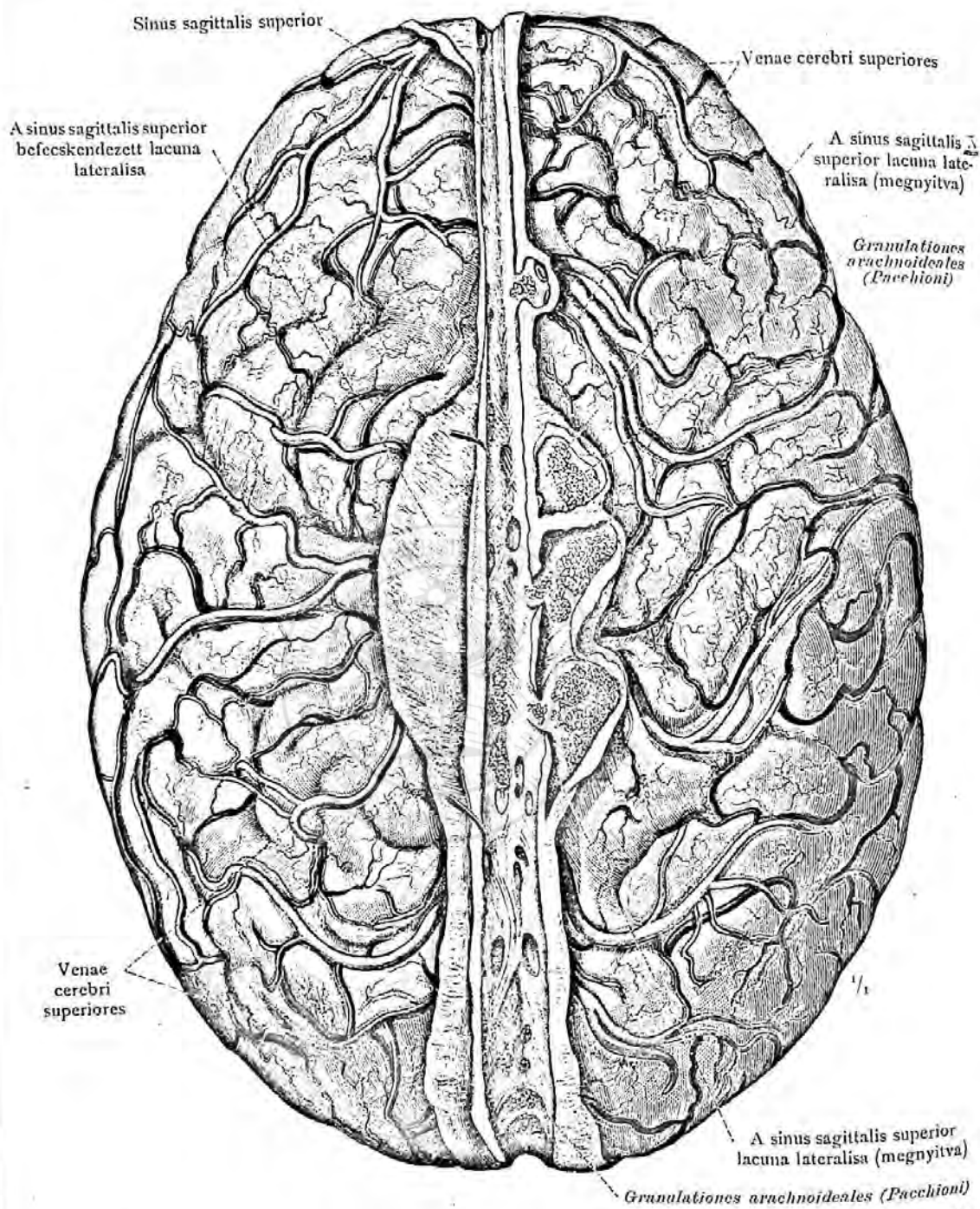




1084. rajz. A nagyagyvelő gyűjtőerei, a hemispharak domború oldalán, a vv. cerebri superiores és beömléseik a kemény agyburok sinusaiba; a v. cerebri media. Az a. maxillaris interna ebben az esetben, a helyett hogy a m. pterygoideus externus lateralis oldalán haladna, az izom medialis oldalán halad, a plexus venosus pterygoideus mély részével körülvéve; a plexus venosus erősebb mint rendesen. Jobb oldalról nézve. (A koponyatető és a dura mater encephali teljes eltávolításával, a nagyagyvelő hemispharajának domború oldalán a gyűjtőerek és beömlésük a sinus sagittalis superior lacuna lateralisába láthatók. Az állkapocs jobb fele teljesen eltávolítva. A m. pterygoideus externus felső fejének kis része, a m. pterygoideus internusnak a cranialis vége megtartva.)

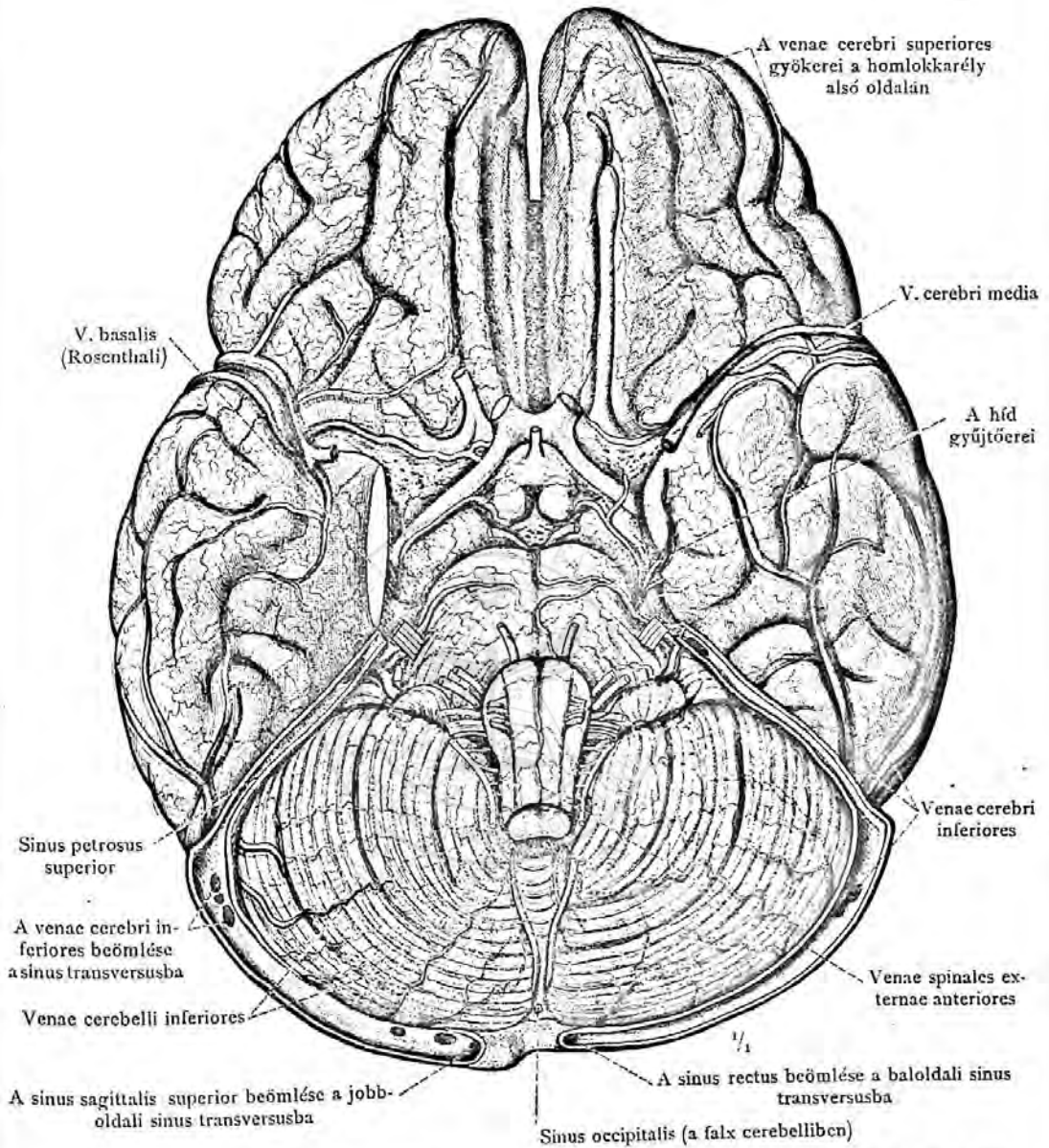
A plexus pterygoideus. — Az agyvelő gyűjtőerei.





1085. rajz. A venae cerebri superiores. A sinus sagittalis superior lacuna lateraliséi és ezeknek viszonya az agyvelő gyűjtőereihez és a Pacchioni-szemcsékhez, granulationes arachnoideales. Felülről nézve.

(A dura mater encephali, a megnyitott sinus sagittalis két oldalán eltávolítva. A baloldalon a sinus sagittalis befeckendezett lacuna lateralis, a jobboldalon pedig a megnyitott lacunak és bennök a Pacchioni-granulatiok láthatók.)




1086. rajz. Az agyvelő alapjának gyűjtőerei: a v. cerebri media; a venae cerebri inferiores; a v. basalis, a Rosenthal-gyűjtőér törzse és gyökerei; a híd gyűjtőerei és a kisagyvelő alsó gyűjtőerei, venae cerebelli inferiores.

(Az agyvelő a tentorium cerebellivel; a sinus transversus és a két sinus petrosus superior alutól megnyitva. A homlokkarék széthúzásával az agyvelő medialis oldalának gyűjtőerei is láthatók. A jobb halántékkarék a pedunculus cerebritól elhúzva és kis részének levágásával a v. basalis, a Rosenthal-gyűjtőér, látható.)

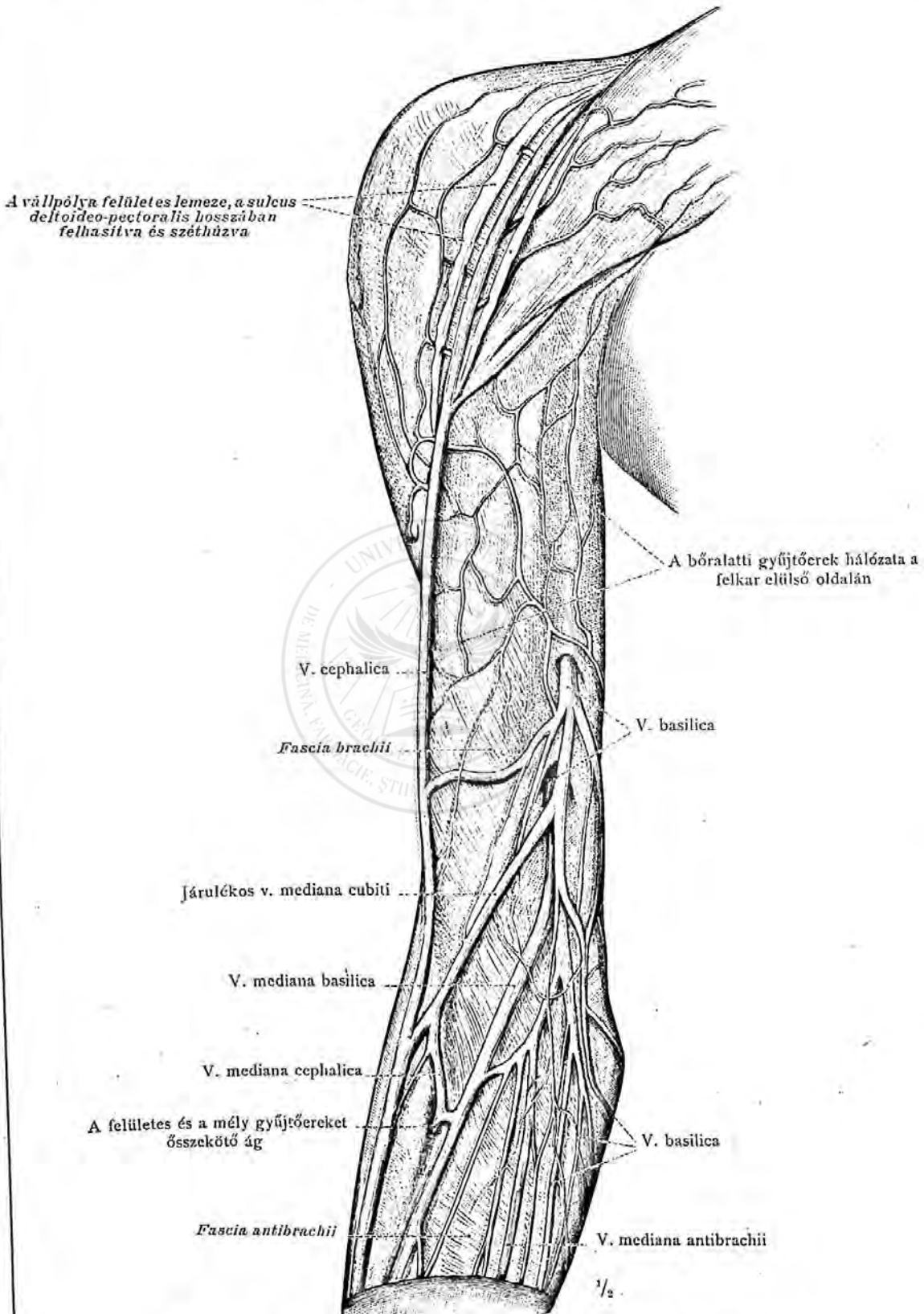
Az agyvelő gyűjtőerei.



VENAE EXTREMITATUM  
SUPERIORUM ET INFERIORUM.  
AZ ALSÓ ÉS A FELSŐ VÉG TAG  
GYÜJTŐEREI.

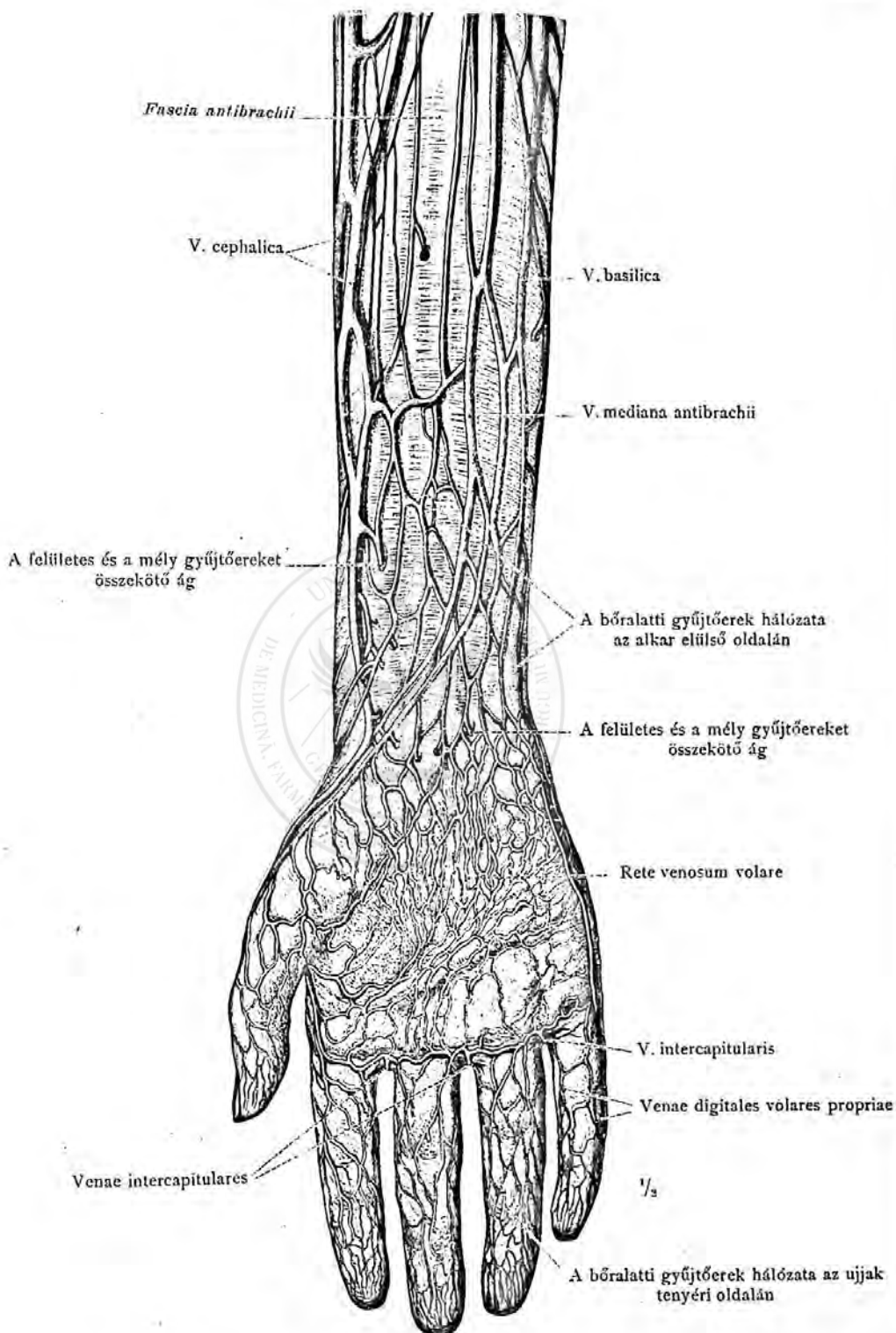






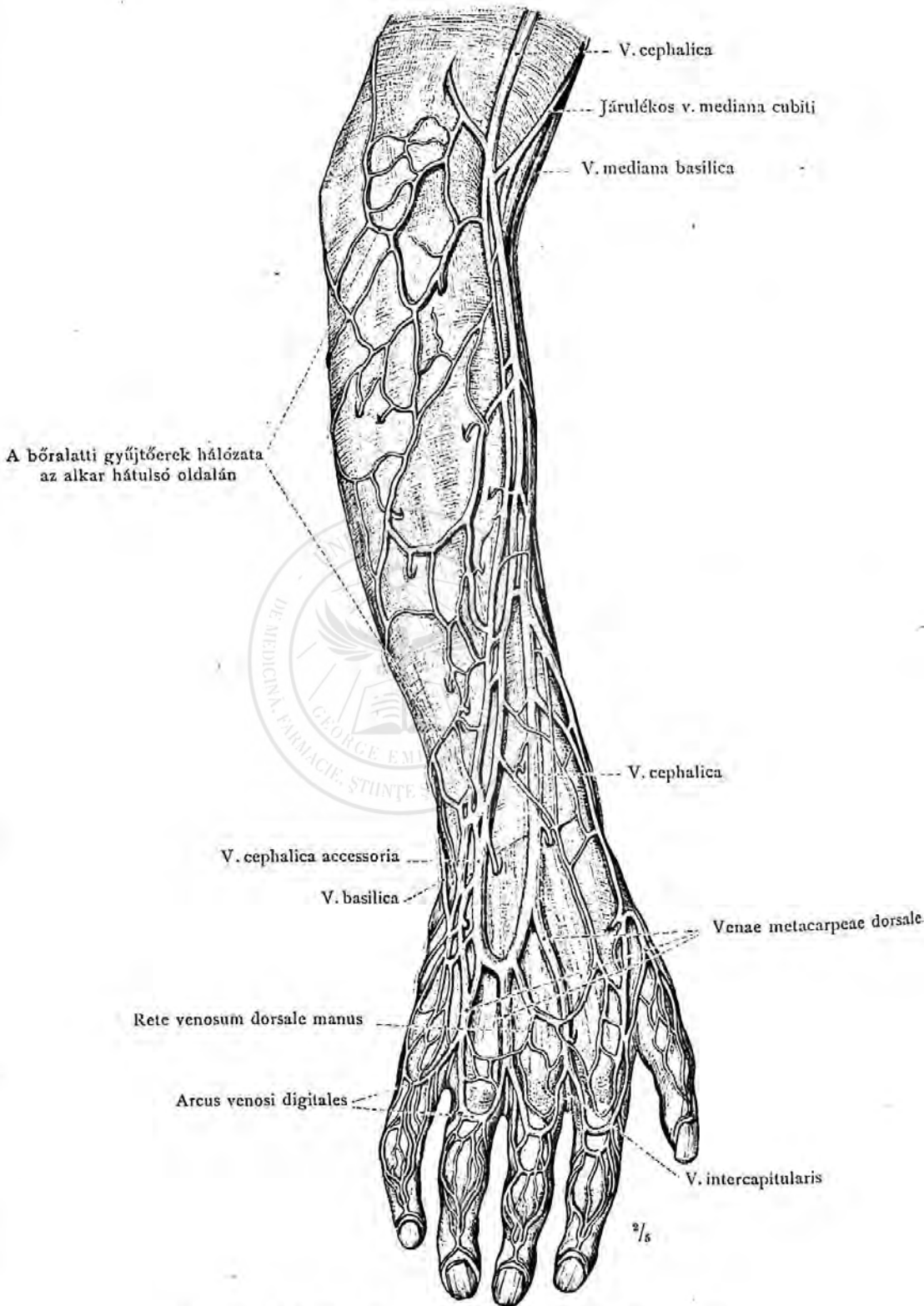
1087. rajz. A váll, a felkar és a könyökhajlat elülső bőrgyűjtőerei.

A kar bőrgyűjtőerei.



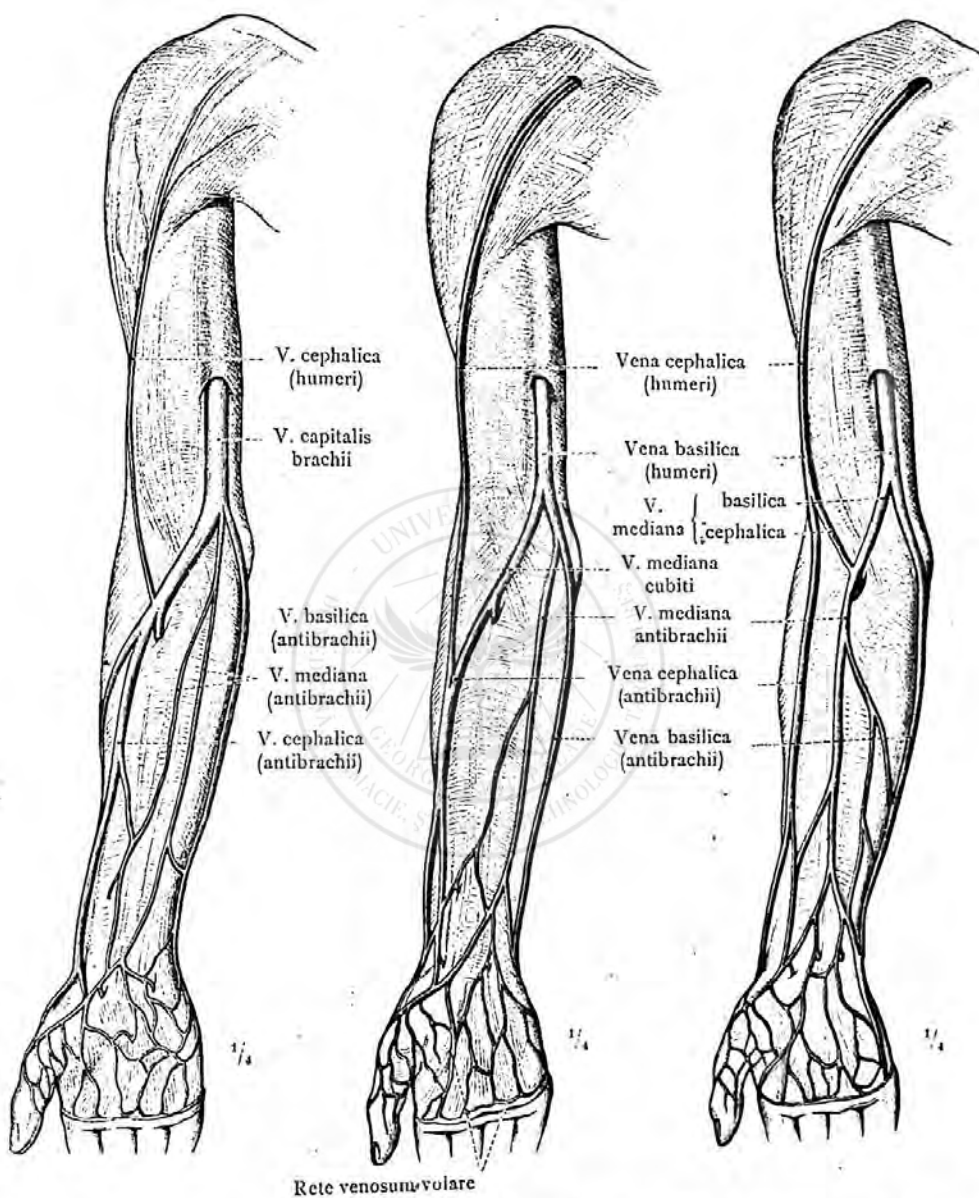
1088. rajz. Az alkar elülső oldalának és a tenyérnek bőrgyűjtőerei.

A kar bőrgyűjtőerei.



1089. rajz. Az alkar és a kéz háti oldalának bőrgyűjtőerei.

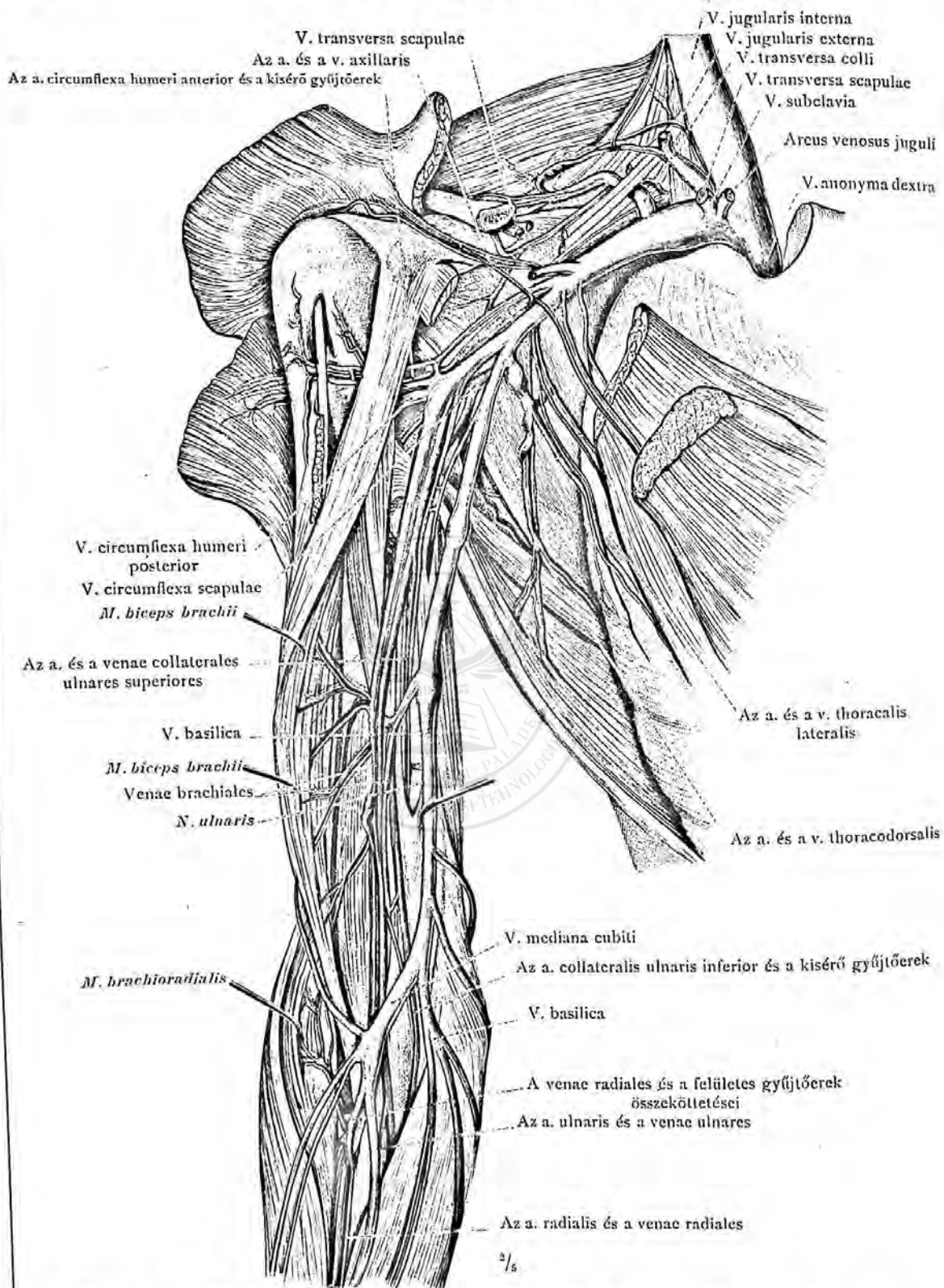
A kar bőrgyűjtőerei.



1090. rajz. A kar bõrgyűjtõereinek gyakoribb változatai, a v. capitalis brachii (Bardleben) és collateralis ágai.

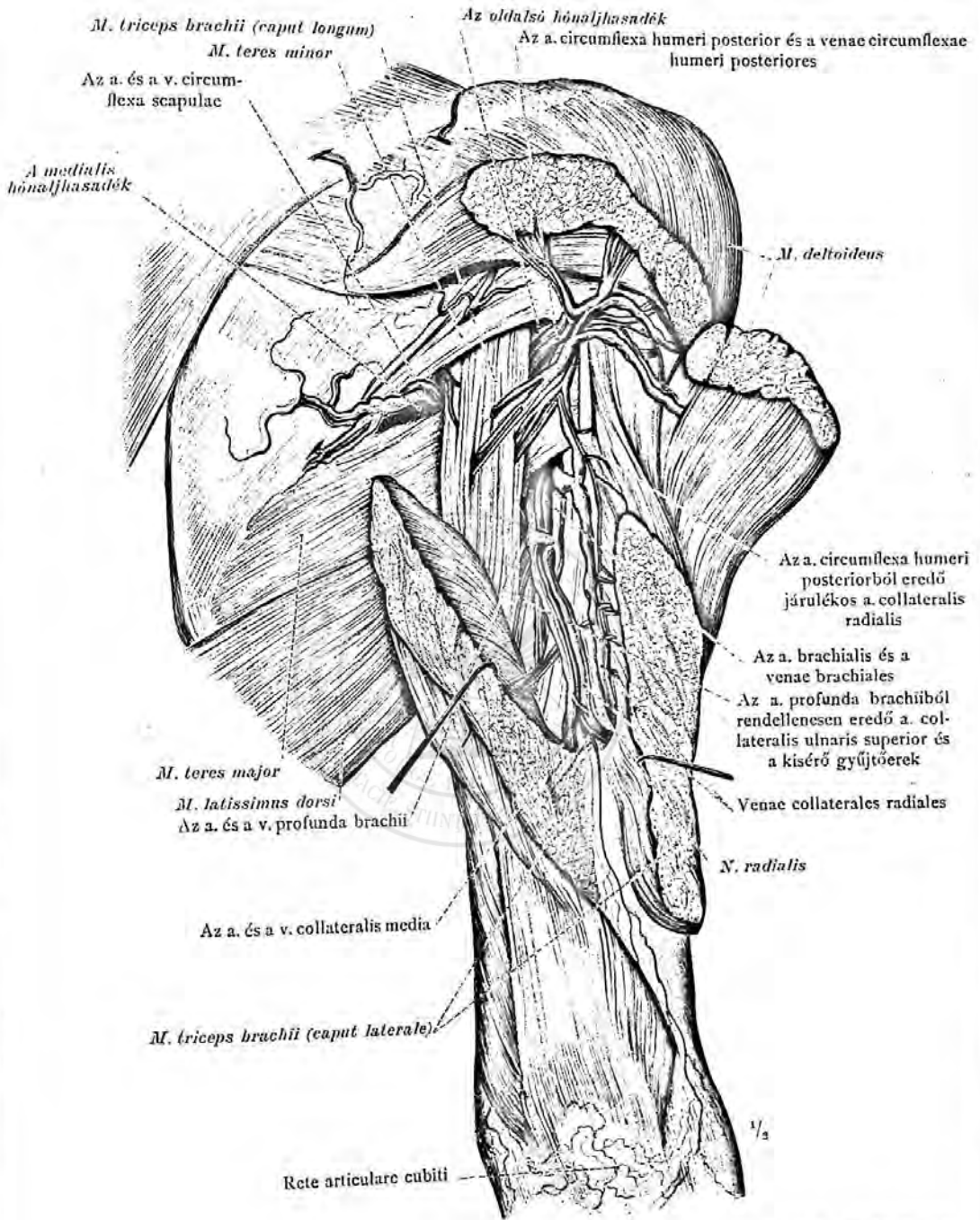
A kar bõrgyűjtõerei.





1091. rajz. A fossa supraclavicularis major, a hónaljárok és a felkar elülső oldalának mély gyűjtőerei és verőerei; a könyökhajlat felületes és mély gyűjtőereinek összefüggése.

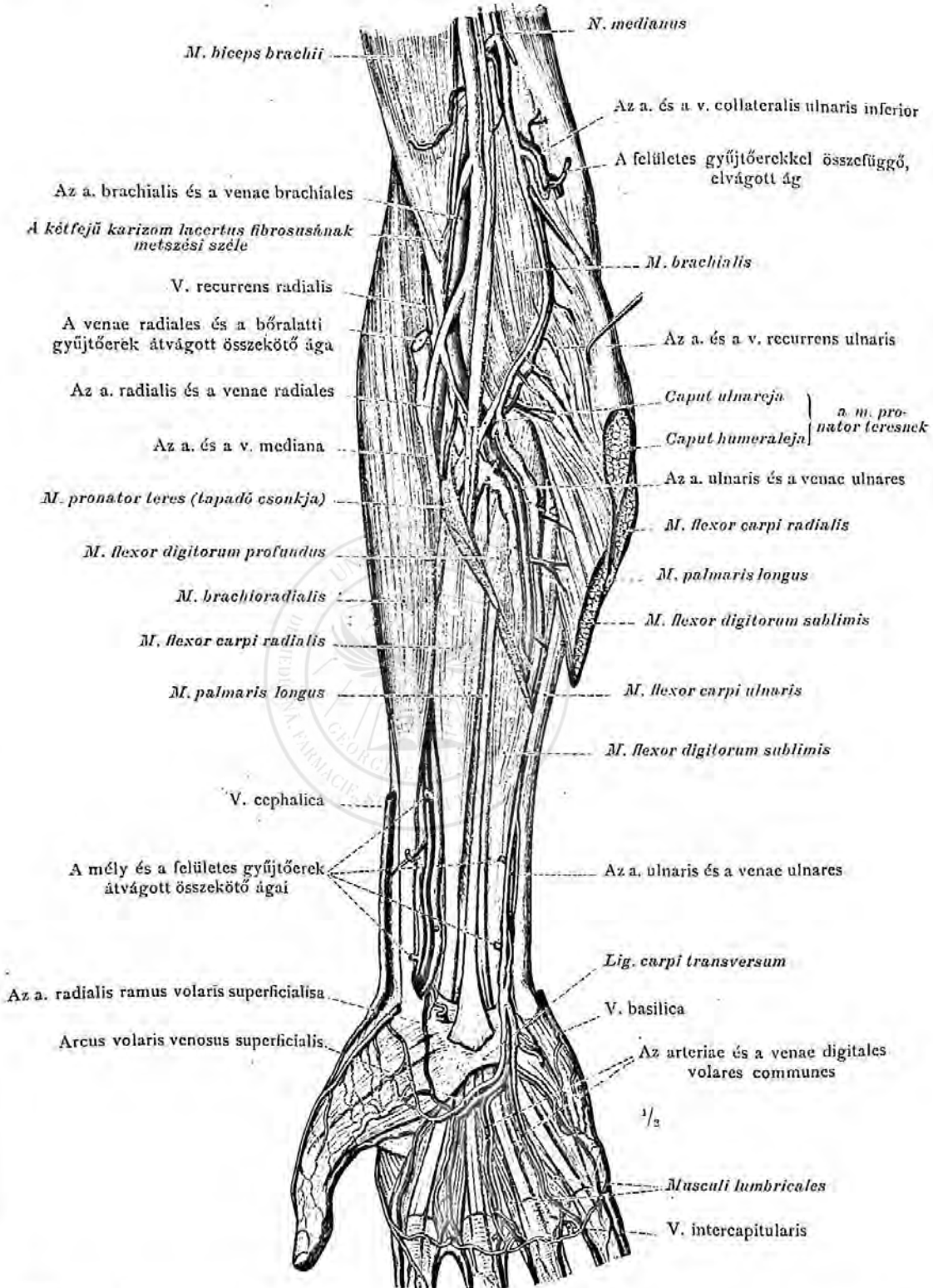
A hónaljárok és a felkar mély gyűjtőerei.



1092. rajz. A jobb váll és a jobb felkar hátulsó oldalának mély verőerei és gyűjtőerei. (A deltaizom hátulsó szélét bevágva és széthúzva, a m. teres minor-t kissé felfelé húzva, a két hónaljhasadékon áthaladó erek láthatók. A m. triceps brachii oldalsó fejét hosszabban felhasítva és széthúzva, a vasa profunda brachii ágai láthatók.)

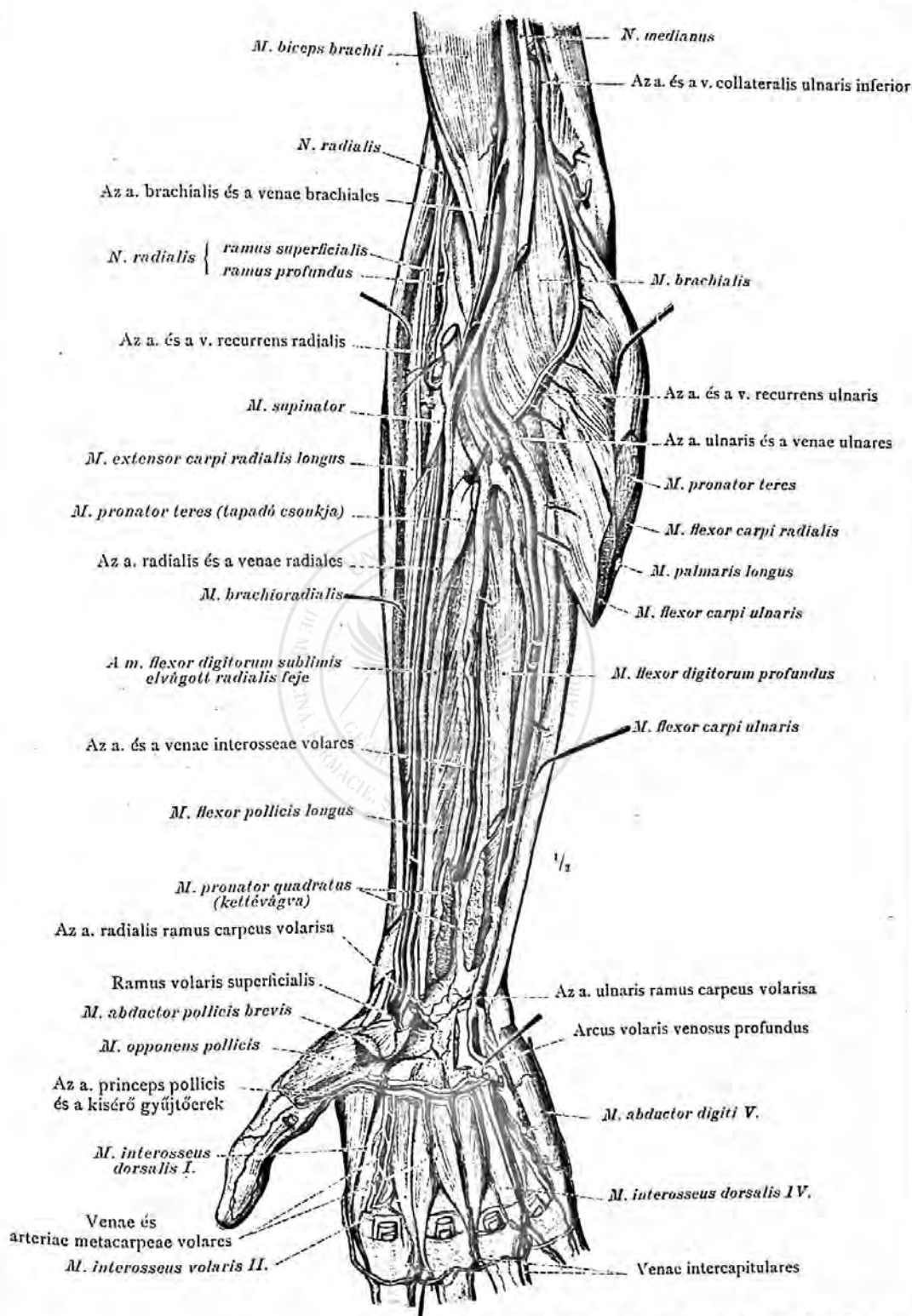
A váll és a felkar mély gyűjtőerei.

A felső végtag gyűjtőerei.



1093. rajz. A könyökárok s az alkar elülső oldalának mély gyűjtőerei és verőerei; a felületes verőeres és gyűjtőeres tenyéri ív.

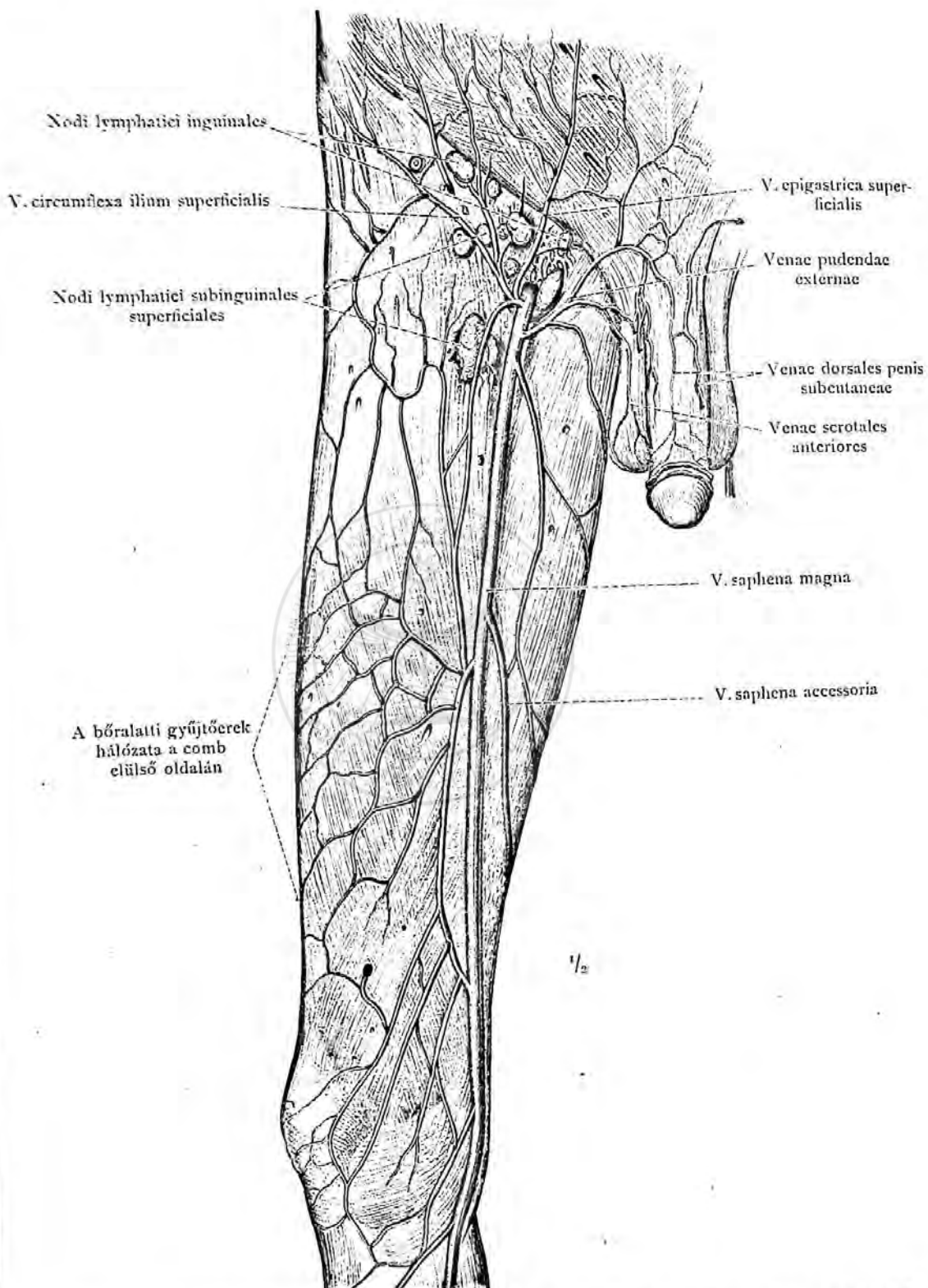
Az alkar és a tenyér mély gyűjtőerei.



1094. rajz. A könyökárok és az alkar elülső oldalának mély gyűjtőerei és verőerei; a tenyér mély verőeres és gyűjtőeres íve.

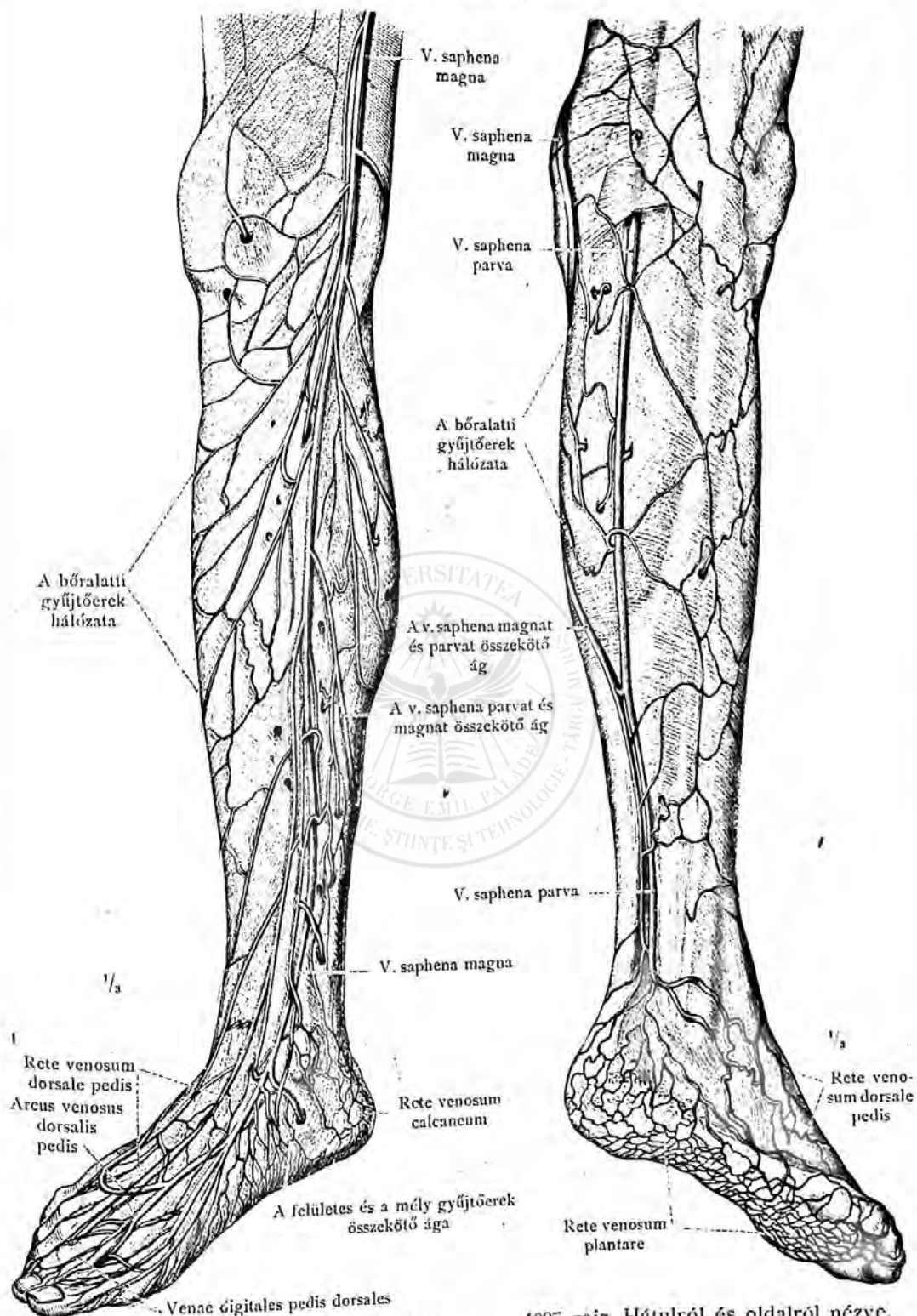
Az alkar és a tenyér mély gyűjtőerei.





1095. rajz. A comb elülső és medialis oldalának, a hasfal alsó darabjának és a férfi külső nemi szerveinek bőrgyűjtőerei. A v. saphena magna és a v. saphena accessoria. A lágyék és a lágyékalatti tájék felületes nyirokesomói.

Az alsó végtag bőrgyűjtőerei.

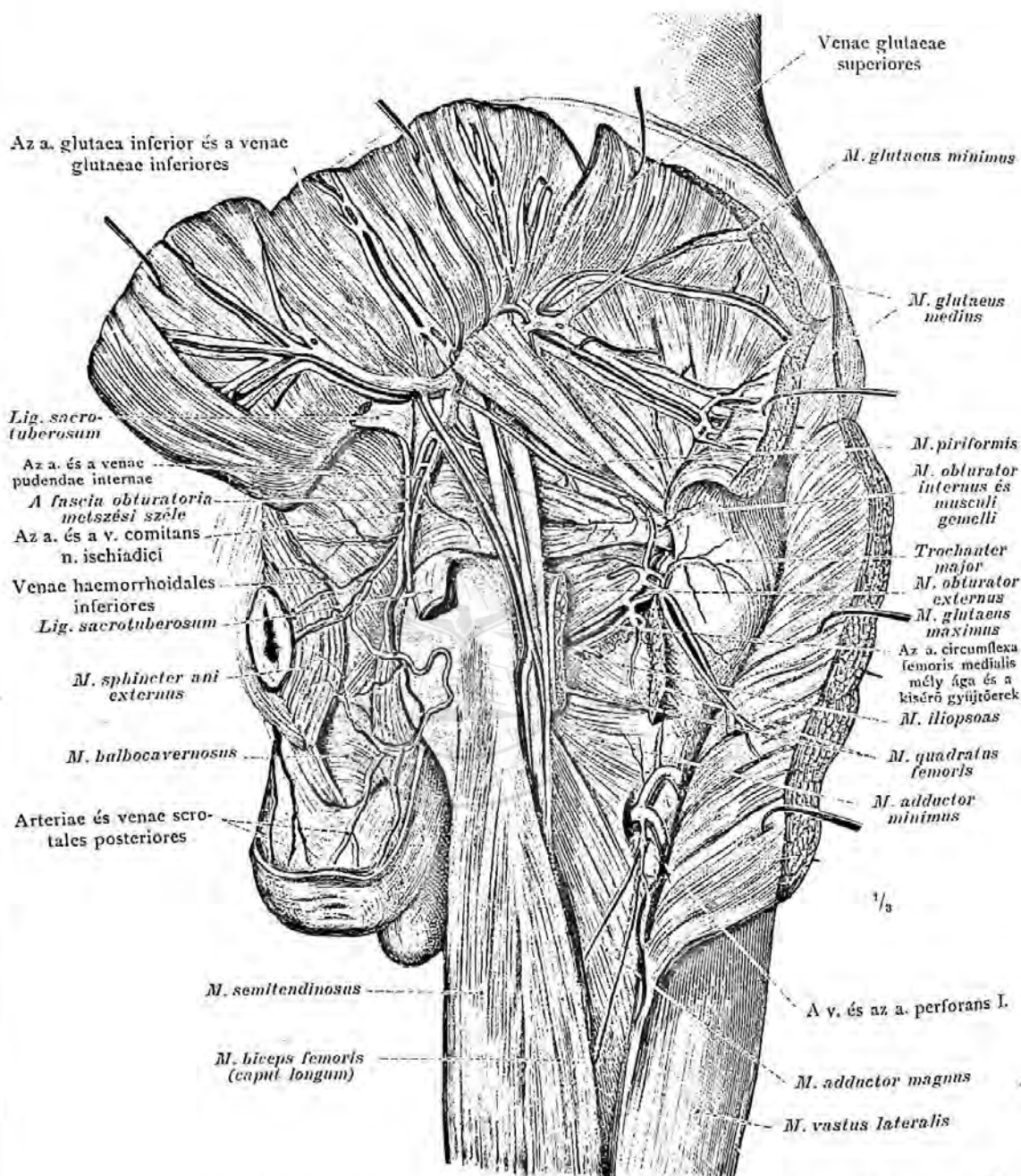


1096. rajz. Elülről és medialis oldalról nézve.

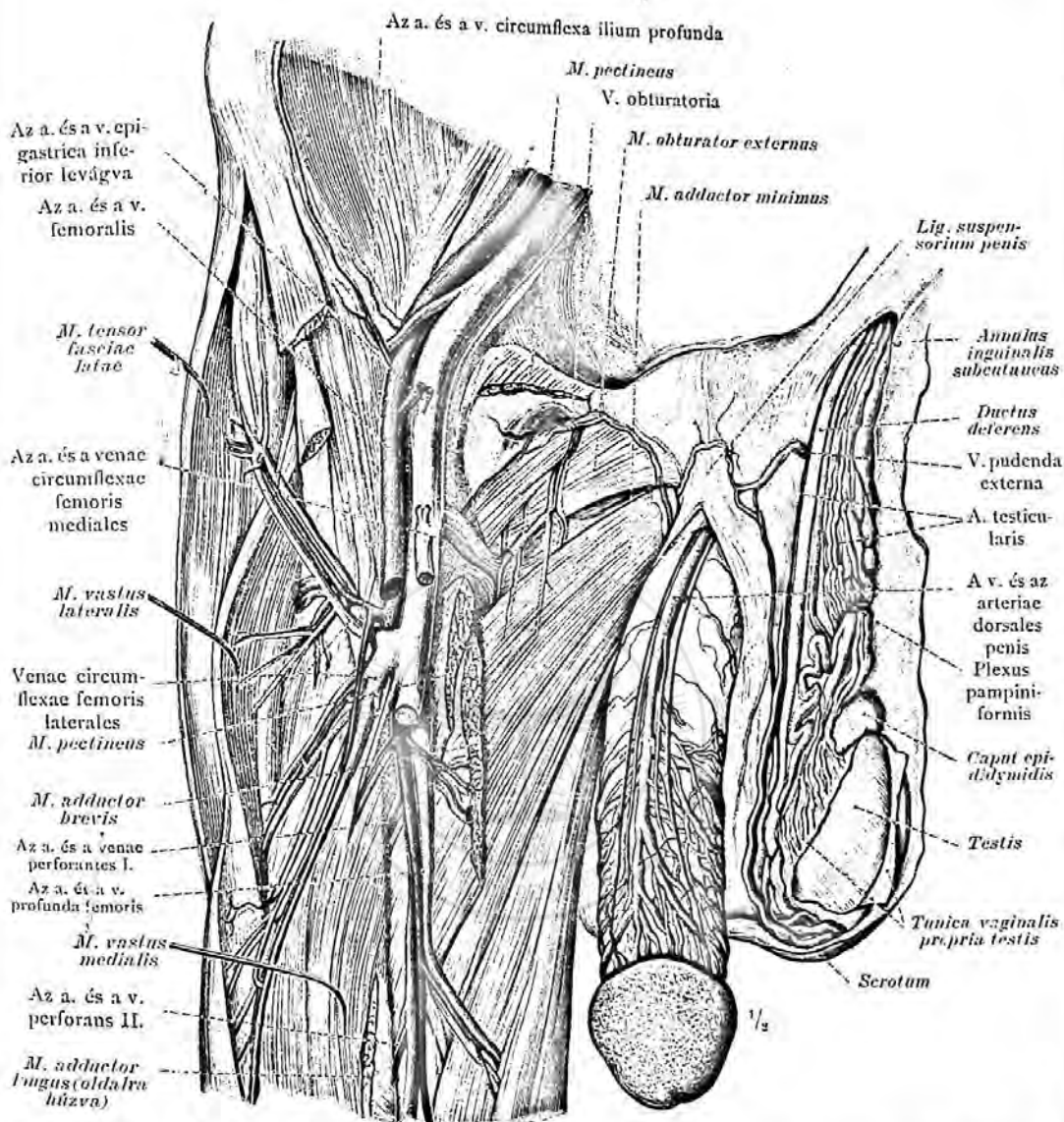
1097. rajz. Hátulról és oldalról nézve.

Az lábszár és a lábak bőrgyűjtőerei. A vena saphena magna és a v. saphena parva gyökereikkel.

Az alsó végtag bőrgyűjtőerei.



1098. rajz. A jobboldali fartájék és a fossa ischiorectalis mély gyűjtőerei és verőerei, a herezacskó hátulsó oldalának felületes ereivel. (A nagy és a középső farizom, valamint a ligamentum sacrotuberosum átvágva és széthajtva; a m. quadratus femoris részben eltávolítva.)



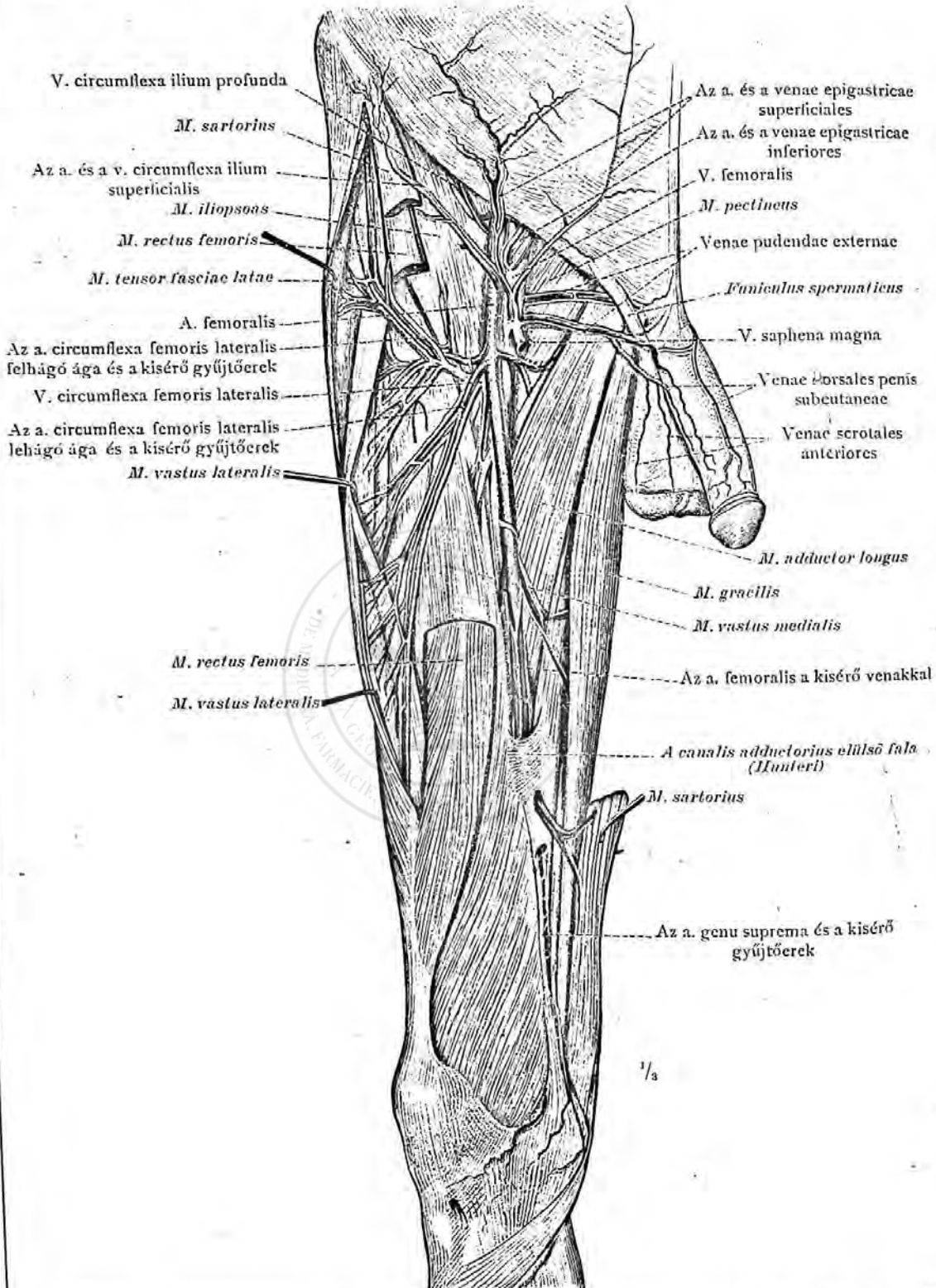
Az a. és v. profunda femoris vége

1099. rajz. Az a. és a v. profunda femoris ágai, a vasa obturatoria, a penis hátának erei és a here gyűjtőerei.

(Az elülső hasfal a lágyékszállaggal eltávolítva; a m. pectineus, a m. adductor brevis és a m. adductor longus nagy részének levágásával a vasa obturatoria és a vasa circumflexa femoris medialis láthatók. A jobboldalon a here és az ondószinór el van távolítva, baloldalon a plexus pampiniformissal meg van tartva. A penisen, mely a távolítva, baloldalon a plexus pampiniformissal meg van tartva, a mély v. dorsalisson keresztül és a corpus cavernosumba szűrással van belövelve, a mély háti erek láthatók.)

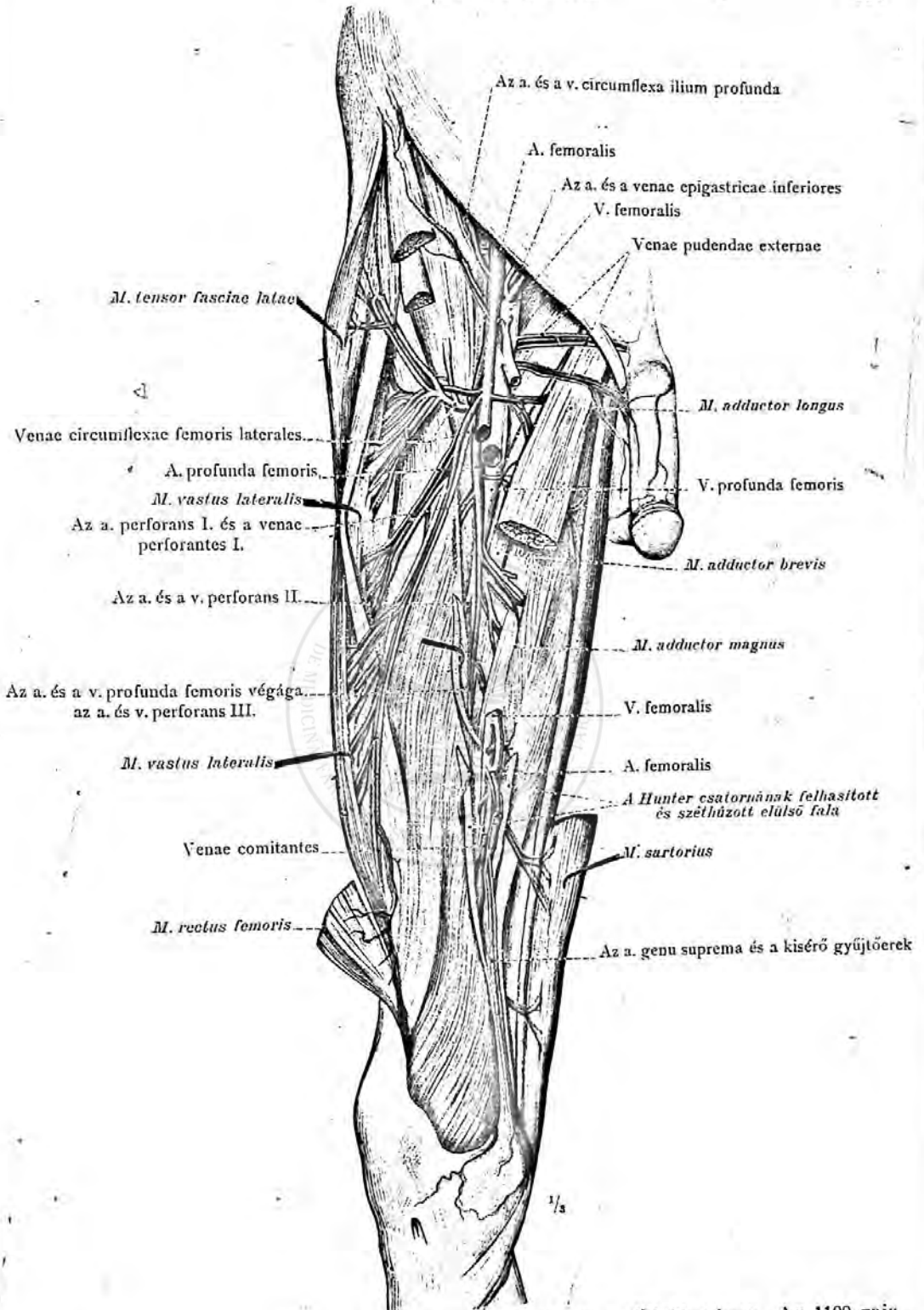
A comb és a férfi nemi szervek mély gyűjtőerei.





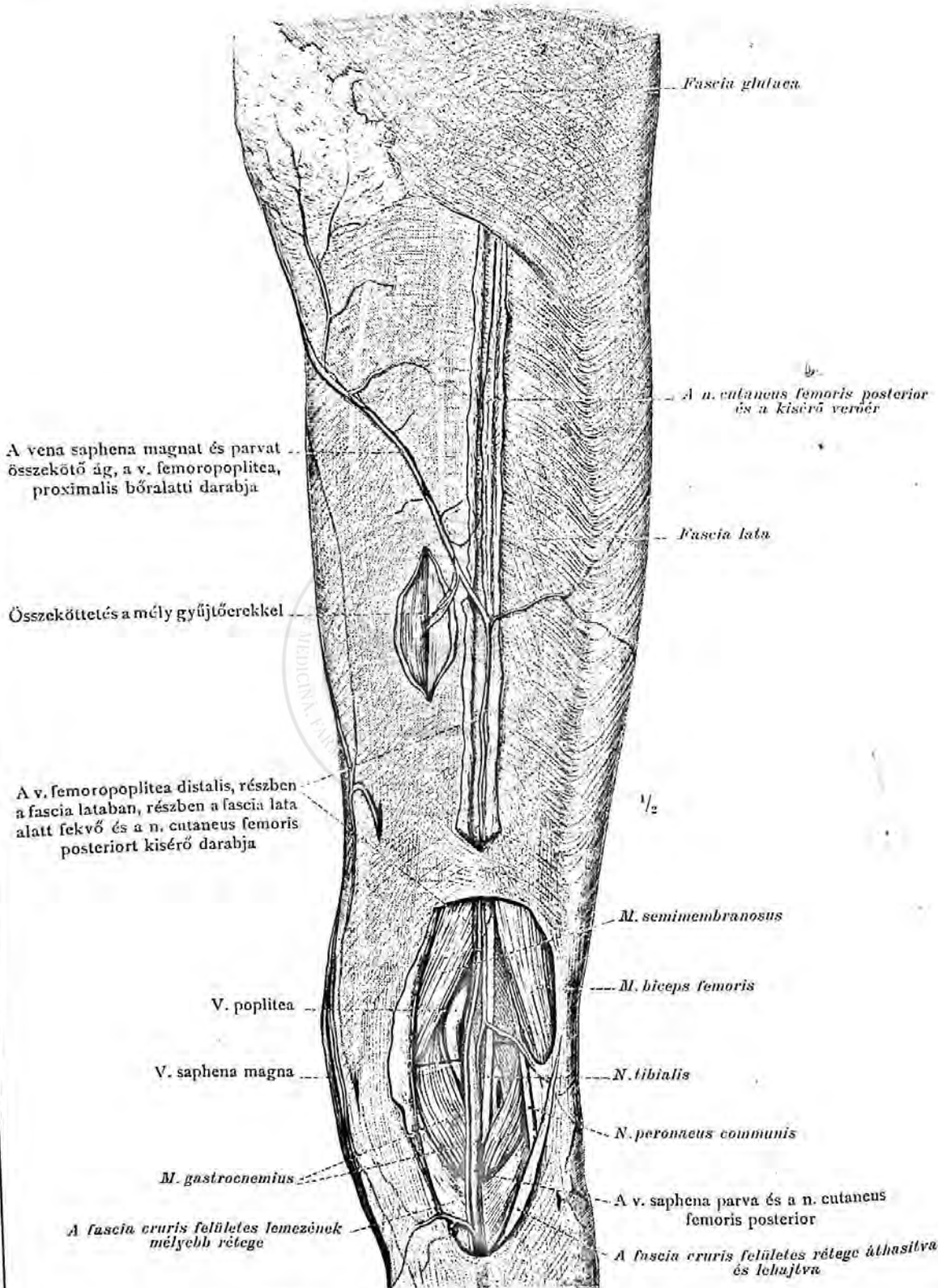
1100. rajz. A combverőér és a combgyűjtőér, az a. és a v. femoralis, a Hunter csatornába lépésükig és az a. és a v. circumflexa femoris lateralis elágazódása. A comb elülről nézve. (A *m. sartorius* és a *m. rectus femoris* részben eltávolítva, a *m. tensor fasciae latae* és a *m. vastus lateralis* oldal felé húzva.)

A comb elülső oldalának mély gyűjtőerei.



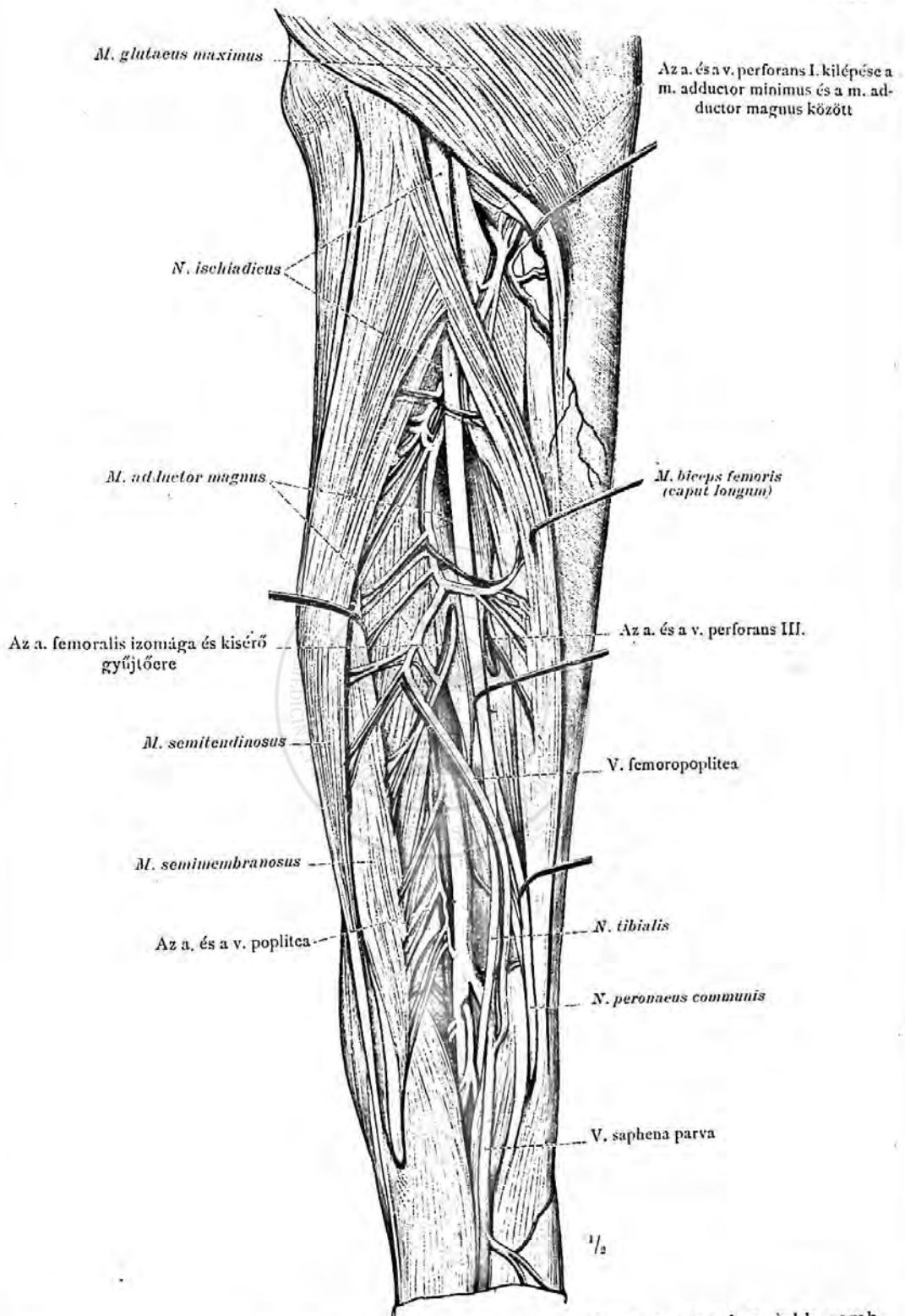
1101. rajz. Az a. és a v. profunda femoris, a jobb combon elülről nézve. Az 1100. rajz készítményéről az a. és a v. femoralis középső darabja levágva, a m. adductor longus részben eltávolítva és a Hunter csatorna elülről feltárva.

A comb elülső oldalának mély gyűjtőerei.



1102. rajz. A v. femoropoplitea, a jobb combon.  
 (A comb hosszában közepén, a fascia lata rétegeiben futó n. cutaneus femoris posterior, a kísérő erekkel látható; a térdalji árokban a fascia egészen eltávolítva.)

A comb hátulso oldalának felületes gyűjtőerei.

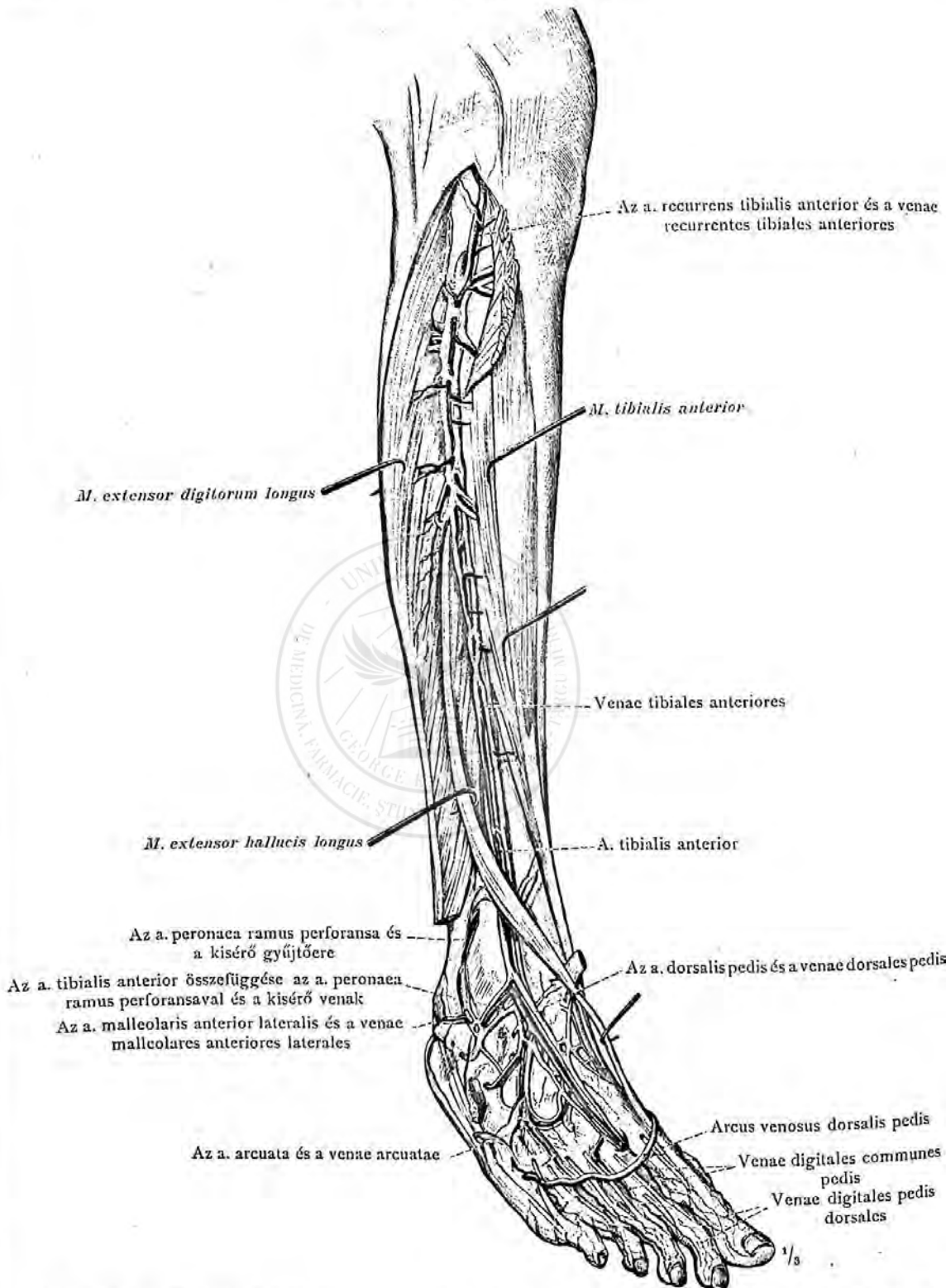


1103. rajz. A venae perforantes és összefüggésük a v. saphena parvával, a jobb comb hátsó oldalán.

(A hajlító izmok egymástól el vannak húzva.)

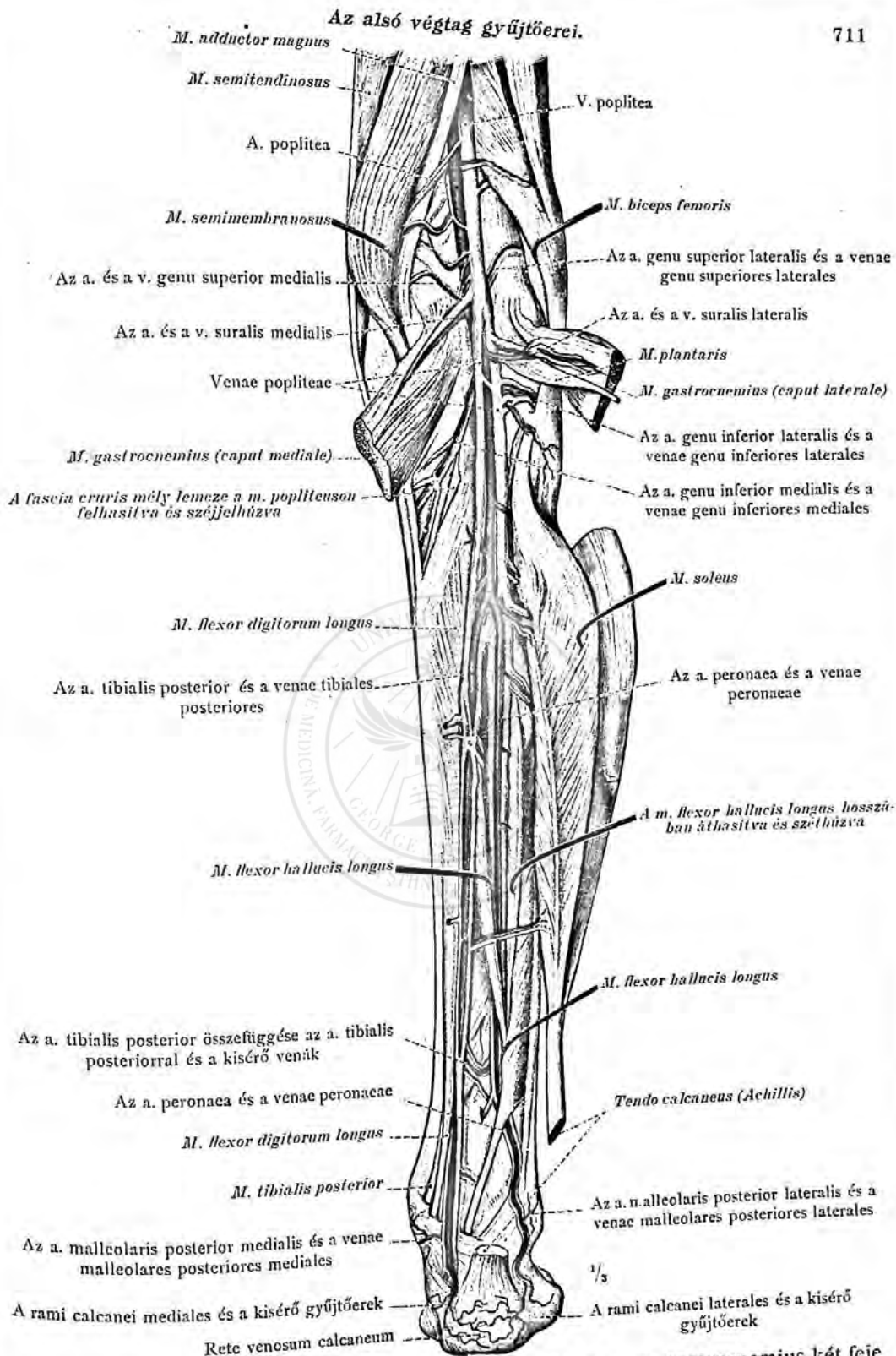
A comb hátsó oldalának mély gyűjtőerei.





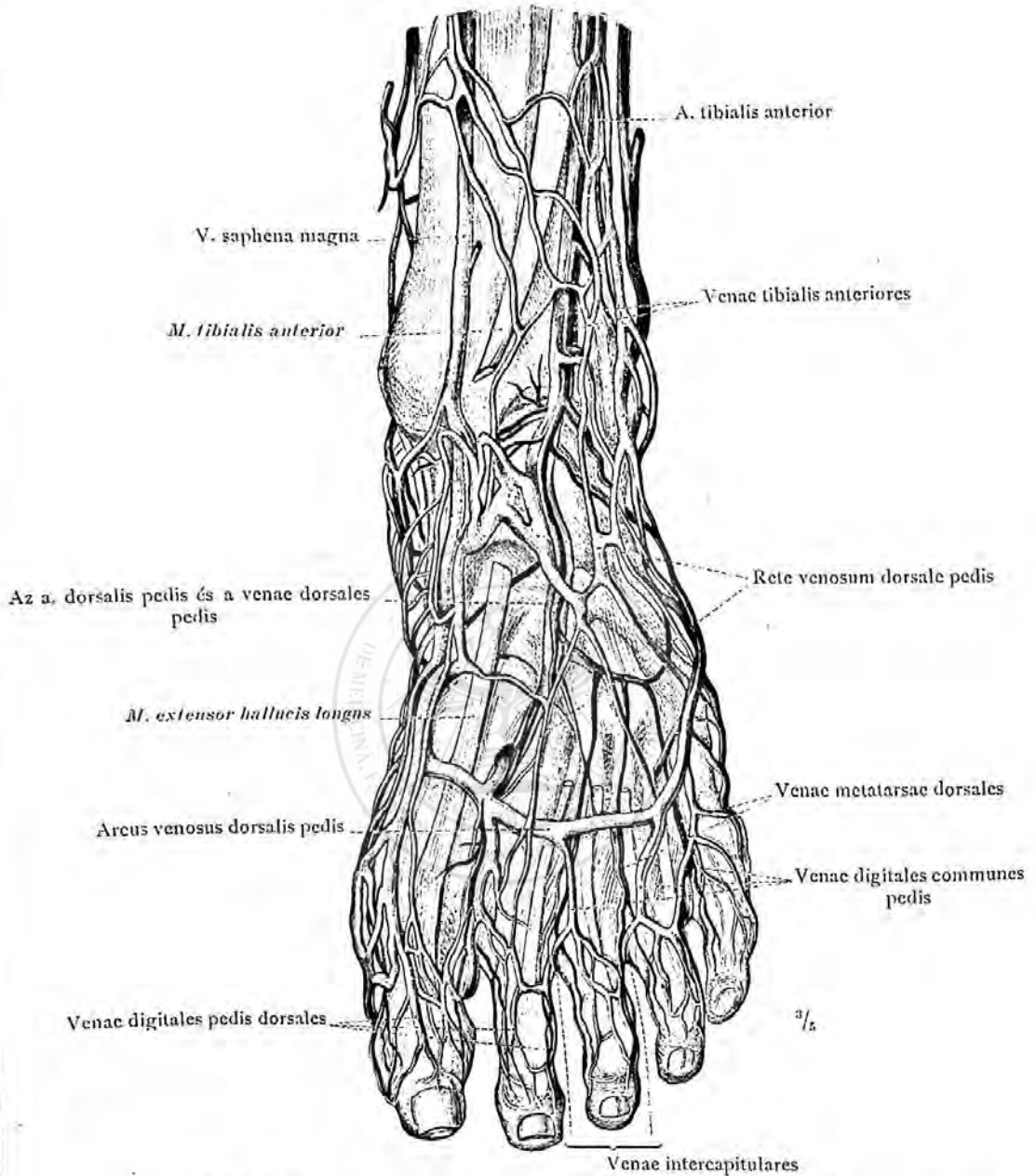
1104. rajz. Az lábszár elülső izmai egymástól széthúzva, a m. tibialis anterior felső része a csonttól leválasztva és félrehúzva. A m. extensor digitorum brevis és longus inai a lábközépcsontokig eltávolítva.

A lábszár és a láb hát mély gyűjtőerei és verőerei.



1105. rajz. A m. semimembranosus, a m. biceps femoris és a m. gastrocnemius két feje széthúzva, az Achilles-in a sarok felett harántul átvágva, a m. soleus a sipcsonttól leválasztva és a gastrocnemiussal együtt oldalra húzva; a m. flexor hallucis longus hosszalasztva és a gastrocnemiussal együtt áthasítva és széjjelhúzva.

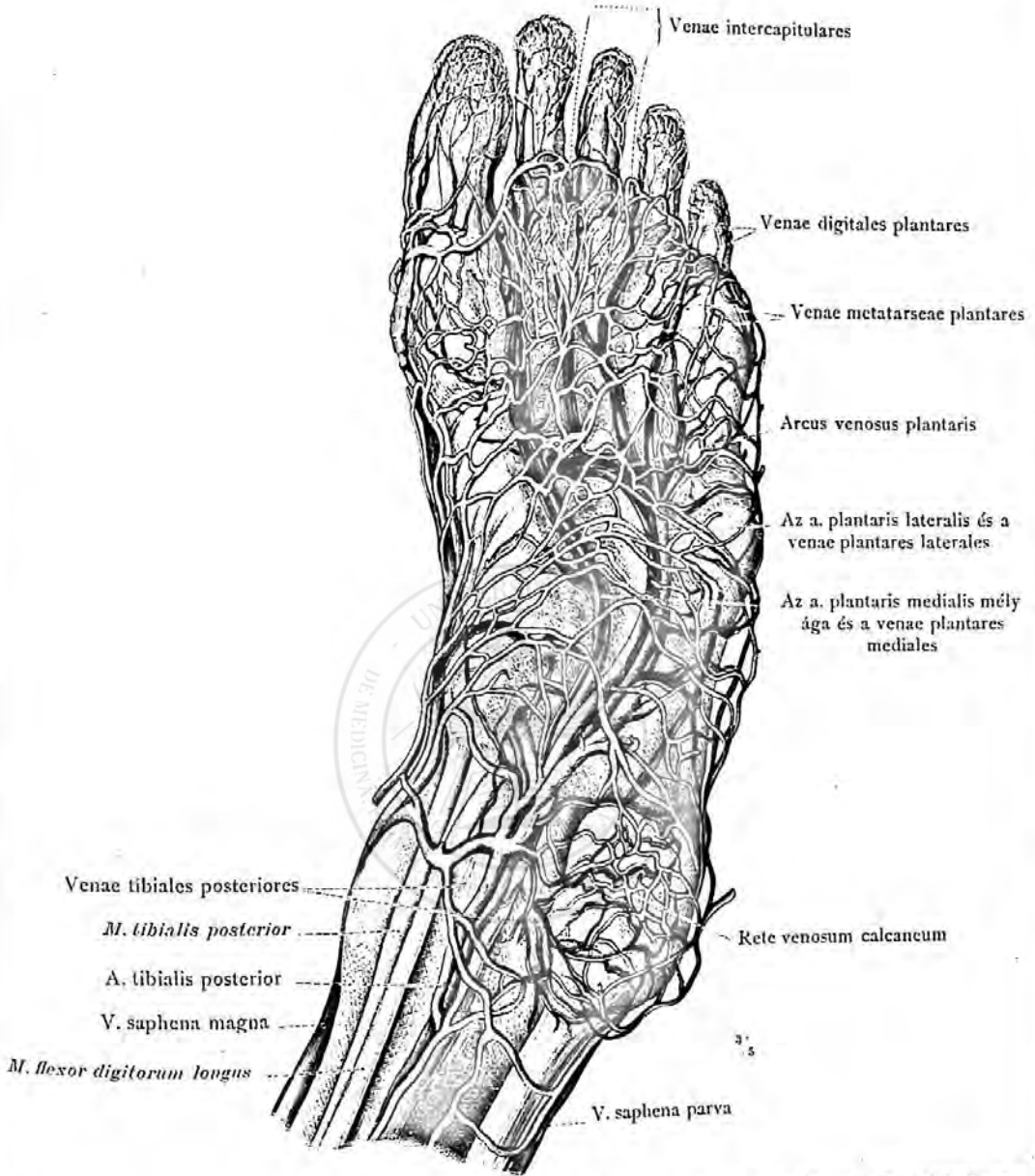
A lábszár hátulsó mély gyűjtőerei és verőerei.



1106. rajz. A lábhát felületes gyűjtőerei a mély gyűjtőerekkel és a mély verőerekkel; a venae digitales pedis dorsales és a venae digitales communes pedis; a venae metatarsae dorsales és a venae intercapitulares pedis; a lábhát gyűjtőeres íve, az arcus venosus dorsalis pedis, a lábhát gyűjtőeres hálózata, a rete venosum dorsalis pedis; a lábhát gyűjtőereinek, venae dorsales pedis átalakulása a venae tibiales anterioresé; a v. saphena magna.

(A lábszár elülső izmai közül csak a m. tibialis anterior látható; a lábháton a m. extensor digitorum brevis eltávolítva; a m. extensor digitorum longus inainak vége megtartva.)

A lábhát gyűjtőerei.



1107. rajz. A talp felületes gyűjtőerei a mély gyűjtőerekkel és a mély verőerekkel: a talp gyűjtőeres hálózata, rete venosum plantare és a sarok gyűjtőeres hálózata, rete venosum calcaneum; a venae digitales plantares és a venae intercapitulares pedis; a venae metatarsae plantares és a talp gyűjtőeres íve, arcus venosus plantaris; a talp gyűjtőereinek (venae plantares) átalakulása a venae tibiales posterioréssé; a v. saphena magna és v. saphena parva talpi gyökerei.

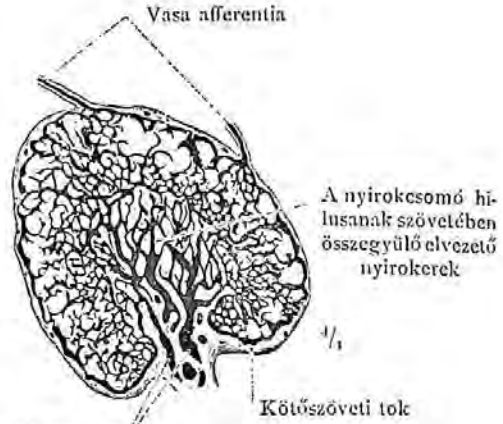
(A talp izmai, a felületes és a mély erek megkimélésével, teljesen eltávolítva.)





SYSTEMA LYMPHATICUM.  
A NYIROKEREK RENDSZERE.

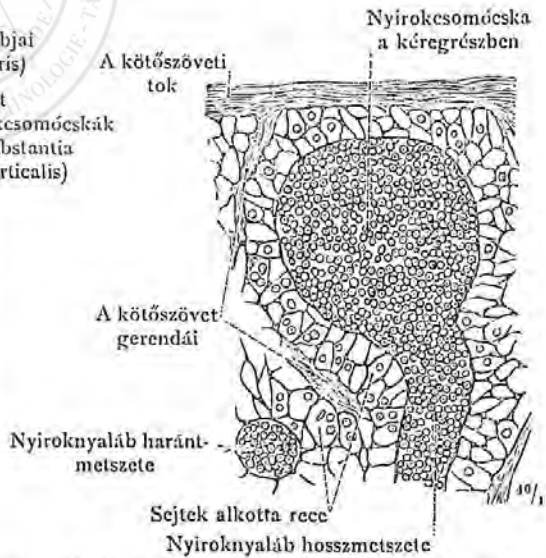
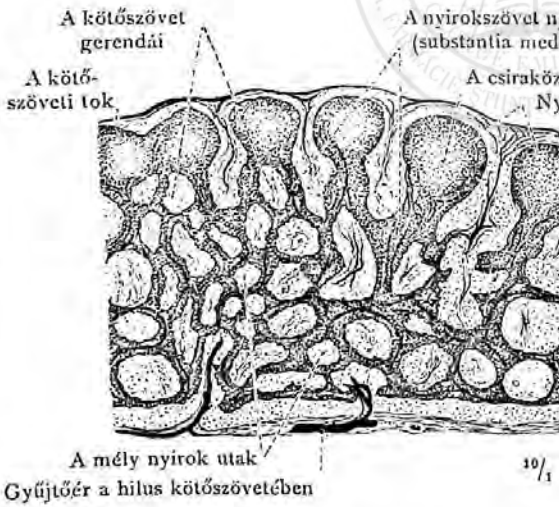




Elvezető nyirokerek a nyirokcsomó hilusában

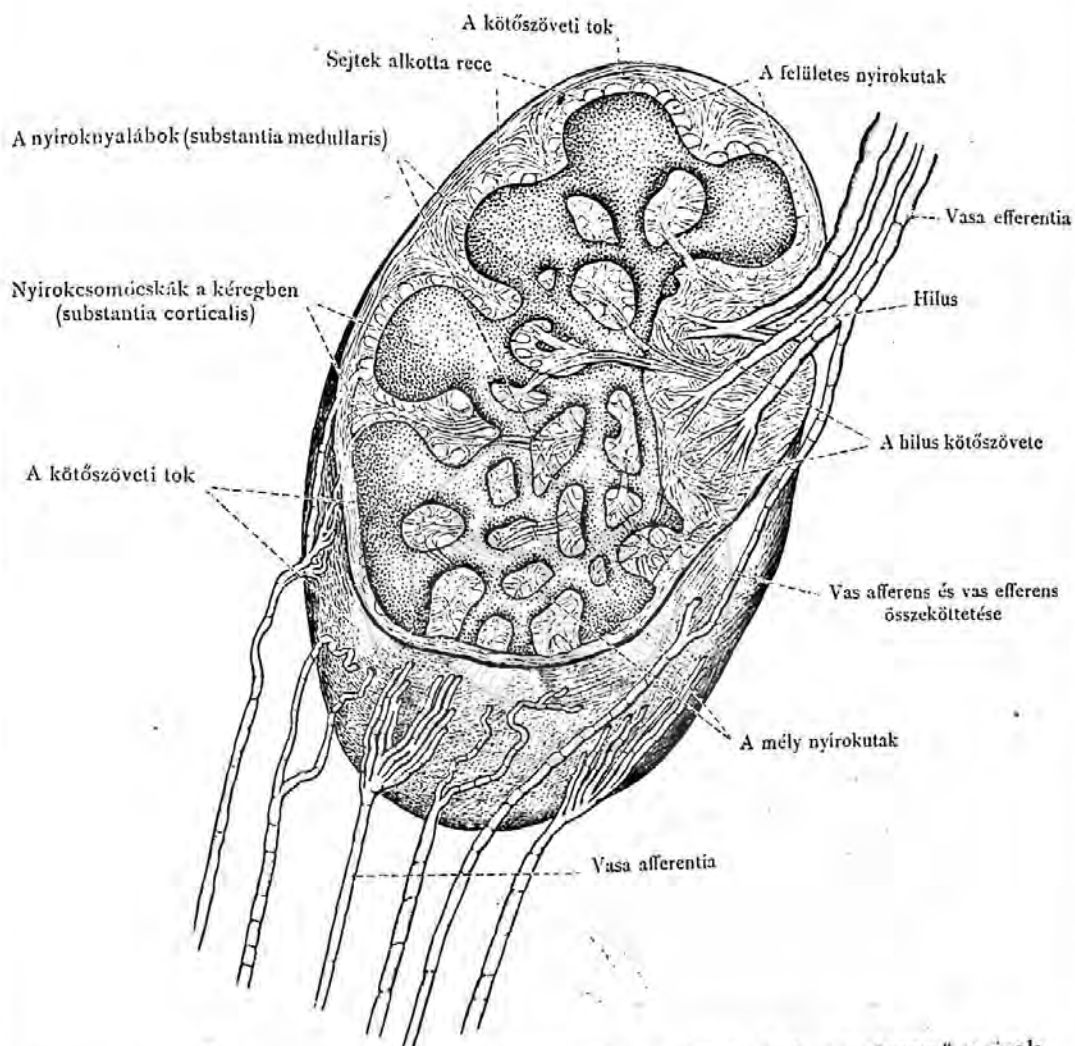
1108. rajz. Emberi nyirokcsomó, nodus lymphaticus, az inguinalis nyirokcsomók csoportjából, a belővelt odavezető és az elvezető erekkel, vasa afferentia és vasa efferentia.

1109. rajz. Emberi, inguinalis nyirokcsomó harántmetszete, a nyirokutaknak berlini kékkel való belővelése után borszeszben keményítve.



1110. rajz. Borszeszben keményített bélfodor-nyirokcsomó metszete. (A berlini kékkel befecskendezett vérerek sötét feketék.)

1111. rajz. Nyirokcsomócska és nyiroknyaláb, a bélfodor nyirokcsomójának metszetében, erősen nagyítva.

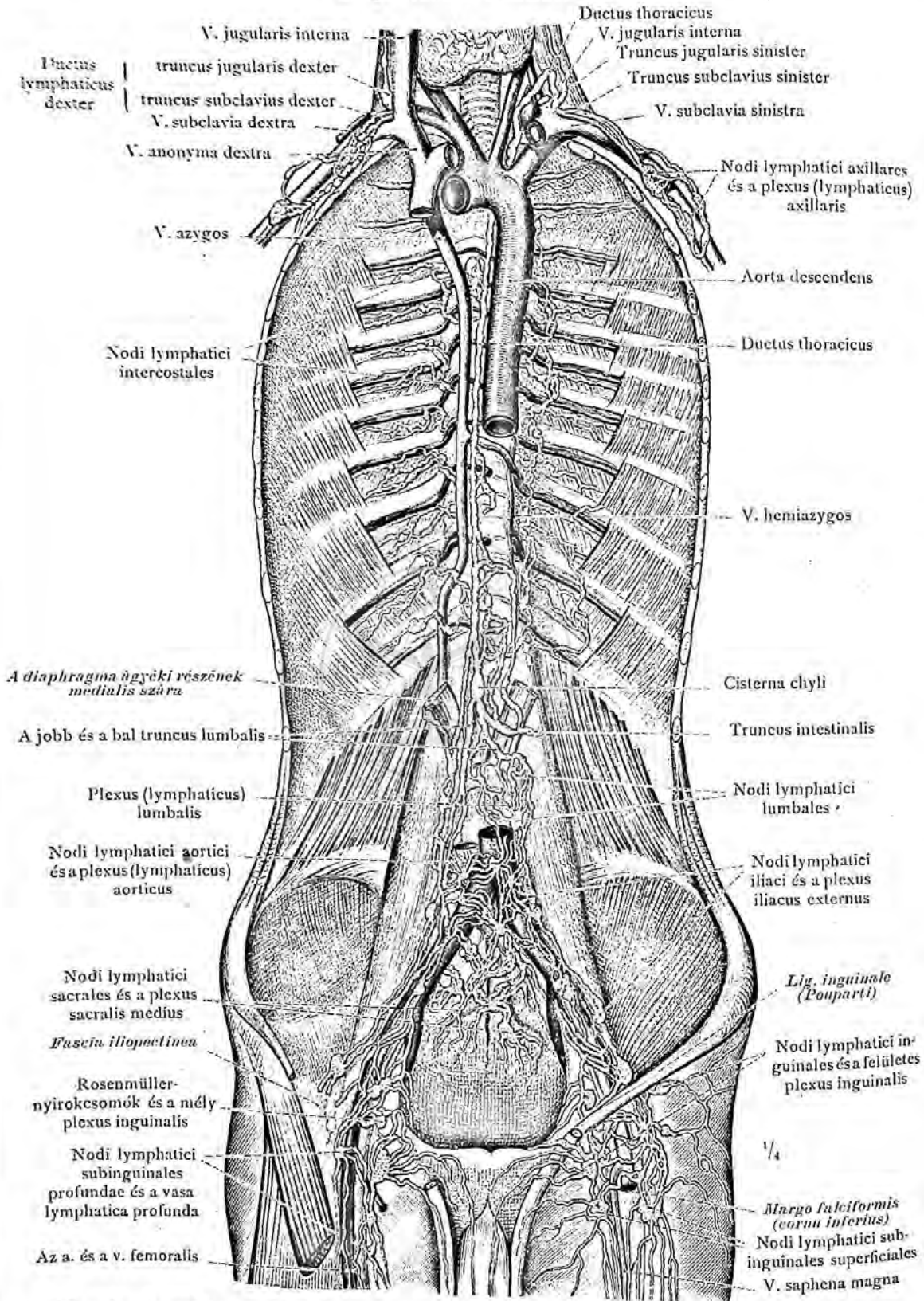


1112. rajz. A nyirokesomó szerkezetének sémája az odavezető és az elvezető nyirokerekkel, vasa afferentia és vasa efferentiakkal.

Nodi lymphatici, a nyirokesomók.

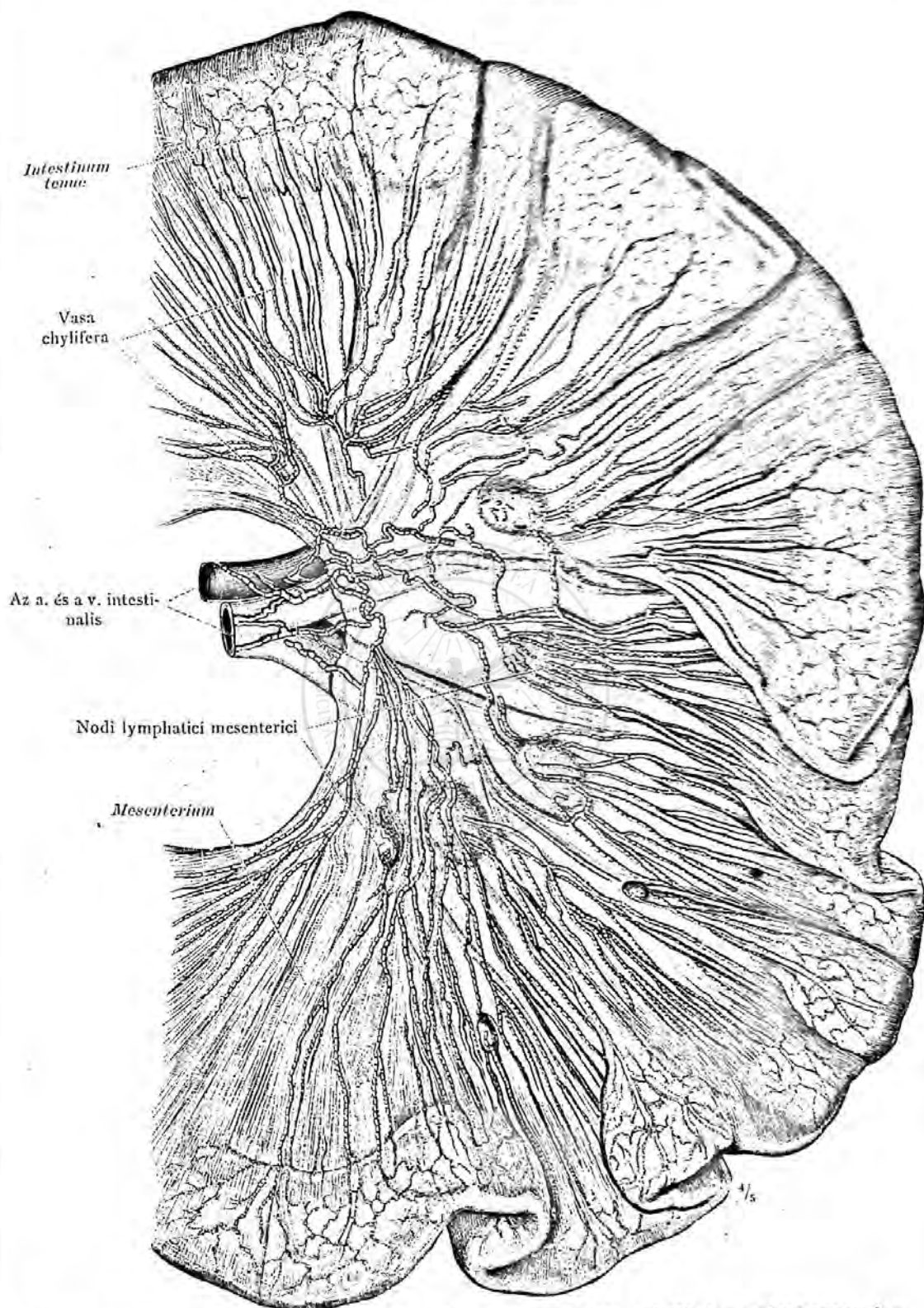


A nyirokerek rendszere.



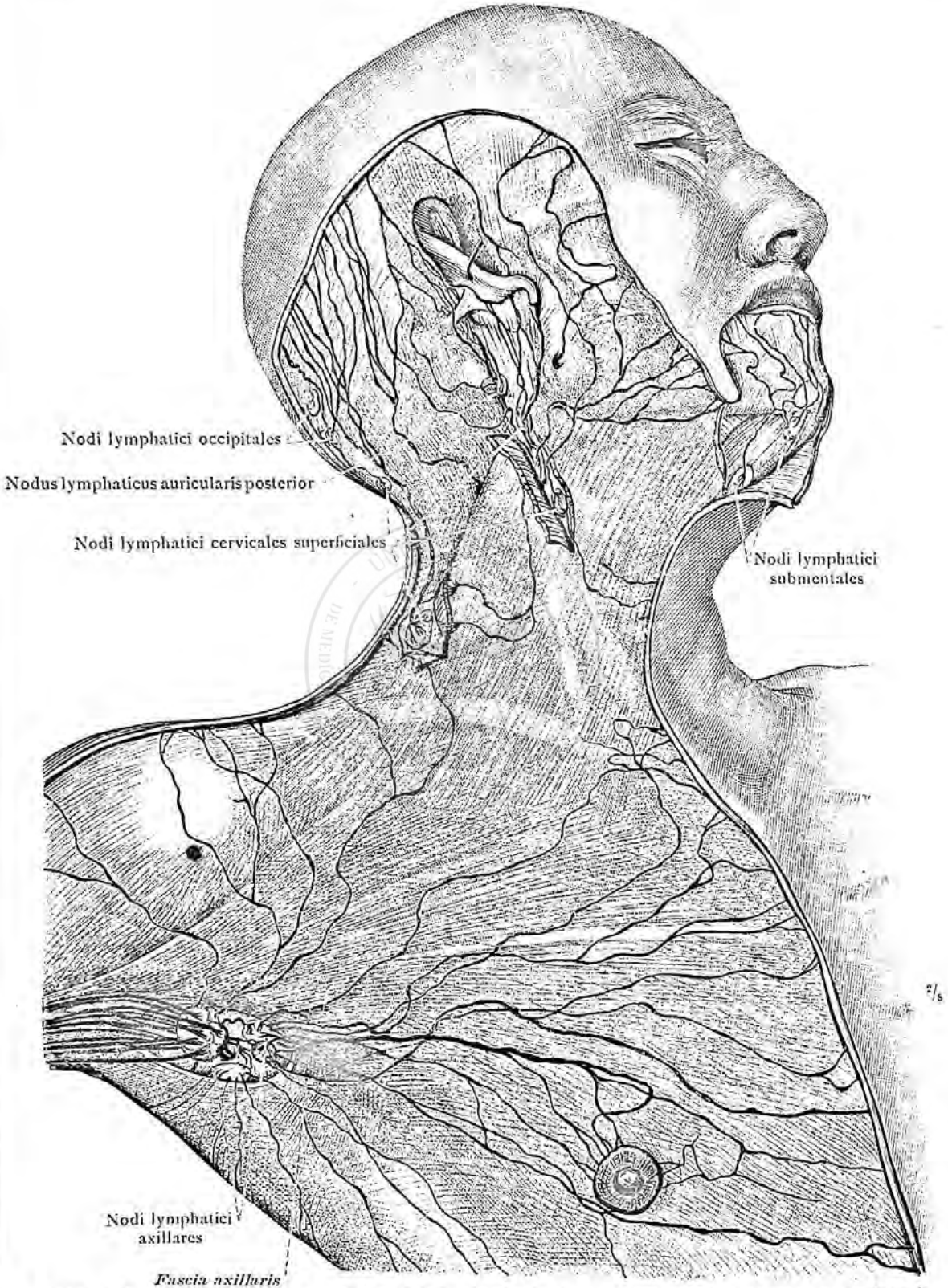
1113. rajz. A mellvezeték, a ductus thoracicus és a beleömlő nyirokerek, a törzs hátsó falának nyirokerei és nyirokcsomói; a subinguinalis tájék felületes és mély nyirokerei és nyirokcsomói.

Ductus thoracicus, a mellvezeték.



1114. rajz. A bél nyirokerei (tejnyirokerek, chyluserek) és a bélfodor nyirokcsomói a bélfodor kis darabján, híganynyal belövelve.

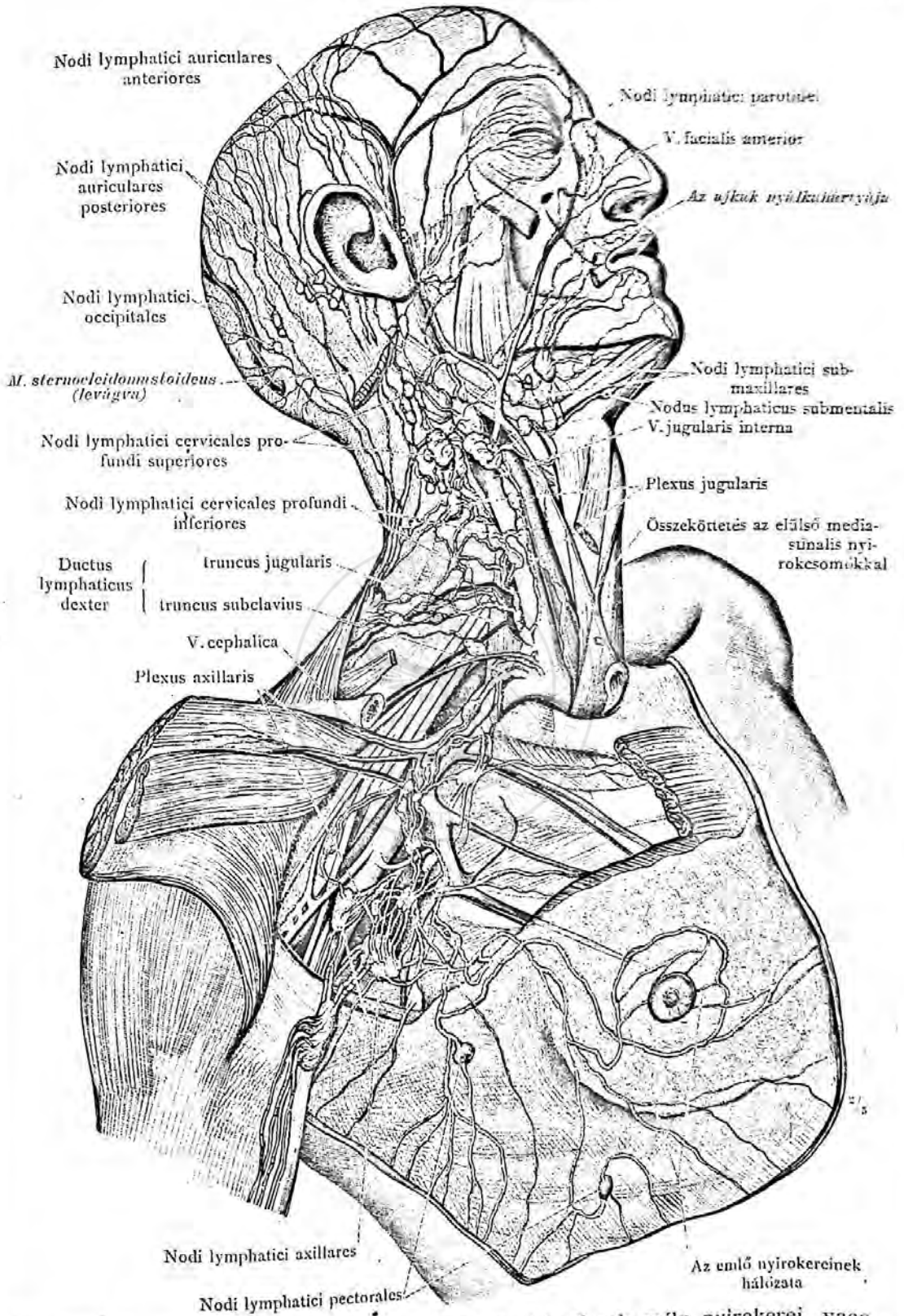
A bél nyirokercsi, vasa chylifera;  
A bélfodor nyirokcsomói, nodi lymphatici mesenterici.



1115. rajz. A fej, a nyak, a mellkas felső részének és a válltájéknak felületes nyirokerei, vasa lymphatica superficialia, a hozzájuk tartozó felületes nyirokcsomókkal.

A fej, a nyak és a mellkas nyirokerei.



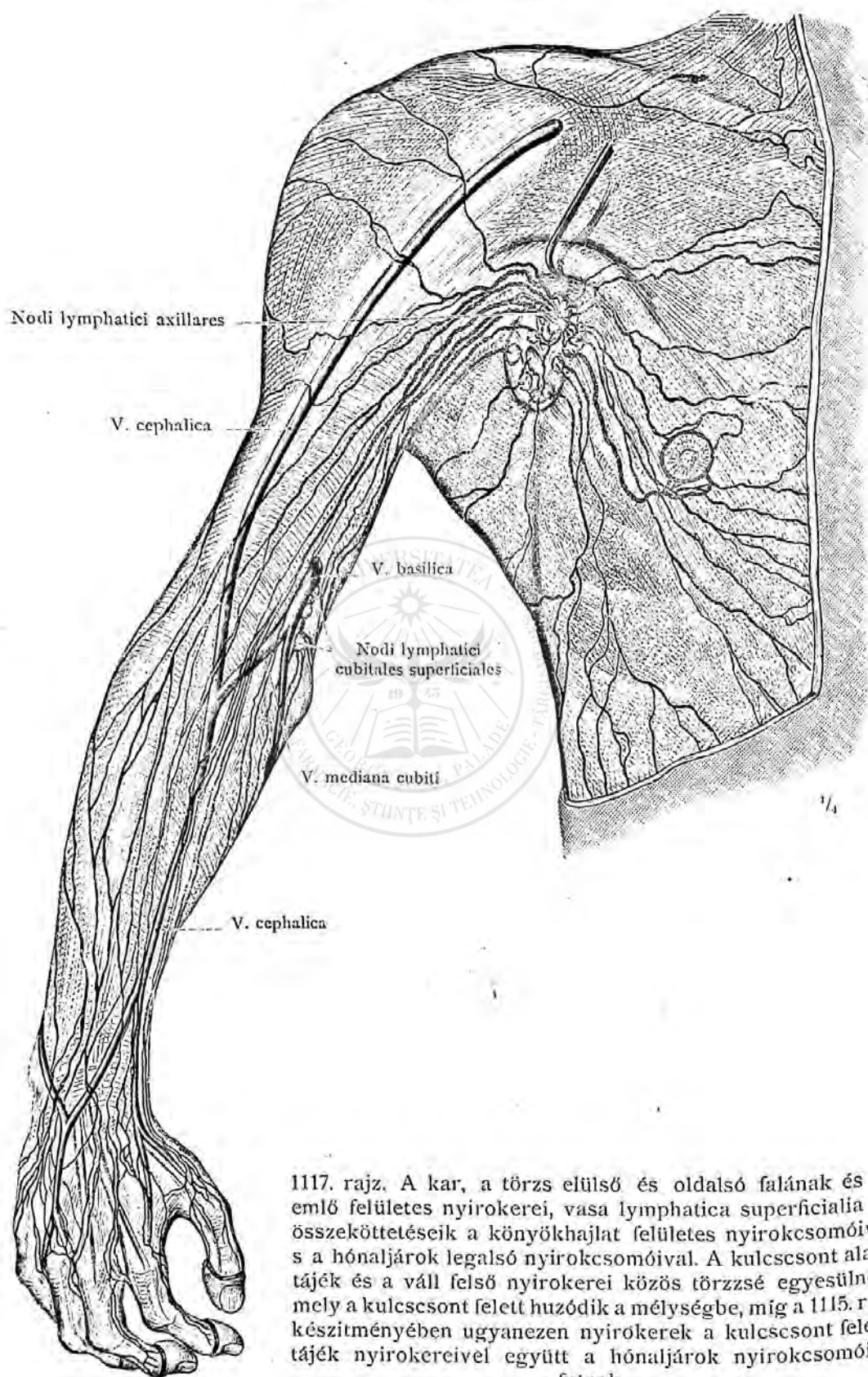


1116. rajz. A fej felületes nyirokereit, a nyak és hónaljraok mély nyirokereit, vasa lymphatica profunda, a hozzájuk tartozó nyirokesomókkal; a női emlő nyirokereit.

A fej, a nyak, a hónalj és a mellkas nyirokereit.



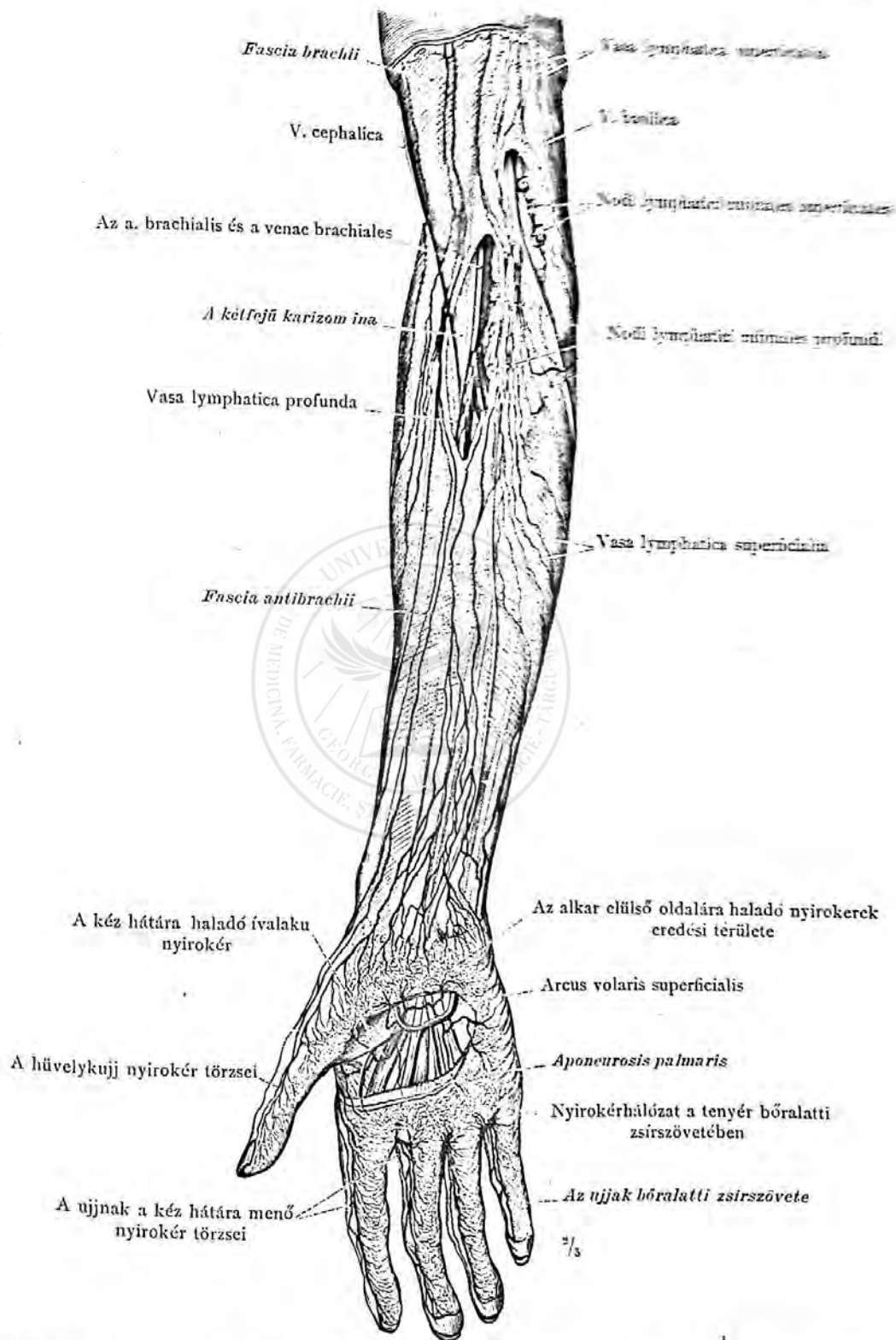
## A nyirokerek rendszere.



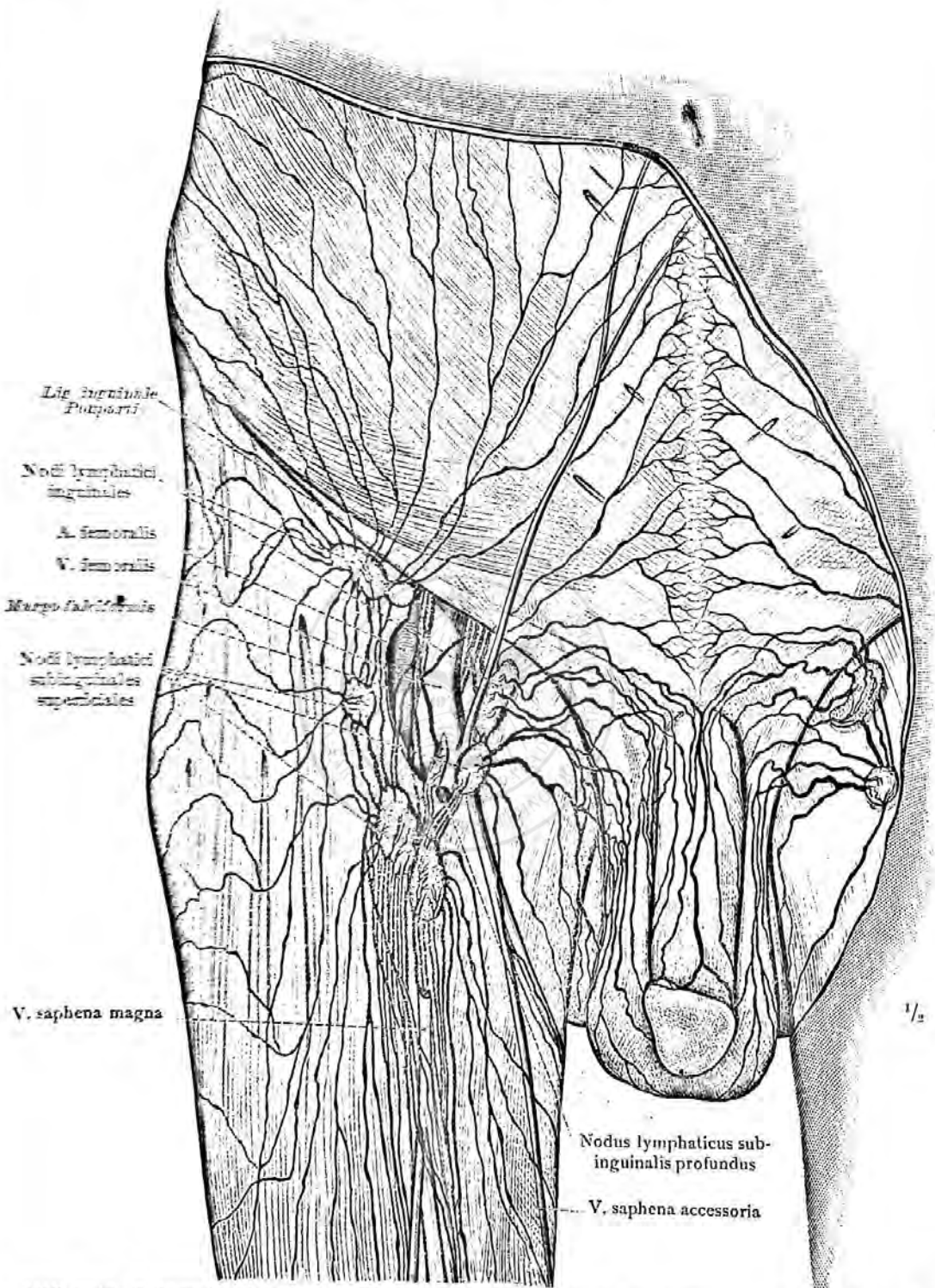
1117. rajz. A kar, a törzs elülső és oldalsó falának és az emlő felületes nyirokerei, vasa lymphatica superficialia és összeköttetések a könyökhajlat felületes nyirokcsomóival s a hónaljárok legalsó nyirokcsomóival. A kulcscsont alatti tájék és a váll felső nyirokerei közös törzssé egyesülnek, mely a kulcscsont felett huzódik a mélységbe, míg a 1115. rajz készítményében ugyanezen nyirokerek a kulcscsont feletti tájék nyirokereivel együtt a hónaljárok nyirokcsomóiba futnak.

A felső végtag és a hónalj nyirokerei.

A nyirokerek rendszere.

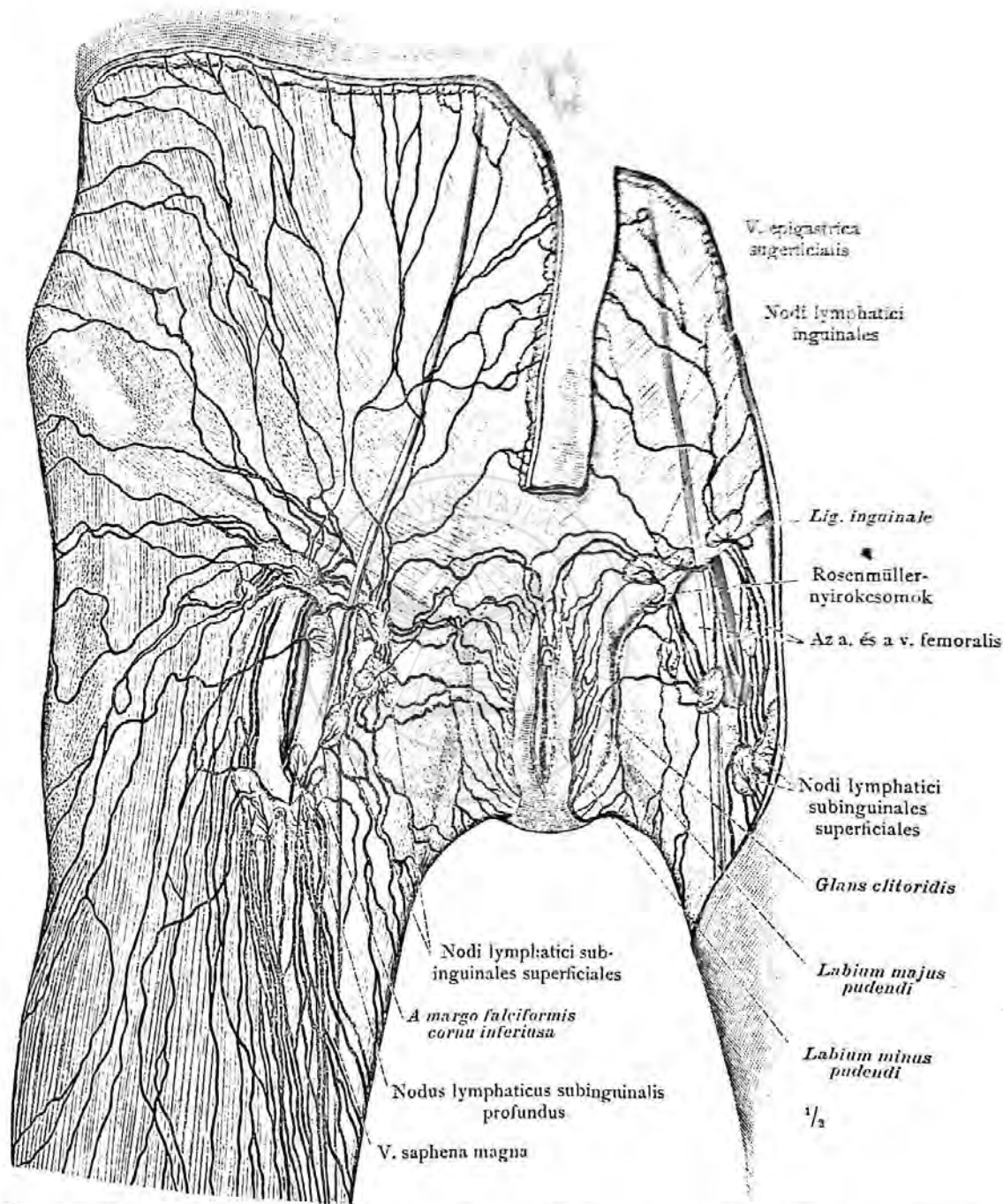


118. rajz. Az alkar elülső oldalának és a tenyér nyirokérhálózata. A könyökárokban a fascia átmetszésével, a mély nyirokerek és a mély nyirokcsomók láthatók.



1119. rajz. A lágyéktájéék, a férfi külső nemi szerveinek és a szomszédos tájékok felületes nyirokerei, vasa lymphatica superficialia, a hozzájuk tartozó nyirokcsomókkal; a felületes plexus inguinalis.  
(A margo falciformis felső része és a v. saphena magna kis része el van távolítva.)

A lágyék és a férfi külső nemi szervek felületes nyirokerei és nyirokcsomói.

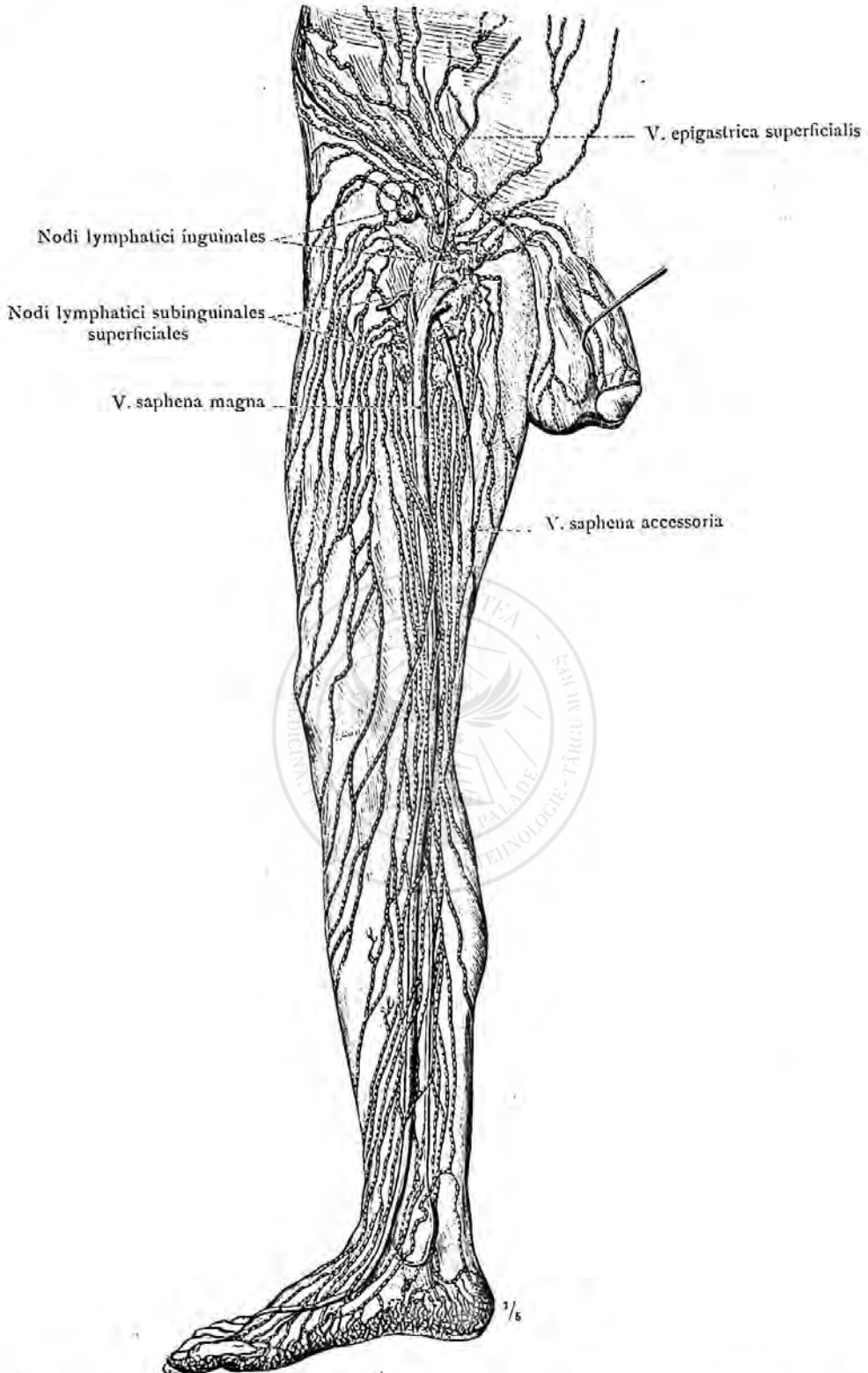


1120. rajz. A lágyéktájéék, a külső női nemi szervek és a szomszédos tájékok felületes nyirokereik, vasa lymphatica superficialia, a hozzájuk tartozó nyirokcsomókkal.

A lágyéék és a női külső nemi szervek nyirokereik és nyirokcsomói.



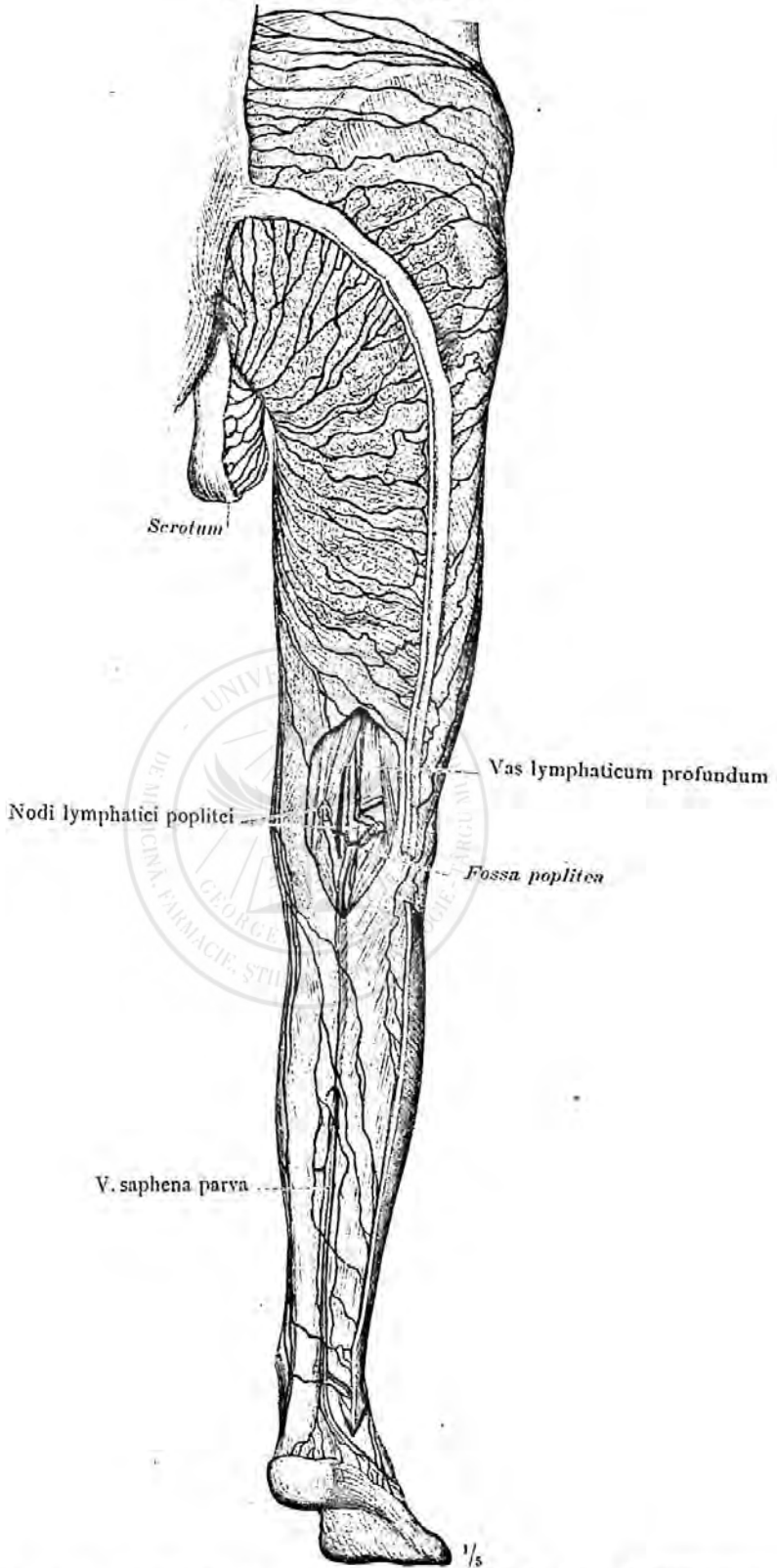
## A nyirokerek rendszere.



1121. rajz. A jobb alsó végtagnak, a férfi külső nemi szerveinek és az elülső hasfalnak felületes nyirokerei, vasa lymphatica superficialia, a lágyéktájéknak nyirokesomóival, nodi lymphatici inguinales, valamint a subinguinalis tájék nyirokesomóival. Elülről és medialis oldalról nézve.

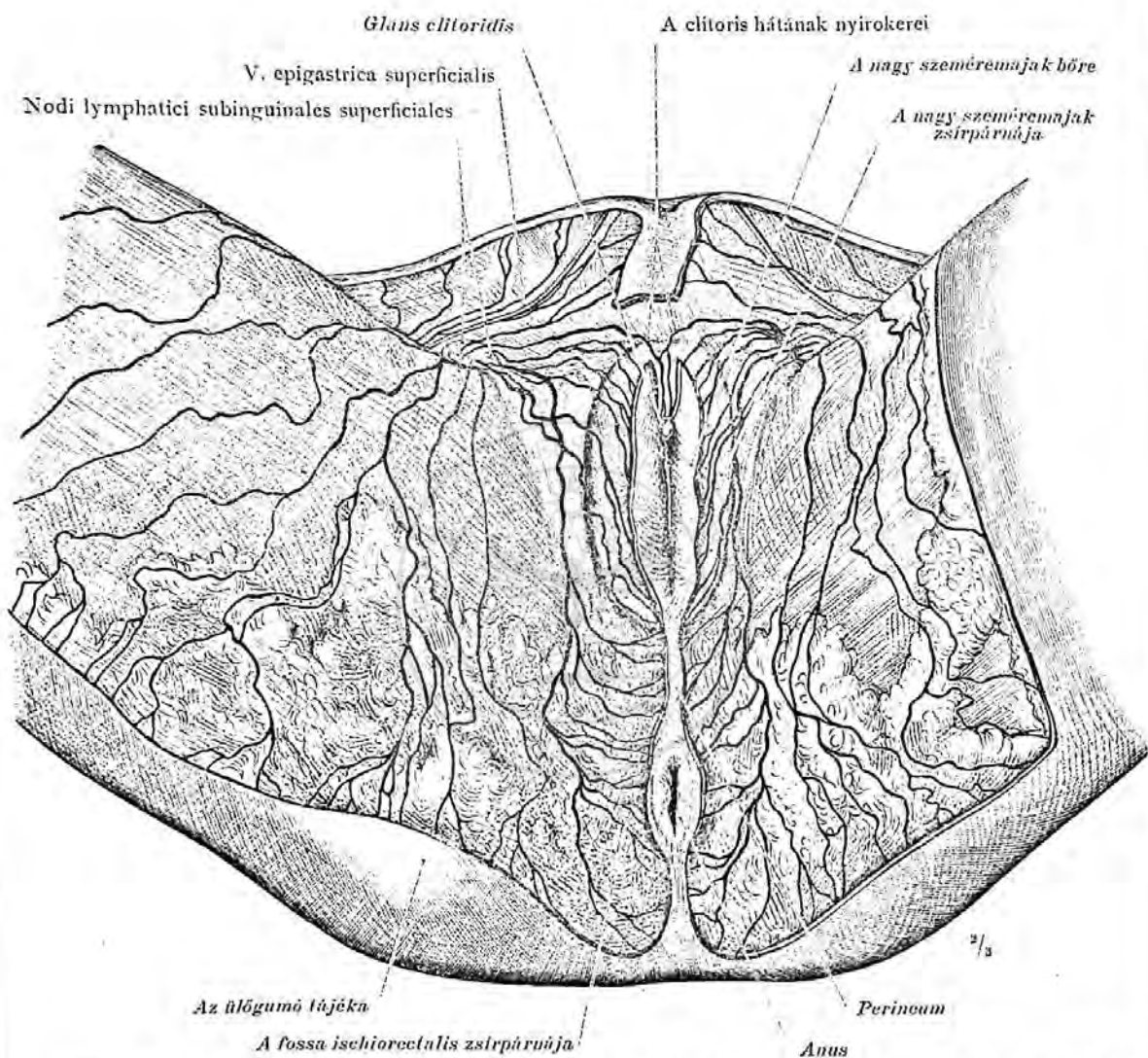
(A nyirokerek higannyal belövelve.)

Az alsó végtag nyirokerei.



1122. rajz. A jobb alsó végtag hátulso oldalának, a csipötájéknak és a herezacskónak felületes nyirokerei, vasa lymphatica superficialia. A térdalji árokban, a fascia út- vágásával, a mély nyirokerek és a mély nyirokesomók láthatók.

Az alsó végtag nyirokerei.



1123. rajz. A gáttájék és a női külső nemi szervek felületes nyirokereki, vasa lymphatica superficialia. (A nagy szeméremajak elülső commissurájáról, ugyszintén a clitorisról, a bőrt eltávolítva, mint a 1120. rajzban, a clitoris hátának nyirokereki láthatók.)

AZ ÉRTAN  
TÁRGYMUTATOJA.







## Latin nevek:

A \* al jelzett nevek nincsenek benn az anatómiai társaság szójegyzékében.

## A.

- \**Angulus venosus* 585, 684.  
*Annuli fibrosi (cordis)* 576.  
*Aorta* 564, 566—569, 571, 573, 577, 585, 592.  
 \* abdominalis 592, 595, 597, 598, 644, 662, 678.  
 \* ascendens 562, 568, 569, 573, 577, 579, 584, 586, 590, 592.  
 \* descendens 579, 580, 584, 590, 592, 613, 664, 685.  
 \*     \* dextra 578.  
 \* thoracalis 589, 590:  
   ramus visceralis 589.  
   falának rétegei 556.  
*Apex cordis* 562, 563, 569, 586.  
*Arcus aortae* 562, 573, 577, 579, 583, 590, 592, 662.  
 \* (arteriosus) plantaris 657, 660:  
   rami perforantes 651, 657.  
 \* raninus 620.  
 \* tarseus inferior 612.  
   \* superior 612.  
 \* venosi digitales 696.  
 \* venosus dorsalis pedis 703, 710, 712.  
   \* juguli 584, 671, 684, 698.  
   \* plantaris 713.  
 \* volaris (arteriosus) profundus 634.  
   \*     \* superficialis 633, 639, 723.  
   \*     \* venosus profundus 701.  
   \*     \* superficialis 700.  
*Arteria* 557, 558.  
 \* acetabuli 644.  
 \* alveolaris inferior 616, 619, 688:  
   ramus mylohyoideus 616, 619.  
*Arteriae alveolares superiores anteriores* 616.  
*Arteria alveolaris superior posterior* 616:  
 \* rami gingivales superiores 617.  
 \* angularis 610—612, 617.  
 \* anonyma 579—586, 590, 592, 612, 613.  
 \* appendicularis 596, 597, 678, 679.  
 \* arcuata 651, 710.  
 \* auditiva interna 619, 622, 623.  
 \* auricularis posterior 611, 613—617, 619, 666:  
   ramus auricularis 611, 612, 615.  
   \* occipitalis 610, 614, 615.  
 \* auricularis profunda 617.  
 \* axillaris 611, 628, 629, 683, 684, 698:  
   rami subscapulares 629.  
 \* basilaris 622, 623:  
   rami ad pontem 623.  
*Arteria brachialis* 628—634, 638, 699—701, 723:  
 \* bőrág 630, 632.  
 \* falának rétegei 556.  
*Arteriae bronchiales* 590, 592, 612:  
 \* Rami oesophagei 590.  
*Arteria buccinatoria* 616.  
 \* bulbi urethrae 600, 601, 603.  
 \*     \* vestibuli (vaginae) 605, 607.  
 \* canalis pterygoidei (Vidii) 617—619.  
 \* carotis communis 579, 590, 592, 610—613, 626, 685.  
 \*     \* externa 579, 610, 612, 613, 616—620, 685, 689.  
 \*     \* interna 578, 579, 610—613, 616—623, 685—687, 689:  
   Ramus caroticotypanicus 618.  
 \* centralis retinae 617.  
 \* cerebelli inferior anterior 622, 623.  
 \*     \*     \* posterior 622, 623, 625.  
 \*     \* superior 622, 623, 625.  
*Arteriae cerebri* 622—625.  
*Arteria cerebri anterior* 622—625.  
 \*     \* media 622—624.  
 \*     \* posterior 622—625.  
 \* cervicalis ascendens 612, 622:  
   Rami musculares 614.  
   Ramus profundus 615.  
   Rami spinales 622.  
 \* cervicalis profunda 615, 622, 666, 667, 686.  
 \*     \* superficialis 610—612, 629:  
   bőrágai 670, 671.  
 \* chorioidea 623.  
*Arteriae ciliares posteriores* 617, 621.  
*Arteria circumflexa femoris lateralis* 641—644, 638:  
 \* Ramus ascendens 642—644, 706.  
   \* descendens 642—644, 706.  
 \* circumflexa femoris medialis 602, 642—644, 705:  
   ramus profundus 643, 644, 646—649, 704:  
   ramus acetabuli 644.  
   \* superficialis 641—644.  
 \* circumflexa humeri anterior 628, 629, 698.  
 \*     \* posterior 614, 628, 629, 631:  
   bőrágai 670.  
 \*     \* ilium profunda 598, 601.  
 \*     \* superficialis 599, 640, 641, 671.

- Arteria circumflexa scapulae 614, 628—631, 684, 699:  
 > bórágai 670.  
 > clitoridis 604, 605, 607, 676.  
 > coeliaca 578, 580, 592, 594, 595, 598, 662, 678.  
 > colica dextra 596, 679.  
 > > media 596, 597.  
 > > sinistra 597, 678:  
 > felszálló ága 596.  
 > collateralis media 631, 699.  
 > > radialis 631, 634, 635, 638;  
 > járulékos (rendellenes) 699.  
 > > ulnaris inferior 630, 632, 633, 698, 700, 701.  
 > > > superior 630, 633, 634, 638, 698, 699.
- \*Arteriae colli et capitis 610—626.
- Arteria comitans n. ischiadici 602, 646—649, 674, 675, 707.  
 > communicans anterior 623, 625.  
 > > posterior 623.  
 > coronaria (cordis) dextra 562, 563, 569—571, 573, 590, 592:  
 > ramus descendens posterior 563, 570, 584.  
 > coronaria (cordis) sinistra 568—571, 573, 590:  
 > ramus circumflexus 563, 567, 570, 573, 585.  
 > > descendens anterior 557, 562, 570, 573, 584, 585.  
 > cystica 594, 595, 678.  
 > deferentialis 600, 601.
- Arteriae digitales (manus) dorsales 637.  
 > > (pedis) > 650, 651.  
 > > plantares 656, 657:  
 > összeköttetései az arteriae metatarsae dorsales 651, 656, 657.  
 > > volares communes 633, 634, 636, 700.  
 > > > propriae 633, 636:  
 > > > hátulsó ágai 637.
- Arteria dorsalis clitoridis 605, 607, 675, 676.  
 > > nasi 610—612, 616, 617, 621.  
 > > pedis 650, 651, 660, 710, 712.  
 > ramus plantaris profundus 651, 657, 660.  
 > dorsalis penis 600, 601, 603, 672, 673, 705.  
 > epigastrica inferior 598, 599, 601, 644, 662, 673, 705—707:  
 > bórágai 599, 671.  
 > ramus obturatorius 601.  
 > epigastrica superficialis 599, 640—643, 671, 706.  
 > > superior 599, 612:  
 > > bórágai 599, 671.  
 > ethmoidalis anterior 618, 619, 621, 622, 687.  
 > > posterior 618, 619, 621, 687.
- \*Arteriae extremitatum superiorum et inferiorum 627 bis 660.
- Arteria femoralis 598, 599, 641—644, 658, 659, 662, 705—707, 724, 725:  
 > rami inguinales 640.  
 \* > musculares 643, 649.  
 > frontalis 610—612, 616, 617, 621.
- Arteriae gastricae breves 595, 678.
- Arteria gastrica dextra 594, 595, 678.  
 > > sinistra 594, 595, 662, 678:  
 > Rami oesophagei 594.
- Arteria gastroduodenalis 594, 595, 678.
- Arteriae gastroepiploicae, dextra és sinistra 594, 595, 678:  
 > rami epiploici 594, 679.
- Arteria genu inferior lateralis 649, 650, 654, 655.  
 > > > medialis 649, 653—655.  
 > > > media 649, 654, 655.  
 > > > superior lateralis 649, 650, 654, 655.  
 > > > > medialis 641, 642, 649, 653, 654, 655.  
 > > > > > suprema 642, 643, 653—655, 706, 707:  
 > > > > > rami articulares 642, 643.  
 > > > > > musculares 642.  
 > > > > > ramus saphenus 642, 643.  
 > glutaea inferior 580, 600—602, 604, 606, 608, 646—649, 672, 674, 675, 704:  
 > bórágai 645, 670.  
 > > superior 580, 600, 601, 606, 608, 647, 672, 676:  
 > > > bórágai 645, 670.  
 > > > > ramus inferior 647.  
 > > > > > superior 646—649.  
 > haemorrhoidalis inferior 601, 602, 604, 605, 608, 646, 647, 649:  
 > bórágai 645, 670.  
 > > superior 597, 600, 606, 607, 672, 676.
- \*Arteriae helicinae 560.
- Arteria hepatica 594, 595, 678.  
 > > propria 594, 595, 678:  
 > > ramus dexter 594.  
 > > > sinister 594.  
 > hypogastrica 592, 593, 598, 600, 601, 606 bis 608, 672, 676, 677:  
 > rami parietales 606.  
 > > viscerales 606.
- Arteria ileae 596.
- Arteria ileocolica 596, 597, 679.  
 > iliaca communis 580, 592, 598, 601, 606 bis 608, 672, 673, 676, 677.  
 > > externa 580, 592, 598, 601, 606—608, 644, 662, 663, 672, 676, 677.  
 > iliolumbalis 592, 593, 600, 601, 606, 676:  
 > ramus iliacus 592, 593, 598, 662, 663.  
 > > lumbalis 592, 593.  
 > > spinalis 592, 606.  
 > infraorbitalis 611, 612, 616, 688.
- Arteriae intercostales 593, 622, 663, 664:  
 > elágazódásainak sémája 589.
- rami anteriores 589, 592, 593:  
 > rami cutanei anteriores (abdominales) 599.  
 > > cutanei laterales (pectorales et abdominales) 589, 670:  
 > > > ramus anterior 589:  
 > > > > rami mammarii laterales 599.  
 > > > > > posterior 589.  
 \* > > > > > dorsalis 589, 591, 592, 665.  
 > > > > > rami musculares 590, 591.  
 > > > > > > posteriores 589—591, 593, 622, 667:  
 > > > > > > rami musculares 589, 591.  
 > > > > > > > ramus cutaneus \*dorsalis (lateralis) 589, 591, 614, 670.  
 > > > > > > > > cutaneus \*dorsalis (medialis) 589, 591, 614, 670.  
 > > > > > > > > > spinalis 589, 593, 622.
- Arteria intercostalis suprema 590, 592, 622:  
 > rami dorsales 615, 622.  
 > > spinales 622.  
 > > > interossea communis 633, 634.

- Arteria interossea dorsalis 634, 635, 637, 639.  
 „ „ recurrens 635.  
 „ „ volaris 634, 635, 639, 701:  
 hátulsó végága 635, 637.
- Arteriae intestinales 596, 719.  
 „ jejunaes 596.  
 „ labiales anteriores 599, 604.
- Arteria labialis inferior 611, 612, 616, 617.
- Arteriae labiales posteriores 604.
- Arteria labialis superior 610—612, 616, 617.  
 „ lacrimalis 617, 621.  
 „ laryngea inferior 620.  
 „ „ superior 610, 612, 616, 620, 683, 688.  
 „ lienalis 594, 595, 598, 662, 678:  
 rami lienales 594, 595, 598.  
 „ pancreatici 595.  
 „ lig. teretis uteri 599, 676.  
 „ lingualis 610—613, 616—618, 620, 685, 686,  
 688, 689:  
 rami dorsales linguae 618, 620.  
 ramus hyoideus 610, 612, 616, 618, 620.
- Arteriae lumbales 592, 593, 598, 600, 606, 662—664,  
 672:  
 \*ramus anterior 593.  
 „ dorsalis 593, 600, 606, 692:  
 bórágai 645.  
 \*rami cutanei dorsales (mediales és  
 laterales) 670.  
 ramus spinalis 593, 600, 606.
- Arteria lumbalis ima 592, 598, 606.  
 „ malleolaris anterior lateralis 650—652, 708.  
 „ „ „ medialis 651.  
 „ „ „ posterior lateralis 654, 655, 711.  
 „ „ „ medialis 653—655, 711.  
 „ mammaria interna 589, 599, 611, 612, 684:  
 rami intercostales 589, 599, 612.  
 „ perforantes 589, 599, 610, 612:  
 rami cutanei 599, 671.  
 „ mammarii 599.  
 rami sternales 589.  
 ramus costalis lateralis (Var.) 599.
- „ masseterica 616.  
 „ maxillaris externa 610—613, 616—618, 682,  
 688, 689:  
 rami glandulares 611.  
 „ maxillaris interna 613, 616, 617, 619, 688, 689.  
 „ mediana 633, 636, 700.
- \*Arteriae mediastinales anteriores 589, 612.
- Arteria meningea anterior 618, 621, 622.  
 „ „ media 616, 617, 619, 621, 622, 687:  
 ramus meningeus accessorius 617, 621.  
 „ orbitalis (Var.) 621.  
 „ petrosus superficialis 621.  
 „ meningea posterior 613, 619.  
 „ mentalis 611, 612, 616.  
 „ mesenterica inferior 595, 597, 600, 606.  
 „ „ superior 595—598, 678, 679.
- Arteriae metacarpeae dorsales 635, 637, 639.  
 „ „ volares 634, 639, 701:  
 rami perforantes 634, 635.  
 „ metatarsae dorsales 630, 651, 660:  
 összefüggései az arteriae  
 digitales plantaressel 651,  
 656, 657.  
 „ „ plantares 656, 657, 660.
- Arteria musculophrenica 599, 612.
- \*Arteriae nasales anteriores laterales 619.  
 „ „ „ septi 618.  
 „ „ „ posteriores laterales 619.  
 „ „ „ septi 618.
- \*Arteria nasopalatina 618, 619.  
 „ „ „ nutricia femoris inferior 649.  
 „ „ „ superior 649.
- Arteria nutricia fibulae 655.  
 Arteriae nutriciae humeri 631.  
 Arteria nutricia tibiae 655.  
 „ „ obturatoria 601, 608, 644, 673:  
 ramus anterior 644.  
 „ „ posterior 644.  
 „ „ pubicus 601.  
 „ „ occipitalis 610, 611, 613—617, 619, 666, 683,  
 686:  
 rami occipitales 614, 615.  
 „ „ musculares 614.  
 ramus descendens 611, 614, 615, 617.  
 „ „ mastoideus 614, 615.
- Arteriae oesophageae 590, 592.
- \*Arteria omphalomesenterica 578.  
 „ „ ophthalmica 617, 621, 622, 686, 687:  
 rami musculares 621.  
 „ „ ovarica 607, 608, 677.  
 „ „ palatina ascendens 613, 617—619:  
 ramus tonsillaris 617—620.  
 „ „ palatina descendens 617, 619.  
 „ „ „ major 619:  
 \*rami gingivales superiores 619.
- Arteriae palatinae minores 619.  
 „ „ palpebrales laterales 612, 616, 621.  
 „ „ „ mediales 612.  
 „ „ pancreaticoduodenales, inferior és superior  
 595, 596:  
 rami duodenales 595.  
 „ „ pancreatici 595.
- Arteria penis 600—603, 672, 674.  
 „ „ „ perforans prima 642—644, 646, 647, 649, 703,  
 707, 709.  
 „ „ „ „ secunda 643, 647, 705, 707.  
 „ „ „ „ tertia 649, 659, 705, 707, 709.
- Arteriae perforantes, bórágai 645, 648, 670.
- Arteria pericardiacophrenica 612:  
 \*rami mediastinales 612.  
 „ „ „ pericardiaci 612.  
 „ „ „ perinei 601—605, 646, 647, 674, 675.  
 „ „ „ peronaeae 653—655, 660, 711:  
 bórágai 652.  
 rami calcanei laterales 652, 654, 655.  
 „ „ „ communicantes 654, 655, 709.  
 ramus perforans 650, 651, 655, 660, 710.
- „ „ „ pharyngea ascendens 613, 617—619, 686:  
 rami pharyngei 613.  
 „ „ „ phrenica inferior 592, 594, 598, 662:  
 rami suprarenales superiores 598.
- Arteriae phrenicae superiores 612.
- Arteria plantaris lateralis 653, 656, 657, 713.  
 „ „ „ medialis 653, 656, 657:  
 ramus profundus 656, 657, 713.  
 „ „ „ superficialis 656, 657.  
 „ „ „ poplitea 643, 648, 653—655, 659, 709, 711:  
 bórágai 645, 652.  
 \*rami musculares 649.
- „ „ „ princeps pollicis 634, 639, 701.  
 „ „ „ profunda brachii 629—631, 699:  
 ramus deltoideus 631.  
 „ „ „ profunda clitoridis 605, 607.  
 „ „ „ „ femoris 641—644, 658, 705, 707.  
 „ „ „ „ linguae 618, 620, 686.  
 „ „ „ „ penis 560, 600, 601, 603, 673.
- Arteriae pudendae externae 599, 640, 641.
- Arteria pudenda interna 600—606, 608, 646—649,  
 672—677, 704.  
 „ „ „ „ pulmonalis 562, 564—569, 571, 572, 577,  
 579, 580, 586, 588:  
 ramus dexter 563, 565—567, 572, 579 bis  
 583, 588.  
 „ „ „ „ sinister 562, 563, 566—568, 572,  
 577, 579, 581, 583—585, 588.



- Arteria radialis 632—637, 639, 698, 700, 701:  
   ramus carpeus dorsalis 635, 637.  
   > > volaris 634, 701.  
   > > volaris superficialis 632—634, 636,  
     639, 700, 701.  
   > recurrens radialis 630, 632—634, 701.  
   > > tibialis anterior 650, 710.  
   > > ulnaris 633, 700, 701.  
   > renalis 592, 595:  
     \*ramus capsularis 598.
- Arteriae sacrales laterales 593, 598, 600, 601, 606,  
 607, 662, 672, 676:  
   börágnai 670.  
   rami spinales 593, 600, 676.
- Arteria sacralis media 592, 597, 598, 601, 662.
- Arteriae scrotales anteriores 640.  
   > > posteriores 602, 704.  
   > sigmoideae 597.
- Arteria spermatica externa 598, 601, 641, 642, 662.  
   > > interna 592, 597, 598, 608, 662, 678.  
   > sphenopalatina 617, 619.  
   > spinalis anterior 593, 622, 623.  
   > > posterior 623, 625.  
   > sternocleidomastoidea 610, 616, 685.  
   > stylomastoidea 611, 613, 616, 617, 686.  
   > subclavia 579, 582—586, 590, 592, 610—613,  
     622, 628, 629, 664, 683.  
   > sublingualis 617—620, 686:  
     \*rami gingivales inferiores 619.  
   > submentalis 610—612, 616, 619:  
     \*rami glandulares 611.  
   > subscapularis 628—630, 684:  
     rami subscapulares 629.  
   > supraorbitalis 611, 612, 616, 617, 621.
- Arteriae suprarenales, inferior és media 598.  
   > surales, \*lateralis és \*medialis 649, 653  
     654, 655, 711:  
     börágnai 648, 652.
- Arteria tarsea lateralis 650, 651.
- Arteriae tarseae mediales 650, 651.
- Arteria temporalis media 616.
- Arteriae temporales profundae, anterior és  
 posterior 616.
- Arteria temporalis superficialis 610—613, 616, 617,  
 683, 688:  
   rami auriculares anteriores 610, 612.  
   ramus frontalis 610, 612.  
   > > parietalis 610, 612, 666.  
   > testicularis 598, 662, 705.  
   > thoracalis lateralis 628, 629, 671:  
     \*rami mammarii 628.  
   > thoracalis suprema 629.  
   > thoracoacromialis 610, 611, 628—630:  
     rami pectorales 611, 628, 682.  
     ramus acromialis 610, 611, 628, 630.  
       > deltoideus 610, 611, 628, 630.  
       > subclavius 628.  
   > thoracodorsalis 599, 628—630, 698.
- Arteriae thymicae 612.
- Arteria thyreoidea ima (Var.) 590.  
   > > inferior 590, 592, 611—613, 620,  
     626, 629, 663, 717:  
     rami glandulares 613.  
       > oesophagei 592, 613, 620.  
       > pharyngei 613.  
       > tracheales 592, 613, 620.  
   > thyreoidea superior 610—613, 616, 617, 619,  
     620, 626, 683, 685;  
     ramus hyoideus 611.  
       > sternocleidomastoideus 610.  
       > anterior 611, 612, 616:  
         ramus cricothyreoideus 612,  
         616, 620.
- ramus posterior 611—613, 616.  
     \*rami pharyngei 613.
- Arteria tibialis anterior 650, 651, 654, 660, 710:  
   ramus communicans 651, 710.  
   > > fibularis 655.  
   > > posterior 654, 655, 660, 711, 713:  
     börágnai 652; 653.  
     rami calcanei mediales 653, 655,  
     711.  
   > transversa colli 599, 610—615, 628:  
     ramus ascendens 611, 614,  
       615.  
       > descendens 611, 614,  
       615.  
   > > faciei 610—612.  
   > > scapulae 590, 599, 611, 612, 628,  
     629, 631:  
     börágnai 670.
- \*Arteriae trunci 587—608.
- Arteria tympanica anterior 617.  
   > > superior 621.  
   > ulnaris 632—634, 636, 639, 698, 700, 701:  
     ramus carpeus dorsalis 634, 635, 637  
       > > volaris 364, 701.  
       > volaris profundus 633, 634.
- Arteriae umbilicales 578, 580.
- Arteria urethralis 603.  
   > > uterina 606—608, 677:  
     ramus ovarii 607, 608.  
     > tubarius 607, 608.
- Arteriae vaginales 606, 608, 677.
- Arteria vertebralis 579, 612, 613, 615, 622, 623, 626,  
 628, 685:  
   rami spinales 622, 623.  
   ramus meningeus 615, 619.  
   > muscularis 615.
- Arteriae vesicales 606.
- Arteria vesicalis inferior 600, 601, 608.
- Arteriae vesicales superiores 580, 600, 601, 672.
- Arteria volaris indicis radialis 634, 636.  
   > zygomaticoorbitalis 610, 612.
- Atrium cordis 578.  
   > (cordis) dextrum 562—565, 572, 574, 575,  
     584, 586.  
   > > sinistrum 563, 566, 567, 571, 573 bis  
     575, 581, 584.
- Auricula (cordis) dextra 562, 564, 565, 568, 571, 572,  
 577, 578, 580.  
   > > sinistra 562—564, 566—568, 571,  
     573, 574, 577, 581, 586.

## B.

- Basis cordis 563.
- Bulbus aortae 569, 592.  
   > > v. jugularis inferior 582, 583, 684—686.  
   > > superior 685.  
   > vestibuli (vaginae) 605, 607, 675, 676.

## C.

- Chordae tendineae 564, 566, 567.
- Circulus arteriosus (Willisi) 623.

Cisterna chyli 718.  
 Confluens sinuum 667.  
 Conus arteriosus 562, 564, 565, 570, 572, 576.  
 Cor 561—577.  
 Corpus cavernosum 560.  
 Crista supraventricularis 564;  
 lenyomata a szívöntvényen 572.  
 \* terminalis 571.

## D.

Ductus arteriosus (Botalli) 577, 579, 581.  
 \* Cuvieri 578, 579.  
 \* lymphaticus dexter 718, 721.  
 \* thoracicus 664, 685, 718.  
 \* venosus (Arantii) 580, 581.

## E.

\*Emissarium canalis hypoglossi (Var.) 685.  
 \* condyloideum 666, 667.  
 \* mastoideum 666, 667.  
 \* occipitale 667.  
 Endocardium 570.  
 Epicardium 565, 566, 568, 570, 571, 584, 585.

## F.

Facies diaphragmatica (cordis) 563, 569.  
 \* sternocostalis (cordis) 562.  
 \*Foramen ovale (cordis) 577, 580.  
 Foramina venarum minimarum (Thebesii) 565.  
 Fossa ovalis (cordis) 565, 571;  
 lenyomata a szívöntvényen 572.

## G.

Glomus caroticum 619.

## H.

Hilusa a nyirokcsomónak 716, 717.

## I.

Incisura (apicis) cordis 562, 563, 576.  
 Isthmus aortae 569, 573.

## L.

Lacunae corporis cavernosi 560.  
 \* lateralese a sinus sagittalis superiorinak 688, 689, 690.  
 Ligamentum arteriosum 562—564, 567—569, 583  
 584, 585.  
 Ligamenta sternopericardiaca, \*inferius és \*superius  
 582, 583.  
 \*Ligamentum venae cavae (inferioris) 581.  
 \* umbilicale laterale 601, 606—608, 663,  
 672, 676.  
 \*Limbus foraminis ovalis 577.  
 \* fossae ovalis (Vicussenii) 565, 571;  
 lenyomata a szívöntvényen 572.  
 Lunulae valvularum semilunarium aortae 568.  
 \* a pulmonalis 564.

## M.

Musculi papillares 564—568, 570.  
 \* pectinati 571.  
 Myocardium 570, 574, 575.

## N.

Nodi lymphatici 716, 717.  
 \* aortici 718.  
 \* auriculares anteriores 721.  
 \* posteriores 720, 721.  
 \* axillares 718, 720—722.  
 \* cervicales profundae inferiores  
 626, 721;  
 \* összehíggés az elülső mediasti-  
 nalis nyirokcsomókkal 721.  
 \* cervicales profundae superiores  
 721.  
 \* superficiales 683, 720.  
 \* cubitales superficiales 722, 723.  
 \* profundae 723.  
 \* hypogastrici 716.  
 \* iliaci 718.  
 \* inguinales 599, 640, 671, 702, 718,  
 724—726.  
 \* intercostales 718.  
 \* lumbales 718.  
 \* mesenterici 716, 719.  
 \* occipitales 720, 721.  
 \* parotidei 721.  
 \* pectorales 721.  
 \* poplitei 727.  
 \* sacrales 718.  
 \* subinguinales profundi 718, 724,  
 725.  
 \* superficiales 599,  
 640, 671, 702, 718, 724—726,  
 728.  
 \* submaxillares 610, 721.  
 \* submentales 720, 721.  
 \* Noduli valvularum semilunarium aortae (Arantii)  
 568, 571.  
 \* a pulmonalis 564,  
 571.

## O.

- Ostium arteriosum dextrum 569, 570, 586.  
 » » sinistrum 568, 570, 586.  
 » venosum dextrum 570, 571, 580, 586.  
 » » sinistrum 569, 571, 586.

## P.

- Pars membranacea septi atriorum 571.  
 Pericardium 582—585, 612.  
 Plexus (lymphaticus) aorticus 718.  
 » » axillaris 718, 721.  
 » » iliacus externus 718.  
 » » inguinalis, felületes 718,  
 724.  
 » » » mély 718.  
 » » jugularis 721.  
 » » lumbalis 718.  
 » » sacralis medius 718.  
 » (venosus) basilaris 685, 687.  
 » » haemorrhoidalis 676.  
 » venosus mammillae 671.  
 » (venosus) ovaricus 606, 677.  
 » » pampiniformis 598, 662, 705.  
 » » pharyngeus 685.  
 » » pterygoideus 688, 689.  
 » » pudendalis 672, 673.  
 » » sacralis anterior 662, 663.  
 » » subcutaneus ani 675.  
 » » uterovaginalis 676, 677.  
 » venosi vertebrales 669:  
 » externi 626, 665, 666:  
 » (\*externi) anteriores 669.  
 » » posteriores 665, 666, 668, 669.  
 » interni 626, 667, 668:  
 » \*anteriores 668, 669.  
 » \*posteriores 667—669.  
 » (venosus) vesicalis 672, 676.  
 Plica venae cavae sinistrae 584.

## R.

- \*Rami cutanei (arteriosi) 630, 632, 640, 641.  
 » » anastomotici (a felületes és a mély gyűjtő-  
 erek között) 694, 698, 703.  
 Ramus communicans 651, 654, 655, 708—711.  
 Rete (arteriosum) acromiale 610, 631, 682.  
 » » articulare cubiti 631, 635, 699.  
 » » » genu 642, 643, 653.  
 » » calcaneum 652—657.  
 » (venosum) canalis hypoglossi 685.  
 » (arteriosum) carpi dorsale 635, 637.  
 » » volare 634.  
 » » dorsale pedis 651.  
 » (venosum) foraminis ovalis 687.

- Rete (arteriosum) malleolare laterale 650—652.  
 » » » mediale 651.  
 » » patellae 641, 650.  
 \* » » trochantericum 646, 649.  
 » venosum 558.  
 \* » » calcaneum 703, 711, 713.  
 \* » » cutaneum abdominis 671.  
 \* » » » pectoris 671.  
 » » dorsale manus 696.  
 » » » pedis 703, 712.  
 » » plantare 703.  
 \* » » volare manus 695, 697.  
 \*Retia venosa foraminum intervertebralia 626, 667,  
 668.  
 \* » » vertebrarum 668, 669

## S.

- Septum atriorum 565, 567, 569—572.  
 » membranaceum ventriculorum 568.  
 » musculare » 568.  
 » vaginae vasorum (femoralium) 560.  
 » ventriculorum 564, 566—568, 570, 572, 573, 573.  
 Sinus aortae (valsalvae) 570, 573.  
 \* » arteriae pulmonalis 562.  
 » cavernosus 686, 687.  
 » circularis 687.  
 » coronarius 563—566, 569, 570, 572, 575, 579,  
 584.  
 » durae matris 667.  
 » intercavernosus anterior 687.  
 » » posterior 687.  
 » occipitalis 667, 691.  
 » petrosus inferior 685.  
 » petrosus superior 685, 687, 691.  
 » rectus, beömlése a sinus transversusba 691.  
 \* » reuniens 578.  
 » sagittalis superior 690;  
 » beömlése a sinus transversusba 691.  
 \* » sigmoideus 667, 685, 686.  
 » sphenoparietalis 687, 688.  
 » transversus 667, 689, 691.  
 » » pericardii 568, 571.  
 » venarum (cavarum) 563, 571, 584, 585.  
 » vertebrales longitudinales 626, 668, 669.  
 Substantia corticalis (a nyirokcsomóban) 716, 717.  
 » » medullaris » » 716, 717.  
 Sulcus coronarius 563, 565, 569, 572—575, 586.  
 \* » interventricularis 577.  
 Sulcus longitudinalis anterior 564, 570, 574, 576, 577,  
 586.  
 » » posterior 563, 566, 569, 570,  
 575, 576.  
 » terminalis atrii dextri 563.  
 Systema lymphaticum 715—728.

## T.

- Trabeculae carneae 567, 568.  
 » » corporis cavernosi 560.  
 \* » tendineae 567.  
 Trigona fibrosa 576.  
 \*Tripus coeliacus (Halleri) 595.

- \*Truncus arteriosus 577—579.  
 › costocervicalis 613, 622, 663.  
 › intestinalis 718.  
 › jugularis 718, 721.  
 Trunci lumbales 718.  
 Truncus subclavius 718, 721.  
 › thyreocervicalis 583, 590, 592, 611, 613,  
 622, 628.  
 Tuberculum intervenosum (Loweri) 565, 580;  
 lenyomata a szívótvényen 572.  
 Tunica albuginea corporis cavernosi 560.  
 › externa (adventicia) 556, 557.  
 › intima 556, 557.  
 › media 556, 557.

## V.

- Vagina vasorum 560, 626.  
 Valvula bicuspidalis (mitralis) 566—568, 570, 576:  
 › Cuspis anterior 567, 568, 570.  
 › › posterior 566—568, 570.  
 › foraminis ovalis 567, 571, 577, 580.  
 Valvulae semilunares aortae 576:  
 › Valvula semilunaris dextra 570.  
 › › › posterior 568, 570.  
 › › › sinistra 568, 570.  
 › semilunares a. pulmonalis 564:  
 › Valvula semilunaris anterior 564, 570,  
 571.  
 › › › dextra 570.  
 › › › sinistra 564, 570.  
 Valvula sinus coronarii (Thebesii) 565, 569, 570, 577.  
 › tricuspidalis 564, 565, 568, 570, 576:  
 › Cuspis anterior 564, 565, 568, 570.  
 › › › medialis 564, 565, 568, 570.  
 › › › posterior 564, 565, 568, 570.  
 › venae caevae (inferioris, Eustachii) 565, 571,  
 572, 577, 580.  
 Vasa afferentia nyirokcsomóban 716, 717.  
 › capillaria 558.  
 › chyliifera 719.  
 › efferentia nyirokcsomóban 716, 717.  
 › lymphatica, capillariskok és praecapillariskok  
 559.  
 › › profunda 718, 721, 723, 727.  
 › › › superficialia 718, 720, 722, 728.  
 › vasorum 560.  
 Vena 557, 558.  
 › acromialis 662, 683, 684.  
 › alveolaris inferior 688.  
 › anastomotica facialis 682, 684, 688.  
 › angularis 682—684.  
 Venae anonymae 580.  
 Vena anonyma dextra 583, 584, 586, 662—664, 683,  
 685, 686, 698, 718.  
 › › › sinistra 579, 582—584, 586, 662—664,  
 685.  
 › › › appendicularis 678, 679.  
 \*Venae arcuatae (pedis) 710.  
 › articulares mandibulae 683, 688.  
 › auriculares anteriores 682, 684.  
 Vena auricularis posterior 666, 682.  
 › axillaris 683, 684, 689.  
 › azygos 563, 565—567, 572, 579, 580, 582, 663,  
 664, 685, 718.  
 › basalis (Rosenthalii) 691.  
 › basilica 638, 639, 683, 684, 694—698, 723.  
 Venae basivertebrales 668, 669.

- Venae brachiales 638, 683, 684, 698—701, 723;  
 falának rétegei 556.  
 \*Vena capitalis brachii 697.  
 \*Venae cardinales, dextra és sinistra 578, 579.  
 Vena cava inferior 563, 565, 566, 571, 572, 575, 577,  
 579—582, 584, 585, 590, 594, 662 bis  
 664, 678:  
 › Radices parietales et viscerales 662.  
 › › › superior 562—568, 571, 572, 574,  
 575, 577, 579, 580, 582—586,  
 662—666.  
 › › › superior sinistra (megmaradt) 585.  
 \*Venae cavernosae 560.  
 Vena cephalica 638, 639, 671, 682—684, 694—697,  
 721, 723.  
 › › › accessoria 696.  
 Venae cerebelli inferiores 691.  
 › cerebri inferiores 691.  
 Vena cerebri media 687, 689, 691.  
 Venae cerebri superiores 689—691.  
 Vena cervicalis profunda 626, 665—667, 686.  
 › › › subcutanea 626, 682.  
 › › › superficialis 682—684.  
 Venae ciliares posteriores 686.  
 › › › circumflexae femoris laterales 705—707.  
 › › › › mediales 705.  
 Vena circumflexa ilium profunda 662, 663, 673, 705,  
 706, 707.  
 › › › › superficialis 662, 671, 702,  
 706.  
 › › › › humeri anterior 683.  
 › › › › › posterior 683, 698, 699.  
 › › › › › scapulae 683, 684, 698, 699.  
 › › › › › colica dextra 678, 679.  
 › › › › › › media 678, 679.  
 › › › › › › sinistra 678.  
 \*Venae collaterales radiales 699.  
 › › › › › ulnares superiores 698.  
 \*Vena collateralis media 699.  
 › › › › › ulnaris inferior 700, 701.  
 \*Venae colli et capitis 681—691.  
 Vena comitans n. hypoglossi 683, 688, 689.  
 › › › › › ischiadici 674, 675, 704.  
 Venae comitantes arteriae femoralis 560, 706, 707.  
 › › › › › cordis anteriores 562.  
 Vena › › › › › magna 562, 563, 567, 570, 584.  
 › › › › › › media 563, 569, 570, 584, 585.  
 › › › › › › › parva 563, 584.  
 › › › › › › › coronaria ventriculi 678.  
 Venae costoaxillares 671.  
 Vena cystica 678.  
 \*Venae deltoideae 682.  
 › › › › › digitales communes pedis 708, 710.  
 › › › › › › pedis dorsales 703, 708, 710.  
 › › › › › › › plantares 711.  
 › › › › › › › › volares communes 700.  
 › › › › › › › › › propriae 695.  
 Vena diploica frontalis 683, 688.  
 › › › › › › › dorsalis clitoridis 675, 676.  
 \*Venae dorsales pedis 710, 712.  
 Vena dorsalis penis 672, 673, 705.  
 Venae dorsales penis subcutaneae 671, 702, 706.  
 › › › › › › › duodenales 678.  
 Vena epigastrica inferior 662, 673, 705, 707;  
 › › › › › › › összeköttetés a rete veno-  
 sum cutaneum abdominis  
 671.  
 › › › › › › › › › superficialis 671, 702, 706, 725, 726,  
 728.  
 › › › › › › › › › › › superior, összeköttetés a rete ve-  
 nosum cutaneum abdominis  
 671.  
 Venae ethmoidales, anterior és posterior 687.



- \*Venae extremitatum superiorum et inferiorum  
693-tól 713-ig.
- Vena facialis anterior 682—684, 688, 689, 721.  
 > > communis 682—684, 686, 688, 689.  
 > > posterior 682—685, 688, 689.  
 > femoralis 579, 598, 599, 641—643, 658, 659,  
662, 705—707, 724, 725.  
 > femoropoplitea 708, 709.  
 > frontalis 682, 684, 687, 688.
- Venae gastricae breves 678.  
 > gastroepiploicae, dextra és sinistra 678:  
 \*Rami epiploici 679.  
 > genu 711.  
 > glutaeae inferiores 672—675, 704.  
 > > superiores 672, 673, 676, 704.  
 > haemorrhoidales inferiores 674, 675, 704.
- Vena haemorrhoidalis media 676.  
 > > superior 672, 676, 678.  
 > hemiazygos 579, 584, 585, 663, 664, 685, 718.  
 > > accessoria 584, 663, 664, 685.
- Venae hepaticae 579—581, 662.
- Vena hypogastrica 579, 662, 672, 673, 676, 677.  
 > ileocolica 679.  
 > iliaca communis 662—664, 672, 673, 676—678.  
 > > externa 662, 663, 672, 676, 677.  
 > iliolumbalis 664, 672, 676:  
 =Ramus iliacus 662, 663.
- \* > infraorbitalis 688.
- Venae intercavitales (=manus) 695, 696, 700, 701.  
 > > (=pedis) 712, 713.  
 > intercostales 663, 664:  
 Ramus dorsalis 665, 667.
- Vena intercostalis suprema 663, 664, 685.
- \*Venae interosae volares 701.  
 > intervertebrales 626, 667.  
 > intestinales 678, 719.
- \* > jugulares (magzati) dextra és sinistra  
578.
- Vena jugularis anterior 584, 626, 671, 682.  
 > > externa 579, 584, 626, 682—685.  
 > > interna 579, 584, 626, 666, 683, 685,  
686.  
 > labialis inferior 682, 684.
- Venae labiales posteriores 675.
- Vena labialis superior 682, 684.  
 > lacrimalis 686, 687.  
 > laryngea superior 683, 688.  
 > lienalis 662, 678.
- Venae linguales 684—686.  
 > lumbales 662—664, 672:  
 \*Rami dorsales 672.
- Vena lumbalis ascendens 663—665, 669, 672, 673, 676.
- \* > malleolares anteriores 710.  
 \* > > posteriores 711.
- Vena mammaria interna 662, 684, 685;  
 összeköttetés a rete venosum cutaneum  
 pectorissal 671.
- Venae massetericae 662, 684.
- Vena mediana antibrachii 694, 695, 697, 700.  
 > > basilica 694, 696, 697.  
 > > cephalica 694, 697.  
 > > colli 626.  
 > > cubiti 638, 697, 698, 722;  
 járulékos (rendellenes) 694, 696.
- Venae meningaeae \*mediae 687, 688.
- Vena mesenterica inferior 672, 676, 678, 679.  
 > > superior 678, 679.
- Venae metacarpeae dorsales 696.  
 > > volares 701.  
 > metatarsae dorsales 712.  
 > > plantares 713.  
 > nasales externae 682—684, 688.  
 > nasofrontalis 682, 686, 688.
- Vena obliqua atrii sinistri (Marshalli) 563, 584, 585.
- Venae obturatoriae 672, 673, 676, 705.
- Vena occipitalis 666, 682, 683, 686.
- Venae oesophageae 685.  
 > omphalomesentericae 578.  
 > ophthalmicae, inferior és superior 686, 687;  
 Venae musculares 686, 687.
- Vena ophthalmomeningea 687.  
 > ovarica 676, 677.  
 > palatina 686, 689.
- Venae palpebrales, inferiores és superiores 682,  
684.  
 > pancreaticae 678.
- Vena pancreaticoduodenalis 678.
- Venae parotideae anteriores 682.  
 > parumbilicales (Sappeyi), összeköttetések a  
 rete venosum cutaneum abdominis 671.
- Vena perforans prima 704, 705, 707, 709.  
 > > secunda 705, 707.  
 > > tertia 705, 707, 709.  
 > perinei 674, 675.
- Venae peronaeae 711.  
 > pharyngeae 685.
- Vena phrenica inferior 662.
- \*Venae plantares, laterales és mediales 713.
- Vena poplitea 643, 648, 649, 659, 708, 709.
- Venae popliteae 711.
- Vena portae 580, 581, 594, 678:  
 Ramus dexter 580, 581.  
 > sinister 580, 581.  
 > posterior ventriculi sinistri 563, 569, 584, 585.
- \* > profunda brachii 699.  
 > > femoris 703, 707.
- Venae profundae linguae 686.  
 > > penis 673.
- \* > pudendae externae 662, 671, 702, 705—707.  
 \* > > internae 672—677, 704.  
 > pulmonales dextrae 563, 565—567, 571, 573,  
574, 575, 577, 580—584.  
 > > sinistrae 563, 566—568, 571, 573,  
574, 575, 577, 583—585.  
 > radiales 698, 700, 701.
- \*Vena recurrens radialis 700, 701.
- \* > ulnaris 700, 701.
- \*Venae recurrentes tibiales 710.  
 > renales 579, 580, 662.
- Vena sacralis lateralis 663, 672.  
 > > media 663, 673, 678.  
 > saphena accessoria 702, 721, 726.  
 > > magna 640, 652, 658—660, 702, 703,  
708, 712, 713, 724, 725.  
 > > parva 652, 659, 660, 703, 708, 709,  
713, 727.
- Venae scrotales anteriores 662, 674, 702, 706.  
 > > posteriores 674, 704.  
 > sigmoidae 678.
- \*Vena spermatica externa 662.  
 > > \*interna 662, 673, 678.
- Venae spinales externae anteriores 691.
- Vena sternocleidomastoidea 685.  
 > stylomastoidea 686.  
 > subclavia 579, 584, 683—685, 698.
- Venae subcutaneae abdominis 671.  
 \* > > colli 671.  
 \* > > pectoris 671.
- Vena sublingualis 686.  
 > submentalis 682—684.  
 > subscapularis 684.
- \* > supraorbitalis 683, 684.  
 > suprarenalis 662.
- \*Venae surales, laterales és mediales 711.
- Vena temporalis media 682—684, 688, 689.
- Venae temporales profundae 688.

- Vena temporalis superficialis 682—684.  
 › testicularis 662, 673.  
 › thoracalis lateralis 671, 683, 684, 698.  
 \* › thoracoacromialis, rami pectorales 682.  
 \* › thoracodorsalis 698.  
 Venae thoracoepigastricae 671.  
 › thymicae 662.  
 Vena thyroidea ima 582—584, 586, 662—664, 683,  
 685.  
 › › inferior 685.  
 Venae thyroideae inferiores 585.  
 Vena thyroidea superior 626, 683—686, 688,  
 689.  
 Venae tibiales anteriores 710, 712.  
 › › posteriores 711, 713.

- Venae tracheales 685.  
 Vena transversa colli 666, 683, 684, 698.  
 › › faciei 682.  
 › › scapulae 682—685, 698.  
 \*Venae trunci 661—679.  
 › ulnares 698, 700, 701.  
 Vena umbilicalis 578, 580, 581.  
 Venae uterinae 677.  
 Vena vertebralis 626, 663, 667, 685, 686.  
 Venae vorticosae 687.  
 Ventriculus (cordis) dexter 562, 564, 565, 569, 570,  
 572, 574—577, 586.  
 › › sinister 562, 566, 567, 569, 570,  
 573—577, 584, 586.  
 Vortex cordis 576.



## Magyar nevek:

## A.

Arc gyűjtőerei 682, 683, 688.  
 Agyvelő gyűjtőerei 689—691.  
 Alsó végtag nyirokerei 726, 727.  
 Aorta 567, 568, 569, 583, 590, 595, 598, 612, 613, 662.  
 Arantius vezeték 580, 581.

## B.

Bélfodor gyűjtőerei 678, 679.  
 » nyirokcsomói 719.  
 » verőerei 595, 596, 597.  
 Bél verőerei 596.  
 Botall-vezeték 577, 580.  
 Bőrgyűjtőerek az alsó végtagon 702, 703.  
 » a karon 694—697.  
 » a tarkón 682.

## C.

Comb gyűjtőere 706, 707.  
 » verőere 642, 643, 644, 706, 707.  
 Csigolya gyűjtőerei 686.  
 » verőerei 665—669.

## E.

Epehólyagverőér 594.  
 Erekről általában 555—560.  
 Eustach-billentyű 565, 571, 580.  
 Érrendszer fejlődése 594.

## F.

Far verőerei 601, 644.  
 Fej gyűjtőerei 681—691.  
 » nyirokerei 720, 721.  
 Felkar gyűjtőerei 700, 701.  
 » verőerei 633, 634, 700, 701.  
 Felső végtag nyirokerei 722, 723.  
 Fül gyűjtőerei 666.

## G.

Gát gyűjtőerei (férfi) 674.  
 » » (női) 675.  
 » verőerei 602.  
 Gége gyűjtőerei 685.  
 » verőerei 620.  
 Gerincvelő verőerei 625.  
 Gyomor verőerei 594, 595.  
 Gyűjtőér billentyűk 560.

## H.

Hólyag gyűjtőérhálózat 676.  
 Hónalj gyűjtőere 673, 684.  
 » nyirokcsomói 720—722.  
 » nyirokerei 721.  
 » verőere 628.  
 Here verőere 598.  
 Herezacskó gyűjtőere 674.  
 » verőere 602.

## I.

Ivarszervek nyirokerei (férfi) 724, 726.  
 » » (női) 725, 728.

## J.

Jöbboldali verőereskúp 664.

## K.

Kar főgyűjtőerei 697.  
 Kavernás test 560.  
 Keményagyburok öblei 667.  
 Keresztesonti verőér 592, 598, 600, 601.  
 Kisagyvelő gyűjtőerei 691.  
 » verőerei 625.  
 Kopoltyúív verőerei 578, 579.  
 Köldök gyűjtőere 580, 581.  
 Könnymirigy verőere 687.  
 Kulcscsontalatti verőér 628.

## L.

Láb gyűjtőerei 712, 713, 718.  
 » verőerei 650, 651, 652, 656, 657.

Lágyék nyirokere 724—726.  
 » nyirokcsomói 724—726.  
 Lép gyűjtőere 678.  
 » verőere 594, 595, 598.  
 Levegőcső gyűjtőerei 674.

**M.**

Máj gyűjtőere 581.  
 » kapuér 580, 581, 678.  
 » verőere 677.  
 Marschall-gyűjtőér 563.  
 Medence verőererei 600, 601, 606, 608.  
 Medence gyűjtőerei (férfi) 672, 673.  
 » » (női) 676, 677.  
 Méh gyűjtőere 677.  
 Mellékvese verőere 598.  
 Mellkasi nyirokererei 720, 722.  
 Mellvezeték 718.

**N.**

Nagyagyvelő gyűjtőerei 690, 691.  
 » verőerei 623, 624, 625.  
 Névtelen verőér 628.  
 Nyak gyűjtőerei 681—691.  
 » nyirokere 720, 721.  
 Nyelvalatti verőér 620.  
 Nyelöcső gyűjtőere 685.  
 » verőere 633, 637.  
 Nyirokcsomók 716, 717.  
 Nyirokérrendszer 716, 717.

**O.**

Ondóelvezető verőere 600.  
 Ondóverőér 598.

**P.**

Pajzsmirigy gyűjtőere 585.  
 » verőere 613, 620.  
 Petefészkek gyűjtőere 676, 677.

**R.**

Rekeszizom gyűjtőere 594, 598.  
 Rostacsont gyűjtőere 687.  
 » verőere 621.

**S.**

Sípcsonti verőér 654, 655.  
 Szárkapcsi gyűjtőér 712, 713.  
 » verőér 650, 651, 653, 654, 655, 657.  
 Szeméremajak gyűjtőere 675.  
 » verőere 604.  
 Szemérem verőere 646.  
 Szemtüregi gyűjtőerek 686, 687.  
 » verőerek 621.  
 Szív 561—586.  
 Szívburok 582—585.  
 Szívfejlődés 574.

**T.**

Törzs falzat verőérének elágazódási séma 589.  
 » gyűjtőerei 661—679.  
 » nyirokere 718, 722.  
 Törzsöki gyűjtőérrendszer 662, 663, 664.  
 » gyűjtőér 562, 563, 568, 571, 582, 585, 662.  
 Tüdő gyűjtőerek 565, 567, 568, 573, 582.  
 » verőerek 564, 568, 569, 580, 583, 587, 588.

**V.**

Vastagbél gyűjtőerei 675, 676.  
 » verőerei 597, 602, 603, 646.  
 Vena umbilicalis májhoz menő ágai 580, 581.  
 Vérerek falzata 556.  
 Vese verőér 595, 598.

**W.**

Willis-verőeres kör 623.